



BioCoherence Manual

Version 2025-02-07

Índice general

INTRODUCCIÓN

1. Breve historia de BioCoherence	3
2. Construir puentes	5

USO DE BIOCOHERENCE

3.1. Vista general de los módulos	15
<i>Encontrará un índice detallado al principio de este capítulo.</i>	
3.2. Manual detallado de cada módulo	35
<i>Encontrará un índice detallado al principio de este capítulo.</i>	

4. ADDENDUMS

4.1. Frequently asked questions	85
4.2. Reference medical studies	89
4.3. Bibliographie.....	101

Una breve historia de BioCoherence

Es verano de 2024 y la primera versión pública de BioCoherence está a punto de lanzarse. ¿Cómo hemos llegado hasta aquí, con este software salido de mi cabeza, que hasta la fecha incluye más de 1.400 biomarcadores patentados, 40 pantallas, análisis por escáner de un electrocardiograma y pruebas con biorretroalimentación en directo, y un módulo de reequilibrio?

Echemos la vista atrás a dos caminos convergentes.

Nuestro primer contacto con los dispositivos de evaluación y tratamiento de la energía se remonta a 2011. Christine y yo estábamos casados y teníamos 3 hijos. Ese año, nuestra segunda hija, Isis, que por aquel entonces seguía siendo intolerante al gluten, iba a empezar la enseñanza secundaria. Como aún vivíamos en Sournia, un pequeño pueblo de los Pirineos (en el sur de Francia), buscábamos una solución para que pudiera almorzar en el colegio. Le ahorraré los detalles, pero cuando fuimos al especialista, nos dijo que la única solución era una colonoscopia. Y que de todas formas no la curaría. Así que empezamos a buscar otra solución. Un amigo nos señaló a un tipo extraño que trabajaba en un pequeño pueblo. Este extraño tipo le hizo un examen completo y una rearmonización en una sesión; no sólo había identificado todos los problemas en media hora, sino que ella estaba curada un mes después.

Christine y yo nos miramos y nos dimos cuenta de que algo iba mal con la medicina. ¿Por qué el hospital no había podido ofrecernos esta solución? ¿Por qué era aparentemente tan confidencial? Pero sobre todo, ¿qué era esta cosa?

A finales de 2011, creamos con este practicante una organización sin ánimo de lucro para intentar estudiar y validar estas prácticas, luego un centro de cuidados, después un segundo. Por último, a finales de 2012, nos pusimos en contacto con el fabricante de este dispositivo para distribuirlo en Francia. Conocimos a otros y finalmente construimos una distribución sólida, una red de practicantes y una escuela.

Pero yo, científico, ingeniero, desarrollador de software, músico, autor y sobre todo creador compulsivo, no podía conformarme con un papel comercial o administrativo. Ya había fundado varias empresas para las que siempre había programado todo el sistema informático. De hecho, empecé a desarrollar programas informáticos a los 10 años y vendí el primero a los 15. Luego estudié ciencias y fui a la escuela de ingeniería de sonido antes de fundar una agencia web con Christine en 1996 y después varias start-ups. Volviendo a los dispositivos de cuidado que vendemos, como diseñador realmente quería contribuir a este impulso innovador en el diseño de estos sistemas de chequeo y cuidado, que he experimentado mucho y entiendo bien.

Así que esa primera vía es la ciencia, la informática y los negocios y sus aplicaciones en la atención sanitaria.

Pero ese no es el único camino que nos ha llevado a la BioCoherencia actual.

El otro camino es la meditación.

Cuando tenía 11 o 12 años, me apasionaba la magia — o, mejor dicho, la hechicería. Podía pasarme todo el día en las tiendas de magia de París y conocer a todos los clientes (profesionales del espectáculo). — Eso sí, también creé un truco, lo hice y lo vendí a una tienda, creo que tenía 13 años ... — Y ahí conocí a Pierre, un profesional de la magia que trabajaba en todo el mundo. Nos hicimos buenos amigos. Y Pierre ya había hecho "viajes fuera del cuerpo" o "viajes astrales" de niño, lo que me fascinó. Nunca antes había oído hablar de ello. Me dio algunos libros sobre el tema y me dijo que era algo muy natural para él, pero perdimos el contacto al cabo de un tiempo.

Desde entonces, me pareció natural que hubiera un mundo mucho más grande tras el velo de las apariencias. Pero, ¿cómo iba a abordar esta cuestión en París, en una época hipermaterialista, en una familia que no sabía nada al respecto?

Con los años, siguió siendo un tema de discusión privilegiado y fascinante, una fuente de curiosidad, pero nada más. Probamos la meditación de adolescentes y luego de adultos, sin mucho éxito. Entonces la vida empezó a tomar forma en el aquí y ahora, con todas sus exigencias.

Volvamos a 2011, un año crucial en el que nuestros caminos se cruzaron. Cuando Isis comenzó su recuperación, nos remitieron a un médico de cabecera en Perpiñán. Él ve las cosas de otra manera. Claro, vamos allí. Hablo con él de todo tipo de cosas y vuelve a surgir el tema de la meditación. Le cuento que había intentado salir de mi cuerpo sin mucho éxito. Me responde que conoce una técnica basada en sonidos con diferentes frecuencias en los oídos, sin saber mucho más al respecto. Pero el sonido me habló... y busqué y descubrí los ritmos binaurales. Y a partir de entonces, el progreso, que hasta entonces había sido tan laborioso, se aceleró enormemente. En pocos meses, el universo se expandió, tanto hacia dentro como hacia fuera. Desde aquel año crucial, todo a nuestro alrededor se ha reorganizado.

Comencé una serie de entrevistas para un proyecto cinematográfico, "en realidad". Conocí y filmé a unas cuarenta personas fascinantes. Por último, fundé una editorial francesa para traducir sus libros y he publicado una veintena de obras hasta la fecha.

Christine, por su parte, se convirtió en clarividente para su gran sorpresa. Es un buen chiste. Y mi hija también. De todas formas, como buen científico, estoy haciendo algunos protocolos de validación. Todo parece muy real, vale, admitámoslo. Este año, tras 7 años de vida familiar casi autónoma en las montañas (habíamos dejado París en 2004 para construir la casa que Christine había diseñado ella misma), Disneylandia llegó con fuerza. Y el mundo se hace aún más grande. La casa se llena de criaturas, cada una más fantástica que la anterior. Una locura, pero anécdota tras anécdota, se hace imposible no creer en esta nueva realidad.

Estos son los dos caminos que se juntan: por un lado, los aparatos y programas informáticos de evaluación y curación energética, con sus fabulosas posibilidades pero también diversas limitaciones y frustraciones; por otro, la meditación, el desarrollo personal interior, la ampliación de los límites del mundo y el inmenso poder de tomar el poder sobre uno mismo y darse cuenta de la propia responsabilidad.

Así que en 2017 llevé a cabo una alianza inicial de ambas y comencé un proyecto de aplicación de meditación que pretendía ser una plataforma para creadores; demasiado complicado, nunca se terminó. en 2018 desarrollé una app para crear ritmos binaurales y otros sonidos para acompañar las meditaciones; demasiado complicada, nunca terminada. Empiezo a reconocer un patrón recurrente. No es mi primera aplicación demasiado complicada, nunca terminada. Bien, reescribámoslo todo y simplifiquémoslo: ¡Ah, ganamos! En 2021, daremos a nuestra escuela su primera, menos complicada y -¡hurra! - app terminada: 33 meditaciones guiadas basadas en los 2 primeros libros de Christine.

Queda un detalle: quiero ofrecer más. Me gustaría disponer de un sistema de medida fiable para seleccionar y, por qué no, personalizar las meditaciones. Un detalle, como ya he dicho, que finalmente me ha llevado 3 años. En 2022, podré presentar nuestra masterclass anual con una primera herramienta basada en la medición de un electrocardiograma. En 2023, tras más de un año de trabajo, la interfaz se adorna con numerosas visualizaciones y se crean nuevas pantallas. Otros 6 meses de investigación y llegamos a abril de 2024 con un software sediento de interacciones...

Para llegar a esta primera versión, seleccioné drásticamente (y dolorosamente, como puede imaginar) las ideas a realizar. Pero en los casi 40 años que llevo creando, por fin me he dado cuenta de que no tiene sentido hacer algo sólo por crear. Y he tenido que dedicar mucho más tiempo del que hubiera pensado para que este software fuera fácil de entender. Lo he conseguido, aunque sigo frustrado por todas las cosas que aún no están ahí. Puede contar conmigo para seguir aportando y compartiendo ideas y herramientas, y me aseguraré de que siempre sean bonitas, sencillas e intuitivas para usted.

Médéric Degoy, desarrollador del software BioCoherence.

Construyendo puentes

BioCoherence se ha desarrollado en torno a una serie de conceptos clave. Es importante tener una idea general de ellos, ya que determinan la lógica subyacente.

Nuestra tarea consiste en tender puentes entre áreas que a menudo no están conectadas. Entre ellas se incluyen: Cibernética; teoría de sistemas; energía, entropía y neguentropía; emergencia; heurística; sincronicidad; ergodicidad; teoría de recursos; teoría de cascadas; embriogénesis; teoría de la prología; el principio de resonancia; el principio de coherencia; ondas de escala; cristales de tiempo; la relación cuerpo-mente; la relación materia-energía-información-sentido; entropía física y entropía de la información; el inconsciente y los arquetipos.

A menos que se indique lo contrario, las citas están tomadas de Wikipedia.

Cibernética

"la ciencia general del control y la comunicación en los sistemas naturales y artificiales"

"La cibernética es el estudio de los mecanismos de información en los sistemas complejos. Los contornos de este campo de investigación giran en torno al concepto clave de retroalimentación o *mecanismo teleológico*. Su objetivo era crear una visión unificada de los campos emergentes (entre 1942 y 1953) del control automático, la electrónica y la teoría matemática de la información como una "teoría total del control y la comunicación, tanto en el animal como en la máquina".

Formalizada por Norbert Wiener, la cibernética es, entre otras cosas, el origen de las terapias sistémicas de la escuela de Palo Alto y de las teorías biológicas de la autoorganización."

Notas interesantes:

- "En 1894, Ludwig Boltzmann estableció el vínculo entre entropía e información al señalar que la entropía está ligada a una información a la que no tenemos acceso"
- "La fisiología también le proporcionó muchos elementos. Por ejemplo, el principio de homeostasis, puesto de relieve por Claude Bernard"
- "La cibernética es también una continuación de la fenomenología, en la medida en que cultiva los fenómenos para captar su autonomía y su especificidad, sobre todo a través de la forma, y luego pasa a otro tipo de análisis: la modelización, la mecánica..."
- "Este enfoque hace hincapié en la retroalimentación porque es esencial para el desarrollo de una lógica autorreguladora. Esto crea bucles de retroalimentación, mecanismos circulares que enfatizan los sistemas"
- el término "emergencia" pronto dejará de referirse únicamente a las nuevas formas, para referirse también a las nuevas propiedades y procesos que surgen durante la reorganización espontánea de un sistema. Este tipo de fenómeno implica a veces más que una reorganización del sistema, una organización a un nivel superior de complejidad"
- "En la cibernética de segundo orden, el observador se incluye a sí mismo en el sistema observado"

La cibernética es la raíz de la ecología, el psicoanálisis, la ciencia de la información, la sistémica, la ciencia cognitiva, la inteligencia artificial, internet...

Aplicación en la biocoherencia

En la totalidad del software a todos los niveles, desde el más profundo (la existencia del propio ordenador, el sistema operativo e Internet) hasta el más fluido (la lógica sistémica, el análisis de los niveles 1, 2 y 3 y la aparición de nuevas propiedades, la vinculación de todos los elementos, los cálculos de conexiones y resonancias).

El principio de retroalimentación está en el corazón del software, especialmente en las mediciones de biorretroalimentación.

Curiosamente, la cibernética se centra en las limitaciones y restricciones de un sistema. Esto da una indicación de las posibles opciones. Sin embargo, el principio de equifinalidad afirma que es posible alcanzar un objetivo de muchas maneras diferentes.

Teoría de sistemas

"La teoría de sistemas es un método para definir, estudiar o explicar cualquier tipo de fenómeno que consiste principalmente en considerar ese fenómeno como un sistema: un conjunto complejo de interacciones, a menudo entre subsistemas, que tienen lugar

dentro de un sistema mayor. Se diferencia de los enfoques tradicionales que se centran en descomponer un sistema en partes sin tener en cuenta el funcionamiento y la actividad del conjunto, es decir, del propio sistema global.

El pensamiento sistémico favorece un enfoque global, macroscópico, holístico o sintético; observa y examina un sistema desde diferentes perspectivas y a distintos niveles de organización; y, sobre todo, tiene en cuenta las diversas interacciones entre las partes del sistema.

Surgida gradualmente a mediados del siglo XX, la sistemática surgió en oposición a la tradición analítica cartesiana y a otras formas de reduccionismo, que tendían a dividir el todo en partes independientes y a mostrar sus limitaciones para comprender la realidad."

Comentarios interesantes:

- "El concepto esencial aquí es sin duda el de regulación, definido por la noción de bucle de retroalimentación" "La interacción (o interrelación) se refiere a la idea de causalidad no lineal. Este concepto es esencial para comprender la coevolución y la simbiosis en biología. Una forma particular de interacción es la retroalimentación, cuyo estudio es fundamental en el trabajo de la cibernética."
- "Totalidad. Si un sistema se compone principalmente de una serie de elementos, no puede reducirse a éstos. Como dice el refrán, el todo es más que la suma de sus partes"
- "La organización es el concepto central para comprender un sistema. La organización es la disposición de un todo según la división de sus elementos en niveles jerárquicos. Según el grado de organización, un todo no tiene las mismas propiedades. Así llegamos a la idea de que **las propiedades de un todo dependen menos del tipo y el número de elementos que contiene que de las relaciones que existen entre ellos**: "Un sistema abierto es un sistema que tiene la capacidad de autoorganizarse mediante el intercambio de materia, energía e información..."
- Como sistemas abiertos, los organismos vivos son capaces de crear bucles de entropía negativa (es decir, reducir la entropía y crear un orden superior).
- En cuanto al "sistema dinámico", la primera idea que caracteriza este campo es que tras el desorden aparente se esconde un orden más complejo que el orden visible. La segunda idea es que este orden surge a través de la autoorganización y la aparición de nuevas características y propiedades que antes no existían."

Aplicación en biocoherencia

- haciendo hincapié en las conexiones entre elementos que son tan importantes, si no más, que la evaluación de los propios elementos.

Emergencia

"La emergencia es un concepto filosófico que puede resumirse a grandes rasgos con el dicho: "El todo es mayor que la suma de sus partes". Se opone al reduccionismo y a las doctrinas dualistas (dualismo o vitalismo).

Una propiedad puede describirse como "emergente" si "se sigue" de propiedades más fundamentales sin dejar de ser "nueva" o "irreductible" a ellas. Por ejemplo, John Stuart Mill afirma que las propiedades del agua no son reducibles a las del hidrógeno o el oxígeno"

Puntos interesantes:

- "A veces hablamos de "emergencia sincrónica" en el contexto de las relaciones entre los niveles micro y macro de un sistema. En este caso, la emergencia implica irreductibilidad conceptual: las propiedades y leyes emergentes son características sistémicas de sistemas complejos regidos por leyes que no pueden reducirse a las que rigen las relaciones entre los componentes a un nivel más pequeño."

Aplicación en biocoherencia

- la lógica de la emergencia: el análisis se lleva a cabo en varias etapas, cada una de las cuales revela propiedades a un nivel superior que no están presentes en el nivel inferior. En la última etapa, se encuentran los recursos.

Energía

"La energía es un concepto relacionado con los términos acción, fuerza y duración: la realización de una acción requiere el mantenimiento de una determinada fuerza durante un periodo de tiempo suficiente para vencer la inercia y la resistencia que se oponen a este cambio"

Aplicación en biocoherencia

La energía de un biomarcador se mide de diferentes maneras según el tipo de biomarcador. Colocada en una escala mínimo/máximo específica para cada biomarcador, se convierte en el eje vertical de la flor.

Entropía

Se trata de un concepto a la vez claro y complejo, pero sobre todo de un término que explica cosas muy diferentes en distintos campos.

- Para los físicos, entropía significa desasosiego, desorden.
- Para la teoría de la información, la entropía es una medida de la posible cantidad bruta de diferentes tipos de información.
- Para la informática, es aproximadamente la gama de información posible, el tamaño del espacio.

Podemos resumir el concepto de entropía como proporcional al desorden de un sistema; su opuesto, la negentropía, es por tanto proporcional al grado de orden de un sistema.

Aplicación en biocoherencia

Medimos la variación a diferentes niveles de los biomarcadores para obtener un factor de agitación que forma el eje horizontal de la flor.

Teoría de los recursos

La teoría de los recursos desarrollada por Christine Degoy postula que en todo sistema vivo hay partes que funcionan perfectamente y que nutren a otras partes. En la lógica de un sistema, se trata de partes recurso que están conectadas activamente con otros subsistemas que las necesitan.

Christine ha identificado recursos a todos los niveles: orgánicos, psicológicos, energéticos y no físicos (es decir, formados por materia que interactúa con el sistema global pero que no está sujeta a las mismas leyes físicas que la materia ordinaria).

Aplicación en la biocoherencia

Como elemento emergente al más alto nivel, la identificación de los recursos permite crear un plan coherente de las prioridades que deben abordarse y utilizarlas para optimizar el sistema global.

Teoría de la cascada

Basada en el principio de Paul Schmidt de buscar las causas originales de las enfermedades, que posteriormente desarrolló Philippe Matza, la teoría en cascada se inscribe en una lógica sistémica. Postula que un órgano o sistema enfermo forma parte de una cadena de causalidades e interacciones energéticas y que esta cadena debe rastrearse para que la terapia sea eficaz.

Aplicación en biocoherencia

Al identificar conexiones y sistemas coherentes, la Biocoherencia nos permite reconstruir cadenas causales completas y actuar en el origen de los trastornos. Pero ampliamos el concepto de cadenas causales a las cadenas múltiples y al hecho de que un sistema cuyos elementos están en coherencia debe intervenir simultáneamente a todos los niveles para reequilibrar sus elementos de forma sostenible.

Embriogénesis

"Durante la formación del embrión, las células se dividen en diferentes capas celulares: La capa externa se denomina ectodermo y la interna endodermo. La capa intermedia forma un tejido llamado mesodermo. En los mamíferos, cada capa tiene una función diferente: el endodermo produce el tubo digestivo y las glándulas asociadas (páncreas); el mesodermo produce los músculos, el esqueleto y los vasos sanguíneos;

el ectodermo produce la epidermis y el sistema nervioso"

Aplicación en biocoherencia

Postulamos que estos elementos permanecen conectados entre sí en el organismo adulto a través de resonancias particulares, y tenemos en cuenta los 8 corpora desarrollados por Christine Degoy, que están formados por elementos conectados por su origen embrionario. Estas relaciones se integran a continuación en una interpretación de los resultados.

Teoría de la prología

Extracto de *Prología, redescubrir el sentido de la vida*, de Christine Degoy:

"Es un enfoque unificado del cuidado y la realización de la vida. Es integrador y transversal y puede describirse como sistémico, centrado en la resonancia de todos los componentes de la persona como tantos recursos disponibles puestos en sinergia."

La prología ofrece un cambio completo de paradigma al implicar al cuerpo como una poderosa palanca de realización, incluso en medio de la enfermedad. Sus sólidos principios se basan en el proyecto de vida en conjunción con el enfoque de la teoría de sistemas, que se ilustra con la siguiente tesis: **"Todo ser humano es un sistema con un proyecto, y todo lo que lo compone está orientado hacia la consecución de este objetivo."**

La prología permite cartografiar el cuerpo humano en relación con el soporte del proyecto personal y descubrir una organización temporal de las áreas sucesivas en el crecimiento de la madurez y la gestión de la propia vida.

La cartografía basada en la embriología, combinada con los tres pilares de la naturaleza humana - voluntad, amor y sabiduría - conduce a una nueva comprensión de la enfermedad. De hecho, la descodificación proológica considera la enfermedad como una transformación del sistema, no como un fallo. Cuando el sistema materia-energía-información de una persona necesita mejorar para progresar, ésta aprovecha cualquier oportunidad evolutiva para cambiar y desarrollar habilidades y comportamientos, necesidades y deseos, y visiones de la vida y del mundo que le rodea.

Cada órgano desempeña un papel en la realización del proyecto vital del individuo y se actualiza con mayor o menor discreción, en función del grado de transformación necesario para el desarrollo.

Los objetivos de un enfoque proológico son restablecer el equilibrio, la energía y el bienestar respetando el proyecto vital de cada uno para lograr una realización holística.

Aplicación en biocoherencia

El programa informático permite una evaluación completa y la identificación de los temas y transformaciones que resuenan en el proyecto de vida. Se trata de una lectura positiva basada en el propósito y la liberación de energía, en contraposición a la descodificación biológica basada en el conflicto y los obstáculos

El principio de resonancia

"La resonancia es un fenómeno en el que ciertos sistemas físicos (eléctricos, mecánicos, etc.) son sensibles a determinadas frecuencias. Un sistema resonante puede acumular energía si se le suministra de forma periódica y cercana a una frecuencia conocida como "frecuencia de resonancia"."

Aplicación en biocoherencia

En las meditaciones sonoras, los sonidos o secuencias sonoras emitidos a determinadas frecuencias energizan ciertas estructuras orgánicas o mentales.

El principio de coherencia

"En física, la coherencia es la totalidad de las propiedades de correlación de un sistema de ondas. Podemos hablar de coherencia entre dos ondas, entre los valores de una misma onda en dos momentos diferentes (coherencia temporal) o entre los valores de una misma onda en dos lugares diferentes (coherencia espacial). Ejemplos de haces coherentes Luz láser"

Latidos binaurales

"Un latido binaural es un sonido aparente que se percibe en el cerebro como consecuencia de un determinado estímulo físico. Este efecto fue descubierto por Heinrich Wilhelm Dove en 1839.

El cerebro produce un fenómeno que se percibe como impulsos sonoros de baja frecuencia cuando dos sonidos de frecuencias ligeramente diferentes se emiten de forma independiente en cada uno de los oídos del sujeto. Si la diferencia entre las dos frecuencias es de 4 hercios, el sujeto oye 4 pulsaciones por segundo"

Aplicación en biocoherencia

En las meditaciones auditivas, se integran determinados ritmos binaurales en función de las prioridades a tratar. Éstos entrenan el cerebro en determinadas frecuencias de la gama alfa, beta, gamma o theta.

Ondas de escala

Marc Henry¹ explica que "existe una quinta dimensión de escala que es independiente de las tres dimensiones espaciales y de la dimensión temporal. Esta nueva dimensión permite determinar la escala a la que se produce el fenómeno espacio-temporal observado o medido. Pero si existe una nueva dimensión, también existen necesariamente ondas que pueden propagarse en ella. Estas son, por supuesto, nuestras ondas de escala. Su tarea es garantizar la coherencia entre las diferentes escalas de descripción y manifestación de un mismo objeto físico. Estas ondas de escala no aparecen en los tratados académicos de física cuántica o relativista. Sin embargo, nos resultan muy familiares. Sólo tenemos que aceptar la cuestión de cómo un individuo es capaz de reconocer las diferentes partes que la componen. Gracias a las ondas de escala, un mismo individuo puede percibir su unidad, independientemente de la escala que utilice para describirse".

Las ondas de escala fueron teorizadas por Joël Sternheimer, que las puso en práctica con Proteodies.

Cristales temporales

"Un cristal temporal es una estructura periódica en el tiempo y el espacio. La idea de una estructura de este tipo fue propuesta por Frank Wilczek en 2012. Según él, es posible imaginar una estructura formada por un conjunto de partículas que se mueven y vuelven periódicamente a su estado original, lo que formaría un "cristal temporal". El término se acuñó en referencia a las observaciones en un cristal "clásico", cuya estructura atómica tiene un patrón que se repite en diferentes direcciones en el espacio. En un cristal temporal, sin embargo, el patrón se repite periódicamente en el tiempo, como en un oscilador. Sólo una excitación periódica desde el exterior puede hacer surgir un cristal temporal que **absorba energía**. "

Aplicación en biocoherencia

Una vez identificadas las conexiones entre los elementos, pueden reconocerse patrones recurrentes. La idea es que estos patrones (que pueden ser secuencias de pensamientos, movimientos, dolor, disfunciones diversas...) forman estructuras que absorben constantemente energía del sistema general para mantener su movimiento. Los algoritmos del software pueden encontrar nodos específicos para interrumpir las repeticiones.

La relación entre mente y cuerpo

"La noción de ocurrencia fue introducida en la filosofía de la mente por Donald Davidson en la década de 1960 para conciliar las ideas aparentemente contradictorias de dependencia sistemática e irreductibilidad de la mente y el cuerpo. Si una propiedad de tipo B (por ejemplo, mental) surge de una propiedad de tipo A (por ejemplo, física), cualquier cambio de tipo B es equivalente a un cambio de tipo A. Por tanto, si existe una ocurrencia, no puede haber una diferencia de un tipo sin una diferencia de otro tipo en otro nivel de descripción. Así que existe una relación de covarianza entre estos dos niveles"

"Según Simon Blackburn, la visión física actual de la naturaleza carece de propiedades cualitativas como el color, el dolor y todo lo demás que constituye el aspecto cualitativo de nuestra experiencia del mundo."

"Algunos filósofos panpsiquistas, como Galen Strawson, sostienen desde esta perspectiva que todos los objetos físicos son en realidad propiedades mentales que se corresponden con las propiedades de la experiencia vivida."

1. <https://marchenry.org/2014/09/15/ondes-dechelle/>

La relación materia-energía-información-sentido; entropía física, energética, informacional y de sentido

Volviendo al "aspecto cualitativo de nuestra experiencia del mundo", echemos un vistazo a la materia:

- la materia se compone tanto de ondas como de partículas. Puede describirse como material (partículas) o energética (ondas). En realidad, son ondas autónomas y estacionarias que generan su propio campo magnético, como una cuerda de guitarra doblada sobre sí misma. De este modo, generan ...
- energía que se almacena o circula. Puede intercambiarse, pero no es ni negativa ni positiva en sí misma: sólo representa un intercambio de potencial energético en un sentido o en otro. Sin embargo, es portadora de ...
- información codificada en "energía o materia, y representa los símbolos del ...
- significado, que es en última instancia lo único que nos importa como seres conscientes.

Esto vuelve a poner en perspectiva el concepto de entropía. A nivel de la materia, la entropía es un movimiento o un potencial energético. A nivel de la información, la entropía es la cantidad potencial de información que se transmite a través del medio (energía o materia). Pero en el nivel último del significado, la entropía es la cantidad de información significativa que puede transmitirse realmente.

Por ejemplo, imaginemos un botón que activa una bomba nuclear. En el nivel de la información, un solo bit de información es suficiente para activar la bomba. A nivel de materia y energía, el efecto es gigantesco, pero localmente limitado. Y en cuanto a la importancia, depende del objetivo: ¿una ciudad (efecto enorme en el espacio y el tiempo) o un túnel de pruebas (efecto limitado al resultado del experimento)? De este modo, las cantidades de entropía a estos distintos niveles pueden ser radicalmente diferentes para una misma acción.

Sincronicidades

"A veces pensamos que el universo nos envía señales cuando se producen coincidencias aparentemente increíbles. Pero para Jung, se trata de sincronicidad, que podríamos definir como la simultaneidad de diferentes acontecimientos conectados por un significado que no es el del azar. En otras palabras, esta ciencia única puede resumirse como la coincidencia en el tiempo de una serie de acontecimientos (dos o más) que están conectados pero que no tienen una relación causal. Sin embargo, existe una conexión sustantiva

"Según Jung, cuando hablamos de sincronicidad, nos referimos a la conexión entre acontecimientos internos y externos. El individuo que experimenta estos acontecimientos encuentra así un significado en su unión. Jung definió la sincronicidad o l'occurrence como una búsqueda de patrones reconocibles"

Aplicación en biocoherencia

Reconocer patrones es una parte esencial de nuestra forma de entender el mundo. Las sincronicidades se entienden como la aparición de un significado a través de la coincidencia de acontecimientos a priori no relacionados. Es esta conexión a través del sentido, del significado, la que da lugar al sentido de la información. Esta relación emergente se pone de relieve en el cálculo de las conexiones entre biomarcadores. En el extremo, los sistemas coherentes indican el equivalente de las sincronicidades, es decir, la emergencia del significado a un nivel superior.

Semántica general

"La semántica general propone una forma no aristotélica de razonamiento para todos, desarrollada originalmente por Alfred Korzybski.

La semántica general intenta ampliar el marco de la semántica clásica (el estudio del significado del vocabulario y de los cambios que puede sufrir). El objetivo de Korzybski era concebir una lógica que también se correspondiera con el estado de desarrollo científico de su época y nos permitiera resolver los problemas humanos de forma más eficaz que con las lógicas anteriores de Aristóteles y Descartes, así como con la física aristotélica y newtoniana. Korzybski ya no consideraba que estas lógicas, que se habían desarrollado desde la antigüedad hasta el siglo XVII, fueran adecuadas para describir y resolver los problemas específicos de los descubrimientos de su siglo. Korzybski las aplicó a la psiquiatría, Henri Laborit a la biología (teoría de la inhibición de la acción) y a la agresología (investigación de las reacciones de los seres vivos en condiciones de agresión).

En Ciencia y razón, Korzybski explica que ve una correspondencia entre esta lógica no aristotélica y dos revoluciones científicas del siglo XX, la física cuántica y la teoría de la relatividad¹. Señala que la primera trastoca las categorías habituales de la razón, mientras que la segunda introduce una física "no newtoniana" y una geometría "no euclidiana"². Como en el caso de esta última, el "no" de la lógica no aristotélica no debe entenderse como una negación, sino como una generalización y superación de la lógica aristotélica, por lo que ésta queda incluida y la palabra "general" se entiende en el mismo sentido que la teoría general de la relatividad³. Por analogía con la física cuántica, Korzybski afirma que el observador es parte integrante de la representación de la realidad y que esto debe tenerse en cuenta en la semántica general⁴.

Aplicación en biocoherencia

Todo es significado. Este es el nivel más alto de abstracción en la cadena materia-energía-información-significado. Esto es lo que pretenden destacar los algoritmos desarrollados para BioCoherence.

Heurística

"La heurística es "el arte de inventar, de descubrir" resolviendo problemas a partir de conocimientos incompletos. Este tipo de análisis conduce a soluciones aceptables en un tiempo limitado. Éstas pueden desviarse de la solución óptima. Para Daniel Kahneman, es un proceso que ayuda a encontrar respuestas adecuadas, aunque a menudo imperfectas, a preguntas difíciles."

Aplicación en biocoherencia

La heurística es la "disciplina de la búsqueda de reglas". De nuevo, se trata de reconocer patrones, y resaltar las conexiones nos permite observar la organización general en lugar del estado particular de un solo elemento del sistema.

Ergodicidad

"Ergodicidad" es cuando varios análisis estadísticos diferentes y separados sobre el mismo tema producen un resultado suficientemente comparable. La teoría ha experimentado numerosos desarrollos en estrecha relación con la teoría de los sistemas dinámicos y la teoría del caos⁵.

Aplicación en biocoherencia

El reconocimiento de patrones es una parte integral del análisis, que se ve reforzado por los recientes avances en el aprendizaje profundo y las redes neuronales.

Irreductibilidad computacional

"La irreductibilidad computacional es una de las ideas clave propuestas por Stephen Wolfram en su libro *A New Kind of Science* (2002).

Muchos sistemas físicos son tan complejos que no pueden medirse de forma eficiente. Incluso los programas más sencillos muestran una gran variedad de comportamientos. En consecuencia, ningún modelo puede predecir con exactitud lo que ocurrirá en un sistema físico concreto basándose únicamente en las condiciones iniciales antes de realizar un experimento. Debido a este problema de irreductibilidad en el lenguaje formal de la informática, Wolfram denomina "irreductibilidad computacional" a esta incapacidad para "abreviar" un sistema (o "programa") o describir su comportamiento de forma sencilla. Esta idea muestra que hay casos en los que las predicciones de la teoría son realmente imposibles. Wolfram afirma que muchos fenómenos son normalmente irreducibles computacionalmente.

La irreductibilidad computacional explica las limitaciones observadas en la ciencia dominante actual. En los casos de irreductibilidad computacional, sólo se puede recurrir a la observación y la experimentación⁶

Aplicación en biocoherencia

Este concepto explica, por ejemplo, por qué la vida se desarrolla como lo hace. Digamos que vivimos en una simulación, como si fuéramos personajes de un videojuego: ¿Por qué deberíamos preocuparnos por todas las experiencias que vivimos? ¿Por qué no ir directamente al final? Porque según este principio, no es posible llegar directamente al final: Estamos obligados a pasar por todas las

fases del acontecimiento para poder experimentar el epílogo. Hay que "jugar el juego", porque nadie puede decir cómo acabará sin haberlo jugado en su totalidad.

En mi opinión, esto explica la mayor parte de las complejas cuestiones que plantean el misticismo y las preguntas existenciales. Supongamos que la metempsicosis (reencarnación) es cierta. Entonces, ¿por qué el karma? Sencillamente porque es importante calcular todas las opciones posibles, y el mejor sistema para calcular estas opciones es aquel que es consciente de las alternativas. Desde este punto de vista, el karma no es una herramienta de venganza, sino de reconocimiento cruzado de las consecuencias posibles e imprevisibles de un acontecimiento concreto. La vida nos enfrenta entonces a situaciones similares, pero desde un ángulo diferente, y depende de nosotros atravesar conscientemente las distintas fases y observar los resultados. En esta visión, no existe el destino ni un acontecimiento inevitable. La única realidad son las elecciones que hacemos ante los acontecimientos que se nos presentan, pero el resultado no es predecible hasta que hayamos hecho nuestras elecciones. En realidad, nuestra vida está completamente en nuestras manos.

El inconsciente, el inconsciente colectivo y los arquetipos

"El arquetipo es un concepto de la psicología analítica desarrollado por el psiquiatra suizo Carl Gustav Jung (1875-1961). Lo define como la tendencia humana a utilizar la misma "forma de representación dada a priori", que contiene un tema universal que estructura la psique y es común a todas las culturas, pero que se representa en formas simbólicas diferentes.

Para la psicología junguiana, el arquetipo es un proceso psíquico fundamental de las culturas humanas, ya que expresa los patrones elementales de comportamiento y representación que han surgido de la experiencia humana a lo largo de la historia, en conjunción con otro concepto junguiano, el del inconsciente colectivo."

Hablando del inconsciente, he aquí una lista de inventos y descubrimientos que los autores afirman haber realizado una mañana después de un sueño:

- Descartes afirmó que el 10 de noviembre de 1619, los fundamentos de una nueva filosofía, el método científico, le fueron revelados en tres sueños distintos. De acuerdo, así que el propio método científico procede de un sueño.
- E. Se dice que Howe inventó la aguja de la moderna máquina de coser de pespunte.
- El científico F.A. Kekulé descubrió la estructura química aparentemente imposible del benceno (C₆H₆) cuando soñó con un grupo de serpientes que se tragaban la cola.
- Niels Bohr recibió el Premio Nobel de Física en 1922 por su descubrimiento de la estructura del átomo. Recuerda que los electrones que orbitan alrededor del núcleo del átomo se le aparecieron como el sistema solar en un sueño.
- El químico ruso Dmitri Mendeleev estaba agotado tras tres días intentando clasificar los 56 elementos cuando decidió irse a dormir. "En mi sueño, vi una tabla en la que todos los elementos estaban dispuestos como debían estar. Cuando desperté, los anoté inmediatamente en un papel", escribió Mendeleev en su diario. "Sólo hubo un lugar en el que más tarde fue necesaria una corrección"
- El matemático indio Srinivasa Ramanujan, conocido por sus importantes contribuciones a la teoría de números, el cálculo y otras áreas de las matemáticas puras, afirmaba que la diosa hindú Namagiri Thayar le impartía visiones matemáticas en sueños: y que en estas visiones "se desenrollaban ante sus ojos rollos con las matemáticas más complicadas": "De repente, una mano empezó a escribir en la pantalla. Me volví muy atento. Esta mano escribía una serie de integrales elípticas. Se me quedaron grabadas en la cabeza. En cuanto me desperté, las escribí
- Un campo de vacas inspiró la teoría de la relatividad de Albert Einstein. En su sueño, Einstein le dijo a un granjero que las vacas estaban rodeadas por una valla eléctrica, pero el granjero vio otra cosa. Cuando Einstein despertó, se dio cuenta de que un mismo acontecimiento puede verse desde distintos ángulos, y la teoría de la relatividad tomó forma.
- Si Charles Darwin está en el punto de mira en lo que se refiere a la teoría de la evolución, el científico Alfred Russel Wallace no se queda atrás. Durante una expedición de ocho años a lo que hoy es Indonesia, Wallace recogió y estudió miles de especímenes animales. En 1855, Wallace llegó a la conclusión de que los seres vivos evolucionan, pero no comprendió cómo hasta que recibió la revelación en un sueño febril en 1858: Los animales evolucionan adaptándose a su entorno.
- Antes de los trabajos de Otto Loewi, la cuestión era saber si la neurotransmisión era esencialmente química o eléctrica. La noche anterior al domingo de Pascua, Loewi había soñado con el montaje experimental perfecto: dos cámaras con corazones latiendo, una con nervios intactos y la otra sin ellos. Estas cámaras se llenarían con una solución y se conectarían entre sí mediante un tubo. El experimentador estimularía eléctricamente la primera cámara del corazón para que latiera más despacio. Si la neurotransmisión es esencialmente eléctrica, no hay razón para que el segundo corazón lata más despacio. Sin embargo, si la neurotransmisión es química, en teoría podrían fluir sustancias químicas a través del tubo y ralentizar también el segundo coeuer en el otro ventrículo. Loewi toma nota de esta idea, pero es incapaz de descifrar su propia letra cuando se despierta a la mañana siguiente. El sueño vuelve a él la noche siguiente. En colaboración con Henry Dale, Loewi utilizó este montaje experimental para demostrar la neurotransmisión química y fue galardonado con el Premio Nobel en 1936.
- James Watson, que junto con Francis Crick descubrió la estructura de doble hélice del ADN - los componentes básicos de la vida - supuestamente soñó con una escalera de caracol que le dio la idea de cómo podía construirse el ADN. Según otras fuentes, soñó con dos serpientes entrelazadas con las cabezas en extremos opuestos.
- Hay innumerables canciones, libros, videojuegos y películas cuyas ideas se le ocurrieron una mañana.

La mente racional (cuya racionalidad, no lo olvidemos, proviene de un sueño) puede sacar varias conclusiones:

1. Los sueños permiten al inventor sintetizar sus pensamientos de un modo distinto al de la mente. Conclusión: existe otro proceso de pensamiento en nuestro interior que se alimenta de todo lo que ya llevamos dentro y que se expresa en los arquetipos. El inconsciente es capaz de proporcionarnos información interesante.
2. Los sueños son una puerta a otra dimensión del conocimiento. Conclusión: los sueños son un lenguaje que nos trae información antes inaccesible, quizá de otras realidades o de otros seres conscientes.

Estas dos posibilidades no se excluyen mutuamente. Pero independientemente de si el sueño es una puerta a nuestro interior o una puerta a otra realidad, una conclusión es cierta en ambos casos: el lenguaje de los sueños, el arquetipo del inconsciente, es una fuente válida de información y desarrollo para nuestros problemas conscientes.

Nuestra experiencia personal tras más de 10 años de meditación es que la meditación permite al inconsciente comunicarse mejor con la mente consciente. La meditación entrena a la mente consciente para escuchar mejor a la "vocecita" que, de otro modo, sólo se expresa en las profundidades de los sueños. Hemos visto el poder de dar más espacio al inconsciente. Estos dos aspectos trabajan juntos para resolver mejor los problemas, ya que tienen acceso a áreas de conocimiento muy diferentes.

Mi otra conclusión personal es que la comunicación interior debe entrenarse como un músculo. Las primeras visiones de Christine eran muy borrosas e inciertas, pero tras años de entrenamiento ha desarrollado un nuevo "sentido" que es tan perceptible como los 5 sentidos habituales. Sea cual sea la explicación del origen de esta información, se ha demostrado miles de veces que es tan real como los demás sentidos. Pero sin entrenamiento, es muy difícil separar la ilusión de la realidad. Al fin y al cabo, tardamos años en dominar y confiar en nuestros 5 sentidos físicos. Estos 5 sentidos no hacen más que traducir los estímulos que reflejan una realidad del mundo exterior en un patrón en nuestras neuronas. Ahora hemos comprendido que también existen sentidos "sutiles" que también traducen realidades externas concretas y que es necesario entrenar.

Aplicación en biocoherencia

Las meditaciones guiadas invocan diferentes arquetipos para poner en acción lo inconsciente y lo consciente en la resolución de problemas y el desarrollo interior.

La verdadera coherencia cardiaca

Dan Winter define la verdadera coherencia cardiaca por la aparición de un pico en cascada en la parte de "armonía" del análisis (es decir, una FFT de 2º orden). Una FFT o transformada de Fourier se utiliza para extraer frecuencias de una señal. Una FFT de 2º orden extrae las frecuencias armónicas musicales. Esta operación matemática permite reconocer que una clara mayoría de las frecuencias presentes en un electrocardiograma son armónicas entre sí; él lo denomina "verdadera coherencia cardiaca".

Este pico en la parte de "armonía" puede encontrarse en varias frecuencias, y se han identificado bandas de frecuencia de este pico que corresponden a las emociones básicas en el momento del registro.

Fractalidad, compresión y conjugación de fases

"Un número infinito de estados está comprimido al máximo si la relación entre las frecuencias es una potencia de la proporción áurea"[\[gsjournal²\]](https://www.gsjournal.net)

La compresión se define aquí como la suma máxima de frecuencias (con fases constructivas -conjugadas- entre ellas) que se consigue cuando las frecuencias son un múltiplo del número d'or entre ellas.

La fractalidad se refiere al hecho de que pueden encontrarse estructuras similares a diferentes escalas.

Mediciones elípticas

Dan Winter ha vuelto a establecer una ecuación fundamental para la "implosión" de energía óptima; esta ecuación predice muchas de las frecuencias resonantes que se encuentran en el universo. He denominado "Elfie" a la cantidad correspondiente, en parte en homenaje a los elfos (y a la arquitectura élfica en particular) y en parte a la propia ecuación: $n \text{ Elfie} = L_p \times \text{Phin}$, es decir, la longitud de Planck (la longitud medible más pequeña del universo) multiplicada por n veces la Proporción Áurea.

De este modo, la escala de Elfie no sólo es proporcional al número de Elfies, sino que también incluye valores dados para Elfies enteros. Estos valores enteros incluyen muchas cantidades conocidas como la longitud, el tiempo y la frecuencia. Consulte [Elfie.link³](#) para obtener más información.

2. <https://www.gsjournal.net/Science-Journals/Research-Papers-Quantum-Theory/Particle-Physics/Download/4543>

3.1.

Visión general de los módulos

- BioCoherence **Scan** es un módulo de análisis completo, que abarca desde un electrocardiograma sin procesar hasta varias docenas de mapas, gráficos y formas explícitas de calcular e interpretar los biomarcadores.
- BioCoherence **Test** es un método abierto para la evaluación de listas de ítems a partir del desarrollo en vivo del pulso (biorretroalimentación).
- BioCoherence **Balance** permite identificar y priorizar los recursos y crear informes en PDF y meditaciones individuales basadas en ellos.

Contenido

1.	Los módulos Equilibrio	17
1.1.	Recursos.....	17
1.2.	Prioridades.....	17
1.3.	Informe en PDF	18
1.4.	Equilibrio: la meditación personalizada	18
2.	Exploración: biomarcadores y análisis técnicos.....	19
2.1.	Módulo de gráfico temporal	19
2.2.	Módulo de biomarcadores	19
3.	Exploración: mapas de órganos.....	21
3.1.	Causas notables: energía.....	21
3.2.	Causas notables: entropía	22
3.3.	Sistemas notables: coherencia	22
3.4.	Cerebro	22
3.5.	Sistema cardiovascular	23
3.6.	Aparato digestivo.....	23
3.7.	Membranas	23
3.8.	Vértebras.....	24
3.9.	Sistema nervioso.....	24
3.10.	Dientes	24
3.11.	Aparato locomotor.....	25
3.12.	Sistema respiratorio	25
3.13.	Genitales femeninos	25
3.14.	Genitales masculinos	26
4.	Escanea: Meridianos, puntos y recetas de MTC.....	27
4.1.	Meridiano de la vejiga con enlaces.....	27
4.2.	Meridianos por energía, con temas comunes relacionados	27
4.3.	Puntos MTC.....	28
4.4.	Recetas de MTC, por coherencia.....	28
5.	Escanea: Los módulos de energía.....	29
5.1.	Ayurveda: Doshas y subdoshas	29
5.2.	Gráficos energéticos: chakras, planos, reloj e impulso	29
5.3.	Gráficos de energía: el micromundo	29
6.	Exploración: el módulo Mente.....	31
6.1.	El módulo de sombra.....	31
6.2.	Sombra: impulsiones	31
6.3.	El módulo Spirit	32
7.	Los módulos de pruebas	33
7.1.	Una lista de prueba tras una evaluación en vivo	33
7.2.	Una lista de pruebas.....	33
7.3.	Listas de pruebas	33
7.4.	prueba: biofeedback evaluación en vivo	34
7.5.	pruebas: editar.....	34

1. Los módulos Equilibrio

Prioridades, recursos, informes y meditaciones guiadas.

Equilibrio es una colección de herramientas que le ayudarán a alcanzar la máxima calidad

- **Prioridades** es lo que necesita atención ahora
- **Recursos** es aquello en lo que puede basarse de forma fiable
- **Informe** es un documento PDF para todas las partes importantes del análisis
- **Equilibrio** es la generación de meditaciones guiadas, frecuencias, ritmos binaurales y reevaluaciones, todo ello optimizado en tiempo real mediante biorretroalimentación

1.1. Recursos

El poder de los recursos: ya son suyos y ya están disponibles para ayudarle

Los recursos son los pilares principales, los principales impulsores de energía de esta grabación. El módulo Equilibrio se basa principalmente en los recursos para elegir las frecuencias relevantes, los ritmos binaurales y las voces de audio guía para acumular energía antes de comenzar el trabajo sobre las prioridades

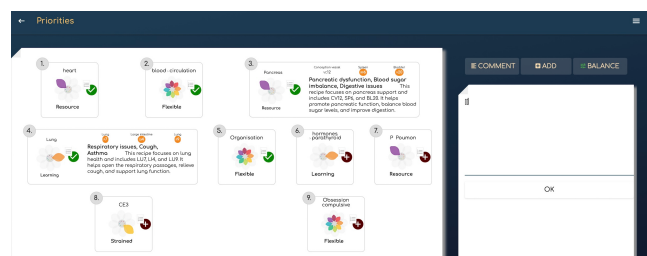
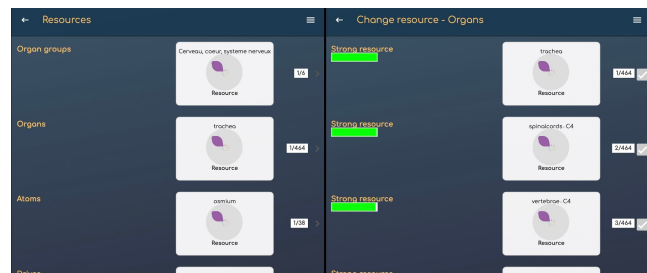
- Los recursos se identifican automáticamente pero pueden cambiarse si es necesario. Para cambiar un recurso, pulse sobre él y elija otro de los más importantes para esta categoría

1.2. Prioridades

Lo que necesita atención.

Las prioridades son biomarcadores que requieren atención. Se calculan automáticamente después de un registro, pero depende totalmente del usuario añadir o eliminar prioridades

- Las prioridades pueden añadirse o eliminarse de cualquier flor de biomarcador, en cualquier página o en el módulo Prioridades. Basta con hacer clic en el botón
- Bajo las prioridades, el botón **Comentario** permite al usuario añadir cualquier texto



- el botón **Añadir** muestra una lista de prioridades adicionales relevantes para elegir, si es necesario, entre Órganos, Meridianos de acupuntura, Puntos de meridianos, Recetas de MTC, Chakras, Impulsos, Momentum..

1.3. Informe en PDF

exportación en 1-clic de toda la información importante en formato PDF

El informe en PDF puede imprimirse, guardarse o enviarse en 1 clic. Contiene

- Información del cliente
- Información del registro
- Anotaciones
- Partes y sesiones
- Recursos y prioridades
- Meridianos principales (energía, entropía, coherencia)
- Principales órganos (energía, entropía, coherencia)
- Principales recetas MTC (energía, entropía, coherencia)

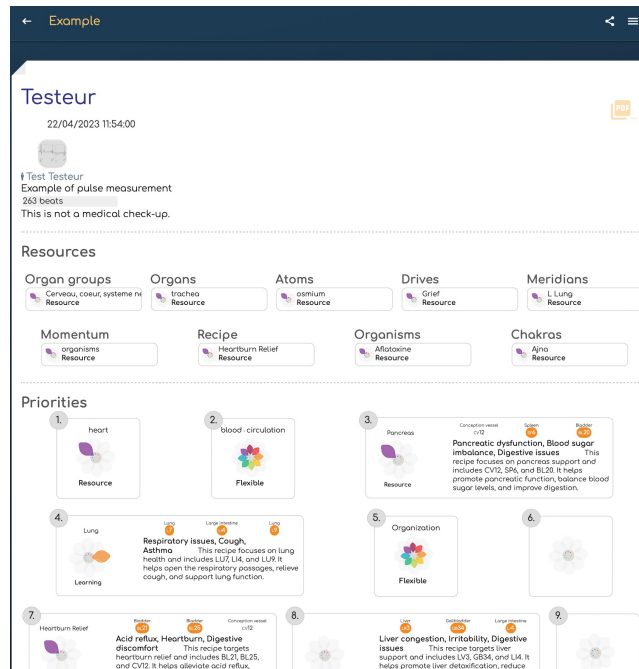
Puede ser personalizado por el profesional.

1.4. Equilibrio: la meditación personalizada

Ahora es el momento de pasar a la acción.

Balance es todo un módulo para crear meditaciones personalizadas.

- El usuario puede elegir un estilo con el que se sienta identificado, que recogerá tarjetas de diferentes series de meditaciones guiadas
- Se aconseja reevaluar cada día, antes de una nueva meditación: todos los biomarcadores evolucionarán y la meditación se volverá a calcular en consecuencia
- Los parámetros principales (velocidad de inmersión, personalidad, música, recursos) se calculan a partir de las características principales de los biomarcadores calculados. La música se genera a partir de la melodía y los acordes actuales del usuario, hasta el estado deseado, en una progresión armónica
- Las prioridades se muestran como planetas que orbitan alrededor del usuario, cada vez más lejos porque así es como la meditación se acercará a ellos, cada vez más en el espacio profundo.
- Una herramienta adicional es el **fundidor de tiempo Cristal** que se calculará en torno a valores enteros de tiempo-Elfie y recordará al usuario en los momentos adecuados las decisiones y el trabajo en curso. Piense en ello como micro-meditaciones, de 5 a 30 segundos para uno mismo en determinados nodos temporales. El objetivo es disolver el Cristal del tiempo de los hábitos y reprogramar todo el sistema en 21 días



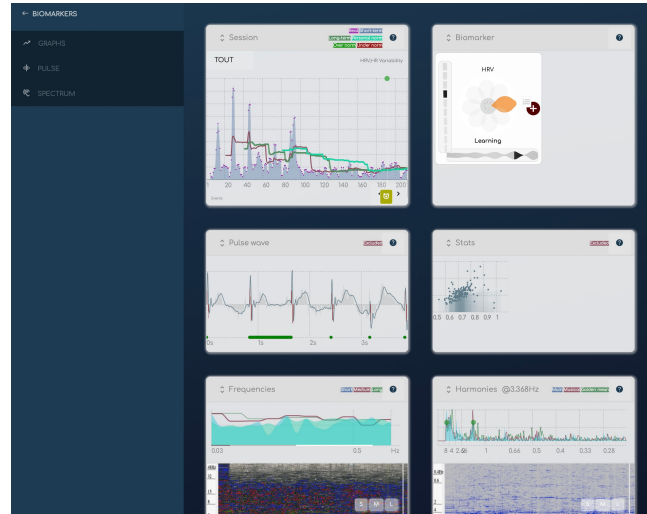
2. Exploración: biomarcadores y análisis técnicos

Para trabajar el pulso, los biomarcadores y el espectro del ECG.

BioCoherence construye sus biomarcadores exclusivamente mediante operaciones matemáticas sobre el pulso del ECG registrado en bruto.

- En este módulo, puede acceder a la grabación en bruto, desactivar latidos si se han producido errores de medición (la aplicación autodesactiva los latidos basándose en un algoritmo de detección automática de la calidad) y trabajar sobre eventos temporales.
- También puede ver la información de primer, segundo y tercer orden de los biomarcadores, y examinarlos por categorías (hay más de 1400 biomarcadores...).

2.1. Módulo de gráfico temporal

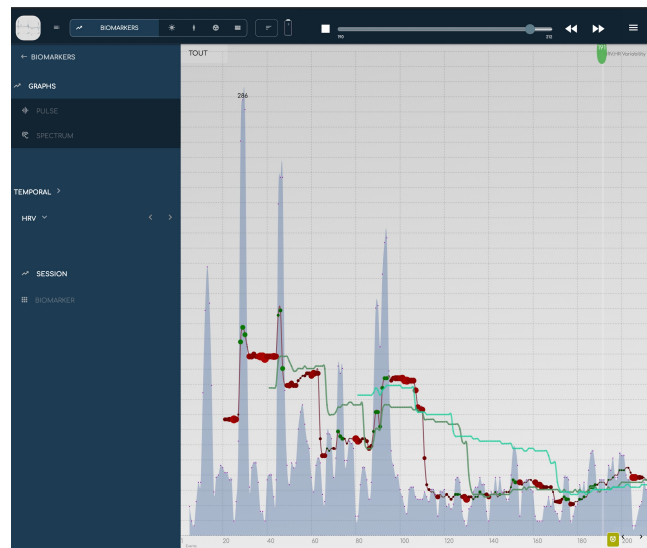


Vea cómo evoluciona un biomarcador a lo largo del tiempo y de las sesiones.

BioCoherence trabaja con biomarcadores de forma muy dinámica, evaluando su evolución en varios plazos y comparándolos entre sí

- En este gráfico, cada biomarcador se muestra a nivel de latido, comparado con las medias móviles a corto, medio y largo plazo
- Puede moverse dentro del registro con el desplazamiento superior (pulse el botón Reproducir para visualizarlo; pulse el botón Detener para comparar entre sesiones). También puede hacer clic en el gráfico para desplazar la marca actual
- Puede cambiar la escala del zoom con el selector de rango superior izquierdo
- Puede trabajar con eventos en este módulo: los eventos se muestran en la parte inferior del gráfico. Para crear o editar un evento, haga clic en el botón situado en la parte inferior del gráfico

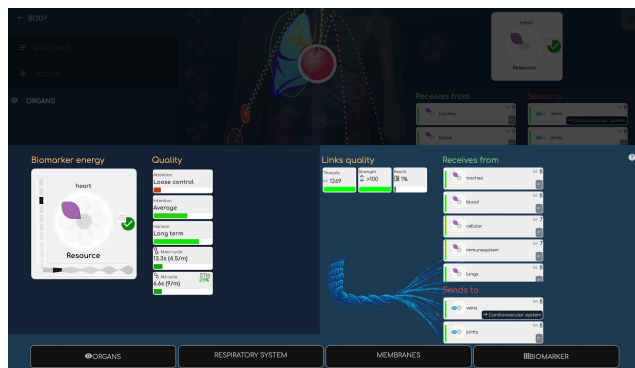
2.2. Módulo de biomarcadores



Una inmersión profunda en la amplia información de un biomarcador.

Cada biomarcador está a un solo clic en el panel Biomarcador, que muestra de forma compacta y cómoda todo lo que hay que saber sobre su dinámica

- La información principal es la **flor** del biomarcador, que permite evaluar inmediatamente su principal cualidad. La Flor es un compuesto de su energía principal y su entropía principal (o agitación). Hay 9 pétalos diferentes, y cada uno va acompañado de una palabra sencilla para comprender su cualidad principal
- Las cualidades dinámicas se muestran en la 2ª columna. **La atención, la intención y el horizonte** son informaciones sobre su dinámica a largo plazo
- El ciclo principal y el ciclo alternativo también se muestran en esta columna. Se trata de la respiración principal del biomarcador. El ciclo se muestra en duración (segundos) y periodo (por minuto). Si el ciclo coincide con un valor entero de El'fie, lo que indica una resonancia con buena implosión de energía, se resalta el enlace a la tabla Elfie
- El panel de **enlaces** muestra las relaciones con otros biomarcadores (aquí, otros órganos). La calidad de los enlaces es un compuesto de las cuerdas principales (hilos es un recuento de todos los enlaces, fuerza sobre su solidez, y Alcance indica cuántos biomarcadores de la familia están enlazados con éste). Recibe de, y envía a, enumera los otros biomarcadores. Un clic sobre él abre su página de información
- En la parte inferior, los botones Mapas y Gráfico permiten acceder directamente a las páginas correspondientes.



3. Exploración: mapas de órganos

Se han diseñado para BioCoherence docenas de mapas corporales exclusivos, bellamente dibujados, de modo que la navegación y los enlaces resulten fáciles de ver y comprender.

Con cerca de 500 biomarcadores dedicados a sistemas orgánicos, órganos o partes de órganos, creímos que teníamos que mapearlo todo para que tuviera sentido

- Una docena de mapas bellamente elaborados para una visión general o zooms en Dientes, Vértebras, Nervios, Cerebro..
- Una de las características principales de BioCoherence son **los vínculos de información de tercer orden entre los biomarcadores**. Cada mapa destaca bellamente los enlaces entre los órganos del mapa, o enlaza en un clic con órganos de otros mapas
- Los enlaces visuales y las dos columnas permiten evaluar inmediatamente las relaciones energéticas con otros órganos (recibe de, o envía a)
- El selector de la izquierda enumera todos los órganos de este mapa, junto con su evaluación de biomarcadores



Abrir el módulo

Haciendo clic en "Cuerpo" y después en "órganos", se abre el módulo con una visión general del cuerpo, incluyendo una selección de los biomarcadores más importantes: órganos principales, hormonas principales, partes principales del aparato locomotor, sangre, células

Si hace clic en un órgano, o lo selecciona en la lista del menú, aparece rodeado de un halo blanco y se muestran los principales vínculos con los demás órganos de esta pantalla (están rodeados de un círculo rojo si reciben energía del órgano seleccionado, y de un círculo verde si le envían energía).

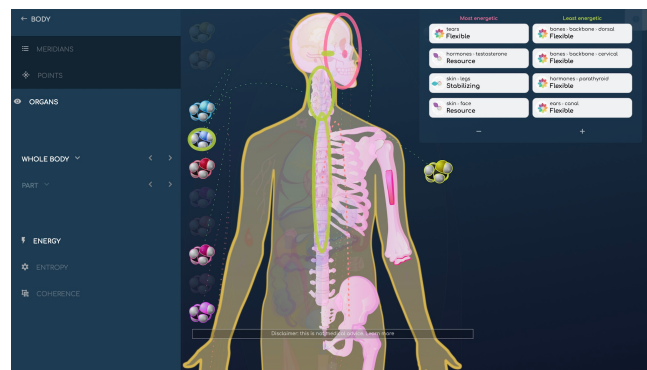
Si existen vínculos con órganos que se detallan en otros mapas corporales, se identifican con el nombre de ese mapa sobre fondo negro; al pulsar sobre él se abrirá ese mapa detallado.

3.1. Causas notables: energía

Destaca inmediatamente las partes más y menos energéticas

Cada mapa corporal tiene un submenú de Energía, Entropía y Coherencia, por debajo del menú de mapas y del menú de partes.

- El módulo **Energía** muestra los elementos menos y más energéticos de este mapa, junto con sus vínculos de relación. Puede cambiar el número de elementos pulsando los botones y bajo la lista, y hacer clic en cualquier biomarcador para mostrar su información.



3.2. Causas notables: entropía

Destaca inmediatamente las partes más agitadas y las más estáticas

Cada mapa corporal tiene un submenú de Energía, Entropía y Coherencia, por debajo del menú de mapas y del menú de partes.

- El módulo de **Entropía** muestra los elementos más agitados y más estáticos de este mapa, junto con sus vínculos de relación. Puede cambiar el número de elementos pulsando los botones y bajo la lista, y hacer clic en cualquier biomarcador para mostrar su información.



3.3. Sistemas notables: coherencia

Destaca inmediatamente los sistemas que más resuenan juntos.

Cada mapa corporal tiene un submenú de Energía, Entropía y Coherencia, por debajo del menú de mapas y del menú de partes.

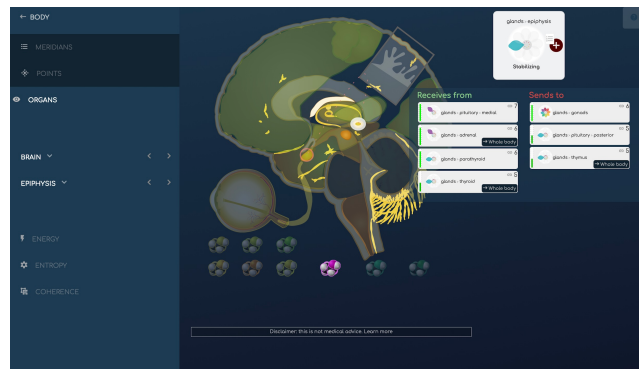
- El módulo **Coherencia** muestra los sistemas que están más en fase entre sí, que resuenan juntos, junto con sus vínculos de relación. Puede hacer clic en cualquier biomarcador para visualizar su información.



3.4. Cerebro

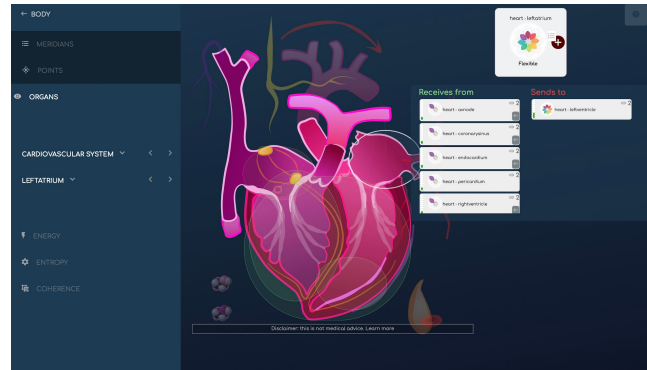
Aquí se destacan gráficamente los vínculos entre los componentes del cerebro y las hormonas ligadas a ellos; también es posible visualizar los más notables desde el punto de vista energético, los más o menos agitados y los que están en coherencia

También hemos añadido los ojos y sus componentes a este mapa.



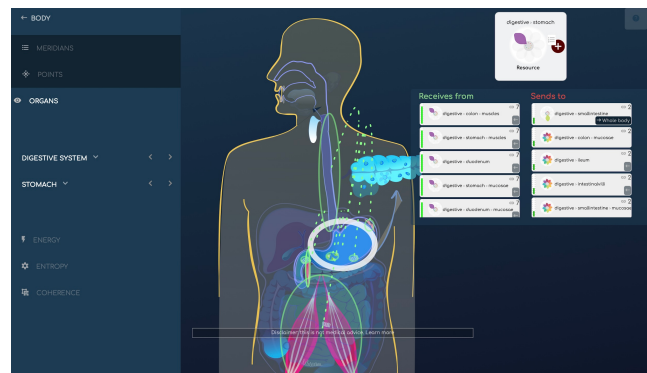
3.5. Sistema cardiovascular

En él se destacan gráficamente los vínculos entre los elementos del sistema cardiovascular; también es posible visualizar los más notables desde el punto de vista energético, los más o menos agitados y los que están en coherencia. El tablero anatómico del sistema cardiovascular incluye el corazón y todos sus detalles, el sistema sanguíneo (venas, arterias... incluyendo la circulación y el control simpático de la presión sanguínea), la sangre (plasma, hemoglobina) y las hormonas (adrenalina y noradrenalina).



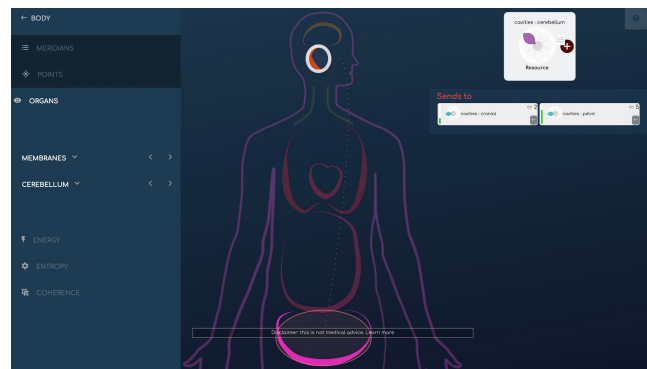
3.6. Aparato digestivo

En él se destacan gráficamente los vínculos entre los elementos del aparato digestivo, desde la boca hasta el ano; también es posible visualizar los más notables desde el punto de vista energético, los más o menos agitados y los que están en coherencia.



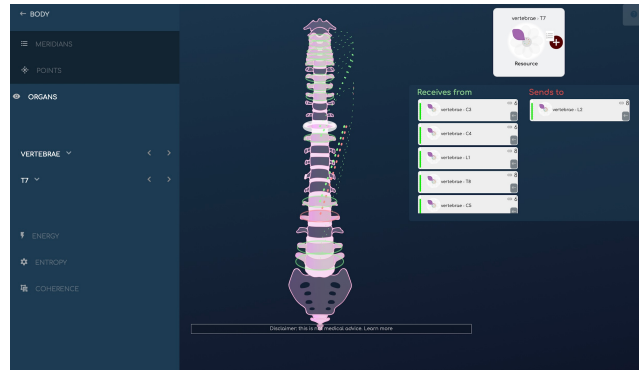
3.7. Membranas

La disposición anatómica de las membranas es un poco inusual; queríamos destacar los vínculos de resonancia entre estas grandes cavidades. De hecho, son una parte importante del equilibrio global desde un punto de vista holístico, que suele tenerse poco en cuenta. Proporcionan un nivel de lectura semiglobal y también son importantes desde el punto de vista de la interpretación prológica.



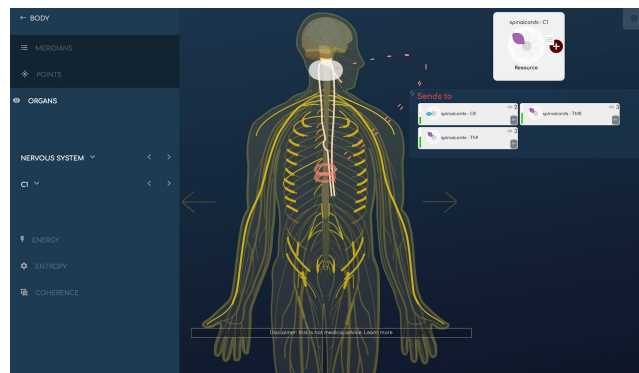
3.8. Vértebras

Aquí se resaltan gráficamente los vínculos entre las vértebras; también es posible visualizar las que son más notables desde el punto de vista energético, las que están más o menos agitadas y las que son coherentes.



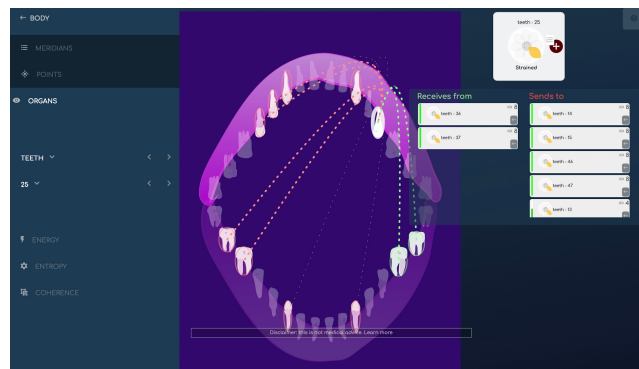
3.9. Sistema nervioso

En él se destacan gráficamente los vínculos entre los elementos del sistema nervioso; también es posible visualizar los más notables desde el punto de vista energético, los más o menos agitados y los que están en coherencia. El sistema nervioso incluye el cerebro y los detalles del cerebro, los nervios y los detalles de ciertos nervios, y los nervios ligados a la médula espinal.



3.10. Dientes

Aquí se destacan gráficamente los vínculos entre dientes y encías; también es posible visualizar los dientes más energéticamente significativos, los más o menos agitados y los que están en coherencia.



3.11. Aparato locomotor

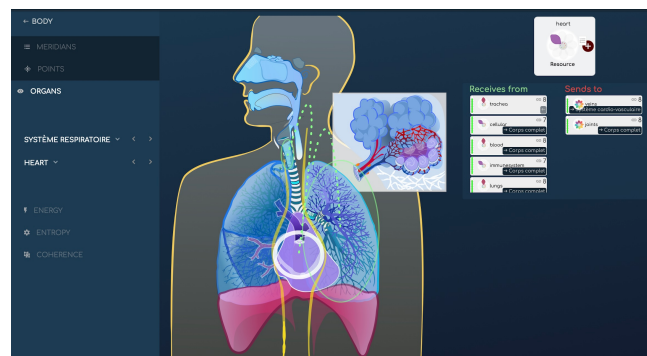
Aquí se destacan gráficamente los vínculos entre los elementos del sistema musculoesquelético (huesos, músculos, pero también hormonas y algunos órganos); también es posible visualizar los más notables desde un punto de vista energético, los más o menos agitados, y los que están en coherencia

Las selecciones realizadas en cada placa anatómica están diseñadas para resaltar las relaciones relevantes entre los elementos. En esta pantalla, además de las partes de la columna vertebral, la médula ósea, el esqueleto, los cartílagos, los músculos, la fascia y el metabolismo del calcio, hemos añadido hormonas y órganos interesantes como la paratiroides, la hdh o la noradrenalina, el cabello, la piel y los dientes.



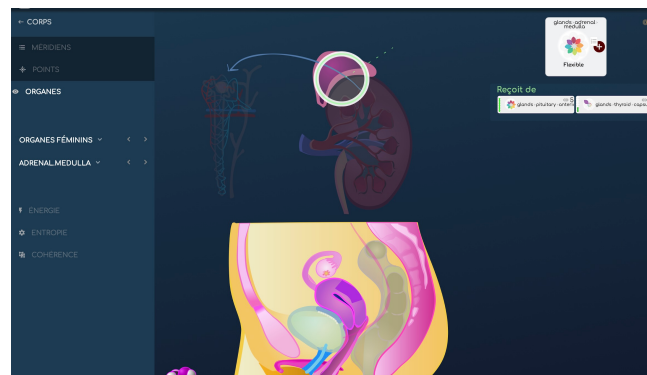
3.12. Sistema respiratorio

Aquí se destacan gráficamente los vínculos entre los elementos del sistema respiratorio; también es posible visualizar los más notables desde el punto de vista energético, los más o menos agitados y los que están en coherencia. En esta pantalla también encontramos los senos frontales, los canales auditivos y el corazón.



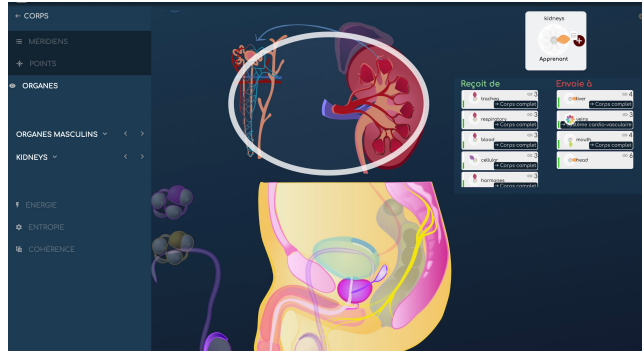
3.13. Genitales femeninos

Aquí se destacan gráficamente los vínculos entre los elementos de los genitales femeninos y los órganos relacionados (riñones, vejiga, sacro, glándulas suprarrenales y hormonas relacionadas como la pregnolona...); también es posible visualizar los más notables desde un punto de vista energético, los más o menos agitados y los que están en coherencia..



3.14. Genitales masculinos

Aquí se destacan gráficamente los vínculos entre los elementos de los genitales masculinos y los órganos relacionados (riñones, vejiga, sacro, glándulas suprarrenales y hormonas relacionadas como la testosterona, la dhea, la hgh...); también es posible visualizar los más notables desde un punto de vista energético, los más o menos agitados y los que están en coherencia..



4. Escanea: Meridianos, puntos y recetas de MTC

Meridianos, puntos de acupuntura, recetas de MTC

Maestros de la evaluación energética desde hace 5000 años, la Medicina Tradicional China se utiliza ampliamente y se amplía de forma espectacular en BioCoherence

- **Los meridianos** se visualizan en 12 o 20 partes. Son los principales canales energéticos del cuerpo, el gráfico muestra sus vínculos y el mapa, sus recorridos
- **Los puntos de acupuntura** se animan dinámicamente en el mapa. Nuestro algoritmo exclusivo calcula más de 350 puntos
- **Las recetas** son formas tradicionales de tratar los problemas energéticos, a la manera de la MTC. Hemos ampliado drásticamente este principio para calcular la energía, la entropía y la coherencia de cientos de recetas para valorar su utilidad en la evaluación actual, indicando así su posible necesidad, una forma de evaluación que podría ayudar a diagnosticar problemas.



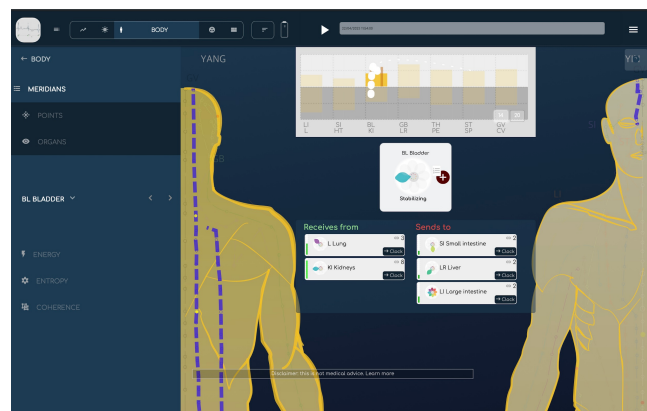
4.1. Meridiano de la vejiga con enlaces

Haga clic en un meridiano para obtener información.

Al hacer clic en un meridiano, el gráfico mostrará sus relaciones con otros meridianos, el biomarcador mostrará su cualidad principal, y se mostrarán los vínculos con otros meridianos (recibe de, o envía a)

- Puede navegar por los meridianos con el menú de la izquierda, y mostrar todos los meridianos con su biomarcador en el menú desplegable.

4.2. Meridianos por energía, con temas comunes relacionados



Identifica lo mejor y lo peor energéticamente, en un clic

El menú **energético** muestra directamente los meridianos más energéticos y menos energéticos, lo que puede ayudar a identificar problemas.

- Al hacer clic en un meridiano, aparecen conclusiones adicionales, que están relacionadas con el estado energético actual del meridiano, y las posibles afecciones cuando se asocian al estado de otros meridianos, según los conocimientos de la MTC

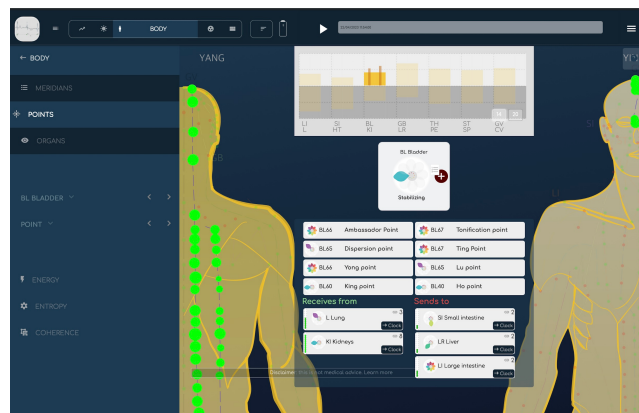


4.3. Puntos MTC

Se calculan más de 350 puntos

El módulo **Puntos** muestra los puntos de acupuntura de la MTC

- Haga clic en un meridiano para mostrar todos los puntos de este meridiano, junto con información tradicional sobre los puntos importantes del meridiano
- Haga clic en un punto para ver su biomarcador.

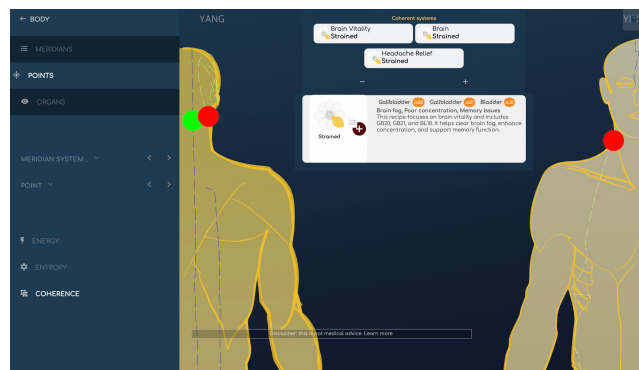


4.4. Recetas de MTC, por coherencia

La coherencia es una forma de ver recetas que están totalmente en fase.

Hemos hecho ingeniería inversa de las recetas de acupuntura para convertirlo en una herramienta de evaluación.

- Al hacer clic en **Coherencia**, se muestran las recetas cuyos puntos están totalmente en fase juntos (es decir, sus puntos resuenan juntos y se mueven juntos como un único punto). Haga clic en una receta para ver los puntos en el mapa y obtener indicaciones. Cuando se añada a las prioridades, la receta se utilizará en la parte Equilibrio para ayudar a reequilibrar sus efectos.



5. Escanea: Los módulos de energía

Todo lo que necesita para evaluar a nivel energético

Estos gráficos permiten ver informaciones como chakras, reloj, planos, impulso, átomos, influencias y organismos.

5.1. Ayurveda: Doshas y subdoshas

La evaluación ayurvédica de la energía del cuerpo.

Los médicos ayurvédicos saben cómo trabajar con la constitución energética del cuerpo. Las tres constituciones principales son Vata, Pitta y Kapha, cada una con 5 sub-doshas. En un análisis de BioCoherencia, puede ver cómo se mueven cada dosha y sub-dosha al desplazar el cursor del tiempo, porque todos estos sistemas son dinámicos. La forma en que se mueven forma parte de nuestra evaluación.

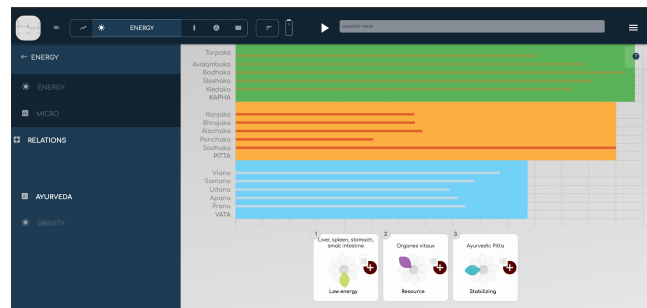


5.2. Gráficos energéticos: chakras, planos, reloj e impulso

Los principales motores energéticos del cuerpo

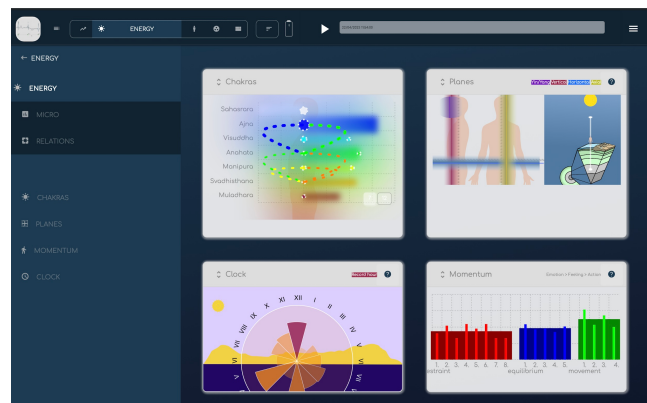
Estos 4 gráficos permiten una evaluación energética adecuada de las principales funciones del organismo

- **Chakras** puede mostrar los 7 o 12 chakras, su aura global y las relaciones entre ellos
- **Planos** destaca los principales equilibrios energéticos del cuerpo: se muestran los planos horizontal, vertical y axial, junto con el vínculo con el campo terrestre profundo y el campo celeste
- **Reloj** muestra la relación entre los meridianos y sus principales horas de funcionamiento, junto con la hora de registro, para evaluar la correcta alineación horaria.
- **Momentum** es un gráfico que hemos creado para mostrar las 3 inercias principales y sus componentes: las que frenan, las que equilibran y las que ayudan al movimiento.



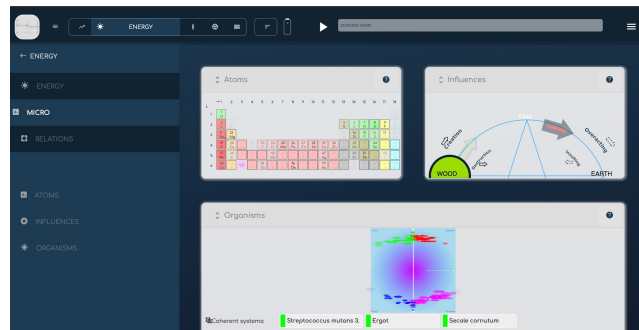
5.3. Gráficos de energía: el micromundo

Muy pequeño, pero muy útil



Estos 3 gráficos muestran los microelementos que pueden afectar al sistema global

- **Átomos** muestra la tabla periódica y las resonancias entre elementos
- **Influencias** es la estrella de los 5 elementos de la MTC, con sus respectivas influencias constructivas o destructivas calculadas y resaltadas mediante flechas
- **Organismos** es la evaluación de 200 organismos externos (virus, bacterias, hongos y parásitos) y sus respectivos vínculos.

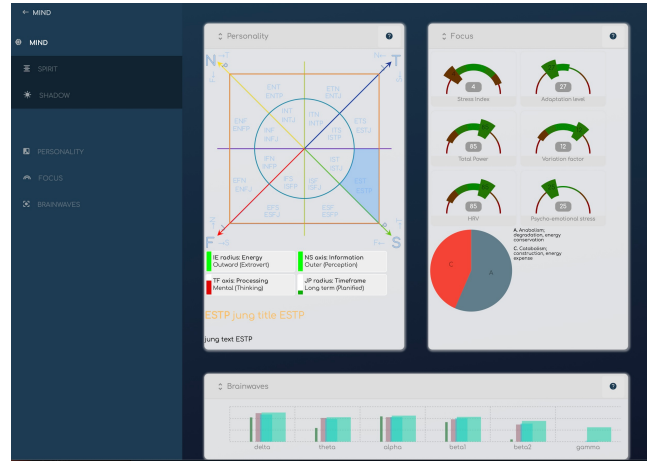


6. Exploración: el módulo Mente

Mente, Espíritu y Sombra son el centro de este módulo.

Con más de 300 biomarcadores dedicados a lo que ocurre en nuestros pensamientos, el módulo Mind pretende organizar de forma cómoda sus lecturas

- **Mind** aborda la personalidad, la concentración y las ondas cerebrales.
- **Personalidad** reconstruye el tipo de personalidad de Jung (más tarde popularizado como Myers Briggs o MBTI). Para esta pantalla creamos una visualización lógica única y nueva basada en 4 ejes que descubrimos en la evaluación de la personalidad
- **Focus** reagrupa los indicadores académicos tradicionales de la VFC, así como un visualizador del equilibrio constructivo/destructivo
- **¿Ondas cerebrales?** Sí, nuestro sensor puede leer hasta 64 Hz la electricidad de todo el cuerpo, no sólo la del corazón. Hemos diseñado un algoritmo para extraer las informaciones específicas de las ondas cerebrales para tener una idea de los estados de concentración más activos de la mente.



6.1. El módulo de sombra

Emociones, heridas y pulsiones

La sombra, o el subconsciente, es parte integrante de nuestro comportamiento.

- **Las emociones** se extraen de los ritmos principales del ECG
- **Las heridas** se relacionan con las influencias de la MTC. Las 5 heridas (u 8 heridas como se diseñó originalmente) tienen un uso popular desde hace 30 años. En la Biocoherencia, ampliamos su significado añadiendo sus respectivas relaciones constructivas o destructivas
- **Los impulsos** son una forma completamente nueva de organizar las emociones de forma significativa

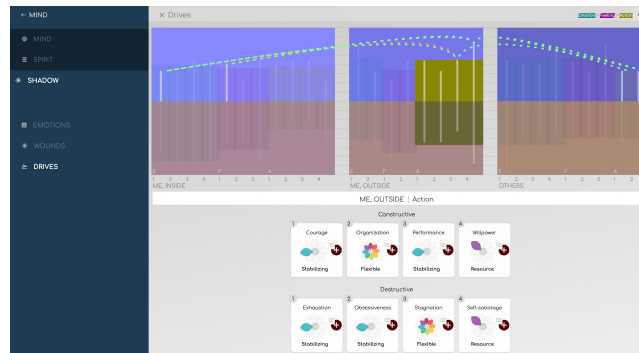


6.2. Sombra: impulsiones

Una nueva forma de organizar las emociones.

Impulsiones es una forma completamente nueva de organizar las emociones de forma significativa en 28 grupos de opuestos, ordenados en 3 grupos principales (ME inside, ME outside y OTHERS), cada uno de los cuales comprende 3 subgrupos (Emotion, Feeling, Action)

- **ME inside** aborda las emociones que conciernen a mi funcionamiento interior
- **YO fuera** aborda las emociones que relacionan mi funcionamiento interior con lo que ocurre a mi alrededor
- **OTROS** aborda las emociones relacionadas con otras personas que me rodean
- **La emoción** es la raíz de su origen
- **El sentimiento** es cómo las interpreto
- **La acción** es lo que hago con ellas



Utilizando técnicas de meditación como la mente observadora, uno puede comprender mejor la articulación y las implicaciones de las emociones que surgen

Los vínculos de resonancia entre las emociones, que se muestran al hacer clic en el gráfico, también pueden ayudar a comprender lo que está ocurriendo.

6.3. El módulo Spirit

Alineación de música y escalas

El espíritu es esa parte de nosotros que trasciende el espacio y el tiempo.

- **Lamúsica** es una lectura de las principales frecuencias del ECG unida a mucha teoría musical. La escala y los acordes principales se calculan a corto plazo (un compás), medio plazo (2 compases), largo plazo (3 compases) y muy largo plazo (4 compases). Estos se utilizan después al construir la meditación personalizada, para llevarle musicalmente desde donde se encuentra hasta donde podría llegar
- **La alineación** se basa en la ecuación de Dan Winter y en los valores enteros de Elfie².
- en Alineación, la **Coherencia enfocada** es, como dice Dan, la "Coherencia real del corazón": calcula la cantidad de enfoque a través del cepstrum (FFT de 2º orden) o, en términos sencillos, calcula hasta qué punto las frecuencias globales que se encuentran en el ECG están **musicalmente** afinadas y en fase entre sí
- en Alineación, **Coherencia cardíaca real** calcula lo mismo pero para frecuencias que son múltiplos de la media áurea entre ellas
- en Alineación, **Implosión incrustada %** muestra la parte de las frecuencias que están próximas a valores enteros de Elfie, indicando así la cantidad de energía que está incrustada actualmente en el mejor ciclo de implosión de energía



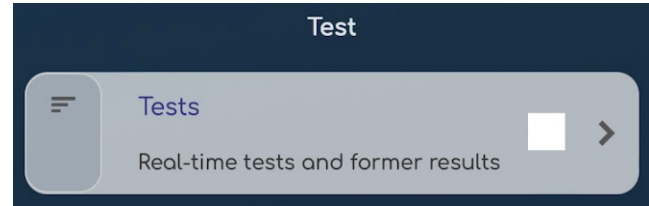
2. <https://elfie.link>

7. Los módulos de pruebas

Utiliza la biorretroalimentación para obtener una evaluación en tiempo real de cualquier información

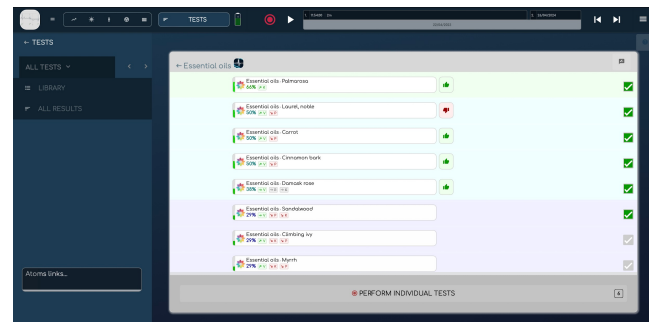
Las **pruebas** son una forma única de evaluar cualquier tipo de información

- Utilizando la biorretroalimentación en tiempo real, los tests son evaluaciones individuales de compatibilidad
- Las pruebas se componen de listas de elementos. Cada elemento puede calcularse previamente a partir de una exploración, y probarse en directo con la reacción del organismo a su información



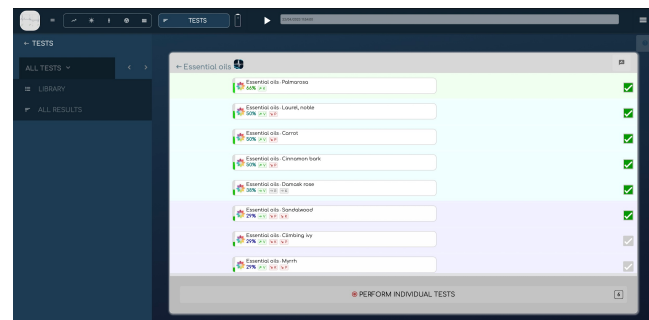
7.1. Una lista de prueba tras una evaluación en vivo

Después de la evaluación en directo, puede ver las 2 informaciones que aparecen en la lista: la preevaluación automática (si la hay), basada en las necesidades del biomarcador y el efecto declarado de cada elemento de la lista; y la respuesta de biorretroalimentación, un pulgar hacia arriba o hacia abajo, basada en la respuesta somática del organismo durante la prueba.



7.2. Una lista de pruebas

Una prueba se compone de una lista de elementos que deben evaluarse y ordenarse.



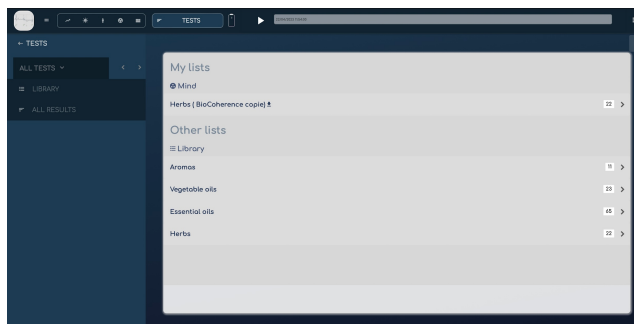
7.3. Listas de pruebas

Searching, editing, sharing and choosing tests

Tests es una plataforma abierta en la que los creadores pueden crear y compartir sus listas. Puede buscar por palabras clave, creador o tipo de prueba, duplicar las pruebas existentes para crear las suyas propias y mostrar todos los resultados de las pruebas del informe actual con un solo clic.

7.4. prueba: biofeedback evaluación en vivo

Al lanzar una prueba, se envían informaciones al usuario y se evalúa la respuesta somática.



7.5. pruebas: editar

Cualquier profesional puede crear pruebas para sí mismo o para compartirlas posteriormente. Para cada elemento de la lista de pruebas, se puede especificar la acción sobre los biomarcadores para una evaluación automática, o añadir cualquier tipo de información para una evaluación de biorretroalimentación.



3.2.

Manual detallado

Este manual cubre todos los aspectos de la aplicación y cada capítulo está ilustrado con capturas de pantalla y vídeos para ayudarle a comprender la mejor manera de utilizar la aplicación

Nota: Este manual contiene un **foro** para cada capítulo. Se trata de un foro colaborativo: puede participar en él formulando preguntas o dando las respuestas que conozca.

Para acceder a los vídeos y al foro por capítulo, visite biocoherence.net/tutorials

Contenido

8.	Introducción	37
8.1.	Vista general de la interfaz del software	37
8.2.	Abrir un informe	38
8.3.	Grabación con sensor.....	40
8.4.	Gestión de clientes	40
8.5.	Informe de varias partes	42
9.	Comprender: Biomarcadores	43
9.1.	Biomarcadores en detalle.....	43
9.2.	Edición y verificación de la onda de pulso (grabación en bruto).....	45
9.3.	Supervisa los cambios de los biomarcadores a lo largo de las sesiones.....	46
9.4.	Análisis de frecuencias y armónicos	46
9.5.	La cadena causal	47
9.6.	Polígrafo	49
10.	Comprender : Energía.....	51
10.1.	Impulso	51
10.2.	Átomos	52
10.3.	Evaluación energética ayurvédica	52
10.4.	Visualización de los chakras.....	54
10.5.	Influye en.....	54
11.	Comprender : Cuerpo	55
11.1.	Meridianos de la MTC.....	55
11.2.	Mapas de órganos	56
11.3.	Puntos de acupuntura.....	57
12.	Comprender: Mente	59
12.1.	Alineación.....	59
12.2.	Ondas cerebrales.....	59
12.3.	Impulsa	60
12.4.	Emociones	62
12.5.	Enfoque.....	63
12.6.	Música	64
12.7.	Los 16 tipos de personalidad	65
12.8.	Las 5 heridas.....	67
13.	Pruebe	68
13.1.	Listas de pruebas	68
14.	Equilibrio	72
14.1.	Prioridades	72
14.2.	Recursos.....	73
14.3.	Informe en PDF	75
14.4.	Equilibrio: Meditaciones, sonidos y herramientas	76
14.5.	Impulso armónico.....	79
15.	IA en BioCoherence	82
15.1.	Ayudantes de IA	82

8. Introducción

Presentación general de esta guía

En esta introducción, veremos cómo abrir un informe existente, importar un ECG desde Salud o crear un nuevo informe grabando con Sensor. También echaremos un vistazo a los conceptos iniciales de la aplicación.

8.1. Vista general de la interfaz del software

Interfaz en ordenador, tableta o smartphone; foros, acceso manual contextualizado y solicitudes de ayuda contextualizadas.

Cuando abre un informe después de grabarlo, hay varios elementos de la interfaz que le ayudarán a navegar y analizar los datos de forma eficaz.

En la parte superior de la interfaz, encontrará un menú que da acceso a las distintas partes del informe. Una barra de navegación le permite desplazarse dentro de la grabación. El menú principal está dividido en varias secciones. Para volver al resumen, basta con hacer clic en el botón correspondiente.

Las secciones principales incluyen :

- **Análisis de la exploración:** Esta sección muestra varias pantallas, como la del cuerpo, la energía, el análisis técnico de biomarcadores, el análisis de la mente y la progresión a través de las grabaciones.
- **Pruebas:** Actualmente, esta sección sólo tiene una entrada, pero se añadirán más opciones. Incluye pruebas de lista, pruebas de frecuencia y pruebas en vivo.
- **Conexiones de los sensores:** Haciendo clic en el icono de la batería, puede iniciar una conexión Bluetooth con los sensores e iniciar directamente una grabación.

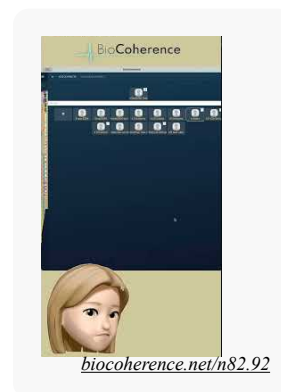
La navegación en la grabación puede estar en la parte superior de la pantalla en un ordenador o en la parte inferior en un teléfono, dependiendo del tamaño de la pantalla. Puede navegar entre secciones como antes de la sesión, después de la sesión y ver todas las acciones realizadas para un cliente concreto. La interfaz también permite navegar latido a latido para realizar análisis detallados en tiempo real.

El guardado del informe incluye la información del cliente, el título del informe y la posibilidad de guardarlo en la nube. Esto permite el acceso desde múltiples dispositivos y asegura los datos lejos del ordenador local. También puede cambiar de cliente si se ha iniciado una grabación en el perfil equivocado.

El menú general de la parte superior de la interfaz ofrece varias opciones:

- Volver a la página de inicio
- Editar listas de pruebas
- Gestión de contactos
- Modificación de los datos de contacto y de la cuenta
- Modificar la suscripción
- Actualizar los datos de la solicitud
- Utilizar la calculadora Elfie

Las noticias recientes y una opción de solicitud de ayuda son accesibles desde todas las páginas. En caso de problema técnico, puede entrar en "Opiniones y sugerencias", formular una pregunta o enviar una solicitud de ayuda con una captura de pantalla.



Solicitudes de ayuda, foros y manuales en línea

La aplicación también ofrece ayuda contextual y vídeos integrados para cada elemento. Siempre que vea el símbolo de interrogación (?), se abrirá un pequeño texto de ayuda. Este texto puede darle acceso a un vídeo y a la página del manual directamente. También le dará acceso a un foro de colaboración. Si no tiene un problema concreto pero desea hacer un comentario en este momento, o si necesita aclaraciones entre profesionales, puede abrir este foro de colaboración haciendo clic en los signos de interrogación. Allí podrá plantear preguntas o responder a las de otros usuarios.

Utilizar la función "Avisos y sugerencias" para solicitar ayuda

La función "Consejos y sugerencias" es accesible desde cualquier página de su interfaz y le permite solicitar ayuda en caso de problema técnico. A continuación le explicamos cómo utilizarla eficazmente:

1. Abra el menú de la esquina superior derecha y acceda al menú "Avisos y sugerencias".
2. Escriba su pregunta o describa su problema en el cuadro de texto previsto para ello.
3. El sistema buscará en la base de conocimientos una respuesta a su pregunta.
4. Si se encuentra una respuesta, se mostrará directamente en la pantalla.
5. Si no se encuentra ninguna respuesta, puede enviar una solicitud de soporte.

Para enviar una solicitud de soporte, tiene dos opciones:

- **Hacer una captura de pantalla:** Esto le ayuda a comprender mejor lo que está ocurriendo en su pantalla. Una vez que haya tomado la captura de pantalla, puede utilizar las herramientas de la parte superior para anotar la imagen. Por ejemplo, puede rodear el área problemática y añadir un globo de diálogo explicativo.
- **Escriba una entrada:** También puede simplemente escribir una descripción de su problema sin hacer una captura de pantalla.

Una vez que haya anotado la captura de pantalla o escrito su descripción :

- Haga clic en "Validar".
- Añada un poco de texto si es necesario para aclarar su búsqueda inicial.
- Envíe el mensaje.

Su solicitud se convertirá entonces en un ticket con toda la información necesaria para que el equipo de asistencia pueda ayudarle lo mejor posible. Utilice siempre el menú "Consejos y sugerencias" cuando tenga preguntas o problemas específicos que resolver.

Seguimiento de sus solicitudes

Siempre en el menú "Consejos y sugerencias", un 3er botón "Seguimiento de sus tickets" abre todas sus solicitudes en curso, permitiéndole añadir información o ver nuestras respuestas.

Volver a la página de inicio

Al volver a la página de inicio, se muestra el último informe abierto para un acceso rápido. La interfaz incluye secciones importantes para el análisis del escaneado, las pruebas en directo, la conclusión del escaneado y la posibilidad de compartir los resultados.

La interfaz está diseñada para ofrecer una navegación fluida y herramientas completas para analizar y compartir las grabaciones.

8.2. Abrir un informe

Descubra la aplicación

Introducción

Bienvenido a este capítulo dedicado a la aplicación BioCoherence, disponible en smartphone y ordenador. Esta aplicación le permite seguir y analizar diversos biomarcadores para un mejor equilibrio mente-cuerpo.

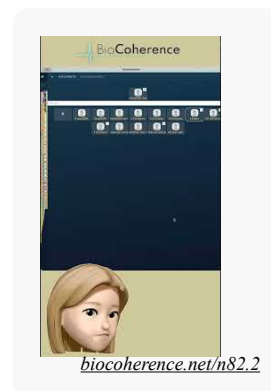
Pantalla de inicio

Al abrir la aplicación, se encontrará en la pantalla de inicio. Tiene dos opciones: iniciar una nueva medición o abrir un informe de muestra. Le recomendamos que empiece abriendo el informe de muestra para familiarizarse con la interfaz. Esta pantalla de inicio también cuenta con un menú que proporciona información variada, que describiremos en detalle en las siguientes secciones.

Informe de ejemplo

Una vez que haya abierto el informe de ejemplo, observará que el cálculo se inicia inmediatamente. Accederá al menú principal, que se divide en las siguientes secciones:

- Equilibrio: Prioridades, Recursos
- Informes: Informe PDF, Meditaciones guiadas
- Análisis detallados: Biomarcadores, Energía, Cuerpo, Mente, Progresión



Aplicación informática

La aplicación informática ofrece una experiencia similar a la de un smartphone, con más espacio para navegar. Los menús y las secciones son idénticos, pero la visualización está optimizada para pantallas más grandes.

Navegación

Tanto si utiliza un smartphone como un ordenador, dispone de un área de navegación en la parte superior o inferior de la pantalla. Esto le permite pasar de una sección a otra, sobre todo para comparar las grabaciones anteriores y posteriores al entrenamiento, o para realizar un seguimiento del progreso diario durante un periodo determinado. Para retroceder o avanzar en la grabación, basta con pulsar "play" y navegar por la grabación.

Análisis de biomarcadores

Si selecciona la sección "Biomarcadores", podrá examinar datos como la onda del pulso. Este análisis puede variar según el tipo de marcador y el tiempo de grabación. En el ordenador, hay disponibles pestañas adicionales como "Pruebas" y "Progreso", que ofrecen una visión detallada de la evolución de los biomarcadores a lo largo de las sesiones.

Conclusión

Este capítulo ha proporcionado una visión general de la aplicación BioCoherence. Para conocer en profundidad cada pantalla y función, le invitamos a consultar los vídeos complementarios.

8.3. Grabación con sensor

Existen varios métodos para realizar una grabación de ECG limpia con BioCoherence. Puede empezar desde la página de inicio iniciando un nuevo registro y haciendo clic en "grabar". Otra opción es comenzar desde la página de "progreso" o haciendo clic en el icono de la batería en la parte superior de la pantalla. Estas acciones conectarán automáticamente la aplicación al sensor Bluetooth e iniciarán la grabación.

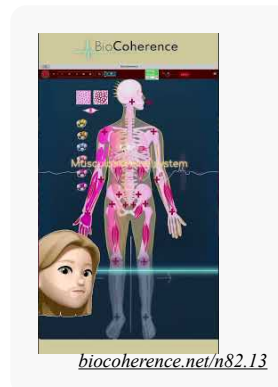
Durante la grabación, se muestra una animación para ilustrar los resultados esperados. Sin embargo, esta animación no se actualiza en tiempo real con las mediciones. Los datos se calcularán al final de la grabación. La animación le ayuda a emplear el tiempo necesario para obtener una buena grabación, idealmente al menos dos minutos.

Tres cursores situados en la parte superior de la pantalla, etiquetados como "energía", "actividad" y "enlace", se llenan progresivamente. Estos cursores deben llenarse completamente para garantizar que la información recogida es suficiente para calcular todas las variables necesarias. Una vez que estos cursores alcanzan el 100%, la grabación se considera suficiente.

Para garantizar la calidad del registro, coloque un pulgar sobre cada sensor. Si la señal no es de buena calidad, utilice gel para electrodos o humedezca ligeramente los dedos. La calidad de la señal se evalúa automáticamente. Por ejemplo, si retira un dedo, la grabación se detiene inmediatamente. Si vuelve a introducir el dedo, la reconexión tarda aproximadamente un segundo, pero es posible que tenga que volver a calibrarlo.

Si no ejerce suficiente presión, se desliza o realiza movimientos bruscos, la pantalla cambia a un fondo rojo, lo que indica que los datos no se están teniendo en cuenta. El aparato esperará a la recalibración, indicada por el regreso de los puntos verdes y la ausencia del fondo rojo, antes de reanudar el registro de datos de buena calidad.

Una vez que los cursores estén llenos al 100%, pulse "Detener". A continuación, la aplicación calculará todos los datos y usted podrá consultar los distintos capítulos principales de la grabación de la exploración.



8.4. Gestión de clientes

Visión general

BioCoherence Pro le permite trabajar en red con un número ilimitado de clientes, cada uno de los cuales puede conectarse a través de su propia aplicación. Este capítulo le guiará a través de los pasos necesarios para gestionar y compartir información con sus clientes.

Selección de clientes

En todas las páginas en las que tenga que seleccionar un cliente, dispondrá de un botón en la esquina superior derecha para realizar esta selección. Para encontrar un cliente, sólo tiene que escribir su nombre en el campo de búsqueda. El sistema mostrará los clientes correspondientes y el número de registros disponibles para cada uno.

Gestión de registros

Una vez que haya seleccionado un cliente, verá los registros disponibles para ese cliente. Los registros pueden identificarse mediante distintos pictogramas:

- Un pictograma indica que el registro está almacenado en el ordenador local.
- Otro pictograma indica que el registro está en la nube.
- Un tercer pictograma indica que el cliente tiene acceso a esta grabación.

Compartir informes

Al abrir un informe, puede elegir si desea compartir el acceso con el cliente. En la página de inicio, un botón le permite modificar la información del cliente, como el sexo, el correo electrónico y una foto. Esta información es crucial para las visualizaciones específicas de los órganos sexuales y los chakras.



Envío de invitaciones

Para enviar una invitación a un cliente, introduzca su dirección de correo electrónico y haga clic en "Enviar correo electrónico". También puede compartir el enlace o el texto de la invitación a través de SMS, WhatsApp o cualquier otra aplicación disponible en su dispositivo. El mensaje puede enviarse en inglés o francés, cambiando el idioma con el selector de banderas.

Gracias a estas funciones, podrá gestionar y compartir fácilmente la información con sus clientes en BioCoherence Pro, garantizando al mismo tiempo una comunicación eficaz y segura.

Gestión de usuarios y clientes en BioCoherence, en detalle

La aplicación BioCoherence ofrece funciones completas de gestión de usuarios y clientes, que permiten a los usuarios gestionar sus propios perfiles y los de sus clientes. Esta sección detalla las funcionalidades disponibles para la gestión de usuarios y clientes dentro de la app, incluyendo la creación de nuevos contactos, el cambio entre usuarios y la gestión de los datos de usuario.

Visualización del usuario actual

- **Visualización del usuario:** El usuario actual se muestra en la parte superior de la pantalla de inicio de la interfaz de la app. Puede ser usted (el usuario principal) o cualquier cliente o contacto.
- **Función de privacidad:** Los usuarios pueden difuminar todos los nombres e imágenes pulsando el icono de difuminar, lo que garantiza la privacidad cuando otras personas puedan estar viendo la pantalla.

Análisis del usuario

- **Ver Análisis:** Al hacer clic en "Abrir análisis" o "Ver todos los análisis" se mostrarán los análisis vinculados únicamente al usuario actual.
- **Cambiar de usuario:** Para cambiar de usuario, haga clic en el icono de las dos flechas para acceder al directorio de usuarios. El usuario principal aparece siempre al principio de esta lista.

Directorio de usuarios

- **Acceso al directorio de usuarios:** Pulse sobre el icono de las dos flechas para abrir el directorio de usuarios.
- **Búsqueda de usuarios:** Utilice el icono de búsqueda (mirilla) situado en la parte inferior de la página para filtrar los usuarios introduciendo palabras clave.
- **Creación de nuevos contactos:** Acceda a la lista de contactos a través del menú y pulse "Crear nuevo contacto" para añadir un nuevo usuario. Especifique el sexo para que aparezca correctamente en pantalla. Añada su correo electrónico si desea invitarles o compartir un informe, o darles acceso al informe en su aplicación.

Gestión de contactos

- **Edición de contactos:** Edite los datos de los contactos actuales, incluidos el nombre, el correo electrónico y el sexo. La selección del género afecta a la visualización en pantalla, sobre todo para los análisis específicos de género.
- **Integración del correo electrónico:** La adición de un correo electrónico permite el envío directo de informes en PDF y crea una cuenta en el servidor para el usuario.
- **Información adicional:** Los campos opcionales incluyen la fecha de nacimiento, el peso y las notas personales. La fecha de nacimiento no se utiliza actualmente en los cálculos, pero se utilizará para futuras funciones como la comparación de la edad biológica.

Gestión de archivos del usuario

- **Guardado de archivos:** Los análisis se guardan en archivos de usuario. Asegúrese de que los análisis se guardan con el usuario correcto para evitar confusiones. Puede cambiar el usuario en esta fase si se ha producido un error, como iniciar un registro bajo un usuario diferente.
- **Carga en la nube:** Los análisis pueden subirse a la nube para compartirlos. Esto es necesario para compartir el acceso con los clientes.

Compartir e invitar usuarios

- **Invitar usuarios:** Envíe invitaciones a los usuarios por correo electrónico o mensaje de texto, permitiéndoles acceder a sus informes y utilizar la aplicación.

- **Compartir informes:** Comparta informes en PDF con los clientes. Los informes pueden personalizarse seleccionando qué secciones incluir.

Compatibilidad de dispositivos y actualizaciones

- **Compatibilidad de dispositivos:** La aplicación es compatible con varias plataformas, y periódicamente se lanzan actualizaciones para mejorar su funcionalidad.
- **Actualización de la aplicación:** Los usuarios deben comprobar regularmente las actualizaciones para asegurarse de que disponen de las últimas funciones y correcciones.

Características adicionales

- **Análisis multivista:** Compare múltiples variables entre grabaciones en tiempo real. Útil para la investigación y el análisis detallado. Puede mostrar y comparar el historial de un contacto determinado.
- **Integración con Apple Health:** Importe grabaciones desde Apple Health. Tenga en cuenta que las importaciones en un dispositivo proceden de la propia cuenta de Apple Health del usuario principal. Si realiza una grabación en su propio Apple Watch, sólo podrá importarla desde su propio dispositivo. Por lo tanto, si la grabación se realiza en el Apple Watch del cliente, la importación debe realizarse desde su dispositivo, con su aplicación y su nombre de usuario. A continuación, podrá compartirla con usted.

Privacidad y gestión de datos

- **Almacenamiento local de datos:** Todos los cálculos y datos se almacenan localmente en el dispositivo. El almacenamiento en la nube es opcional y sólo se utiliza para compartir datos.
- **Seguridad de los datos:** La aplicación puede funcionar sin acceso a Internet, lo que garantiza la seguridad y la privacidad de los datos.

Desarrollos futuros

- **Versión simplificada de la app:** Estará disponible una versión simplificada de la app, centrada en el registro, la reproducción de frecuencias y la lectura de informes.

Esta guía completa de gestión de usuarios y clientes en la app BioCoherence garantiza que los usuarios puedan gestionar eficazmente sus perfiles y los de sus clientes, mejorando la experiencia general del usuario.

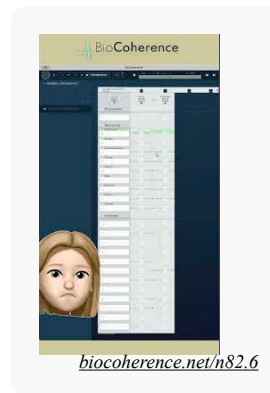
8.5. Informe de varias partes

Para examinar los detalles de un informe, empiece por abrir el informe en cuestión. Haga clic en su nombre para abrirlo, lo que mostrará los distintos elementos que contiene. En la parte superior de la pantalla en un ordenador, o en la parte inferior en un teléfono, aparecen las distintas secciones del informe. Por defecto, está visible todo el registro, pero puede optar por mostrar sólo la primera o la segunda sección, por ejemplo.

Se puede acceder a los detalles de las secciones a través de la pestaña "Progresión", situada también en el centro de la interfaz de la página de inicio. Esta pestaña muestra la evolución de las distintas variables a lo largo de las grabaciones. Por ejemplo, puede ver grabaciones espaciadas 5 minutos, 4 minutos 30, o grabaciones de distintas duraciones, como 40 segundos y 20 segundos.

También es posible añadir comentarios a estas grabaciones. Esta función permite documentar el inicio y el final de las sesiones, o anotar acciones específicas para observar la evolución de los marcadores en el transcurso de una sesión.

Se puede acceder directamente a las distintas grabaciones, lo que permite comparar el estado de los biomarcadores, sección por sección, y observar los cambios en el impulso, los chakras, etc. Estas funciones ofrecen una visión detallada y comparativa de las distintas secciones del informe.



9. Comprender: Biomarcadores

Análisis técnico de las ondas de pulso

Estas pantallas permiten el análisis técnico de la onda de pulso, como la extracción de frecuencias y armonías, la edición de la grabación, el análisis directo de la onda, el gráfico de evolución de biomarcadores...

9.1. Biomarcadores en detalle

Introducción

En este capítulo exploraremos los detalles de los biomarcadores en una interfaz de usuario. Tomemos el ejemplo de los chakras para ilustrar cómo funcionan y cómo se muestra la información relevante.

Acceso a los chakras

Cuando se accede a una página dedicada a los chakras, se muestran los distintos chakras. Al hacer clic en un chakra específico, los biomarcadores asociados aparecen en la parte derecha de la pantalla.

Energía y agitación

El primer elemento clave es la energía, un recurso evaluado según su nivel de energía y agitación. En la parte izquierda de la pantalla se visualiza la energía, mientras que en la parte inferior aparece la agitación. Ambos aspectos están representados por 9 pétalos diferentes, que describen el estado de la energía y la agitación:

- Aquí, una energía alta y una agitación baja indican un recurso.

Información adicional

También se muestra otra información:

- Nivel de atención
- Nivel de intención
- Horizonte temporal (corto, medio o largo plazo)
- Ciclo principal del elemento

Evolución y media

Es posible seguir la evolución de los biomarcadores a lo largo de una sesión, dividida en cuatro partes. Por ejemplo, se puede observar una variación de la energía, con fases de ascenso y descenso, lo que permite evaluar la media global.

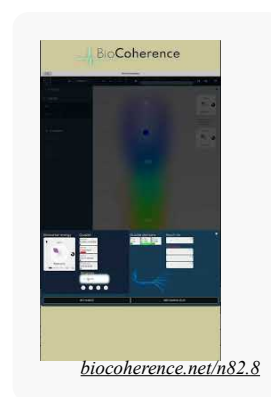
Prioridades

Cada página de biomarcadores ofrece más de 1.400 biomarcadores diferentes. Un botón le permite añadir automáticamente un biomarcador a las prioridades. Al hacer clic en "añadir a prioridades", este elemento se marca para un tratamiento posterior, como meditaciones o frecuencias de rearmonización. El proceso de añadir y eliminar está a un simple clic de distancia.

Calidad del enlace

Se indican los vínculos entre elementos de la misma familia (por ejemplo, los chakras):

- Número de fibras (enlaces)



- Puntos de resonancia
- Porcentaje de difusión (por ejemplo, 33% de chakras enlazados)

Botones de acceso directo

Dos botones facilitan la navegación:

- Acceso directo al chakra
- Acceso directo a la página de análisis de biomarcadores en pantalla completa

Ayuda e información

En cada página hay un signo de interrogación que proporciona información adicional sobre los pétalos y los significados de las distintas resonancias y regulaciones.

En resumen, esta interfaz permite una gestión detallada y personalizada de los biomarcadores, facilitando el análisis y la optimización de los chakras y otros elementos relacionados.

Información sobre la energía y la agitación de los biomarcadores

Energía

La escala vertical de la izquierda muestra la energía media del biomarcador. Un valor bajo (hacia abajo) indica un biomarcador de baja energía. Un valor alto (hacia arriba) indica un biomarcador de alta energía. Para algunos biomarcadores (por ejemplo, puntos de acupuntura, emociones...) la energía puede ser negativa o positiva, lo que indica un impacto en el equilibrio general. En este caso, la energía baja se indica en el centro de la escala.

Agitación

La escala horizontal de la parte inferior muestra la agitación media del biomarcador. Un valor bajo (a la izquierda) indica un biomarcador mayoritariamente estático. Un valor alto indica un biomarcador mayoritariamente agitado.

Pétalos del biomarcador

Los 8 pétalos (más la flor abierta, los 8 pétalos en equilibrio) indican la zona principal de energía/agitación del biomarcador.

Estático

Baja energía, baja agitación. Se trata de la actividad más baja posible para un biomarcador. Suele asociarse a afecciones crónicas de larga duración.

Baja energía

Baja energía, agitación normal. Este biomarcador tiene una actividad baja, pero funcional.

Tenso

Baja energía, alta agitación. Es un signo de angustia.

Estabilizado

Energía normal, agitación baja. Este biomarcador es un pilar estable.

Flexible

Energía normal, agitación normal. La flor abierta indica un estado funcional óptimo.

Aprendizaje

Energía normal, agitación elevada. Indica un proceso de aprendizaje, normalmente como reacción a alguna información externa.

Recurso

Energía alta, agitación baja. Esta es una característica de los recursos principales.

Adaptación

Alta energía, agitación normal. Indica un proceso de adaptación, normalmente como reacción a algún estímulo externo.

Desestabilizador

Alta energía, gran agitación. Esto indica una situación aguda, difícil de resolver.

Información sobre la regulación del biomarcador

Se trata de un análisis no lineal del biomarcador.

Atención

Indica la fuerza de la gestión del biomarcador.

Intención

Un valor más bajo indica dispersión (presencia de muchas regulaciones concurrentes del biomarcador). Un valor más alto indica concentración (una regulación principal del biomarcador fuertemente presente). Un valor negativo indica caos (no hay regulaciones claras). Un valor excesivo indica hipervigilancia (una regulación demasiado fuerte).

Horizonte

Un valor más bajo indica agitación a corto plazo (más gestión a corto plazo en la regulación del biomarcador que a largo plazo). Un valor más alto indica relajación a largo plazo (más gestión a largo plazo en la regulación del biomarcador que a corto plazo).

Información de resonancia del biomarcador

Se trata de un análisis no lineal de las resonancias entre biomarcadores del mismo grupo.

Hilos

Indica el número total de resonancias con otros biomarcadores del grupo (número de hilos de la cuerda principal).

Longitud

Indica la longitud total de los enlaces con otros biomarcadores del grupo (anchura de la cuerda principal).

Alcance

Indica la proporción de otros marcadores de la misma categoría con los que este biomarcador tiene vínculos (separación de la cuerda principal en cuerdas individuales).

Recursos

Los recursos son fuertes vínculos con otros biomarcadores. Un recurso indica un intercambio de energía entre 2 sistemas. Se indica la dirección principal del intercambio de energía (recibe de, o envía a). Los recursos se ordenan primero por los recursos más poderosos de los que recibe, o los recursos más necesitados a los que envía.

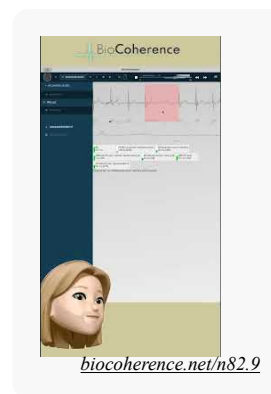
9.2. Edición y verificación de la onda de pulso (grabación en bruto)

En esta sección, veremos cómo editar la onda de pulso en caso de problemas de registro y cómo comprobar la onda bruta. Para empezar, vaya a la sección "biomarcador" y seleccione "onda de pulso". Entonces podrá ver la forma de onda de cada latido, punto por punto. Esta visualización latido a latido es útil para comparar y observar la evolución de cada onda.

Además de la onda media, que estamos acostumbrados a ver, es importante tener en cuenta que la verdadera forma de onda suele ser mucho más agitada alrededor de esta media. Si se produce algún problema durante la grabación, por ejemplo, si no se detecta una parte de la onda, el software desactiva automáticamente esta sección. Sin embargo, puede reactivar esta sección si decide que debe tenerse en cuenta.

Para ello, sólo tiene que hacer clic en la sección correspondiente. También puede activar o desactivar tiempos individuales con un solo clic. Los latidos desactivados ya no se tendrán en cuenta en el cálculo de las flores ni en el gráfico.

Por último, debajo de la onda de pulso encontrará una serie de estadísticas técnicas, como el intervalo RR, el intervalo PR, los intervalos QRS, etc. Estos datos pueden proporcionar información valiosa para análisis posteriores.



9.3. Supervisa los cambios de los biomarcadores a lo largo de las sesiones

Para analizar la evolución de un biomarcador a lo largo del tiempo, empiece por acceder a la pestaña "Biomarcador" y abra "Sesión" y luego "Dinámica". Verá la evolución completa del biomarcador a lo largo del tiempo.

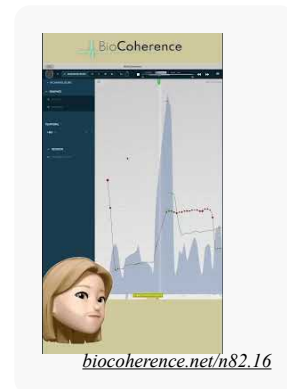
En el modo de reproducción, puede mover el cursor punto por punto para observar diferentes partes de la evolución. En la parte inferior de la pantalla, unas marcas indican las separaciones entre cada parte de la sesión. Puede ajustar el zoom para un análisis más preciso, y navegar entre las distintas partes de la sesión, ya sea la segunda, la tercera, etc.

Puede añadir eventos haciendo clic donde desee. Por ejemplo, si realiza una acción digna de mención, puede marcar este evento. Una vez añadido, el evento es visible como una marca en la parte inferior de la pantalla, y haciendo clic sobre él, puede acceder de nuevo a él. También puede mover el evento editándolo y confirmando después la nueva posición.

Los eventos se utilizan para anotar aspectos importantes de su práctica y también aparecen en el resumen de las distintas partes. El gráfico de evolución se divide en varios segmentos: a muy corto plazo (fondo azul para la evolución instantánea), a medio plazo, a largo plazo y a muy largo plazo. El de muy largo plazo proporciona una media a lo largo de un periodo más largo, cuyo cálculo requiere unos 90 latidos.

El análisis de la relación entre el muy corto plazo y el medio plazo es crucial. A veces, la curva a muy corto plazo está por encima o por debajo de la curva a medio plazo. Cuando la curva está por debajo, se marca en rojo, y cuando está por encima, se marca en verde. Estas indicaciones proporcionan información importante para evaluar las tendencias instantáneas durante las pruebas.

Por último, se dispone de una síntesis de la información en forma de "flor" que indica los niveles de energía y agitación. Esta síntesis también puede analizarse parte por parte para observar la evolución a lo largo de las diferentes secciones.



9.4. Análisis de frecuencias y armónicos

Gracias a una operación matemática llamada FFT, la onda se transforma en frecuencias, luego estas frecuencias se analizan para encontrar sus armónicos.

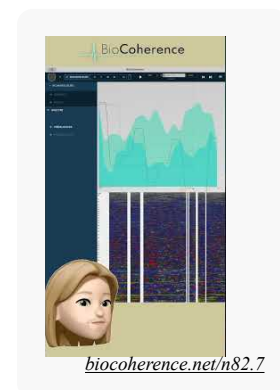
En este capítulo, examinaremos las frecuencias y armonías calculadas a partir de la forma de onda. Permaneceremos en el espacio de los biomarcadores, es decir, en la lista técnica.

Para empezar, abra las frecuencias. Verá una visualización entre 0 y 60 Hz. En la parte superior de esta pantalla, encontrará las frecuencias más bajas, es decir, las frecuencias muy bajas por debajo de 0,03 Hz, las frecuencias bajas y las frecuencias altas en torno a 0,4 Hz. Estos rangos de frecuencia suelen contener información muy interesante.

Nos fijamos primero en la gama de 0-3 Hz, pero también es posible encontrar información sobre las demás bandas de frecuencias.

A continuación, pase a la sección de armónicos. Esta sección realiza un cálculo sobre las frecuencias para determinar cuáles son las más fuertes. La información obtenida aquí también es relevante para los distintos biomarcadores. Este análisis técnico le permite escanear la grabación e identificar las frecuencias predominantes. Es difícil distinguir la información relevante a simple vista en estas pantallas, pero es una de las bases de lo que utiliza la aplicación para calcular los biomarcadores...

La FFT (transformada rápida de Fourier) es un algoritmo que calcula la transformada de Fourier de forma rápida y eficaz. Se utiliza ampliamente en el procesamiento de señales, el análisis espectral y la compresión de datos. La transformada de Fourier es una herramienta matemática que descompone una función o señal en una suma de sinusoides de diferentes frecuencias. Transforma una señal del dominio del tiempo al dominio de la frecuencia.



9.5. La cadena causal

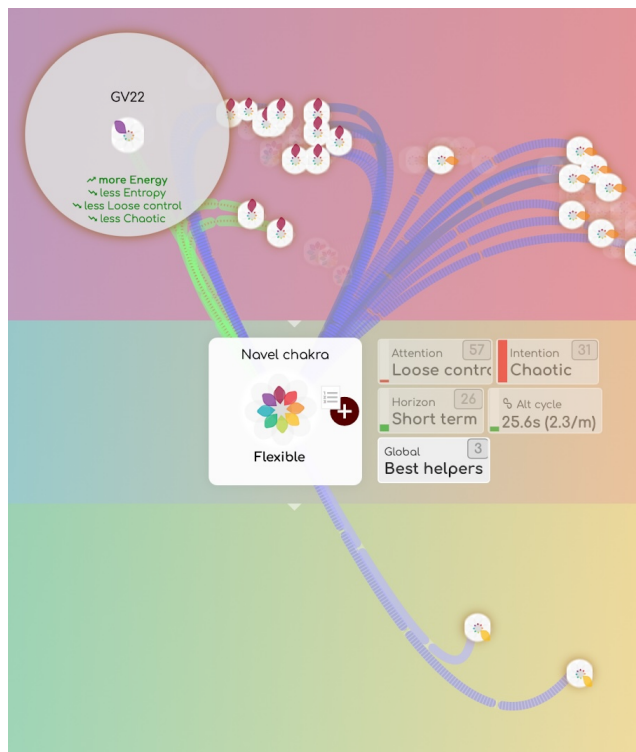
La función Cadena causal de BioCoherence proporciona una forma exhaustiva de analizar las interconexiones entre diferentes biomarcadores, lo que permite a los usuarios identificar las causas profundas de los desequilibrios y determinar las intervenciones más eficaces. A diferencia de los métodos anteriores, que sólo mostraban las relaciones dentro de una misma categoría (por ejemplo, órganos vinculados a otros órganos), la Cadena causal amplía este análisis para incluir todas las categorías de biomarcadores, como meridianos, chakras, átomos, patógenos, etc. Esta función permite a los usuarios

- Identificar las causas subyacentes de los desequilibrios.
- Determinar qué biomarcadores están en resonancia entre sí.
- Encontrar los mejores ayudantes para restablecer el equilibrio.
- Elaborar una lista de prioridades personalizada para la armonización.

Acceder a la cadena causal

Para acceder a la Cadena Causal

1. Abra un análisis y navegue hasta la sección Biomarcadores.
2. Seleccione un biomarcador de interés (por ejemplo, un órgano, meridiano o unidad).
3. Haga clic en el submenú Cadena causal, dentro del menú Relaciones.



Esto abrirá una nueva interfaz que muestra todos los biomarcadores que están en resonancia con el biomarcador seleccionado.

Comprender la interfaz de la cadena causal

La interfaz de la Cadena Causal presenta un mapa de red de biomarcadores interconectados. Los elementos clave incluyen:

1. Biomarcador central

- El biomarcador seleccionado se sitúa en el centro del mapa.
- Todos los demás biomarcadores que resuenan con él se muestran a su alrededor.
- Puede hacer clic en cualquier biomarcador de los alrededores para colocarlo en el centro y volver a calcular a su alrededor.

2. Biomarcadores resonantes

- Sólo se muestran los biomarcadores que están actualmente en resonancia con el biomarcador central.
- Éstos se clasifican en diferentes grupos, como órganos, meridianos, chakras, átomos, patógenos, etc. Los grupos se muestran en la parte inferior de la pantalla. Haga clic en el nombre de un grupo para mostrar los biomarcadores relacionados. Cada grupo puede mostrar uno o dos números:
 - siempre, el número de biomarcadores relacionados en este grupo
 - sólo si los hay, en un círculo blanco: el número de grandes enlaces (mejores ayudantes) en este grupo.

3. Fuerza de la relación

Cada conexión entre biomarcadores está codificada por colores:

- Enlace grande (blanco, verde o azul): Los mejores ayudantes, con la resonancia más fuerte y más capaces de ayudar (mejores mejoras en energía, agitación y calidad)
- Verde: Influencia positiva hacia el biomarcador central (por ejemplo, aumento de la energía, reducción de la entropía).
- Azul: El biomarcador central envía energía hacia él.
- Los enlaces finos indican relaciones específicas relacionadas con la atención, la intención y el horizonte. La leyenda de la parte superior muestra su significado.

4. Mapa de energía y entropía

- Los biomarcadores se sitúan en un mapa gráfico basado en los niveles de Energía (de bajo a alto) y Agitación (entropía) (de bajo a alto), del mismo modo que se organizan los pétalos en la flor.
- Esto permite a los usuarios evaluar visualmente qué biomarcadores contribuyen a la estabilidad o al desequilibrio.

5. Filtrado y mejores ayudantes

Los usuarios pueden filtrar los biomarcadores mostrados en función de cualidades específicas:

- Aumenta la atención
- Aumenta la intención
- Aumenta el horizonte
- Se alinea con los ciclos principales
- Mejores ayudantes (biomarcadores que proporcionan la influencia más beneficiosa)

6. Navegación e historia

- Al hacer clic en cualquier biomarcador se centrará en el análisis, permitiendo a los usuarios explorar su propia cadena causal.
- Un panel de historial sigue el camino de la exploración, permitiendo a los usuarios volver a biomarcadores anteriores.
- Los usuarios pueden navegar de vuelta al biomarcador original o explorar más a fondo los biomarcadores relacionados.

Uso de la cadena causal para el análisis

Paso 1: Identificar la causa raíz

- Comience con un biomarcador que aparezca en la lista de Prioridades.
- Abra la Cadena Causal para ver qué biomarcadores influyen en él.

Paso 2: Encuentre los mejores ayudantes

- Utilice el filtro Mejores ayudantes para identificar los biomarcadores que pueden influir positivamente en el biomarcador central.
- Busque las conexiones verdes, ya que indican las relaciones beneficiosas más fuertes hacia él.
- Las conexiones azules pueden indicar otros elementos ayudados por este biomarcador y que toman energía de él, revelando así vínculos causales que pueden explicar los estados actuales.

Paso 3: Elabore una lista de prioridades personalizada

- Haga clic en un biomarcador y añádalo a la lista de Prioridades.
- Continúe explorando biomarcadores relacionados y añadiendo los relevantes a la lista.
- Esto garantiza que el proceso de armonización aborde no sólo el síntoma, sino también las causas subyacentes.

Paso 4: Aplicar los hallazgos

- Utilice la función de refuerzo armónico para reproducir las frecuencias seleccionadas.
- Si procede, integre puntos de MTC, órganos, meridianos o átomos en el proceso de armonización.
- Mejore el Harmonic Boost añadiendo los protocolos seleccionados sobre cada biomarcador.
- Supervise el progreso a lo largo de varias sesiones para realizar un seguimiento de las mejoras.

Ejemplo de uso

Escenario: Tratar el desequilibrio pulmonar

1. Seleccione el Pulmón en la lista de Prioridades.
2. Abra la Cadena Causal para ver los biomarcadores relacionados.
3. Identifique los mejores ayudantes: por ejemplo, Órganos: Estómago, Hígado - Meridianos: Riñón, Vejiga - Átomos: Tantalio, Osmio - Impulsos: Falta de confianza, Hipersensibilidad
4. Añada los biomarcadores más relevantes a la lista de Prioridades.
5. Reproduzca las frecuencias de armonización (Impulso Armónico) y los programas (Guía Personal), y realice un seguimiento de los progresos a lo largo del tiempo.

Beneficios de la cadena causal

- Análisis holístico: Proporciona una visión completa de las interconexiones entre los distintos biomarcadores.
- Enfoque personalizado: Adapta la armonización al estado energético único del individuo, y permite partir de un síntoma concreto de queja y encontrar los elementos relevantes de la cadena causal.
- Perspectivas más profundas: Ayuda a los profesionales y a los usuarios a comprender las causas subyacentes de los desequilibrios.
- Priorización eficaz: Se centra en los biomarcadores más impactantes para obtener resultados más rápidos.

La cadena causal es una potente herramienta de BioCoherence que mejora la capacidad de analizar y abordar los desequilibrios a un nivel más profundo. Al trazar las relaciones entre los biomarcadores e identificar los mejores ayudantes, los usuarios pueden crear programas de Refuerzo Armónico y Guía Personal altamente eficaces y adaptados a sus necesidades específicas.

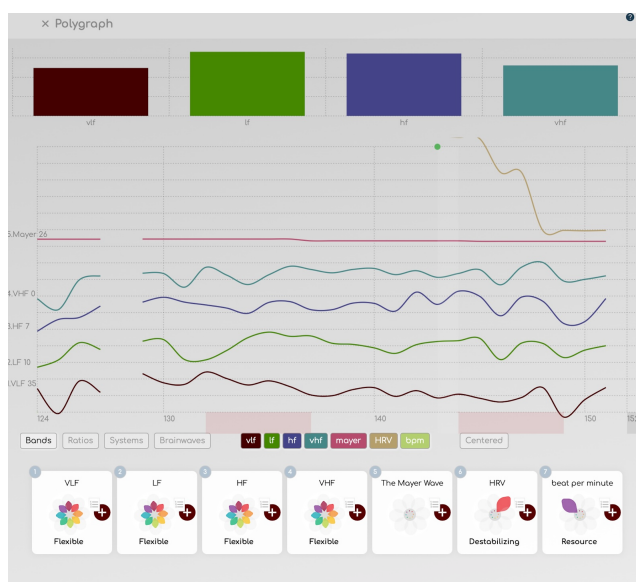
9.6. Polígrafo

Esta pantalla utiliza principalmente biomarcadores académicos.

Ofrece una forma cómoda de ver de un vistazo, por ejemplo, las proporciones de VHF, HF, LF y VLF, y un gráfico lineal de hasta 7 curvas importantes.

Puede utilizarse en tiempo real durante la grabación, como todas las pantallas (basta con cambiar de pantalla durante una grabación). Todos estos marcadores proceden de la investigación académica sobre ECG. Puede visualizar hasta 7 bandas de su elección, en paralelo o centradas en la misma línea.

- En el modo **Bandas**, las 7 líneas son: Bpm, VFC, ondas Mayer, VHF, HF, LF y VLF.
- En el modo **Ratios**, las 7 líneas son: SDNN (Potencia total), SI (Índice de estrés), IC (Índice de centralización), LF/HF (Potencia, interacción vago-simpática), LF/VLF (Relajación), VLF/HF (Estrés) y VLF HF (Actividad global).
- En modo **Sistemas**: CNS, Ortho, Symp, Para, IRSA, Inmunidad, VFC.
- En **Ondas cerebrales**: Delta, Theta, Alfa, Beta, Beta1, Beta2, Gamma.



Haga clic en una categoría bajo el gráfico para mostrar estos elementos; haga clic en las leyendas de color de los elementos para mostrarlos u ocultarlos. Haga clic en Centrado para

mostrarlos todos en la misma línea de base. Haga clic en la flor bajo el gráfico para acceder a los detalles completos del biomarcador.

Si investiga con este gráfico, podría ser la base de nuevos conocimientos o nuevos biomarcadores. Además, recuerde que puede analizar cualquier biomarcador en su línea de tiempo y con eventos en la pantalla Dinámica de biomarcadores.

10. Comprender : Energía

Las pantallas energéticas presentan gráficos sobre el reloj biológico, los chakras, los impulsos, los átomos, las influencias, el ayurveda, los microorganismos...

10.1. Impulso

constraints, balances and movements

En esta sección, examinaremos el impulso en el contexto de la gestión de la energía. Para acceder a esta función, vaya al menú "Energía" y haga clic en "Movimientos". Aquí descubrirá una veintena de momentums disponibles, clasificados en tres categorías principales: restricciones, equilibrios y movimientos.

El principio del impulso

Nuestros cuerpos están constantemente en movimiento; el movimiento es vida. Pero estamos formados por una miríada de elementos, algunos de los cuales forman parte de nosotros, otros son coacciones externas y otros quieren ir en contra del interés general. Hemos separado los impulsos en 3 categorías: los que nos frenan, los que nos equilibran y los que nos impulsan.

1. Restricciones

Los constreñimientos son elementos que frenan el movimiento. Entre ellos se incluyen :

- Estrés geopático (pulse sobre cualquier elemento del gráfico para obtener más información).
- Radiación geopática.
- Agua geopática: vetas de agua, fallas, etc. que inducen corrientes eléctricas subterráneas.
- Energías nocivas.
- Metales pesados.
- Agentes patógenos.
- Miasmas.
- Toxinas.

2. Equilibrio

La sección de equilibrio cubre los aspectos que ayudan a mantener la estabilidad. Incluye :

- Equilibrio emocional.
- Equilibrio energético.
- Calidad del sueño.
- Terreno (equilibrio corporal general).
- Equilibrio vertical.

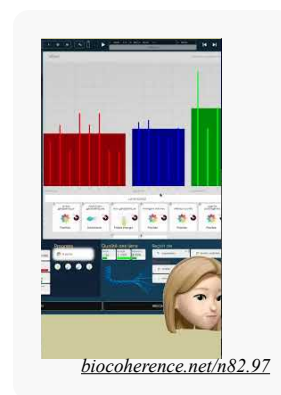
3. Movimientos

El movimiento engloba los factores que le confieren dinamismo. Los elementos principales son :

- Cuerpo.
- Vitalidad.
- Presión sanguínea.
- Fluidos.

También puede observar el movimiento general y compararlo según las diferentes etapas y secciones de su grabación.

Un punto interesante a tener en cuenta es la relación entre estos elementos. Por ejemplo, en este caso, los órganos están relacionados



con el equilibrio emocional, y la presión sanguínea recibe y envía información a diferentes lugares, lo que puede proporcionar información valiosa sobre la calidad general del análisis

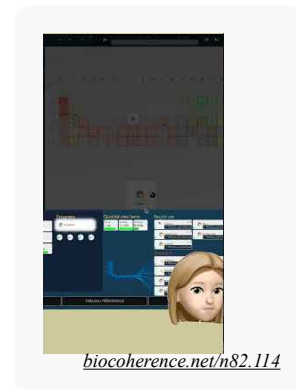
Combinando esta información, podrá comprender y gestionar mejor los diferentes aspectos de su energía y su impulso.

10.2. Átomos

Tabla periódica de los elementos

En la página Átomos, puede acceder a la tabla periódica de los elementos para obtener información sobre los distintos átomos. Haciendo clic en un átomo de esta tabla, puede ver los enlaces que puede tener con otros átomos, es decir, las resonancias comunes. Esta información también es visible en la parte inferior de la pantalla, pero visualizarla directamente en la tabla resulta más intuitivo.

En la actualidad, la aplicación proporciona una evaluación general de las resonancias de cada átomo. Una versión futura podría permitir la reconstrucción de resonancias para moléculas enteras, basándose en los enlaces entre diferentes átomos. Esta función podría ser especialmente útil en el marco de un chequeo que esté llevando a cabo, para ver excesos o deficiencias en determinados elementos, o para ver, gracias a los registros de varias partes que pueden compararse, si un elemento se está estabilizando tras la aplicación de un producto o una terapia.

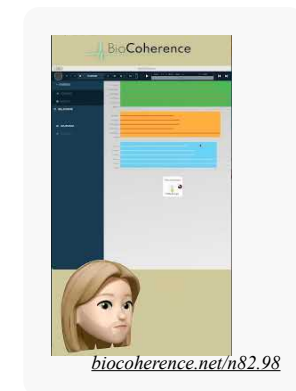


10.3. Evaluación energética ayurvédica

Doshas y subdoshas

El ayurveda es un sistema de medicina tradicional distinto de la medicina tradicional china, aunque presenta algunas similitudes, en particular el equivalente de los 12 meridianos en forma de 15 sub-doshas. Estos sub-doshas se agrupan en tres influencias principales: Kapha, Pitta y Vata.

Estas influencias pueden percibirse de forma general, y nuestra representación visual habitual en forma de flor puede desplegarse para ilustrarlas. También es posible visualizar los elementos individuales, denominados sub-doshas. Haciendo clic en uno de los sub-doshas, puede ver los grupos a los que corresponde. Por ejemplo, un sub-dosha puede corresponder a la piel y al grupo de miembros piel. Otra sub-dosha puede corresponder a grupos diferentes, y así sucesivamente.



Los 3 Doshas según el Ayurveda

1. Vata

- **Descripción:** Asociado con el aire y el éter, Vata gobierna el movimiento en el cuerpo, incluyendo la circulación sanguínea, la respiración y los impulsos nerviosos.

2. Pitta

- **Descripción:** Compuesto de fuego y agua, Pitta controla la digestión, el metabolismo y la producción de energía.

3. Kapha

- **Descripción:** Compuesto de tierra y agua, Kapha es responsable de la estructura corporal, la estabilidad y la lubricación de las articulaciones.

Los 15 sub-doshas

Sub-doshas de Vata

1. **Prana Vata**
 - **Función:** Controla la respiración y la mente.
2. **Udana Vata**
 - **Función:** Controla el habla y la expresión.
3. **Samana Vata**
 - **Función:** Regula la digestión y la asimilación de los alimentos.
4. **Vyana Vata**
 - **Función:** Supervisa la circulación y el movimiento de los fluidos corporales.
5. **Apana Vata**
 - **Función:** Regula la eliminación de residuos.

Subdoshas Pitta

6. **Pachaka Pitta**
 - **Función:** Controla la digestión de los alimentos en el estómago y el intestino.
7. **Ranjaka Pitta**
 - **Función:** Responsable de la formación de la sangre.
8. **Sadhaka Pitta**
 - **Función:** Influye en las emociones y las funciones mentales.
9. **Alochaka Pitta**
 - **Función:** Afecta a la visión y a la percepción visual.
10. **Bhrajaka Pitta**
 - **Función:** Regula la salud de la piel.

Subdoshas Kapha

11. **Kledaka Kapha**
 - **Función:** Lubrica y protege las paredes del estómago.
12. **Avalambaka Kapha**
 - **Función:** Apoya el corazón y los pulmones.
13. **Bodhaka Kapha**
 - **Función:** Regula las funciones de la boca y la saliva.
14. **Tarpaka Kapha**
 - **Función:** Lubrica el cerebro y el sistema nervioso.
15. **Shleshaka Kapha**
 - **Función:** Lubrica las articulaciones.

Estos doshas y subdoshas trabajan juntos para mantener el equilibrio y la salud del cuerpo y la mente.

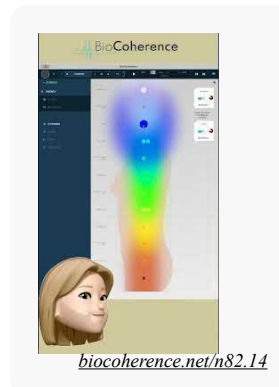
10.4. Visualización de los chakras

En este capítulo, exploraremos la pestaña Energía, empezando por la sección Chakras. Esta sección le permite ver e interactuar con la información de los chakras en detalle.

Para empezar, puede elegir visualizar los chakras haciendo clic en el botón correspondiente. Puede visualizar 7 o 12 chakras haciendo clic en el pequeño botón "12" situado en la parte inferior de la pantalla.

Una vez visualizados los chakras, puede seleccionar un chakra específico pulsando sobre él. Esta acción le da acceso a toda la información relativa a ese chakra, incluidos los vínculos energéticos y los puntos de acupuntura asociados. Los puntos de acupuntura indican los puntos de entrada y salida del chakra, y aparecen en la pantalla en distintos tamaños según su nivel energético.

Además, también se muestra el aura del chakra, y su presentación varía en función de la energía general del chakra seleccionado. De este modo, puede obtener una representación visual precisa del estado energético de cada chakra.



10.5. Influye en

The 5 elements : Wood, Fire, Earth, Metal, Water

Otro concepto energético importante es el de las influencias. Esta pantalla, denominada "influencias", visualiza las relaciones entre los cinco elementos, tal y como las evalúa la Medicina Tradicional China (MTC). Estas relaciones pueden ser de creación, destrucción, insulto o sobrecalentamiento.

Por ejemplo, la madera puede influir en el metal ejerciendo presión sobre él, mientras que el agua puede lastrar al fuego. Por otro lado, la madera ayuda a crear fuego. Estas relaciones se deducen según las reglas de la MTC y la evaluación de los meridianos.

Los 5 elementos de la Medicina Tradicional China (MTC) son :

1. **Madera:** asociado con el hígado y la vesícula biliar.
2. **Fuego:** asociado al corazón y al intestino delgado.
3. **Tierra:** asociado con el bazo y el estómago.
4. **Metal:** asociado a los pulmones y el intestino grueso.
5. **Agua:** asociado a los riñones y la vejiga.

Las principales relaciones entre estos elementos son :

- **Ciclo de generación (Sheng):** Madera > Fuego > Tierra > Metal > Agua > Madera.
- **Ciclo de control (Ke):** Madera > Tierra > Agua > Fuego > Metal > Madera.

Estos ciclos garantizan el equilibrio y la armonía del organismo.



11. Comprender : Cuerpo

Utilización de métodos de navegación y evaluación en las pantallas corporales

Las pantallas corporales incluyen 3 tipos principales de análisis: Meridianos de MTC, puntos de acupuntura con recetas de MTC asociadas y órganos.

11.1. Meridianos de la MTC

14 or 20 meridians, links and related symptoms

La sección "Cuerpo" de la aplicación ofrece tres grandes hojas de información: meridianos, puntos de acupuntura y órganos. Este capítulo se centrará en la navegación y evaluación de los meridianos.

1. Visualización de meridianos:

- La aplicación le permite elegir entre 14 o 20 meridianos.
- En el modo de 20 meridianos, se muestran los meridianos extraordinarios además de los meridianos estándar.
- En el modo de 14 meridianos, se muestran los 12 principales, además de los dos vasos: gobernador y concepción.

2. Navegación y visualización:

- Puede hacer clic en la parte superior de la pantalla para visualizar el recorrido de un meridiano y sus principales características.
- Si hace clic en el icono de la flor, aparecerá información adicional.
- Haga clic para navegar entre los meridianos, visualizando los vínculos entre ellos.
- Puede seguir la evolución de los meridianos durante las distintas partes de la sesión.
- Utilice el menú de la izquierda o de la parte superior para navegar en su teléfono.

3. Evaluación de los meridianos:

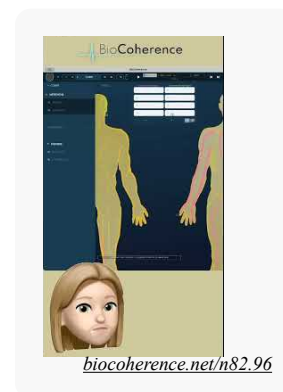
- Al hacer clic en la lista de meridianos, aparece su evaluación.
- El submenú ofrece tres criterios: energía, entropía y coherencia.
- La lógica de estos criterios se aplica a todas las páginas del núcleo.

4. Criterios de evaluación:

- **Energía**
 - Visualización en dos columnas: los meridianos más energéticos y los menos energéticos.
 - Posibilidad de mostrar más o menos meridianos por clic.
 - Información adicional basada en el estado energético actual y los síntomas de la Medicina Tradicional China (MTC).
 - Información cruzada con otros meridianos para obtener detalles más precisos.
- **Entropía**
 - Muestra los meridianos más agitados y estáticos.
 - Proporciona los posibles síntomas asociados a cada estado.
- **Coherencia**
 - Muestra los meridianos que resuenan juntos.
 - Los meridianos en coherencia forman un sistema que resuena al mismo ritmo.

5. Uso de la información:

- La lógica energía-entropía-coherencia se utiliza para clasificar los principales elementos de una evaluación.
- Estos elementos ayudan a comprender el funcionamiento de la persona evaluada.



Siguiendo estas instrucciones, podrá navegar por la aplicación con eficacia y utilizar los criterios de evaluación para obtener información detallada sobre los meridianos, su estado energético, entropía y coherencia.

Acerca de los meridianos en la MTC

En la Medicina Tradicional China (MTC), los meridianos son canales energéticos por los que fluye el Qi (energía vital). Existen 12 meridianos principales y 8 meridianos extraordinarios, incluidos 2 meridianos reguladores. Éstos se describen a continuación:

12 Meridianos principales :

1. **Pulmón (LU)**: Regula la respiración y el sistema inmunitario.
2. **Intestino Grueso (LI)**: Elimina los residuos sólidos y regula las funciones intestinales.
3. **Estómago (EST)**: Digiere los alimentos y absorbe los nutrientes.
4. **Bazo/Páncreas (SP)**: Transformación y transporte de nutrientes, apoyo energético.
5. **Corazón (HT)**: Gobierna la sangre y los vasos sanguíneos, controla la mente.
6. **Intestino Delgado (IS)**: Separación de sustancias puras e impuras, absorción de nutrientes.
7. **Vejiga (BL)**: Elimina los residuos líquidos, regula los fluidos corporales.
8. **Riñón (RI)**: Almacena la esencia vital, regula el agua, controla los huesos y los oídos.
9. **Maestro del Corazón (PC)**: Protege el corazón, regula las emociones y la circulación sanguínea.
10. **Triple calentador (TE o SJ)**: Regula los tres calentadores (superior, medio e inferior), controla la circulación de la energía y los líquidos.
11. **Vesícula biliar (VB)**: Almacena y excreta la bilis, ayuda a la toma de decisiones.
12. **Hígado (VI)**: Almacena la sangre, regula el flujo de Qi, sostiene los tendones y los músculos.

8 Meridianos extraordinarios :

1. **Vaso de la Concepción (Ren Mai)**: Regula los meridianos Yin, controla la reproducción.
2. **Vaso Gobernador (Du Mai)**: Regula los meridianos Yang, controla el sistema nervioso central.
3. **Vaso Penetrante (Chong Mai)**: Regula la sangre y la energía de los meridianos principales.
4. **Vaso Cinturón (Dai Mai)**: Rodea los meridianos verticales, regula los órganos sexuales y el abdomen.
5. **Vaso de unión del yin (Yin Qiao Mai)**: Regula el equilibrio Yin-Yang, controla el sueño y la vigilia.
6. **Vaso de unión yang (Yang Qiao Mai)**: Regula el equilibrio Yin-Yang, influye en los movimientos de las extremidades.
7. **Vaso de Enlace Yin (Yin Wei Mai)**: regula los meridianos Yin, influye en las emociones.
8. **Vaso de enlace Yang (Yang Wei Mai)**: Regula los meridianos Yang, influye en las defensas del organismo.

2 Meridianos reguladores :

1. **Vaso de la concepción (Ren Mai)**: Ya mencionado entre los meridianos extraordinarios.
2. **Vaso gobernador (Du Mai)**: Ya mencionado entre los meridianos extraordinarios.

Estos meridianos trabajan juntos para mantener el equilibrio energético y la salud general del cuerpo.

11.2. Mapas de órganos

Más de 10 organigramas detallados y enlaces

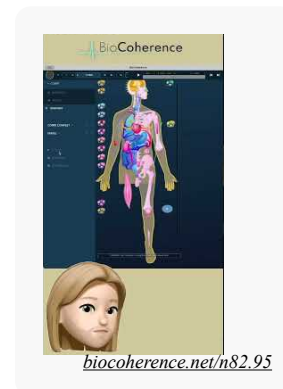
En esta sección, exploraremos la funcionalidad de los órganos en nuestra aplicación de evaluación corporal. Cuando acceda a la categoría de órganos, se le presentará en primer lugar una visualización de todo el cuerpo. Puede entrar en la evaluación general haciendo clic en un órgano concreto para ver su relación con otras partes del cuerpo. Por ejemplo, los órganos resaltados son los que le interesan. Al hacer clic en el corazón, verá sus conexiones con varios órganos, y estas relaciones también son visibles en el mapa.

Puede navegar fácilmente haciendo clic en sistemas específicos, como el respiratorio, para ver sus conexiones, incluso con los neurotransmisores, la lengua, la boca y diversos tejidos. Al hacer clic en la boca se amplía el sistema digestivo, modificando el mapa para mostrar las relaciones entre la boca y otros aspectos del sistema digestivo.

También puede seleccionar diferentes mapas, como el mapa del cerebro. Este mapa le mostrará las distintas partes del cerebro, con una evaluación completa en forma de lista. Si desea localizar una parte concreta, el mapa se la mostrará. Por ejemplo, si pulsa sobre la epifisis, verá su posición y las glándulas de las que recibe y envía señales. Cada elemento, como la serotonina o la prolactina, puede explorarse para ver sus conexiones o falta de ellas con otras hormonas.

La sección de órganos también ofrece opciones para ver la energía, la entropía y la coherencia, que varían según la pantalla utilizada. En la pantalla de cuerpo entero, estos parámetros se muestran para los elementos considerados más relevantes, indicando sus recursos energéticos o su nivel de agitación. Por ejemplo, examinando los dientes o las vértebras, puede identificar cuáles son los más energéticos o agitados, lo que ofrece una valiosa información para un chequeo completo.

Por último, como recordatorio, siempre que identifique un elemento relevante, puede añadirlo a la lista de prioridades haciendo clic en el icono correspondiente. Esto permite incluirlos en la selección de equilibrios para su posterior armonización.



11.3. Puntos de acupuntura

Evalúa más de 350 puntos de acupuntura y la pertinencia de cientos de recetas de MTC

Exploración de puntos y meridianos

Al explorar el cuerpo en el software, tiene acceso a los meridianos, los puntos y los órganos. Al hacer clic en un meridiano concreto, la pantalla cambia para mostrar detalles de los puntos de cada meridiano, en lugar de los meridianos completos. Esta característica permite una evaluación precisa de cada punto.

Selección de puntos e información

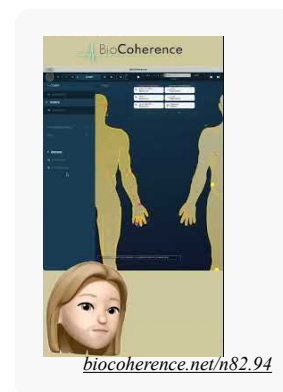
Puede hacer clic en cada punto para obtener información detallada sobre ese punto concreto. También es posible seleccionar un meridiano y ver el estado de cada uno de sus puntos. Al cambiar de meridiano, puede ver los distintos puntos y su ubicación en un mapa, lo que resulta especialmente útil para una navegación eficaz.

Navegación y seguimiento de meridianos

Puede navegar por los meridianos haciendo clic en el título del meridiano en el selector de la parte superior de la pantalla. También puede ver la evolución de los puntos a lo largo de las sesiones. Esta función es muy valiosa para seguir la evolución de puntos concretos a lo largo del tiempo.

Información específica del meridiano

Cuando selecciona un meridiano, accede a información diferente de la disponible en la ficha de meridianos. Aquí encontrará los ocho puntos principales, como el punto embajador, la dispersión, el brote y el río, que son esenciales en la Medicina Tradicional China (MTC). También dispone de información sobre la alimentación y las conexiones del meridiano.



Visualización de puntos en el mapa

Al hacer clic en un punto se muestra su ubicación exacta en el mapa. El menú de la izquierda ofrece opciones como energía, entropía y coherencia. Al seleccionar energía, la pantalla muestra los puntos más energéticos y menos energéticos en morado y amarillo, respectivamente.

Lógica de recetas TCM

La aplicación utiliza una lógica de recetas de MTC, que combina varios puntos para corregir un síntoma. Por ejemplo, si ciertos puntos resuenan juntos y son demasiado débiles o demasiado fuertes, esto puede indicar un desequilibrio. Las recetas de la MTC, desarrolladas a lo largo de miles de años, se aplican para tratar síntomas específicos como el reflujo ácido. En esta aplicación, hemos aplicado una lógica invertida. Supusimos que si ciertos puntos resonaban juntos y tenían niveles de energía demasiado bajos o demasiado altos, esto podría proporcionarnos información valiosa. Por ejemplo, puntos muy energéticos o muy poco energéticos, o puntos demasiado agitados o demasiado estáticos, podrían señalar un desequilibrio en el sistema coherente utilizado normalmente para tratar afecciones como el reflujo ácido o la pirosis. Tomemos el caso de que tres puntos concretos de un individuo estén muy estáticos. Esto podría indicar que la receta o el tratamiento asociado a estos puntos es necesario para esa persona. Este enfoque puede proporcionarle ideas adicionales para el diagnóstico.

Aplicación de recetas

Las recetas pueden aplicarse mediante acupuntura o utilizando frecuencias sonoras o eléctricas durante la fase de equilibrio. Los sistemas coherentes, en los que los puntos resuenan juntos, son especialmente relevantes para un diagnóstico preciso. La sincronización de los puntos sugiere una mayor relevancia de los tratamientos de MTC para la persona analizada.

Conclusión

Este capítulo ha detallado el uso de puntos y meridianos en los programas de MTC, explicando cómo navegar, seleccionar e interpretar la información para un diagnóstico preciso y un tratamiento eficaz.

12. Comprender: Mente

Mente, espíritu y sombra

Estas pantallas están dedicadas a las partes mental, espiritual e inconsciente del análisis. Incluyen la personalidad, la armonía musical, las emociones, la alineación, las heridas y los motores.

12.1. Alineación

Alineación y coherencia en la gestión de ondas Elfie

La alineación es un componente esencial de la mente, especialmente cuando se trata de ondas élficas. La alineación se manifiesta en diferentes escalas de estas ondas, y su comprensión puede facilitarse mediante el uso de herramientas de visualización. Por ejemplo, la coherencia cardíaca puede representarse visualmente, ofreciendo una perspectiva del estado energético de un individuo.

En la interfaz, tres controles deslizantes en la parte inferior permiten visualizar los parámetros, mientras que en la parte superior aparece una visualización de la espiral de implosión. La escala de ondas Elfie, ilustrada por los valores 205, 206 y 214, indica el nivel actual de la escala. Para obtener información detallada sobre un valor concreto, como 214 Elfie, basta con hacer clic para conocer sus características e implicaciones.

Cada escala presenta valores notables en determinadas longitudes de onda, ofreciendo información valiosa sobre las interacciones energéticas. Observando estas escalas, es posible determinar el grado de conexión con otros niveles de escala. Por ejemplo, un análisis puede revelar que un individuo está más energizado en una microescala que en una macroescala, lo que indica una energía más concentrada en estructuras más pequeñas.

La visualización de la espiral le permite seguir la trayectoria de la energía a través de diferentes escalas. Desplazándose por la espiral y observando los valores en cada nivel, es posible comprender cómo evoluciona la energía a lo largo del tiempo. Esto es especialmente relevante en grabaciones prolongadas, en las que se puede estudiar la evolución a diferentes escalas.

Un aspecto crucial de este análisis es la coherencia dirigida, en particular la coherencia cardíaca, que mide hasta qué punto la energía de un individuo está sincronizada con los valores elficos. Estos valores se consideran los más compatibles para la transmisión de energía en todas las escalas. Los cursores desempeñan un papel importante en el ajuste de estos parámetros para lograr una coherencia óptima.

En conclusión, la alineación y la coherencia en la gestión de las ondas elfie son conceptos complejos pero fundamentales para comprender la energía a diferentes escalas. Las herramientas de visualización y los cursores ofrecen una ayuda inestimable para navegar y optimizar estos parámetros, contribuyendo a una mejor gestión y transmisión de la energía.

Más información en <https://elfie.link> o en el menú "Elfie" del software.

12.2. Ondas cerebrales

Análisis de la actividad general de las ondas cerebrales



biocoherence.net/n82.103

En esta sección, examinaremos la última pestaña de la interfaz "Mental", que se refiere a las ondas cerebrales. Esta función se encuentra aún en fase experimental. Es atrevido decir que podemos leer las ondas cerebrales en un ECG, por lo que permite examinar los espectros de análisis en el ECG correspondientes a las distintas ondas cerebrales y observar su evolución en el tiempo. Al fin y al cabo, nuestro dispositivo mide la actividad eléctrica de todo el cuerpo, pero las ondas cerebrales se encuentran en un nivel 100 veces menos potente que el ECG, por lo que sigue siendo un algoritmo experimental.

La visualización de las ondas cerebrales es dinámica. Cuando esté en modo de reproducción, observará una visualización multibanda. La lógica detrás de esta visualización es que cuanto más ancha es la banda, más largo es el periodo de tiempo que representa. Por el contrario, una banda más fina indica un periodo de tiempo más corto.

He aquí una explicación de las diferentes bandas:

- La banda más corta corresponde a mediciones a muy corto plazo, medidas al nivel del compás o de unos pocos compases.
- A medida que las bandas se ensanchan, representan periodos de tiempo cada vez más largos.

Es importante tener en cuenta que los elementos a corto plazo se mueven muy rápidamente, mientras que los elementos a largo plazo muestran variaciones más lentas.

Cuando pulsa sobre una banda, aparece una valoración en la parte inferior de la pantalla con una representación de la flor que conoce. Puede utilizar esta valoración para añadir elementos directamente a su lista de prioridades, lo que facilita el seguimiento y el análisis de sus ondas cerebrales.



Para saber más

Las ondas cerebrales se dividen en varias categorías, cada una asociada a diferentes estados mentales y niveles de alerta:

1. **Ondas delta (0,5-4 Hz):** Asociadas al sueño profundo y a la regeneración.
2. **Ondas theta (4-8 Hz):** Asociadas a la relajación profunda, la meditación y la fase de sueño ligero.
3. **Ondas alfa (8-12 Hz):** Correlacionadas con un estado de relajación tranquila y la meditación despierta.
4. **Ondas beta (12-30 Hz):** Relacionadas con la concentración, la vigilancia y la actividad cognitiva.
5. **Ondas gamma (30-100 Hz):** Asociadas a procesos cognitivos elevados, como el aprendizaje y la memoria.

Estas ondas fluctúan en función de las actividades y los estados mentales del individuo.

12.3. Impulsa

51 emociones, sentimientos y acciones cara a cara, en 3 grupos principales y 3 subgrupos para cada uno.

Comprender los motores de la mente y la mente inconsciente

El último elemento de la mente y la parte inconsciente de la exploración se refiere a los motores. Los motores están formados por unas sesenta emociones, que pueden ser constructivas o destructivas. Estas emociones se clasifican en tres categorías: el **yo interior**, el **yo exterior** y **los demás**.

1. Categorías de emociones :

- **Yo interior:** Incluye todas las emociones relacionadas con nuestro mundo interior.
- **Yo exterior:** Incluye todas las emociones relacionadas con nuestro mundo exterior.
- **Otros:** Incluye todas las emociones relacionadas con nuestras interacciones con los demás.

2. Estructura de las emociones:

- Cada categoría de emociones se divide en tres subdivisiones: emoción, sentimiento y acción.
- **Emoción:** La base de toda realización, genera entonces un sentimiento.
- **Sentimiento:** Brota de la emoción y conduce a la acción.
- **Acción:** Resultado final del proceso emoción-sentimiento.

3. Organización horizontal:

- Las emociones también se clasifican horizontalmente: en la parte superior están las emociones constructivas y en la inferior, las destructivas.
- Por ejemplo, la depresión se opone al dejarse llevar, la ansiedad por la salud al estado meditativo, el desamor al placer y el autosabotaje a la satisfacción.

4. Interconexiones:

- Las emociones pueden estar interconectadas en diferentes lugares. Por ejemplo, la calma se opone a la obsesión compulsiva, la reflexión a la dureza, y así sucesivamente.
- Estas interconexiones proporcionan información crucial para la meditación y la autocomprensión.

5. Personalización:

- Es posible seleccionar emociones específicas sobre las que trabajar. Por ejemplo, si la organización se encuentra en un estado de baja energía, puede decidir reforzarla.
- Puede añadir elementos específicos, como la decisión de alta energía, a su lista de trabajo personal.

En resumen, comprender y organizar estos impulsores emocionales permite gestionar mejor nuestras emociones y acciones, facilitando un desarrollo personal más equilibrado y consciente.

Para saber más

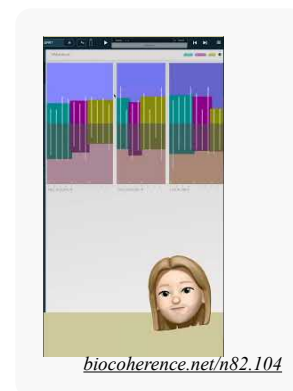
Las emociones y los sentimientos son respuestas internas a estímulos externos e internos.

- El yo interior abarca la autoconciencia, los pensamientos y los sentimientos personales.
- El yo exterior concierne a la imagen que proyectamos a los demás y a los comportamientos que mostramos en sociedad.
- El otro yo se refiere a la forma en que reaccionamos ante todo lo que nos presenta el mundo exterior.

Las interacciones con los demás influyen en estas dos dimensiones a través de los intercambios emocionales y la retroalimentación social. Emociones como la alegría, la tristeza, la ira y el miedo moldean nuestras experiencias y acciones, influyendo a su vez en nuestra percepción de nosotros mismos y de los demás. Una mejor comprensión de estas dinámicas puede mejorar la inteligencia emocional y las relaciones interpersonales.

He aquí una descripción detallada de cada emoción:

1. **Agilidad:** La capacidad de adaptarse rápida y eficazmente al cambio.
2. **Ansiedad por la salud:** Preocupación excesiva por la salud propia o la de los demás.



3. **Benevolencia:** Actitud de amabilidad y compasión hacia los demás.
4. **Angustia:** Profundo sentimiento de tristeza y dolor emocional tras una pérdida o decepción.
5. **Calma:** Estado de tranquilidad y serenidad interior.
6. **Carisma:** Capacidad de atraer, encantar e influir en los demás.
7. **Concentración:** Capacidad para mantener la atención en una tarea u objetivo específicos.
8. **Confianza:** Sentimiento de certeza y seguridad en las propias capacidades o en las de los demás.
9. **Consideración:** Cuidado y respeto por los sentimientos y las necesidades de los demás.
10. **Valentía:** Capacidad para afrontar el miedo, el dolor, el peligro o la incertidumbre.
11. **Decisión:** Capacidad para tomar decisiones con determinación y decisión.
12. **Depresión:** Estado prolongado de tristeza, desesperación y pérdida de interés por la vida.
13. **Fuerza de voluntad:** Determinación para perseguir objetivos a pesar de los obstáculos.
14. **Euforia:** Sensación intensa de felicidad y excitación.
15. **Elocución:** Capacidad para expresarse con claridad y eficacia.
16. **Inestabilidad emocional:** Variabilidad excesiva e imprevisible de las emociones.
17. **Empatía:** Capacidad para comprender y compartir los sentimientos de los demás.
18. **Estado de ánimo errático:** Cambios frecuentes e imprevisibles en el estado de ánimo.
19. **Agotamiento:** Sensación de fatiga extrema, tanto física como emocional.
20. **Aflicción:** Dolor emocional intenso, generalmente debido a una pérdida.
21. **Honestidad:** Cualidad de ser franco y sincero.
22. **Esperanza:** Expectativa positiva de un futuro mejor.
23. **Desesperación:** Pérdida total de esperanza y confianza en el futuro.
24. **Hiperemocional:** Reacción emocional excesiva ante los estímulos.
25. **Hipersensibilidad:** Reactividad aumentada a los estímulos emocionales o sensoriales.
26. **Pensamiento incoherente:** Dificultad para mantener una línea de pensamiento lógica y estructurada.
27. **Ausencia de pena:** Sensación de desapego e indiferencia emocional.
28. **Falta de confianza:** Dudas sobre las propias capacidades o las de los demás.
29. **Dificultades de aprendizaje:** Trastorno que afecta a la capacidad de adquirir conocimientos o habilidades.
30. **Dejar ir:** Capacidad para renunciar al control y aceptar las cosas tal y como son.
31. **Lealtad:** Fidelidad y devoción a una persona, grupo o causa.
32. **Estados meditativos:** Estados de relajación profunda y de mayor conciencia, que a menudo se logran mediante la meditación.
33. **Memoria:** Capacidad de retener y recordar información.
34. **Memoria a largo plazo:** Almacenamiento y recuerdo de información durante un periodo prolongado.
35. **Memoria a corto plazo:** Capacidad de retener información durante un corto periodo de tiempo.
36. **Obsesivo-compulsivo:** Pensamientos o comportamientos repetitivos e incontrolables.
37. **Obsesión:** Preocupación excesiva y persistente por una idea o persona.
38. **Organización:** Capacidad para estructurar las propias actividades de forma ordenada y eficaz.
39. **Rendimiento:** Capacidad para completar tareas o actividades con éxito.
40. **Placer:** Sensación de satisfacción y contento.
41. **Procrastinación:** Tendencia a posponer tareas importantes.
42. **Rigidez:** Falta de flexibilidad en el pensamiento o el comportamiento.
43. **Rudeza:** Comportamiento duro o insensible hacia los demás.
44. **Autosabotaje:** Comportamientos que socavan deliberadamente el propio éxito.
45. **Conciencia espacial:** Percepción del espacio circundante y de los objetos que contiene.
46. **Estancamiento:** Falta de progreso o desarrollo.
47. **Sorpresa:** Reacción emocional ante un acontecimiento inesperado.
48. **Reflexión:** Pensamiento profundo y atento sobre un tema o una situación.
49. **Timidez:** Reserva o ansiedad en las interacciones sociales.
50. **Tolerancia:** Aceptación y respeto de las diferencias de los demás.
51. **Fuerza de voluntad:** Determinación para lograr un objetivo, a menudo a pesar de las dificultades.

12.4. Emociones

tristeza, seguridad, amor, verdad, paz, bienestar y satisfacción

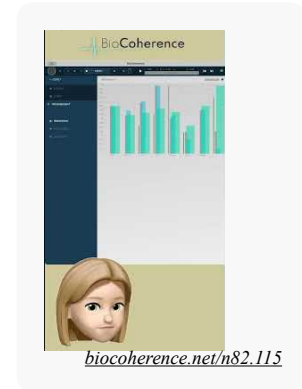
El capítulo sobre el inconsciente se divide en tres áreas principales: emociones, heridas y motores. Empezaremos por las emociones.

En esta página, puede evaluar siete emociones principales: tristeza, seguridad, amor, verdad, paz, bienestar y satisfacción. También puede seguir su evolución. Haciendo clic en las barras, puede visualizar el biomarcador en forma de flor, mostrando su dinámica interna y los vínculos entre estas emociones. También en este caso, el gráfico representa la valoración en diferentes horizontes, siendo las barras más anchas las del plazo más largo y las más finas las del plazo más corto.

Este análisis es técnicamente muy diferente, y se basa en datos distintos, del que encontramos en Drives. Por lo tanto, es interesante compararlos.

Estas emociones principales dependen del análisis armónico de segundo orden, y del ritmo cardíaco profundo general. Pueden describirse como sigue:

1. **Tristeza:** Un sentimiento de angustia o melancolía causado por una pérdida, un fracaso o una decepción. A menudo se manifiesta como llanto, falta de energía y retraimiento.
2. **Seguridad:** Un sentimiento de protección y ausencia de peligro. Engendra confianza y serenidad, permitiéndonos sentirnos a salvo de amenazas físicas o emocionales.
3. **Amor:** Emoción profunda de afecto y apego hacia una persona, un animal o una actividad. Se traduce en gestos tiernos, pensamientos positivos y deseo de cercanía.
4. **Verdad:** Un sentimiento de sinceridad y autenticidad. La verdad aporta claridad y transparencia a las relaciones y situaciones, evitando la confusión y el engaño.
5. **Paz:** Un estado de tranquilidad y armonía interior. La paz se manifiesta en la ausencia de conflictos, estrés y ansiedad, favoreciendo la relajación y el bienestar general.
6. **Bienestar:** Un sentimiento general de salud, comodidad y satisfacción física y mental. Abarca aspectos como la salud, el equilibrio emocional y la realización personal.
7. **Satisfacción:** Emoción de satisfacción y placer resultante del cumplimiento de deseos, necesidades u objetivos. Aporta una sensación de plenitud y logro.



12.5. Enfoque

Índice de estrés, VFC...

En esta sección, exploraremos la pantalla Enfoque, que proporciona una gran cantidad de información crucial para el análisis avanzado de electrocardiogramas. Esta información se utiliza generalmente en contextos académicos y de investigación, e incluye diversos marcadores científicos.

1. Índice de estrés: Este índice fue desarrollado por el investigador ruso Bevski. Mide los niveles de estrés corporal mediante parámetros específicos.
2. Nivel de adaptación: Otro índice desarrollado en Rusia, evalúa la capacidad del cuerpo para adaptarse a diferentes estímulos y condiciones.
3. Potencia Total, Factor de Variación y Variabilidad Cardíaca: Estos marcadores son bien conocidos en el campo de la cardiología y se utilizan para medir diversos aspectos de la función cardíaca y la respuesta al estrés.
4. Estrés psicoemocional: Este indicador evalúa el impacto emocional y psicológico sobre el sistema cardíaco.

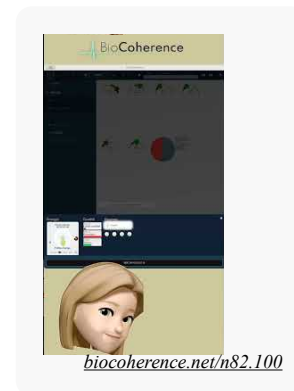
Los datos proporcionados por la pantalla Focus pueden mostrarse como cursores para una visualización rápida. Alternativamente, pueden presentarse en forma de notas, flores y calidad, lo que permite un análisis más detallado.

La pantalla Focus también incluye información sobre la calidad de la atención, la intención y los controles del horizonte. Estos indicadores proporcionan información adicional sobre el estado mental y emocional del usuario.

Un aspecto interesante de esta pantalla es la relación entre construcción (catabolismo) y destrucción (anabolismo). El catabolismo representa el gasto de energía, mientras que el anabolismo corresponde a la conservación de la energía. Esta relación es dinámica y puede variar durante el registro, lo que refleja la respiración general de los sistemas vivos. Tenga en cuenta que somos un ser sistémico y que la destrucción forma parte del movimiento general de compresión-expansión, destrucción-reconstrucción, separación-reunificación, complejización-simplificación. Un organismo complejo sano debería oscilar constantemente entre estos estados.

Es crucial observar estas variaciones dinámicas, ya que indican la evolución de la relación entre construcción y destrucción. La incorporación de este factor evolutivo permite comprender mejor la respiración de los sistemas biológicos.

Por último, la pantalla Enfoque presenta dos flores, que representan el anabolismo y el catabolismo, para proporcionar información visual sobre estos procesos. Estos datos pueden analizarse sección por sección o a lo largo de toda la grabación, proporcionando una visión completa del estado fisiológico y psicológico del usuario.



12.6. Música

Análisis y alineación musical

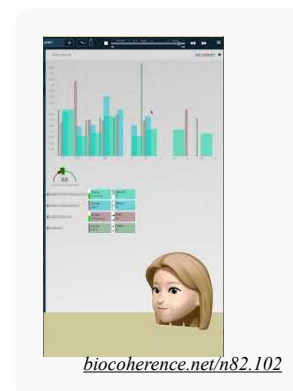
En esta sección, examinaremos la segunda parte del concepto de mente, que incluye la mente, el espíritu y el inconsciente. Nos centraremos principalmente en la mente y, en concreto, en los elementos de la música y la alineación.

La música en las grabaciones

Cuando analizamos la mente, empezamos por identificar los elementos musicales presentes en la grabación. El objetivo es encontrar correspondencias musicales relevantes. Tiene dos opciones: visualizar todos los elementos musicales o reproducirlos para observar su evolución en el tiempo.

Las barras finas representan elementos a corto plazo, mientras que las barras anchas indican elementos a más largo plazo. Otra métrica interesante es el nivel general de armonía musical de la grabación. Después de un centenar de tiempos, podemos empezar a identificar acordes musicales específicos a corto, medio, largo y muy largo plazo.

Estos acordes pueden constar de 2, 3 o 4 notas y estar repartidos en diferentes escalas. Aunque esta información no siempre es directamente útil, resulta crucial a la hora de reconstruir la meditación guiada. Nos permite comprender el estado actual de los participantes, es decir, la música presente en su grabación, y determinar hacia dónde queremos llevarles musicalmente.



Alineación y ajuste musical

La alineación musical consiste en ajustar las escalas y los tipos de acordes para adaptarlos a los objetivos de la meditación. Por ejemplo, si los acordes actuales son acordes menores de 7 y deseamos pasar a acordes mayores, esta transición se hará gradualmente a lo largo de la meditación. Del mismo modo, si nuestro objetivo es una frecuencia determinada que no está presente, crearemos una música que evolucione gradualmente hacia esa frecuencia objetivo.

La idea es tomar a los participantes en su estado musical actual y guiarles hacia un estado de meditación más profundo utilizando las melodías presentes en sus cuerpos. Este enfoque facilita la entrada en la meditación hablando directamente el lenguaje musical de los participantes.

En resumen, el análisis musical y la alineación permiten personalizar la meditación guiada, haciendo que la experiencia sea más accesible y eficaz para cada individuo.

12.7. Los 16 tipos de personalidad

Los tipos de Jung, también conocidos como MBTI o Myers-Briggs, en un mapa completamente nuevo

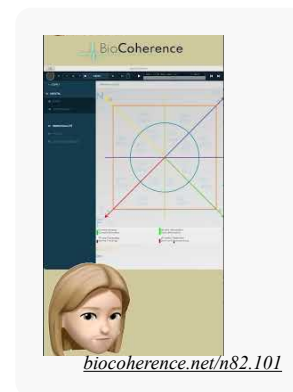
Evaluación de la personalidad según los tipos de Jung

En esta sección, exploraremos la pestaña "Espíritu" para obtener una visión general de la personalidad según los tipos de Jung. La personalidad se analiza a través de cuatro ejes principales.

Ejes de la personalidad

Los tipos de Jung se calculan mediante cuatro ejes, que hemos colocado por primera vez en un gráfico lógico:

1. **NS (Sensación/Intuición)**: Este eje determina cómo procesa la información una persona.
2. **FT (Pensamiento/Sentimiento)**: Este eje evalúa la forma en que una persona procesa la información, centrándose en la mente o el pensamiento.
3. **IE (Introversión/Extraversión)**: Este eje mide la energía, indicando si una persona es introvertida (extraversión).



4. **JP (Juicio/Percepción):** Este eje se ocupa del espacio temporal e indica si una persona está orientada hacia el corto plazo (espontaneidad).

Cada eje está dividido en segmentos, lo que permite una evaluación detallada. Por ejemplo, en el eje IE, una persona puede ser evaluada como extravertida o introvertida.

Tipos Jung y evaluación

Los tipos Jung, como ENTP, ENTJ, ESTJ, ESTP, etc., se determinan según la posición en estos cuatro ejes. Por ejemplo, una evaluación podría revelar un tipo ESTJ dominante.

Dinámica del tipo de personalidad

A diferencia de la evaluación con un cuestionario estático, este método nos permite observar la respuesta inconsciente y dinámica de una persona. Al navegar entre los ejes, podemos ver que las evaluaciones se mueven, lo que indica que los tipos de personalidad son dinámicos. Esto significa que el individuo puede oscilar entre distintos tipos adyacentes en función de la situación.

Este enfoque no estático de los tipos de Jung abre interesantes perspectivas en la comprensión de los comportamientos y las personalidades.

Los tipos de personalidad en detalle

Los tipos de personalidad de Jung se basan en cuatro funciones psicológicas principales: pensamiento, sentimiento, sensación e intuición, combinadas con las actitudes de extraversión e introversión. El resultado son ocho tipos de personalidad:

1. **Pensamiento extravertido:** Lógico, objetivo, orientado a los hechos.
2. **Pensamiento introvertido:** Reflexivo, analítico, independiente.
3. **Sentimiento extrovertido:** Sociable, cálido, orientado a los valores sociales.
4. **Sentimiento introvertido:** Reservado, profundo, guiado por sus propios valores.
5. **Sentimiento extrovertido:** Práctico, realista, orientado a lo concreto.
6. **Sentimiento introvertido:** Artístico, sensible, orientado hacia la experiencia subjetiva.
7. **Intuición extrovertida:** Innovadora, oportunista, orientada al futuro.
8. **Intuición introvertida:** Visionaria, introspectiva, orientada a la perspicacia.

Estos tipos ayudan a comprender las diferentes formas en que los individuos perciben el mundo y toman decisiones.

He aquí una breve descripción de los 16 tipos de personalidad del Indicador de Tipo Myers-Briggs (MBTI):

1. **ISTJ (Inspector)** - Fiable, organizado, realista y práctico.
2. **ISFJ (Protector)** - Dedicado, atento, leal y detallista.
3. **INFJ (Consejero)** - Idealista, empático, perceptivo e inspirador.
4. **INTJ (Arquitecto)** - Estratégico, independiente, analítico y decidido.
5. **ISTP (Artesano)** - Práctico, observador, adaptable y lógico.
6. **ISFP (Artista)** - Sensible, reservado, espontáneo y armonioso.
7. **INFP (Idealista)** - Creativo, apasionado, altruista e introspectivo.
8. **INTP (Lógico)** - Innovador, curioso, objetivo e independiente.
9. **ESTP (Emprendedor)** - Enérgico, directo, pragmático y sociable.
10. **ESFP (Intérprete)** - Entusiasta, espontáneo, cálido y divertido.
11. **ENFP (Inspirador)** - Imaginativo, sociable, enérgico y visionario.
12. **ENTP (Innovador)** - Ingenioso, enérgico, ingenioso e intelectual.
13. **ESTJ (Supervisor)** - Organizador, práctico, realista y decidido.
14. **ESFJ (Cónsul)** - Amigable, concienzudo, cooperativo y sociable.
15. **ENFJ (Profesor)** - Carismático, altruista, empático y motivador.
16. **ENTJ (Comandante)** - Visionario, asertivo, estratégico y eficiente.

Estas breves descripciones ofrecen una visión general de cada tipo de personalidad MBTI.

12.8. Las 5 heridas

Abandono, rechazo, humillación, traición, injusticia

El inconsciente humano está influido en gran medida por las heridas psíquicas. Entre ellas, hay cinco heridas principales: el rechazo, el abandono, la traición, la humillación y la injusticia. Estas cinco heridas se derivan de un modelo inicial de ocho heridas. Interactúan de forma similar a los cinco elementos de la medicina tradicional china, creando una compleja red de influencias mutuas.

Comprender qué heridas están actualmente activas en nuestro interior puede ofrecernos valiosas perspectivas. Al observar cómo el rechazo, la traición o la injusticia se alimentan mutuamente, podemos obtener una visión dinámica de nuestro estado psíquico. Esta comprensión puede ser una clave para un mayor autoconocimiento y superación personal.

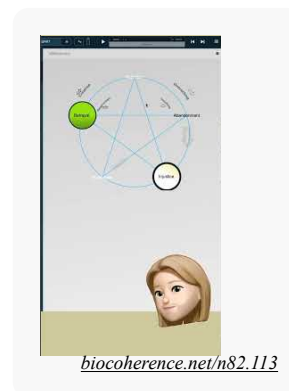
Origen de las 5 heridas

John Pierrakos, psicoterapeuta y cofundador del Instituto de Análisis Bioenergético en 1956, retomó el trabajo de Wilhelm Reich sobre las heridas existenciales (o heridas narcisistas) y definió ocho: abandono, rechazo, humillación, traición, injusticia, intrusión, impotencia, inseguridad.

Más tarde, Lise Bourbeau adaptó y simplificó la teoría en cinco heridas emocionales que nos impiden ser nosotros mismos. Según ella, estas heridas están en la raíz de muchos problemas emocionales y comportamientos disfuncionales. Se originan en la infancia, a menudo entre el nacimiento y los siete años, pero siguen influyendo en nuestra vida adulta si no se curan.

1. La herida del rechazo: Esta herida suele formarse muy pronto, a veces incluso antes del nacimiento, y suele estar vinculada a un sentimiento de no ser querido. Las personas con esta herida se sienten indignas de amor y evitan las situaciones en las que podrían ser rechazadas. Tienen dificultades para hacerse valer y ocupar su lugar.
2. Herida de abandono: Aparece cuando un niño se siente abandonado o no apoyado por sus allegados. Las personas afectadas por esta herida tienen un miedo intenso a la soledad y buscan constantemente la atención y la aprobación de los demás. Pueden llegar a ser emocionalmente dependientes.
3. La herida de la humillación: Se desarrolla cuando un niño se siente menospreciado o criticado por sus padres o seres queridos por su comportamiento o sus acciones. Los individuos con esta herida tienden a sentirse avergonzados y faltos de dignidad. También pueden humillarse a sí mismos para evitar que otros lo hagan.
4. La herida de la traición: Esta herida se produce cuando un niño se siente traicionado por alguien en quien confiaba, a menudo un padre que no cumple sus promesas. Las personas con esta herida tienen dificultades para confiar en los demás y buscan controlarlo todo. Pueden volverse celosas o posesivas.
5. Herida de injusticia: Se forma cuando un niño se siente tratado injustamente, a menudo por padres excesivamente autoritarios o críticos. Las personas afectadas por esta herida se esfuerzan por alcanzar la perfección y pueden volverse rígidas e intolerantes. A menudo tienen dificultades para expresar sus emociones.

Lise Bourbeau explica que estas heridas influyen en nuestro comportamiento y en nuestra forma de percibir el mundo. Para curarse, es esencial reconocer estas heridas, comprender su origen y trabajar para superarlas.



13. Prueba

Este módulo está dedicado a las pruebas de biorretroalimentación en vivo y a la evaluación de listas de pruebas a partir de grabaciones existentes.

El módulo de pruebas le permite realizar cualquier tipo de prueba en directo, cuyo resultado se evalúa en función de la variación instantánea de determinados biomarcadores; y preevaluar cualquier lista de pruebas en función de los valores de determinados biomarcadores en la exploración actual

Preevaluación de listas

Puede crear nuevas listas o utilizar listas existentes creadas por otros usuarios. Cuando abra una lista, todos sus elementos se priorizarán en relación con el informe abierto en ese momento. A continuación, puede marcar cuáles de ellos desea probar en vivo

Pruebas en directo

Una vez seleccionados los elementos, las pruebas en vivo le permiten mostrarlos al cliente y medir la respuesta de biorretroalimentación de su sistema mediante el sensor. El resultado se clasifica en 3 posibles respuestas: refuerza el sistema; debilita el sistema; o neutral

También existe una opción de prueba abierta infinita, que le permite probar cualquier enfoque terapéutico directamente en el cliente o en usted mismo, y medir el resultado en directo utilizando la biorretroalimentación.

13.1. Listas de pruebas

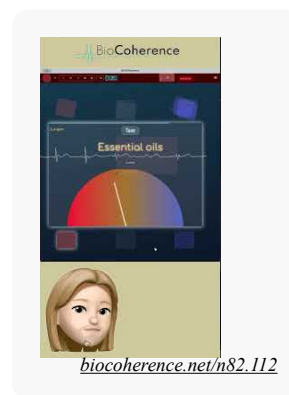
Pruebas con listas en Biocoherence

Gestión y edición de listas en su aplicación

Cuando trabaja con listas, tiene a su alcance la función de búsqueda por palabras clave. Aunque actualmente el número de listas es limitado, está diseñado para ampliarse a cientos o incluso miles de listas. Esto le permitirá editar y gestionar sus propias pruebas.

Modo de edición de pruebas

1. **Acceso al modo de edición:** Si se encuentra en una prueba que le pertenece, aparecerá un pequeño lápiz junto a la prueba. Haga clic en él para acceder al modo de edición.
2. **Edición de elementos:** Una vez en el modo de edición, puede hacer clic en cada elemento para modificar el texto y las acciones asociadas. Por ejemplo, puede definir acciones sobre categorías como Ayurveda, órganos, Vata, Vita, etc.
3. **Definir acciones:** Haga clic en categorías como VPK para especificar efectos, como el aumento o la disminución de determinados elementos (por ejemplo, aminoácidos, vejiga, sangre, cerebro, ojos).



Evaluación automática

La evaluación automática se basa en la correspondencia entre los niveles de elementos de los usuarios y las acciones definidas en las pruebas. Esto permite clasificar los elementos de la lista en función de los resultados esperados.

Herramientas adicionales

1. **Añadir e importar:** Puede añadir nuevas herramientas o importar una lista pegando los elementos línea por línea.
2. **Borrar lista:** Dispone de una opción para borrar una lista por completo.

3. **mapa lógico 2D**: Pronto podrá colocar elementos en una imagen bidimensional, lo que facilitará la visualización y organización de las pruebas.

Propiedades generales de las listas

En la parte superior de la interfaz, podrá modificar las propiedades generales:

- Categoría de la lista
- Visibilidad (pública o privada)
- Acceso (gratuito o de pago)

Las listas de pago pueden hacerse públicas para que otros usuarios puedan acceder a ellas pagando, ya sea una sola vez o mediante una suscripción mensual. Esto le permite compartir sus conocimientos y cobrar por ello.

Gestión de listas sin propietario

Si está trabajando en una lista que no es de su propiedad, puede duplicarla. La duplicación le permite crear una copia editable en la que puede cambiar el título, la descripción y las acciones.

Acceso a las listas

Desde el menú general, accesible en la parte derecha de la pantalla, puede navegar a "Mis listas" para editar sus listas existentes o crear otras nuevas. Esta función está disponible desde cualquier pantalla, incluida la pantalla de inicio.

Siguiendo estas instrucciones, podrá gestionar sus listas y pruebas de forma eficaz, al tiempo que aprovecha las distintas opciones de edición y organización que ofrece la aplicación.

Introducción a las pruebas basadas en listas

Las pruebas basadas en listas en Biocoherence son un sistema completamente abierto, que permite a los usuarios seleccionar listas existentes, crear listas nuevas o duplicar listas existentes para compartirlas con otros usuarios.

¿Qué es una lista?

Una lista de pruebas es una colección de entradas, por ejemplo, hierbas aromáticas o aceites esenciales. Cuando se abre una lista en un informe con un registro disponible, cada entrada se evalúa y prioriza. Los porcentajes indican la compatibilidad de las entradas con el registro, oscilando entre el 0% y el 100%.

Códigos de color

- **Verde**: Muy relevante, alta compatibilidad (por ejemplo, 85%)
- **Otros colores**: Diferentes gradaciones de compatibilidad (por ejemplo, 40% para una serie intermedia)
- **Violeta**: Compatibilidad baja (20-30%)
- **Gris**: Compatibilidad neutra o casi nula (en torno al 0%)
- **Rojo**: Incompatibilidad o respuesta negativa

Prueba en vivo

Tras una evaluación previa, la segunda parte consiste en una prueba en vivo. Estos son los pasos a seguir:

1. **Seleccione los elementos**: Seleccione individualmente los elementos que desea probar.
2. **Conectar al sensor**: Conecte el sensor para calibrarlo.
3. **Ejecute las pruebas**: Las pruebas se ejecutan una a una, enviando información visual, sonora o de otro tipo a la persona sometida a la prueba.
4. **Observación**: La persona debe ver u oír la información que se está probando para una evaluación precisa.
5. **Evaluación**: El sistema clasifica las respuestas del organismo en función de la información presentada.

Visualización de los resultados

Al final de la prueba, se vuelven a visualizar los resultados y se clasifican de la siguiente manera:

- **Prueba satisfactoria:** Buena respuesta del cuerpo
- **Prueba media:** Respuesta mixta
- **Prueba no concluyente:** Respuesta negativa o incoherente

Importancia de la información presentada

Es crucial presentar toda la información posible sobre los elementos probados (por ejemplo, fotos, detalles de los sistemas sobre los que actúan los aceites esenciales) para obtener una respuesta intuitiva y mensurable del organismo a través del sistema de biorretroalimentación.

Integración de los resultados en el informe

Los resultados de las pruebas aparecen en el informe, mostrando sólo los elementos con respuestas buenas o medias, y excluyendo los rechazados. El informe incluye :

- **Porcentaje de compatibilidad:** Cálculo basado en la exploración inicial
- **Respuesta corporal inconsciente:** Medida cuando se presenta la información

Desarrollos futuros

Pronto estarán disponibles nuevas funciones de prueba, como la prueba de frecuencia y la prueba en directo de cualquier información.

Modo de edición de pruebas

Cuando se encuentra en una prueba que le pertenece, aparece un pequeño lápiz. Al hacer clic en este lápiz, entrará en el modo de edición de pruebas. A continuación, puede hacer clic en cada elemento para modificar los textos y acciones asociados. Por ejemplo, puede establecer acciones en ítems como Ayurveda y órganos, y pronto estarán disponibles otros tipos de acciones.

Edición de acciones

Para modificar una acción, pulse sobre el elemento en cuestión (por ejemplo, VPK) y defina los efectos, como aumentar o disminuir determinados aspectos (por ejemplo, Vata y Vita). También puede especificar los efectos sobre los órganos, como aumentar los aminoácidos, la vejiga y la sangre, o disminuir el cerebro y los ojos. Estas modificaciones definen la acción específica de esta entrada, que es esencial para la evaluación automática.

Evaluación automática

La evaluación automática se realiza comparando los niveles del usuario (en forma de flor) con las acciones definidas. Esta comparación permite clasificar los elementos de la lista en función de los resultados obtenidos.

Herramientas disponibles

Hay varias herramientas disponibles en la parte inferior de la pantalla. Puede añadir herramientas, importar una lista pegando los elementos línea por línea o borrar una lista. Pronto, también podrá colocar estos elementos en una imagen bidimensional, tomando una foto o importando una imagen para situarlos en un mapa lógico. Esto permite que la prueba se desplace por el mapa en función de los elementos seleccionados.

Propiedades generales de la lista

Las propiedades generales de la lista se encuentran en la parte superior de la pantalla. Puede modificarlas haciendo clic sobre ellas para definir la categoría, la visibilidad (pública o privada) y el modo de tarificación (gratuita o de pago). Una lista de pago puede hacerse pública una vez lista, lo que permite a los usuarios pagar por su uso cada vez o mediante una cuota mensual.

Compartir y remunerar

Este sistema le permite compartir sus conocimientos o tipos de evaluación, y ser remunerado por ello. Si está trabajando en una lista que no le pertenece, puede duplicarla. No podrá editarla directamente, pero al duplicarla creará una copia que podrá modificar por completo, incluidos el título y la descripción.

Acceso a las listas

Desde el menú general situado en la parte derecha de la pantalla, puede acceder a "Mis listas". Desde cualquier pantalla, como la de inicio, puede optar por editar sus listas. También puede crear fácilmente una nueva lista desde esta interfaz.

Conclusión

Este sistema le ofrece una gran flexibilidad y autonomía para gestionar y compartir sus listas de pruebas, al tiempo que le proporciona potentes herramientas de edición y evaluación.

14. Equilibrio

Recursos y prioridades; elaboración de informes, generación de meditaciones y frecuencias.

Estas pantallas permiten la autoidentificación y modificación de recursos y prioridades, la generación de un informe en PDF y la creación de herramientas de reequilibrio como meditaciones guiadas, frecuencias específicas...

14.1. Prioridades

Defina los elementos clave que deben abordarse tras el análisis

La sección de equilibrado trata de las medidas que deben tomarse una vez que el análisis ha finalizado y los objetivos están claros, o cuando se confía en que el dispositivo determine los requisitos automáticamente.

Prioridades

Definición y propósito: Las prioridades son los elementos identificados por la aplicación como necesitados de atención o intervención. Son las áreas en las que la salud del usuario puede verse comprometida y requieren el apoyo de los recursos identificados (véase el capítulo siguiente sobre recursos).

Proceso de selección: La app selecciona automáticamente las prioridades basándose en un algoritmo que evalúa diversos biomarcadores. Los usuarios pueden explorar prioridades potenciales adicionales dentro de cada categoría y añadirlas según sea necesario, ya sea pulsando "explorar" para obtener una preselección de biomarcadores interesantes, o navegando por todas las pantallas y eligiendo las prioridades interesantes.

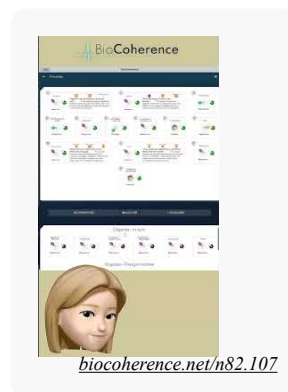
Categorías: De forma similar a los recursos, las prioridades se categorizan en varios grupos, incluyendo órganos, emociones y puntos energéticos. Los usuarios pueden explorar estas categorías para identificar áreas de interés adicionales.

Personalización: Los usuarios pueden añadir o eliminar prioridades de la lista, lo que permite un enfoque personalizado de su viaje de salud. Se recomienda mantener un número de prioridades manejable (15-20) para mantener la concentración y la eficacia.

Ejecute nuevos cálculos para optimizar el sistema.

Para reiniciar los cálculos de prioridades y recursos, pulse el icono correspondiente en la esquina superior derecha de la pantalla de inicio. Empiece por identificar los recursos, lo que permitirá al sistema volver a identificar automáticamente todos los recursos necesarios. A continuación, identifique las prioridades haciendo clic en la opción correspondiente, lo que añadirá automáticamente las prioridades identificadas por el sistema. También puede hacer clic en "añadir" y "autoidentificar prioridades" en la pantalla Prioridades; eso sólo añadirá nuevas prioridades a su selección actual, no las eliminará.

El análisis de formas de onda es un paso crucial en la evolución lógica. Puede recalcular biomarcadores, enlaces, prioridades e identificar recursos según sus necesidades. Si tiene problemas para acceder a un informe completo, siempre puede volver a calcularlo.



Ver y modificar prioridades

En la sección de prioridades, el sistema muestra todo lo identificado como relevante. Puede modificar estas prioridades borrándolas o añadiendo otras nuevas. Para añadir una prioridad, haga clic en "Añadir" y seleccione los elementos de interés entre las distintas categorías que se ofrecen, como órganos, puntos meridianos o recetas de MTC (Medicina Tradicional China).

También puede limpiar la lista de prioridades borrando las que ya no sean necesarias. La edición de prioridades utiliza la misma interfaz en todas las páginas del sistema, pero aquí agrupa todas las prioridades que haya definido.

Por último, puede añadir comentarios a las prioridades. Estos comentarios se integrarán en el informe final, proporcionando un contexto adicional para cada prioridad identificada.

Puede añadir o eliminar elementos prioritarios de cualquier página, haciendo clic en el icono situado a la derecha de la flor correspondiente. Si este icono es verde, el biomarcador está presente en las prioridades; si es rojo, no lo está.

14.2. Recursos

Los pilares sobre los que armonizar sólidamente

Antes de explorar los recursos, Christine Degoy compartirá algunas ideas sobre su investigación, ya que se trata de un punto clave:

"Hemos desarrollado una cultura -una nueva mentalidad- sobre el compromiso con los sistemas problemáticos. Diez años de trabajo de terapia e investigación con clientes me revelaron inicialmente una coherencia dentro de cada ser. Esta resonancia natural es crucial ya que ayuda a explorar todo el espectro de problemas. Es la forma más fácil de establecer conexiones internas profundas, fomentando un contagio positivo que aumenta la coherencia en el sistema. Este enfoque capacita a las personas para curarse y crecer internamente, respetando el orden natural de su cuerpo. Lo llamamos el "camino de los recursos", una puerta abierta a las posibilidades.

Los recursos son las partes más coherentes y poderosas de nuestro ser, algo así como un superpoder que hemos desarrollado a lo largo de nuestra vida. El concepto de recursos de por vida acabará formando parte de nuestro módulo de misiones vitales. Incluso un solo órgano, meridiano, punto de acupuntura, chakra, emoción, etc. puede ser un recurso poderoso, que contribuya a un contagio feliz que alinee nuestra vida y nuestro cuerpo. " -- Christine Degoy

Después de examinar las prioridades -los elementos cruciales que deben abordarse para una persona en un momento dado- pasaremos a los recursos. Los recursos, representados por el icono de un pequeño billete con una estrella, son los elementos "estrella" del cuerpo. Son los que rebosan energía, son extremadamente estables y en los que el cuerpo puede confiar para distribuir la energía entre las prioridades a lo largo del proceso de curación.

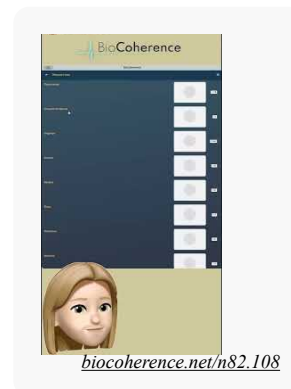
En la aplicación, hemos desarrollado un sofisticado algoritmo para calcular una puntuación de recursos para cada biomarcador. Esta puntuación identifica los elementos más energéticos y estables, destacando las prioridades de mejora. Tiene en cuenta varios factores, como la estabilidad, la energía y la conectividad de un elemento, lo que da como resultado la página de recursos que ve ahora.

Una comprensión detallada de los recursos y las prioridades dentro de la aplicación BioCoherence ofrece a los usuarios un camino claro para aprovechar sus puntos fuertes inherentes y abordar las áreas de necesidad para mejorar la salud y el bienestar.

Los recursos se identifican automáticamente tras un registro, gracias a un algoritmo desarrollado para tener en cuenta todos los elementos disponibles. Sin embargo, es posible modificar estos recursos manualmente si es necesario. Por ejemplo, al acceder a la sección de órganos, si se identifican los neurotransmisores como recurso principal, es posible hacer clic sobre ellos para ver una selección de otros recursos potentes.

Los recursos disponibles de esta familia se clasifican entonces en orden inverso de importancia, del más fuerte al más débil. Si prefiere trabajar con un recurso diferente, por ejemplo la lengua en lugar de los neurotransmisores, o la tráquea, o los núcleos celulares de las neuronas, sólo tiene que hacer clic en el recurso deseado para seleccionarlo. Para comprender mejor a qué corresponde cada recurso, puede hacer clic en el icono de la flor para ver las conexiones y hacer una elección más informada.

Estos recursos se utilizarán después en las distintas etapas de la rearmonización.



Breve presentación de los recursos

Nuestro enfoque introduce un cambio de paradigma para abordar los sistemas problemáticos. Descubierta inicialmente a través de prácticas terapéuticas, este método hace hincapié en la coherencia dentro de un individuo. Esta resonancia natural entre la terapia y la coherencia personal sirve de base para abordar cuestiones más amplias. El enfoque fomenta la conectividad interna, dando lugar a un "contagio feliz" que potencia la curación personal y el empoderamiento sin protocolos externos. Esta metodología, denominada 'el camino de los recursos', respeta los sistemas complejos y fomenta la sinergia.

Los recursos se identifican como los aspectos más coherentes y potentes del cuerpo, semejantes a superpoderes inherentes. Para ampliar aún más la comprensión del camino personal, las futuras actualizaciones incluirán las misiones vitales, que son una extensión de la investigación de Christine.

Un órgano concreto, por ejemplo, podría ser un recurso importante, potencialmente difusor de poder y coherencia por todo el cuerpo. La aplicación emplea un algoritmo avanzado para calcular una puntuación de recursos para cada biomarcador, identificando los recursos óptimos y las prioridades. El algoritmo evalúa la energía, la estabilidad y la conectividad, teniendo en cuenta la fuerza o la debilidad de estas conexiones, lo que da como resultado una completa página de recursos.

Recursos y prioridades en BioCoherence

Visión general

La aplicación BioCoherence proporciona un análisis exhaustivo del estado fisiológico y energético del usuario a través de un escaneado detallado. Una vez completado el escaneado inicial, se presentan a los usuarios dos componentes críticos: Recursos y Prioridades. Estos elementos son esenciales para interpretar los resultados del escaneado y guiar al usuario hacia una salud y un bienestar óptimos.

Recursos

Definición y finalidad: Los recursos en la aplicación BioCoherence se refieren a los elementos más coherentes, estables y energéticamente potentes dentro del cuerpo del usuario. Estos elementos se identifican como los puntos fuertes o "superpoderes" inherentes del usuario que pueden aprovecharse para favorecer la curación y el equilibrio.

Cálculo: La aplicación emplea un sofisticado algoritmo para determinar la puntuación de recursos de cada biomarcador. Esta puntuación tiene en cuenta factores como los niveles de energía, la estabilidad y la conectividad con otros elementos. Los elementos con mayor puntuación se identifican como recursos.

Categorías: Los recursos se clasifican en diez grupos, que incluyen:

- Grupos de órganos (por ejemplo, grupos basados en el Ayurveda)
- Órganos individuales
- Átomos
- Meridianos
- Momentos (estados dinámicos)
- Impulsos (emociones)
- Organismos (simbióticos o parasitarios)
- Puntos de la MTC
- Subdoshas ayurvédicos
- Chakras

Personalización: Los usuarios pueden aceptar la selección automática de recursos de la aplicación o ajustarlos manualmente en función de su resonancia personal o de sus objetivos terapéuticos. Esta personalización permite un enfoque personalizado de la curación.

Integración con las funciones de equilibrio

- **Frecuencias:** La app utiliza los recursos y las prioridades para crear un programa de frecuencias. Este programa incluye frecuencias principales para dirigirse a órganos, emociones o estructuras energéticas específicas. Los usuarios pueden mejorar este programa con protocolos adicionales para aumentar su eficacia.
- **Equilibrio:** La aplicación calcula un camino óptimo a través de las prioridades seleccionadas, creando una meditación guiada o sesión de equilibrio. Esta sesión comienza con la activación de los recursos, seguida del tratamiento de cada prioridad en secuencia.

- **Informe en PDF:** Los usuarios pueden generar un informe en PDF que incluye información detallada sobre sus recursos y prioridades, proporcionando una visión global de su estado actual y su enfoque terapéutico.

Aplicación práctica

Momento de uso: Los programas de meditación y frecuencia de la aplicación pueden utilizarse en cualquier momento del día, en función de las preferencias personales. Algunos usuarios pueden encontrar beneficioso dedicarse a estas prácticas en momentos tranquilos, como a primera hora de la mañana o a última hora de la noche.

14.3. Informe en PDF

Genera, exporta PDF, imprime y comparte resultados

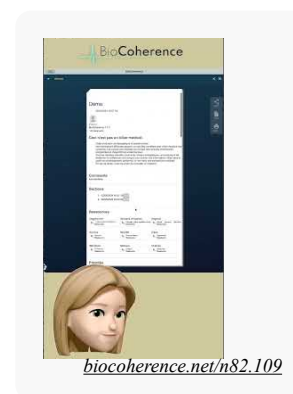
Capítulo: Generación y gestión de informes con Balance

La tercera característica clave de Balance es la generación de informes. Esta función le permite crear un archivo PDF que contiene toda la información conservada durante el uso de la aplicación.

Contenido del informe PDF

El informe PDF generado incluye:

- Secciones del proyecto y duración
- Comentarios escritos
- Recursos identificados
- Prioridades definidas
- Órganos más energéticos o menos energéticos
- Órganos más agitados o menos agitados
- Órganos en coherencia
- Meridianos
- Recetas de la medicina tradicional china (MTC)
- etc.



Personalización del informe

Puede añadir o eliminar secciones del informe. Para ello, acceda a los tipos de sección y utilice las herramientas disponibles para personalizar el informe según sus necesidades.

Compartir y guardar el informe

El informe en PDF puede compartirse directamente a través de varios canales:

- **Compartir directamente:** Utilice el cuadro de compartir para enviar el informe por WhatsApp, SMS o messenger.
- **Guardar:** Haga clic en "Archivo PDF" para guardar el informe. En un ordenador, puede guardarlo directamente en su disco duro. En un teléfono o tableta (iPad), se guardará en sus archivos.
- **Imprimir:** Haga clic en "Imprimir" para imprimir el informe. En un ordenador, se abrirá el cuadro de diálogo de impresión. En un teléfono, la opción de impresión aparecerá si hay una impresora compatible disponible en su red.

El informe en PDF conserva toda la información introducida, incluidos los comentarios añadidos en las distintas secciones. Esta característica garantiza que todos los datos importantes estén centralizados y sean fácilmente accesibles para su uso futuro.

14.4. Equilibrio: Meditaciones, sonidos y herramientas

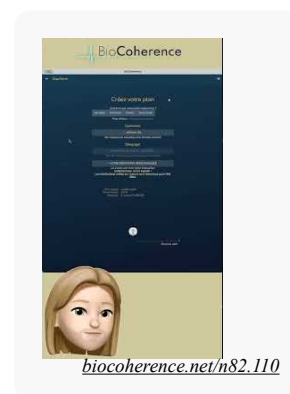
meditaciones guiadas, generación de frecuencias y disolución de cristales de tiempo. En estos momentos, este módulo se encuentra en fase de preparación y se desarrollará en los próximos meses.

Equilibrio con meditaciones guiadas personalizadas

La sección "Equilibración" es una parte crucial de nuestro método, dedicada a la creación de meditaciones guiadas o archivos de audio que integran las frecuencias necesarias para cada individuo. El principio se basa en un enfoque progresivo, comparable al de pelar una cebolla: los problemas más cercanos son los más fáciles de tratar, mientras que los más lejanos requieren un tratamiento más profundo. Este proceso se lleva a cabo paso a paso, siguiendo una trayectoria ideal definida para pasar por los distintos elementos prioritarios en un orden específico.

Parámetros de meditación

1. **Velocidad de meditación:** En función de los parámetros detectados durante la grabación, se determina la velocidad a la que una persona entra en meditación.
2. **Tipo de personalidad:** Este factor influye en la construcción de la meditación.
3. **Música:** Se identifican acordes y una escala general para empezar al nivel de la persona.



Selección de recursos

Los recursos se diseñan para aprovechar los elementos más potentes de cada categoría. Cada día se recurre a los recursos pertinentes para abordar las prioridades del día.

Selección de prioridades

Para cada tipo de prioridades seleccionadas, se incluye una serie de meditaciones. Estas series incluyen diferentes tipos de meditaciones guiadas adaptadas a distintos perfiles. A continuación, la aplicación determina las meditaciones guiadas más adecuadas para empezar, seguidas de una segunda parte basada en frecuencias o voces generadas en función de las prioridades que se vayan a abordar y los recursos a los que se vaya a recurrir.

Grabación y seguimiento

Una vez diseñada una guía personalizada, puede guardarse en la cuenta del usuario. Si ha sido realizada por un profesional, el usuario puede entonces instalar la aplicación BioCoherence, introducir su dirección de correo electrónico y acceder a su meditación personalizada. También es posible reevaluarse regularmente antes de cada sesión de meditación a través de la aplicación. La reevaluación le pide que registre el sensor y lo conecte para una nueva evaluación.

Seguimiento del progreso

El progreso se muestra en forma de curvas correspondientes a cada prioridad, lo que permite visualizar los avances y los puntos pendientes. También están disponibles otros métodos de seguimiento, como los cuestionarios iniciales y de seguimiento.

Plan y duración

Una vez elaborado el plan y creada la meditación personalizada, está disponible en el perfil del usuario. Se puede invitar al usuario a instalar la aplicación por correo electrónico para iniciar directamente la meditación guiada. Está previsto que una sesión completa de equilibración dure tres semanas.

Una guía detallada: Utilización del Harmonic Boost y de la Guía personal en BioCoherence

El Refuerzo Armónico y la Guía Personal son dos funciones clave de la aplicación BioCoherence que permiten a los usuarios comprometerse con sus programas de frecuencias personalizados. Estas herramientas ayudan a los usuarios a integrar las frecuencias bioactivas en su rutina diaria, apoyando su equilibrio energético y fisiológico. Esta sección ofrece una guía detallada sobre cómo utilizar estas funciones de forma eficaz, incluyendo las mejores prácticas para diferentes escenarios.

1. Refuerzo armónico

¿Qué es el Harmonic Boost?

El Harmonic Boost es una herramienta basada en frecuencias que reproduce simultáneamente todas las prioridades seleccionadas. Está diseñado para proporcionar una armonización energética integral y holística en un breve periodo de tiempo.

Cómo utilizar el Harmonic Boost

- Cómo acceder al Harmonic Boost:
 - Abra la aplicación BioCoherence.
 - Navegue hasta su registro activo (se encuentra en el centro de su pantalla de inicio), o elija un registro de su lista.
 - Pulse en Harmonic Boost para empezar a reproducir las frecuencias.
- Reproducción del Harmonic Boost:
 - El Harmonic Boost reproduce todas las prioridades seleccionadas a la vez. También puede filtrar por energía, cuerpo y mente; programas con prioridad alta; programas con protocolos; etc. Filtre los programas si sólo desea un impulso energético, por ejemplo, o si tiene ganas de abordar sus problemas más profundos filtrando sólo los programas con protocolos.
 - Puede reproducirlo en segundo plano mientras realiza sus actividades cotidianas. El volumen puede ser muy bajo.
 - Se recomienda utilizar auriculares o altavoces externos para una mejor resonancia. Incluso puede utilizar auriculares intrauditivos en el bolsillo que enviarán a su cuerpo un minúsculo campo electromagnético con las frecuencias bioactivas incluidas. De esta forma, no tendrá que escuchar las frecuencias: su campo energético, su cuerpo y su mente las registrarán electromagnéticamente.
- Exportación del Harmonic Boost:
 - Los usuarios pueden exportar el Harmonic Boost como un archivo MP3 para utilizarlo sin conexión.
 - En Mac, iPhone, iPad y Android, el archivo puede guardarse o compartirse directamente a través de SMS, AirDrop, WhatsApp o correo electrónico.
 - En Windows, el archivo debe guardarse manualmente y luego compartirse.
- Mejores prácticas:
 - Uso diario: Toque el Harmonic Boost una o dos veces al día.
 - Escucha pasiva: Puede reproducirse a un volumen bajo en segundo plano.
 - Sesiones concentradas: Para obtener efectos más profundos, escuche en un entorno tranquilo con un mínimo de distracciones.

2. Guía personal

¿Qué es la Guía Personal?

La Guía Personal es una meditación guiada que integra frecuencias personalizadas con guía de voz. Ayuda a los usuarios a centrarse en su equilibrio energético y fisiológico a través de técnicas estructuradas de visualización y relajación. El objetivo de esta guía es integrar la conciencia curativa focalizada en su vida diaria.

Cómo utilizar la Guía personal

- Cómo acceder a la Guía personal:
 - Abra la aplicación BioCoherence.
 - Navegue hasta su registro activo (se encuentra en el centro de su pantalla de inicio), o elija un registro de su lista.
 - Pulse en Guía personal para iniciar la sesión.
- Personalización de la Guía personal:
 - Duración: Ajuste la duración deseada de la sesión con el control deslizante.
 - Velocidad de inmersión: La velocidad y la intensidad de las técnicas de relajación utilizadas se calculan previamente en función de sus constantes vitales medidas.
 - Tipo de personalidad: Seleccionado automáticamente en función de la exploración.
 - Acorde musical: Personalizado en función del análisis de resonancia.

- Modo Fin:
 - Modo Despertar: Devuelve suavemente al usuario a un estado de alerta.
 - Modo Sueño: Guía al usuario hacia un sueño profundo.
- Reproducción de la guía personal:
 - La sesión incluye una guía de voz, frecuencias individuales y latidos binaurales, y ruido de fondo.
 - Los usuarios pueden silenciar la voz si prefieren escuchar sólo las frecuencias.
 - El ruido de fondo, las frecuencias y los latidos binaurales pueden ajustarse para una relajación más profunda.
- Prácticas recomendadas
 - Uso diario: Se recomienda una vez al día, preferiblemente en un entorno tranquilo.
 - Antes de dormir: Utilice el Modo Sueño para aumentar la relajación.
 - Durante la meditación: Concéntrese en las instrucciones guiadas para obtener el máximo beneficio.
 - Sin voz: Algunos usuarios prefieren silenciar la voz y escuchar sólo las frecuencias. Éste puede ser un modo relajante antes de dormir, especialmente en los últimos días del programa de 21 días, si ya se ha interiorizado la guía.

3. Combinar el Refuerzo Armónico, la Guía Personal y los Programas Básicos

Además de su programa personal, algunos programas básicos pueden ser útiles para acompañarle en su viaje.

Los programas básicos son programas preestablecidos para un uso específico: por ejemplo: desintoxicación, cuidado de los ojos, armonización de los chakras, gestión del estrés... Estos programas básicos han sido cuidadosamente diseñados por nuestros especialistas para un uso general sin necesidad de exploración.

Los usuarios pueden elegir entre:

- Ejecutarlos por separado (por ejemplo, Programa básico por la mañana, Refuerzo armónico por el día, Guía personal por la noche).
- Combinarlos añadiendo algunos programas básicos y las frecuencias de Harmonic Boost a la Guía Personal.

Cómo combinar ambos

1. Abra el Registro y vaya a Prioridades.
2. Pulse el botón para añadir prioridades adicionales.
3. Seleccione programas básicos, por ejemplo Energía > Desintoxicación (o cualquier otra categoría relevante).
4. Haga clic en Añadir todas las prioridades para integrarlas en la sesión.

Mejores prácticas para la combinación

- Rutina matutina: Utilice el Refuerzo armónico, filtrado a Energía, para una rápida alineación energética.
- Pausa de energía matutina: reproduzca un programa básico rápido para un alivio inmediato.
- Rutina vespertina: Utilice el programa diario Guía personal de 21 días para una relajación e integración profundas.
- Apoyo continuo: Reproduzca el Harmonic Boost completo a un volumen muy bajo a lo largo del día.

4. Evaluación de los progresos

Reevaluaciones

- Los usuarios deben realizar reevaluaciones cada 3 a 7 días para realizar un seguimiento de los progresos. Necesitan un sensor para medir las constantes vitales y calcular los biomarcadores.
- Cada reevaluación actualiza la relevancia de la prioridad y el progreso, y ajusta el programa en consecuencia.

Signos de mejora

- Cambios físicos: Reducción de los síntomas o las molestias.
- Cambios energéticos: Sensación de mayor equilibrio y concentración.
- Bienestar emocional: Mayor claridad y estabilidad emocional.

5. Solución de problemas y preguntas frecuentes

¿Por qué mi problema principal no figura entre las prioridades?

El sistema prioriza las causas principales en lugar de los síntomas. Utilice la función de cadena causal para explorar los factores relacionados.

¿Puedo escuchar mientras hago otras actividades?

Sí, el Harmonic Boost puede escucharse en segundo plano. La Guía Personal se utiliza mejor en un entorno tranquilo y

concentrado.

¿Cómo comparto la Guía personal con un cliente?

Asegúrese de que el registro se comparte con el cliente. El cliente puede acceder a la Guía personal directamente en su aplicación.

¿Puedo exportar la Guía personal?

No, debido a su naturaleza compleja y a los ajustes de biorretroalimentación en directo, la Guía Personal debe reproducirse desde dentro de la app y no puede exportarse. Sólo el Harmonic Boost puede guardarse como MP3.

6. Resumen

- Harmonic Boost reproduce todas las prioridades seleccionadas a la vez, para una escucha de fondo, una armonización pasiva.
- Personal Guide es una meditación guiada con frecuencias personalizadas para sesiones focalizadas, relajación profunda.
- La combinación integra ambas para una experiencia completa.
- El impulso matutino, la meditación vespertina y la reevaluación cada 3-7 días permiten actualizar las prioridades en función de los progresos.

Siguiendo estas pautas, los usuarios pueden maximizar los beneficios de la BioCoherencia y crear un viaje de sanación personalizado.

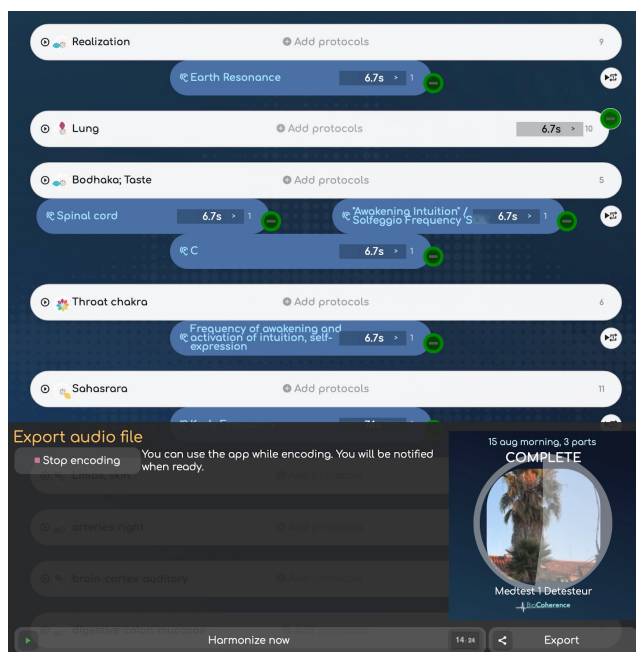
14.5. Impulso armónico

La función Harmonic Boost de BioCoherence está diseñada para mejorar la eficacia de las meditaciones y la armonización basada en frecuencias mediante la integración de **frecuencias** específicas adaptadas a las necesidades del usuario y a **protocolos** concretos. Esta función permite a los usuarios estimular y corregir varios biomarcadores utilizando una combinación de programas de frecuencia preestablecidos e individualizados.

Colores de los elementos y sus funciones

La interfaz de Harmonic Boost consta de elementos de diferentes colores, cada uno de los cuales cumple una función distinta:

- Elementos blancos: Representan **armonizaciones sistémicas**, vinculadas a un biomarcador específico. Son conjuntos de frecuencias precalculadas asociadas a órganos específicos, puntos de acupuntura, cargas (por ejemplo, estrés hepático) u otros biomarcadores. Estas frecuencias son fijas y no cambian en función de los resultados de los análisis individuales.
- Elementos azules: Representan protocolos correctivos. Se individualizan y computan localmente en el dispositivo del usuario. Estas frecuencias se seleccionan en función de las necesidades específicas del usuario y están diseñadas para contrarrestar las desarmonías detectadas en el análisis.
 - Elementos azul oscuro: Son frecuencias individuales bioactivas o conjuntos de frecuencias (espectros de frecuencia), que pueden reproducirse eléctrica o acústicamente.
 - Elementos azul claro: Son los latidos binaurales, que están diseñados para hacer que se escuchen acústicamente frecuencias muy bajas y entrenar al cerebro en estados alterados específicos de conciencia. Funcionan reproduciendo dos frecuencias ligeramente diferentes en cada oído, creando una frecuencia de latido en el cerebro que se alinea con el efecto terapéutico deseado.



Modo de acción y funcionalidad

Frecuencias precalculadas

- Todas las frecuencias de armonización de los biomarcadores (elementos blancos) se calculan previamente y se almacenan tanto localmente como en la nube. Esto garantiza una reproducción fluida sin necesidad de cálculo en tiempo real, incluso en dispositivos de gama baja.
- El mismo proceso de precomputación se aplicará a los elementos azules (que son altamente individualizados) en el momento necesario, directamente en el dispositivo del usuario, eliminando fallos y mejorando el rendimiento.

Computación en tiempo real para protocolos individualizados

- Cuando un usuario añade un protocolo (elementos azules), el sistema computa localmente las frecuencias necesarias antes de la reproducción.
- Esto garantiza que las frecuencias se adapten a las necesidades específicas del usuario manteniendo un rendimiento óptimo.

Reproducción simultánea de frecuencias

- El sistema Harmonic Boost reproduce cuatro frecuencias a la vez.
- Si sólo se seleccionan elementos blancos, se reproducen cuatro frecuencias del conjunto de armonización de biomarcadores.
- Si se seleccionan tanto los elementos blancos como los azules, el sistema equilibra dinámicamente las frecuencias de reproducción entre la armonización de biomarcadores y las frecuencias correctivas.

El hecho de que las frecuencias se reproduzcan juntas permite una acción dirigida de los protocolos, al establecer un puente directo con el sistema seleccionado a través del efecto de resonancia y añadir las frecuencias del protocolo para obtener el efecto de un láser dirigido que apunta específicamente al protocolo en el sistema.

Integración del ritmo binaural

- Cuando se incluye un latido binaural (elemento azul claro), se mezcla con una de las frecuencias del biomarcador.
- Por ejemplo, si una frecuencia de estrés geopático es de 100 Hz y un latido binaural es de 8 Hz, el sistema reproducirá 100 Hz en un oído y 108 Hz en el otro, creando un latido de 8 Hz en el cerebro.

Duración y sincronización

- La duración por defecto de cada ciclo de frecuencia es de 6,73 segundos, que es un múltiplo del tiempo de Planck a la proporción áurea (ϕ).
- Cada programa blanco o azul consta de varios ciclos, que suelen durar entre 10 y 150 segundos (con ciclos de reajuste de 6,73 segundos).
- Los usuarios pueden ajustar la duración de un programa para hacerlo más corto o más largo, según sus necesidades.
- El programa completo puede exportarse como un archivo de audio, y pueden exportarse directamente subconjuntos para tratar específicamente la energía, el cuerpo, la mente o los elementos que necesiten más atención, por ejemplo.

Personalización y exportación

Añadir protocolos

- Los usuarios pueden añadir protocolos manualmente para mejorar la eficacia de una sesión de Harmonic Boost.
- El sistema proporciona protocolos sugeridos basados en el biomarcador seleccionado, pero los usuarios también pueden buscar protocolos adicionales. Hay más de 2000 protocolos incluidos y la lista se amplía regularmente con nuevos estudios.

Exportación de archivos MP3

- Los usuarios pueden exportar las sesiones de Harmonic Boost como archivos MP3 para su uso sin conexión.
- Los archivos exportados incluyen metadatos como portadas de álbumes y palabras clave, lo que facilita su organización en bibliotecas musicales.

Aplicaciones prácticas

- Mejora de la guía personal: Los usuarios escucharán las frecuencias Harmonic Boost en las meditaciones guiadas personales para una relajación y curación más profundas.
- Curación dirigida: Seleccionando biomarcadores específicos y protocolos correctivos, los usuarios pueden crear sesiones de curación personalizadas.
- Aumento de la energía: Los usuarios pueden crear y guardar conjuntos de frecuencias potenciadoras de la energía para acceder rápidamente a ellas cuando las necesiten.

La función de refuerzo armónico de BioCoherence proporciona una potente herramienta para la armonización basada en frecuencias. Combinando frecuencias de biomarcadores precalculadas con protocolos correctivos individualizados, los usuarios pueden crear sesiones de curación altamente eficaces y personalizadas. La posibilidad de exportar y reproducir estas sesiones sin conexión mejora aún más la accesibilidad y la facilidad de uso.

15. IA en BioCoherence

BioCoherence utiliza las últimas tecnologías de Inteligencia Artificial (IA) para facilitar la comprensión, el uso y el análisis de una forma fluida y totalmente integrada.

- **Los asistentes de IA** son capaces de explicar, analizar, probar y actuar en función de las prioridades. Más de 30 asistentes especializados pueden recibir los valores de los biomarcadores y abrir un sencillo chat con el usuario o el Pro.
- Para los Pros, la **creación de los elementos de la lista** se acelera gracias a la asistencia en la redacción de los partes de meditación, la identificación automática de las acciones, la búsqueda de ingredientes de los productos....
- BioCoherence integra miles de algoritmos exclusivos vinculados al BioFeedback y a los biomarcadores, algunos de los cuales se han obtenido con la ayuda del aprendizaje profundo y la inteligencia artificial.

15.1. Ayudantes de IA

Uno de los avances más emocionantes de BioCoherence es la introducción de los Ayudantes de IA. Estos asistentes impulsados por la IA están diseñados para ayudar a los usuarios a navegar por la gran cantidad de información que contiene la aplicación, facilitando la comprensión y la utilización de los datos de sus exploraciones de biorretroalimentación.

Los ayudantes de IA en BioCoherence están diseñados para mejorar la experiencia del usuario proporcionando orientación personalizada, explicaciones y creación de programas basados en los datos del usuario. Estos módulos de IA reducen la curva de aprendizaje de los nuevos usuarios y ofrecen a los profesionales una forma de agilizar las interacciones con los clientes. Los ayudantes de IA pueden funcionar en dos modos distintos en función del contexto de su uso:

1. Sin grabación: Los usuarios pueden chatear con la IA para crear un programa básico basado en sus necesidades. Desde la página de inicio: Los usuarios pueden interactuar con la IA para obtener orientación general sin vincularse a biomarcadores específicos.
2. Con una grabación abierta: Los ayudantes de la IA analizan los biomarcadores del usuario y proporcionan ideas o recomendaciones basadas en los datos grabados.



Características principales

Los Ayudantes de IA funcionan como una clínica virtual, con asistentes especializados que actúan como enfermeros y personal de apoyo tanto para los usuarios generales como para los médicos profesionales. Estos asistentes de IA pueden

- Leer e interpretar biomarcadores de sus exploraciones y de las exploraciones de sus clientes.
- Mostrar biomarcadores específicos e interpretar sus valores.
- Reproducir refuerzos armónicos para ayudarle a equilibrar su energía.
- Modificar sus prioridades en función de sus datos de salud y del debate.
- Añada elementos a su lista de refuerzos armónicos para una curación personalizada.
- Solicite y analice nuevas pruebas en tiempo real.
- Proporcionar explicaciones y consejos para los distintos biomarcadores y resultados de las pruebas.
- Redirigir a los clientes a consultas profesionales cuando sea necesario.

Esto significa que los usuarios pueden interactuar con la IA para obtener una visión más profunda de su salud, hacer preguntas sobre sus resultados e incluso recibir recomendaciones para actuar, meditación, remedios herbales y mucho más:

- Asistencia a medida: Cada AI Helper se especializa en un ámbito concreto, como la naturopatía, la medicina tradicional china (MTC), los aceites esenciales o la meditación. Actualmente hay más de 25 Ayudantes AI. Reciben un subconjunto curado de biomarcadores relevantes para su especialidad, indicaciones específicas elaboradas, conocimientos y formación específicos, listas y elementos de listas específicos, información adicional específica y habilidades específicas.

- Creación de programas básicos: Los usuarios pueden crear programas personalizados comentando sus necesidades con la IA. Estos programas se guardan en la sección "Programas básicos" y pueden ponerse en marcha inmediatamente.
- Soporte de idiomas: Los ayudantes de la IA admiten varios idiomas, lo que permite a los usuarios interactuar en su lengua materna. El sistema está diseñado para gestionar consultas multilingües con eficacia.
- Acceso personalizable: Los profesionales pueden controlar qué Ayudantes IA están disponibles para sus clientes y a qué datos pueden acceder. Esto garantiza que la IA opere dentro de los límites establecidos por el profesional.

La IA está diseñada para reconocer sus limitaciones, lo que garantiza que se anima a los usuarios a buscar orientación profesional cuando sea necesario.

Ayudantes de la IA para profesionales

Para los profesionales, los Ayudantes de IA sirven como asistentes inteligentes que pueden:

- Ayudar a explicar biomarcadores complejos a los clientes.
- Sugerir pruebas adicionales basadas en los datos del cliente.
- Recomendar técnicas de meditación o remedios herbales.
- Aliviar el proceso de explicación proporcionando Ayudantes AI seleccionados al cliente con capacidades para explicar pero no modificar las decisiones del Pro.

Cuando un Pro trabaja en el historial de un cliente, el Ayudante AI recibe los datos del cliente y actúa como ayudante del Pro.

Acceso a los Ayudantes AI

Se puede acceder a los Ayudantes AI desde:

- La Página de Inicio: Para orientación general o creación de Programas Básicos.
- Una Grabación Abierta: Para analizar y explicar biomarcadores específicos, para proporcionar una visión detallada del análisis.

Casos de uso del AI Helper

Creación de un Programa Básico:

- Navegue hasta la sección de Ayudantes de IA desde la página de inicio.
- Seleccione un Ayudante de IA (por ejemplo, Entrenador del sueño, Guía de meditación).
- Entable una conversación para describir sus necesidades (por ejemplo, "Me siento estresado y necesito ayuda para relajarme").
- La IA generará un programa básico a medida y lo guardará en su sección "Programas básicos".

Explicación de los biomarcadores:

- Abra una grabación y navegue hasta la sección de Ayudantes de la IA, en "Conclusiones".
- Seleccione un Ayudante de IA relevante para los biomarcadores que desee explorar (por ejemplo, Practicante de MTC para los meridianos).
- La IA le proporcionará explicaciones detalladas y recomendaciones basadas en sus biomarcadores computados en la grabación.

Ejemplo: Mezclas personalizadas de té o aceites esenciales. Utilice el Ayudante de la IA Herbolario o Experto en aceites esenciales. La IA analizará los biomarcadores relevantes y le sugerirá una mezcla personalizada de té o una receta de aceite esencial.

Limitaciones del Ayudante de la IA

- Los Ayudantes de la IA no pueden modificar las grabaciones ni los resultados de los análisis. Están diseñados para explicar y orientar basándose en los datos existentes.
- El conjunto inicial de biomarcadores proporcionado a cada Ayudante de IA se limita a su dominio de experiencia. Sin embargo, la IA puede solicitar biomarcadores adicionales durante la conversación si es necesario.

Características avanzadas

Integración de resúmenes e informes:

- Al final de una conversación, el Ayudante de IA genera un resumen de la misma.
- Los profesionales pueden optar por incluir este resumen en el informe PDF del cliente para futuras consultas.

Comentarios y valoraciones:

- Después de cada interacción, los usuarios pueden valorar la utilidad y el éxito del AI Helper a la hora de resolver su consulta. Estos comentarios ayudan a mejorar el rendimiento de la IA.

Acceso a la IA personalizable para los clientes:

- Los profesionales pueden activar o desactivar ayudantes de IA específicos para sus clientes.
- También pueden controlar si los clientes tienen acceso a funciones como la guía personal, los potenciadores armónicos o el informe completo.

Notas técnicas

- Manejo de datos del Ayudante de IA: Cada AI Helper recibe entre el 5% y el 10% de los biomarcadores del usuario, dependiendo de su dominio. Esto garantiza una orientación centrada y pertinente.
- Los Ayudantes de IA son herramientas basadas en grandes modelos lingüísticos y sus respuestas no son examinadas por profesionales médicos. La exactitud de las respuestas debe verificarse siempre.
- en la actualidad hay 26 Ayudantes IA disponibles, pero ahora que el sistema está en marcha, es bastante fácil añadir nuevos ayudantes; póngase en contacto con nosotros si ve algún campo que le gustaría añadir a los Ayudantes IA.

Conclusión

Los Ayudantes de IA en BioCoherence son una potente herramienta tanto para profesionales como para usuarios individuales. Al aprovechar las capacidades avanzadas de la IA, simplifican los análisis complejos, proporcionan información procesable y crean programas personalizados adaptados a las necesidades del usuario. A medida que el sistema evolucione, las nuevas funciones y mejoras seguirán mejorando la experiencia del usuario.

Anexo 1.

Preguntas frecuentes

Cómo obtener ayuda en la aplicación

Para pedir ayuda o enviar una sugerencia desde cualquier página de la aplicación, sólo tiene que abrir el menú superior derecho y hacer clic en "Comentarios e ideas". Puede hacer clic en "anotar una captura de pantalla" para añadir una captura de pantalla de la página en la que se encuentra en ese momento, y añadir esta captura de pantalla anotada a su solicitud. ¡Así nos resultará mucho más fácil ayudarle!

¿Cómo acceden los miembros de mi familia o mis clientes a las meditaciones a medida?

Para acceder a las meditaciones a medida, tienen que instalar la aplicación desde biocoherence.net/install o desde App Store o Play store. Puede invitarles creando una cuenta para ellos; por favor, introduzca su correo electrónico en la cuenta para que reciban una invitación con la cuenta correcta. A continuación, puede compartir su análisis con ellos añadiéndolos como contacto en el análisis. Cuando se conecten a la aplicación con el correo electrónico que usted especificó en la cuenta que creó, encontrarán este análisis en la página de inicio de su aplicación, o en "Análisis grabados".

Una vez que tengan el análisis, podrán escuchar la meditación de equilibrio a través de la sección "Equilibrio" de la app BioCoherence, donde el audio combina la guía hablada con las frecuencias para obtener resultados óptimos.

Programa de afiliados de BioCoherence

¡Bienvenido al programa de afiliados de BioCoherence! Estamos encantados de que se una a nosotros para compartir los beneficios de nuestra tecnología de vanguardia con su público. Nuestro programa le permite ganar comisiones mientras ayuda a otros a descubrir un enfoque transformador de la salud y el bienestar.

Cómo empezar

1. Inicie sesión en su cuenta: Visite <https://biocoherence.net/s0.login/>
2. Acceda a su página de afiliado: Navegue hasta <https://biocoherence.net/n119/> Este es su centro personal de afiliados.

Aquí encontrará todas las herramientas y la información que necesita, incluyendo cómo

- Crear y gestionar sus códigos de invitación.
- Realizar el seguimiento de sus comisiones.
- Hacer crecer su red de afiliados.

Acerca del programa de afiliados

Nuestro programa ofrece **comisiones basadas en la suscripción** por ventas directas y una variedad de tipos de compra. También puede ganar incentivos adicionales cuando recomiende nuevos afiliados al programa

Comisiones por suscripción para ventas directas

Cuando comparte sus códigos de invitación, gana comisiones por las suscripciones y otras compras realizadas por los usuarios que se registren con su código. El programa está diseñado para recompensarle tanto a usted como a sus clientes, ofreciendo ventajas e incentivos a los nuevos usuarios que se registren con su código

Compras adicionales

Gane comisiones en compras como informes, pruebas y hardware a través de la plataforma BioCoherence. Estas recompensas le permiten beneficiarse de cada transacción realizada por sus usuarios referidos

Nota: Para los artículos cubiertos por la **exclusividad territorial**, las comisiones y las facturas de los clientes se procesarán a través del distribuidor exclusivo local. Las tarifas pueden variar en función de las políticas del distribuidor. Consulte biocoherence.net/distributors/ para más detalles

Gestione sus códigos de invitación

Desde su página de gestión de afiliados, puede crear múltiples códigos para distribuirlos a través de diferentes canales como redes sociales, vídeos y blogs. Esto le permite realizar un seguimiento del rendimiento de cada código y optimizar sus esfuerzos

¿Para qué NO está diseñado BioCoherence?

BioCoherence no pretende diagnosticar afecciones médicas específicas ni sustituir el asesoramiento médico tradicional. Aunque algunos biomarcadores proceden de la investigación médica académica oficial, su objetivo principal es proporcionar herramientas para comprender rápidamente e identificar las causas profundas. Apoya la autoayuda de los usuarios domésticos y los conecta con terapeutas avanzados cuando es necesario.

¿Cuál es la mejor manera de asegurarse de que el proceso de exploración se completa, teniendo en cuenta que el análisis debe durar al menos 130 segundos?

Efectivamente, el análisis debe durar al menos unos 130 segundos para obtener resultados precisos (necesita al menos 128 latidos válidos). Hay barras de progreso en la parte inferior de la exploración que le muestran la duración necesaria para cada tipo de análisis. Por favor, asegúrese de que el escáner se ejecuta durante toda la duración, incluso si parece completo cuando las barras se llenan de verde. Asegurarse de que se completa toda la duración de la exploración es crucial para la precisión de los resultados.

¿Qué resultados se han medido o comunicado?

Aunque todavía está en fase beta, BioCoherence ha recibido comentarios muy positivos de las pruebas iniciales que validan su eficacia. Estamos recopilando diversos comentarios para seguir validando y ampliando su uso. Los testimonios de los clientes y los estudios de casos específicos estarán disponibles a medida que se recopilen más datos.

BioCoherence incluye una forma de recopilar datos anónimos (con inclusión voluntaria) para validar científicamente todos los biomarcadores y modos de equilibrio. Estos datos servirán de base para publicar artículos científicos con acceso a los datos brutos y anonimizados previa solicitud de instituciones acreditadas.

¿Cuál sería un uso básico y un uso avanzado?

Uso básico: Me Play (exploración o prueba automática, y meditaciones personalizadas automáticas mejoradas con biofeedback). Uso avanzado: Pro (40 páginas gráficas, enlaces, recursos e identificación y modificación de prioridades, y el directorio Pro para las conexiones usuario-terapeuta). Las funciones futuras también incluirán exploraciones comparativas y meditaciones simultáneas para varios usuarios.

Instalación de la aplicación y primera puesta en marcha

- Se puede utilizar en Windows, Mac o Linux: Descargue el archivo de instalación en biocoherence.net/install¹
- En iPad, iPhone o Android: Siga las instrucciones en biocoherence.net/install²; la instalación debería realizarse con un solo clic desde la App Store.

Después de la instalación

Una vez finalizada la instalación, es posible que siga habiendo problemas.

1. **¿No encuentra la aplicación?** Se llama "BioCoherence"; en Mac, está en "Aplicaciones". En Windows y Linux, en el menú de inicio. En iPad, iPhone y Android, se añade a su pantalla de inicio, y también puede encontrarla con una búsqueda.
2. **¿La aplicación no se inicia?** O bien su ordenador o tableta son demasiado lentos, o existen incompatibilidades.
3. **¿No puede iniciar sesión?** Si tiene una cuenta, haga clic en "contraseña perdida" en la pantalla de inicio de sesión. Recibirá un enlace para restablecer su contraseña. Si no la tiene, puede crear una dentro de la aplicación.

¿Puede BioCoherence utilizar los protocolos de frecuencia de Spooky?

Sí, BioCoherence ha integrado muchos de los protocolos de frecuencia de diversas fuentes, incluidas las tablas basadas en Rife utilizadas por Spooky. En el futuro, BioCoherence pretende permitir que los dispositivos Spooky actúen como emisores, haciendo posible exportar audio desde BioCoherence e introducirlo directamente en Spooky. Planeamos estar abiertos a tantos dispositivos como sea posible e interactuar con ellos directamente cuando estén abiertos a ello. En cualquier caso, la exportación de audio de los programas de frecuencia permitirá reproducir las frecuencias en una gran variedad de dispositivos.

¿Puede quizás "sustituir" a una tecnología que pueda utilizar actualmente?

BioCoherence podría sustituir o complementar otras herramientas de biorretroalimentación y análisis de la salud en función de sus necesidades específicas. Podría sustituir a la mayoría de los dispositivos, especialmente a los basados en generadores de números aleatorios, pero es posible que no sustituya por completo a los dispositivos que tienen diferentes modos de acción probados

¿Cómo puedo obtener información sobre los temas centrales de un cliente cuando los resultados varían según las exploraciones?

Para obtener información sobre los temas centrales de un cliente, puede ser útil comparar varias exploraciones. Busque patrones coherentes o problemas recurrentes en las exploraciones para identificar los temas centrales. Mederic mencionó que es importante buscar tendencias en las exploraciones para obtener una comprensión más completa de los temas centrales del cliente.

Por lo general, los resultados serán muy coherentes en todas las exploraciones, con variaciones en los vínculos y la energía relativa o la agitación de los sistemas. Estas variaciones son saludables e indican un progreso.

De hecho, puede comparar varias exploraciones de lado a lado en la aplicación para ver cómo evolucionan biomarcadores específicos, por ejemplo, antes y después de aplicar una terapia concreta.

¿Cómo pueden acceder mis clientes a sus informes fuera de la consulta del médico? ¿Cómo pueden revisar sus informes y acceder a las meditaciones?

Los clientes pueden acceder a sus informes y meditaciones a través de la aplicación. He aquí cómo los profesionales pueden habilitar el acceso de los clientes:

- Añada al cliente como nuevo contacto en la app:
 - Pulse las dos flechas junto a su foto de perfil para acceder a "Contactos".
 - Cree un nuevo contacto, asegurándose de incluir la dirección de correo electrónico del cliente.
- Realice una exploración en el perfil del cliente.
- Comparta el informe:
 - Abra el informe completado y seleccione la opción "Compartir con...".
 - Envíe un correo electrónico de invitación al cliente, incluyendo un enlace para descargar la aplicación junto con los datos de acceso.

Una vez que el cliente inicie sesión, podrá revisar su informe y acceder a las meditaciones directamente en la app. También pueden realizar pruebas remotas para usted (pruebas locales para ellos, con un sensor) y usted recibirá los resultados de vuelta en su software.

¿Cómo pueden los miembros de mi familia o mis clientes utilizar las frecuencias personalizadas generadas para ellos?

Para compartir las frecuencias personalizadas con sus familiares o clientes, siga estos pasos:

- Cuando vea su informe de frecuencias en la aplicación BioCoherence, exporte el archivo de audio de la sesión de frecuencias.
- A continuación, puede compartir el archivo de audio con ellos a través de mensajería, correo electrónico u otros métodos de comunicación.

También puede invitar a sus clientes o familiares a instalar la app y compartir el análisis con ellos. Para ello, puede crear una cuenta de cliente con su correo electrónico.

¿En qué es único BioCoherence?

BioCoherence combina algoritmos matemáticos avanzados con la tecnología ECG para proporcionar una visión detallada de la salud. Destaca por ofrecer un análisis multinivel de las señales eléctricas del cuerpo e incluye un enfoque energía/cuerpo/mente, múltiples visualizaciones gráficas y vínculos entre biomarcadores. También incluye meditaciones y frecuencias adaptadas a la biorretroalimentación.

Cómo actualizar la aplicación

Utilice siempre la última actualización, ya que es posible que su problema ya se haya resuelto - ¡o su idea, ya se haya puesto en práctica!

Dependiendo de la plataforma que utilice, la actualización se realiza de forma diferente:

Versión Beta

- Si está utilizando la versión Beta con TestFlight: debería recibir una notificación con cada actualización. Inicie TestFlight y haga clic en "Update".
- Si ha instalado la versión beta para Mac, Windows o Linux fuera de TestFlight: vaya a biocoherence.net/beta³, descargue el instalador de la última versión y ejecútelo. Todos sus datos se conservarán.

1. <https://biocoherence.net/s0.login>

2. <https://biocoherence.net/in119>

3. <https://biocoherence.net/distributors>

Versión pública

- Si ha instalado la versión pública para Mac, Windows o Linux fuera de TestFlight: vaya a biocoherence.net/install⁷, descargue el instalador de la última versión y ejecute el instalador. Todos sus datos se conservarán.
- Si utiliza la versión pública desde la App Store o Play Store: abra la App Store o Play Store y actualice la aplicación desde su página.

Resolución de problemas de conexión Bluetooth con BioCoherence

Si tiene problemas con la conexión Bluetooth en BioCoherence, siga estos pasos de solución de problemas para garantizar una configuración sin problemas:

Pautas generales

- **Inicie primero el proceso**
 - Empiece por iniciar una grabación o una prueba en la aplicación BioCoherence. Muchos problemas de conexión surgen al intentar conectar el sensor demasiado pronto.
 - La app está diseñada para gestionar el proceso de conexión automáticamente una vez que inicie una grabación o una prueba.
- **Evite los ajustes del sistema**
 - No intente conectar el sensor Bluetooth a través de los ajustes del sistema de su dispositivo. Deje que la app se encargue de este proceso para evitar interrupciones.
- **Asegúrese de que Bluetooth está activo**
 - **Windows:** Active Bluetooth a través del panel de Ajustes o del acceso directo a Bluetooth situado en la barra de tareas inferior derecha.
 - **Mac:** Active Bluetooth desde la barra de menú superior derecha. Asegúrese de que los permisos Bluetooth están concedidos a BioCoherence en los Ajustes del sistema.
 - **iOS/Android:** Active Bluetooth desde el menú de ajustes del dispositivo, normalmente situado cerca de las opciones Wi-Fi.
- **Humedezca los pulgares**
 - **Importante:** Asegúrese de que sus pulgares están convenientemente humedecidos con agua o gel conductor. Esto mejora la conexión y garantiza lecturas precisas del sensor.

Solución de problemas paso a paso

1. **Active el Bluetooth**
 - Si se queda atascado en este paso, compruebe que
 - Su dispositivo tiene un chip Bluetooth activo.
 - El Bluetooth está encendido y funcionando.
2. **Encienda el sensor**
 - El sensor se enciende automáticamente cuando se retira de su soporte. Coloque los pulgares humedecidos sobre el sensor. Normalmente se conecta en 1-2 segundos. Si no lo hace
 - Pulse *Relanzar Bluetooth* en la aplicación.
 - Retire los pulgares e intente colocarlos de nuevo sobre el sensor.
3. **Estado de la conexión**
 - La app proporciona indicaciones paso a paso en el panel Bluetooth
 - **Activar Bluetooth:** Asegúrese de que el Bluetooth está activado.
 - **Activar sensor:** La app está lista para que el sensor se conecte.
 - **Sensor conectado:** El sensor se ha vinculado correctamente y está listo.
 - **Datos preliminares intercambiados:** La app ha recibido los datos iniciales, como el estado de la batería y el número de serie.
 - **Datos activos:** Se están recibiendo los datos del ECG y comienza el registro o la prueba.
4. **Manejar Conexiones de Múltiples Dispositivos**
 - Si el sensor se ha emparejado previamente con varios dispositivos, desactive la función Bluetooth en los dispositivos no utilizados para evitar interferencias.

Notas adicionales

- **Autorización por primera vez**
 - Cuando inicie la aplicación por primera vez, conceda los permisos Bluetooth cuando se le soliciten. Si accidentalmente deniega estos permisos
 - Ajustelos en las preferencias de su sistema.
 - Alternativamente, desinstale y vuelva a instalar la app para restablecer los permisos.
- **Desconexión del sensor**
 - Si el sensor se desconecta durante su uso, compruebe
 - Los niveles de batería.
 - Que los pulgares están bien colocados en el sensor.

Si siguiendo estos pasos y asegurándose de que los pulgares están correctamente humedecidos, podrá resolver la mayoría de los problemas de conectividad Bluetooth y disfrutar de una experiencia sin problemas con BioCoherence. Si los problemas persisten, considere la posibilidad de ponerse en contacto con el servicio de asistencia para obtener ayuda adicional.

¿Cuáles son los precios de BioCoherence?

BioCoherence ofrece un máximo de flexibilidad en los precios. Puede empezar de forma gratuita y después elegir el plan que más le convenga. Todos nuestros planes se explican con todo detalle en biocoherence.net/price⁸

Plan gratuito

El plan gratuito le permite realizar grabaciones ilimitadas y conectarse con un Pro, además de recibir una meditación personalizada. Para la exploración, puede abrir algunas páginas de información general pero la mayoría de las páginas están borrosas; puede comprar un informe para desbloquearlo. Puede realizar grabaciones con un Apple Watch o con nuestro Sensor. También puede acceder al catálogo de pruebas y elegir pagar por la prueba que dese.

Para utilizar el plan gratuito, sólo tiene que [instalar la aplicación](#)⁹ y crear una cuenta gratuita.

Si quiere ir más allá, aquí tiene nuestros planes de pago:

Planes de pago, para uso personal

Consulte los precios en nuestro sitio web. Los precios van desde una licencia mensual (sin compromiso) hasta una licencia completa de por vida, con todas las actualizaciones incluidas de por vida. También disponemos de planes anuales con descuentos.

- Me Play permite reproducciones ilimitadas de frecuencias y meditaciones.
- Me Essential permite exploraciones y balances ilimitados (meditaciones y frecuencias) para un máximo de 2 cuentas, y le da acceso a las pantallas esenciales del informe y a las pruebas gratuitas. Puede comprar informes completos y pruebas de pago cuando le convenga.
- Me Custom le permite 3 pantallas siempre desbloqueadas a su elección.
- Me Plus le ofrece pantallas de análisis completo ilimitadas para un máximo de 6 personas, recursos y prioridades editables y balance personalizado.

Planes de pago para uso profesional

- Pro Essential permite exploraciones ilimitadas (local o remotamente) y balances para un número ilimitado de clientes, y le da acceso a las pantallas esenciales del informe y a la creación de pruebas básicas. Puede adquirir informes completos y pruebas de pago cuando le convenga.
- Pro Custom le permite 3 pantallas siempre desbloqueadas a su elección.
- Pro Plus le ofrece exploraciones completas ilimitadas (de forma local o remota) y todas las pantallas para un número ilimitado de clientes, recursos y prioridades editables, equilibrado personalizado y creación de pruebas completas, incluida la monetización.
- Med se centra únicamente en biomarcadores validados médicamente en un ECG.

Para obtener muchos más detalles sobre los planes, visite biocoherence.net/price¹⁰

¿Qué es lo que mejor hace BioCoherence?

El software BioCoherence destaca por ofrecer un análisis exhaustivo de la actividad eléctrica y magnética del cuerpo, lo que permite conocer diversos biomarcadores y el estado de salud general. Resaltando los recursos, las prioridades y los vínculos entre órganos, presenta datos complejos de diversos campos de forma sencilla y gráfica para el uso cotidiano de los terapeutas. Hace un uso exclusivo de operaciones matemáticas avanzadas para el análisis multinivel, extrayendo datos significativos directamente del sensor eléctrico del cuerpo (electrocardiograma). A partir de estos recursos y prioridades identificados, puede proponer meditaciones guiadas personalizadas y protocolos de reequilibrio.

4. <https://biocoherence.net/install>

5. <https://biocoherence.net/install>

6. <https://biocoherence.net/beta>

7. <https://biocoherence.net/install>

¿Qué calidad tienen los archivos generados?

Se centra en el desarrollo de la generación de sonido de alta calidad dentro de la app, incluyendo un sintetizador y un secuenciador en tiempo real con todas las funciones. Estas herramientas ya están disponibles en la app para ruidos, frecuencias y meditaciones guiadas grabadas. Los parámetros generados están en constante desarrollo. La música admite sintonizaciones para meditaciones y sesiones de grupo simultáneas.

¿Por qué mi sensor sigue parpadeando en azul o en verde después de haber completado la exploración?

Tiene que volver a colocar el sensor en su estuche, que lo apagará automáticamente. Hemos diseñado el sensor para que sea muy sencillo en términos de uso, por lo que ni siquiera tiene que preocuparse de encenderlo y apagarlo—lo hace automáticamente. Es posible que vea que sigue parpadeando en verde o azul durante un par de segundos, o tal vez hasta 1 minuto después de completar la exploración, pero entonces se apagará y esperará a que comience la siguiente exploración.

¿Por qué falla a veces la conexión Bluetooth durante una exploración?

Si experimenta problemas con la conectividad Bluetooth durante una exploración, podría deberse a que el escáner BioCoherence se ha emparejado con varios dispositivos. Cuando esto sucede, el escáner podría intentar conectarse a un dispositivo que no está en uso en ese momento. Para resolver este problema, asegúrese de que la función Bluetooth está totalmente desactivada en cualquier otro dispositivo que se haya conectado previamente al escáner BioCoherence. Al hacer esto, el escáner se conectará sin problemas al dispositivo correcto, permitiendo que su escaneo proceda sin interrupciones.

Para evitar cualquier problema, es muy importante iniciar primero el proceso de conexión bluetooth en la aplicación iniciando un nuevo registro o una prueba, y LUEGO agarrar el sensor. Al poner los pulgares sobre el sensor, éste se encenderá y se conectará automáticamente a la app, que en ese momento ya se encuentra en modo de investigación.

¿Qué tipo de cuenta puedo utilizar para detectar parásitos?

Está reservado exclusivamente a usuarios profesionales. La información debe ser interpretada por un profesional, y nuestro objetivo es garantizar que se utilice de forma precisa y responsable. Se mantiene dentro de los límites de una evaluación energética y no de una observación directa de la presencia de un parásito.

8. <https://biocoherence.net/price>

9. <https://biocoherence.net/install>

10. <https://biocoherence.net/price>

Apéndice 2.

Lista de estudios relacionados

Puede acceder a todos los enlaces en biocoherence.net/studieslist

Acupuntura, meridianos

H. M. Langevin and J. A. Yandow. *Anat. Rec. (New Anat.)* 269, 257 (2002). [DOI¹](#), [Crossref²](#)

Banes AJ, Tsuzaki M, Yamamoto J, et al. 1995. Mechanoreception at the cellular level: The detection, interpretation and diversity of responses to mechanical signals. *Biochem Cell Biol* 73:349–365. [Crossref³](#) [PubMed⁴](#) [Web of Science⁵](#)

Bonassar LJ, Stinn JL, Paguio CG, et al. 1996. Activation and inhibition of endogenous matrix metalloproteinases in articular cartilage: Effects on composition and biophysical properties. *Arch Biochem Biophys* 333: 359–367. [Crossref⁶](#) [PubMed⁷](#) [Web of Science⁸](#)

Brand RA. 1997. What do tissues and cells know of mechanics? *Ann Med* 29: 267–269. [Crossref⁹](#) [PubMed¹⁰](#) [Web of Science¹¹](#)

Bossy J. 1984. Morphological data concerning the acupuncture points and channel network. *Acupunct Electrother Res* 9: 79–106. [PubMed¹²](#) [Web of Science¹³](#)

Cheng X. 1987. Chinese acupuncture and moxibustion. Beijing: Foreign Language Press.

Chicurel ME, Chen CS, Ingber DE. 1998. Cellular control lies in the balance of forces. *Curr Opin Cell Biol* 10: 232–239. [Crossref¹⁴](#) [PubMed¹⁵](#) [Web of Science¹⁶](#)

Chiquet M. 1999. Regulation of extracellular matrix gene expression by mechanical stress. *Matrix Biol* 18: 417–426. [PubMed¹⁷](#) [Web of Science¹⁸](#)

Cieczek LSW, Szopinski J, Skrzypulec V. 1985. Investigations of morphological structures of acupuncture points and meridians. *J Trad Chin Med* 5: 289–292.

Comunetti A, Laage S, Schiessl N, Kistler A. 1995. Characterization of human skin conductance at acupuncture points. *Experientia* 51: 328–331. [Crossref¹⁹](#) [PubMed²⁰](#) [Web of Science²¹](#)

Dung HC. 1984. Anatomical features contributing to the formation of acupuncture points. *Am J Acupunct* 12: 139–143. [Web of Science²²](#)

Giancotti FG, Ruoslahti E. 1999. Integrin signaling. *Science* 285: 1028–1032. [Crossref²³](#) [PubMed²⁴](#) [Web of Science²⁵](#)

1. <https://doi.org/10.1002/ar.10185>

2. https://aip.scitation.org/ser/vol/linkout?suffix=c26_c26_1&dbid=16&doi=10.1063/1.4991499&key=10.1002/ar.10185

3. <https://onlinelibrary.wiley.com/ser/vol/linkout?suffix=null&dbid=16&doi=10.1002/ar.10185&key=10.1139/o95-043>

4. <https://onlinelibrary.wiley.com/ser/vol/linkout?suffix=null&dbid=8&doi=10.1002/ar.10185&key=8703408>

5. <https://onlinelibrary.wiley.com/ser/vol/linkout?suffix=null&dbid=128&doi=10.1002/ar.10185&key=A1995TF60300006>

6. <https://onlinelibrary.wiley.com/ser/vol/linkout?suffix=null&dbid=16&doi=10.1002/ar.10185&key=10.1006/abbi.1996.0402>

7. <https://onlinelibrary.wiley.com/ser/vol/linkout?suffix=null&dbid=8&doi=10.1002/ar.10185&key=8809074>

8. <https://onlinelibrary.wiley.com/ser/vol/linkout?suffix=null&dbid=128&doi=10.1002/ar.10185&key=A1996J377600006>

9. <https://onlinelibrary.wiley.com/ser/vol/linkout?suffix=null&dbid=16&doi=10.1002/ar.10185&key=10.3109/0785389970899346>

10. <https://onlinelibrary.wiley.com/ser/vol/linkout?suffix=null&dbid=8&doi=10.1002/ar.10185&key=9375981>

11. <https://onlinelibrary.wiley.com/ser/vol/linkout?suffix=null&dbid=128&doi=10.1002/ar.10185&key=A1997X210400003>

12. <https://onlinelibrary.wiley.com/ser/vol/linkout?suffix=null&dbid=8&doi=10.1002/ar.10185&key=6148847>

13. <https://onlinelibrary.wiley.com/ser/vol/linkout?suffix=null&dbid=128&doi=10.1002/ar.10185&key=A1984TF83000011>

14. [https://onlinelibrary.wiley.com/ser/vol/linkout?suffix=null&dbid=16&doi=10.1002/ar.10185&key=10.1016/S0955-0674\(98\)80145-2](https://onlinelibrary.wiley.com/ser/vol/linkout?suffix=null&dbid=16&doi=10.1002/ar.10185&key=10.1016/S0955-0674(98)80145-2)

15. <https://onlinelibrary.wiley.com/ser/vol/linkout?suffix=null&dbid=8&doi=10.1002/ar.10185&key=9561847>

16. <https://onlinelibrary.wiley.com/ser/vol/linkout?suffix=null&dbid=128&doi=10.1002/ar.10185&key=00073043200010>

17. <https://onlinelibrary.wiley.com/ser/vol/linkout?suffix=null&dbid=8&doi=10.1002/ar.10185&key=10601729>

18. <https://onlinelibrary.wiley.com/ser/vol/linkout?suffix=null&dbid=128&doi=10.1002/ar.10185&key=000084085600001>

19. <https://onlinelibrary.wiley.com/ser/vol/linkout?suffix=null&dbid=16&doi=10.1002/ar.10185&key=10.1007/BF01928888>

20. <https://onlinelibrary.wiley.com/ser/vol/linkout?suffix=null&dbid=8&doi=10.1002/ar.10185&key=7729497>

21. <https://onlinelibrary.wiley.com/ser/vol/linkout?suffix=null&dbid=128&doi=10.1002/ar.10185&key=A1995QU26800004>

22. <https://onlinelibrary.wiley.com/ser/vol/linkout?suffix=null&dbid=128&doi=10.1002/ar.10185&key=A1984SS05900005>

23. <https://onlinelibrary.wiley.com/ser/vol/linkout?suffix=null&dbid=16&doi=10.1002/ar.10185&key=10.1126/science.285.3430.1028>

24. <https://onlinelibrary.wiley.com/ser/vol/linkout?suffix=null&dbid=8&doi=10.1002/ar.10185&key=10446041>

25. <https://onlinelibrary.wiley.com/ser/vol/linkout?suffix=null&dbid=128&doi=10.1002/ar.10185&key=10.1109/>

Gunn CC, Ditchburn FG, King MH, Renwick GJ. 1976. Acupuncture loci: A proposal for their classification according to their relationship to known neural structures. *Am J Chin Med* 4: 183–195. [Crossref²⁶](#) [PubMed²⁷](#)

Ho MW, Knight DP. 1998. The acupuncture system and the liquid crystalline collagen fibers of the connective tissues. *Am J Chin Med* 26: 251–263. [Crossref²⁸](#) [PubMed²⁹](#) [Web of Science³⁰](#)

Huan ZY, Rose K. 2001. A brief history of Qi. Brookline, MA: Paradigm Publications.

Kaptchuk TJ. 2000. The web that has no weaver. Understanding Chinese medicine. Chicago: Contemporary Publishing Group, Inc.

Lai WM, Mow VC, Sun DD, Atesian GA. 2000. On the electric potentials inside a charged soft hydrated biological tissue: Streaming potential versus diffusion potential. *J Biomech Eng* 122: 336–346. [Crossref³¹](#) [PubMed³²](#) [Web of Science³³](#)

Langevin HM, Churchill DL, Cipolla MJ. 2001a. Mechanical signaling through connective tissue: A mechanism for the therapeutic effect of acupuncture. *FASEB J* 15: 2275–2282. [Wiley Online Library³⁴](#) [PubMed³⁵](#) [Web of Science³⁶](#)

Langevin HM, Churchill DL, Fox JR, Badger GJ, Garra BS, Krag MH. 2001b. Biomechanical response to acupuncture needling in humans. *J Appl Physiol* 91: 2471–2478. [Crossref³⁷](#) [PubMed³⁸](#) [Web of Science³⁹](#)

Langevin HM, Churchill DL, Wu J, Badger GJ, Yandow JA, Fox JR, Krag MH. 2002. Evidence of connective tissue involvement in acupuncture. *FASEB J* 16: 872–874. [Wiley Online Library⁴⁰](#) [PubMed⁴¹](#) [Web of Science⁴²](#)

Liu KY, Varela M, Oswald R. 1975. The correspondence between some motor points and acupuncture loci. *Am J Chin Med* 3: 347–358. [Crossref⁴³](#) [PubMed⁴⁴](#)

Matsumoto K, Birch S. 1988. Hara diagnosis: Reflections of the sea. Brookline: Paradigm Publications.

McCarroll GD, Rowley BA. 1979. An investigation of the existence of electrically located acupuncture points. *IEEE Trans Biomed Eng* 26: 177–182. [Crossref⁴⁵](#) [PubMed⁴⁶](#) [Web of Science⁴⁷](#)

Noordegraaf A, Silage D. 1973. Electroacupuncture. *IEEE Trans Biomed Eng* 20: 364–366. [Crossref⁴⁸](#) [PubMed⁴⁹](#) [Web of Science⁵⁰](#)

<https://onlinelibrary.wiley.com/ser/vol/linkout?suffix=null&dbid=16&doi=10.1002/ar.10185&key=000082033100034>

<https://onlinelibrary.wiley.com/ser/vol/linkout?suffix=null&dbid=16&doi=10.1002/ar.10185&key=10.1142/S0192415X76000238>

<https://onlinelibrary.wiley.com/ser/vol/linkout?suffix=null&dbid=8&doi=10.1002/ar.10185&key=937240>

<https://onlinelibrary.wiley.com/ser/vol/linkout?suffix=null&dbid=16&doi=10.1002/ar.10185&key=10.1142/S0192415X98000294>

<https://onlinelibrary.wiley.com/ser/vol/linkout?suffix=null&dbid=8&doi=10.1002/ar.10185&key=9862013>

<https://onlinelibrary.wiley.com/ser/vol/linkout?suffix=null&dbid=128&doi=10.1002/ar.10185&key=000073302300001>

<https://onlinelibrary.wiley.com/ser/vol/linkout?suffix=null&dbid=16&doi=10.1002/ar.10185&key=10.1115/1.1286316>

<https://onlinelibrary.wiley.com/ser/vol/linkout?suffix=null&dbid=8&doi=10.1002/ar.10185&key=11036556>

<https://onlinelibrary.wiley.com/ser/vol/linkout?suffix=null&dbid=128&doi=10.1002/ar.10185&key=00016711100006>

<https://onlinelibrary.wiley.com/doi/10.1096/fj.01-0015hyp>

<https://onlinelibrary.wiley.com/ser/vol/linkout?suffix=null&dbid=8&doi=10.1002/ar.10185&key=11641255>

<https://onlinelibrary.wiley.com/ser/vol/linkout?suffix=null&dbid=128&doi=10.1002/ar.10185&key=000171920400040>

<https://onlinelibrary.wiley.com/ser/vol/linkout?suffix=null&dbid=16&doi=10.1002/ar.10185&key=10.1152/jappl.2001.91.6.2471>

<https://onlinelibrary.wiley.com/ser/vol/linkout?suffix=null&dbid=8&doi=10.1002/ar.10185&key=11717207>

<https://onlinelibrary.wiley.com/ser/vol/linkout?suffix=null&dbid=128&doi=10.1002/ar.10185&key=000172484200008>

<https://onlinelibrary.wiley.com/doi/10.1096/fj.01-0925fje>

<https://onlinelibrary.wiley.com/ser/vol/linkout?suffix=null&dbid=8&doi=10.1002/ar.10185&key=11967233>

<https://onlinelibrary.wiley.com/ser/vol/linkout?suffix=null&dbid=128&doi=10.1002/ar.10185&key=000175425900017>

<https://onlinelibrary.wiley.com/ser/vol/linkout?suffix=null&dbid=16&doi=10.1002/ar.10185&key=10.1142/S0192415X75000426>

<https://onlinelibrary.wiley.com/ser/vol/linkout?suffix=null&dbid=8&doi=10.1002/ar.10185&key=1202933>

<https://onlinelibrary.wiley.com/ser/vol/linkout?suffix=null&dbid=128&doi=10.1002/ar.10185&key=1979.326392>

<https://onlinelibrary.wiley.com/ser/vol/linkout?suffix=null&dbid=8&doi=10.1002/ar.10185&key=521032>

<https://onlinelibrary.wiley.com/ser/vol/linkout?suffix=null&dbid=128&doi=10.1002/ar.10185&key=A1979GN7800013>

<https://onlinelibrary.wiley.com/ser/vol/linkout?suffix=null&dbid=16&doi=10.1002/ar.10185&key=10.1109/>

- NIH Consensus Statement. 1997. Acupuncture. Bethesda, MD: NIH. 15: 1– 34.
- O'Connor J, Bensky D. 1981. Acupuncture, a comprehensive text (Shanghai College of Traditional Medicine) Seattle: Eastland Press.
- Oschman JL. 1993. A biophysical basis for acupuncture. Proceedings of the First Symposium of the Committee for Acupuncture Research.
- Pomeranz B. 2001. Acupuncture analgesia-basic research. In: G Stux, R Hammerschlag, editors. Clinical acupuncture-scientific basis. Berlin: Springer-Verlag.
- Rabichong P, Niboyet JEH, Terral C, Senelar R, Casez R. 1975. Bases experimentales de l'analgésie acupunctureale. *Nouv Presse Med* 4: 2021– 2026. [PubMed⁵¹](#) [Web of Science⁵²](#)
- Reishmanis M, Marino AA, Becker RO. 1975. Electrical correlates of acupuncture points. *IEEE Trans Biomed Eng* 22: 533– 535. [Crossref⁵³](#) [PubMed⁵⁴](#) [Web of Science⁵⁵](#)
- Senelar R. 1979. Les caractéristiques morphologiques des points chinois. In: JEH Niboyet, editor. *Nouveau traité d'acupuncture*. Paris: Maisonneuve.
- Shanghai Medical University, Human Anatomy Department. 1973. A relationship between points of meridians and peripheral nerves: Acupuncture anaesthetic theory study. Shanghai: People's Republic Publishing House.
- Swartz MA, Tschumperlin DJ, Kamm RD, Drazen JM. 2001. Mechanical stress is communicated between different cell types to elicit matrix remodeling. *Proc Natl Acad Sci USA* 98: 6180– 6185. [Crossref⁵⁶](#) [PubMed⁵⁷](#) [Web of Science⁵⁸](#)
- Ulett GA, Han S, Han JS. 1998. Electroacupuncture: mechanisms and clinical applications. *Biol Psych* 44: 129– 138. [PubMed⁵⁹](#) [Web of Science⁶⁰](#)
- Veith I. 1949. The yellow emperor's classic of internal medicine. Berkeley: University of California Press.
- Yang J. 1601. The golden needle and other odes of traditional acupuncture, 1601. Translated by R Bertschinger. Edinburgh: Churchill Livingstone.
- Quyen Manh Nguyen, Tuan Hoang Nguyen, Lam Van Tran, Tin Thanh Dang, Anh Dinh, Device to Detect Acupuncture Points in the Feet Soles for Massage Treatment, 8th International Conference on the Development of Biomedical Engineering in Vietnam, 10.1007/978-3-030-75506-5_1, (3-13), (2022). [Crossref⁶¹](#)
- Yung-Sheng Yen, Han-Yi Cheng, Hung-Ta Lin, Evaluation of Stress on Acupuncture with Nano-Etched and Diamond-Like Carbon (DLC) Coating Surface Modifications, *Journal of Biomaterials and Tissue Engineering*, 10.1166/jbt.2022.2928, 12, 3, (489-493), (2022). [Crossref⁶²](#)
- Gregory P. Casey, Anatomical characterization of acupoint large intestine 4, *The Anatomical Record*, 10.1002/ar.24681, 305, 1, (144-155), (2021). [Wiley Online Library⁶³](#)
- Ajit B. Pai, Lori V. Shuart, David F. Drake, Integrative Medicine in Rehabilitation, *Braddom's Physical Medicine and Rehabilitation*, 10.1016/B978-0-323-62539-5.00018-7, (364-373.e3), (2021). [Crossref⁶⁴](#)
- Tongju Li, Bruce Qing Tang, Wei-Bo Zhang, Minyi Zhao, Qingchun Hu, Andrew Ahn, In Vivo Visualization of the Pericardium Meridian with Fluorescent Dyes, Evidence-Based Complementary and Alternative Medicine, 10.1155/2021/5581227, 2021, (1-10), (2021). [Crossref⁶⁵](#)
- Chao Sun, Changchun Ji, Ying Li, Juijie Kuang, Jiangtao Wu, A comparison study of photothermal effect between moxibustion therapy and laser irradiation on biological tissue, *International Journal of Thermal Sciences*, 10.1016/j.ijthermalsci.2021.106924, 164, (106924), (2021). [Crossref⁶⁶](#)
- Nikolay Dimitrov, Nikola Tomov, Dimitrinka Atanasova, Stilyan Iliev, Tatyana Tomova, Dimitar Sivrev, Zoya Goranova, Visible Meridian Phenomena after Acupuncture: A Series of Case Reports, *Journal of Acupuncture and Meridian Studies*, 10.51507/jams.2021.14.2.50, 14, 2, (50-57), (2021). [Crossref⁶⁷](#)
- Nasim Bahadorani, Jerry W. Lee, Leslie R. Martin, Implications of Tamarkoz on stress, emotion, spirituality and heart rate, *Scientific Reports*, 10.1038/s41598-021-93470-8, 11, 1, (2021). [Crossref⁶⁸](#)
- Maojun Li, Huawen Peng, Binxiu Wei, Qiuxia Deng, Fen Qian, Xin Liu, Jian Wang, *TBME*, 1973.324289
49. <https://onlinelibrary.wiley.com/serve/linkout?suffix=null&dbid=8&doi=10.1002/ar.10185&key=4727423>
50. <https://onlinelibrary.wiley.com/serve/linkout?suffix=null&dbid=128&doi=10.1002/ar.10185&key=A1973Q497200007>
51. <https://onlinelibrary.wiley.com/serve/linkout?suffix=null&dbid=8&doi=10.1002/ar.10185&key=1178444>
52. <https://onlinelibrary.wiley.com/serve/linkout?suffix=null&dbid=128&doi=10.1002/ar.10185&key=A1975AP43900003>
53. <https://onlinelibrary.wiley.com/serve/linkout?suffix=null&dbid=16&doi=10.1002/ar.10185&key=10.1109/TBME.1975.324477>
54. <https://onlinelibrary.wiley.com/serve/linkout?suffix=null&dbid=8&doi=10.1002/ar.10185&key=1184029>
55. <https://onlinelibrary.wiley.com/serve/linkout?suffix=null&dbid=128&doi=10.1002/ar.10185&key=A1975AU02000013>
56. <https://onlinelibrary.wiley.com/serve/linkout?suffix=null&dbid=16&doi=10.1002/ar.10185&key=10.1073/pnas.111133298>
57. <https://onlinelibrary.wiley.com/serve/linkout?suffix=null&dbid=8&doi=10.1002/ar.10185&key=11353845>
58. <https://onlinelibrary.wiley.com/serve/linkout?suffix=null&dbid=128&doi=10.1002/ar.10185&key=000168883700045>
59. <https://onlinelibrary.wiley.com/serve/linkout?suffix=null&dbid=8&doi=10.1002/ar.10185&key=9646895>
60. <https://onlinelibrary.wiley.com/serve/linkout?suffix=null&dbid=128&doi=10.1002/ar.10185&key=000074292400008>
61. https://doi.org/10.1007/978-3-030-75506-5_1
62. <https://doi.org/10.1166/jbt.2022.2928>
63. <https://onlinelibrary.wiley.com/doi/10.1002/ar.24681>
64. <https://doi.org/10.1016/B978-0-323-62539-5.00018-7>
65. <https://doi.org/10.1155/2021/5581227>
66. <https://doi.org/10.1016/j.ijthermalsci.2021.106924>
67. <https://doi.org/10.51507/jams.2021.14.2.50>
68. <https://doi.org/10.1038/s41598-021-93470-8>
- Xiaodong Zhu, Effect of acupuncture anesthesia based on nanomaterial sensor on cognitive function after one-lung ventilation thoracotomy, *Materials Express*, 10.1166/mex.2021.2027, 11, 7, (1051-1056), (2021). [Crossref⁶⁹](#)
- Jaliya Kumaratilake, Teghan Lucas, Maciej Henneberg, Possible relationship of upper limb arteries, median and brachial to the twelfth meridian of the human upper limb, *Journal of Anatomy*, 10.1111/joa.13401, 238, 6, (1492-1493), (2021). [Wiley Online Library⁷⁰](#)
- Yong Ming Li, Three hand yin meridians in ancient Chinese medicine were established initially based on arterial structures, *Journal of Anatomy*, 10.1111/joa.13400, 238, 6, (1494-1496), (2021). [Wiley Online Library⁷¹](#)
- Yi Zhang, Interpretation of acupoint location in traditional Chinese medicine teaching: Implications for acupuncture in research and clinical practice, *The Anatomical Record*, 10.1002/ar.24618, 304, 11, (2372-2380), (2021). [Wiley Online Library⁷²](#)
- Sanghun Lee, Prospects for the Development of Acupuncture Treatment Led by the Use of Ultrasound Imaging Devices, *Journal of Korean Medical Society of Soft Tissue*, 10.54461/JKMST.2021.5.1.8, 5, 1, (8-11), (2021). [Crossref⁷³](#)
- Xiao Ye, Yu-lan Ren, Yun-hui Chen, Ji Chen, Xiao-jiao Tang, Zong-ming Zhang, A “4D” systemic view on meridian essence: Substantial, functional, chronological and cultural attributes, *Journal of Integrative Medicine*, 10.1016/j.joim.2021.11.006, (2021). [Crossref⁷⁴](#)
- Berna Dincer, Demet İnangil, Gökhan İnangil, Nefise Bahçecik, Elif Yıldırım Ayaz, Ali Arslanoğlu, Miraç Vural Keskinler, Ayşe Kabuk, Gamze Özkan, The effect of cupressure on sleep quality of older people: A systematic review and meta-analysis of randomized controlled trials, *EXPLORE*, 10.1016/j.explore.2021.11.010, (2021). [Crossref⁷⁵](#)
- Marianna de Melo Salemi, Vanessa Maria da Silva Alves Gomes, Laylla Marjorye Reboças Bezerra, Thania Maion de Souza Melo, Geisa Guimarães de Alencar, Iracema Hermes Pires de Melo Montenegro, Alessandra Paula de Melo Calado, Eduardo José Nepomuceno Montenegro, Gisela Rocha de Siqueira, Effect of Dry Cupping Therapy on Pain and Functional Disability in Persistent Non-Specific Low Back Pain: A Randomized Controlled Clinical Trial, *Journal of Acupuncture and Meridian Studies*, 10.51507/jams.2021.14.6.219, 14, 6, (219-230), (2021). [Crossref⁷⁶](#)
- Luis Carlos Matos, Jorge Pereira Machado, Fernando Jorge Monteiro, Henry Johannes Greten, Understanding Traditional Chinese Medicine Therapeutics: An Overview of the Basics and Clinical Applications, *Healthcare*, 10.3390/healthcare9030257, 9, 3, (257), (2021). [Crossref⁷⁷](#)
- Jingwen Cui, Wanrong Song, Yipeng Jin, Huihao Xu, Kai Fan, Degui Lin, Zhihui Hao, Jiahao Lin, Research Progress on the Mechanism of the Acupuncture Regulating Neuro-Endocrine-Immune Network System, *Veterinary Sciences*, 10.3390/vetsci8080149, 8, 8, (149), (2021). [Crossref⁷⁸](#)
- İñigo Ongay de Felipe, The Universality of Science and Traditional Chinese Medicine, *Science & Education*, 10.1007/s11191-021-00249-4, (2021). [Crossref⁷⁹](#)
- Ningcen Li, Yi Guo, Yinan Gong, Yue Zhang, Wen Fan, Kaifang Yao, Zhihan Chen, Baomin Dou, Xiaowei Lin, Bo Chen, Zelin Chen, Zhifang Xu, Zhongxi Lyu, The Anti-Inflammatory Actions and Mechanisms of Acupuncture from Acupoint to Target Organs via Neuro-Immune Regulation, *Journal of Inflammation Research*, 10.2147/JIR.S341581, Volume 14, (7191-7224), (2021). [Crossref⁸⁰](#)
- 馮云 馮, Bridging Medicine East and West—Pursuit on the Relation between Biomedical Consequence of Stimulating the Acupoints of the Lung Meridian and Somatosensory Reflexes, Aiming to Treat Chronic Obstruction Pulmonary Diseases, *Traditional Chinese Medicine*, 10.12677/TCM.2020.92022, 09, 02, (145-176), (2020). [Crossref⁸¹](#)
- Manon te Dorsthorst, Michael van Balken, John Heesakkers, Tibial nerve stimulation in the treatment of overactive bladder syndrome, *Current Opinion in Urology*, 10.1097/MOU.0000000000000781, 30, 4, (513-518), (2020). [Crossref⁸²](#)
- Peter I-Kung Wu, Lucy Chen, Integrative Medicine, *Spine Pain Care*, 10.1007/978-3-030-27447-4, (473-489), (2020). [Crossref⁸³](#)
- I. Giralt Sampedro, G. Carvajal, A. Garcia-Janeras, A. Fabà, M.B. Nishishinya Aquino, A severe case of Ramsay Hunt Syndrome treated with acupuncture and related techniques, *Complementary Therapies in Clinical Practice*, 10.1016/j.ctcp.2020.101119, (101119), (2020). [Crossref⁸⁴](#)
- Eric Leskowitz, A Cartography of Energy Medicine: From Subtle Anatomy to Energy Physiology, *EXPLORE*, 10.1016/j.explore.2020.09.008, (2020). [Crossref⁸⁵](#)
- Hantong Hu, Yongliang Jiang, Xiaoyu Li, Jiali Lou, Yajun Zhang, Xiaofen He, Junfan Fang, Yuanyuan Wu, Xiaomei Shao, Jianqiao Fang, The microcirculatory characteristics of the heart and lung meridians, *Medicine*, 10.1097/MD.00000000000019594, 99, 14, (e19594), (2020). [Crossref⁸⁶](#)
- Sheikh Faruque Elahee Bangladesh, Hui-juan Mao, Ling Zhao, Xue-yong Shen, Meridian
69. <https://doi.org/10.1166/mex.2021.2027>
70. <https://onlinelibrary.wiley.com/doi/10.1111/joa.13401>
71. <https://onlinelibrary.wiley.com/doi/10.1111/joa.13400>
72. <https://onlinelibrary.wiley.com/doi/10.1002/ar.24618>
73. <https://doi.org/10.54461/JKMST.2021.5.1.8>
74. <https://doi.org/10.1016/j.joim.2021.11.006>
75. <https://doi.org/10.1016/j.explore.2021.11.010>
76. <https://doi.org/10.51507/jams.2021.14.6.219>
77. <https://doi.org/10.3390/healthcare9030257>
78. <https://doi.org/10.3390/vetsci8080149>
79. <https://doi.org/10.1007/s11191-021-00249-4>
80. <https://doi.org/10.2147/JIR.S341581>
81. <https://doi.org/10.12677/TCM.2020.92022>
82. <https://doi.org/10.1097/MOU.0000000000000781>
83. <https://doi.org/10.1007/978-3-030-27447-4>
84. <https://doi.org/10.1016/j.ctcp.2020.101119>
85. <https://doi.org/10.1016/j.explore.2020.09.008>
86. <https://doi.org/10.1097/MD.00000000000019594>

- system and mechanism of acupuncture action: A scientific evaluation 经络系统与针刺效应机制的科学评价, *World Journal of Acupuncture - Moxibustion*, 10.1016/j.wjam.2020.05.003, (2020). [Crossref⁸⁷](#)
- Mário Gonçalves, Luís Carlos Matos, Leonel Duarte, Jorge Machado, Henry Johannes Gretén, Giovanna Franconi, PROBLEMS OF SCIENTIFIC METHODOLOGY RELATED TO PLACEBO CONTROL IN QIGONG STUDIES: A SYSTEMATIC REVIEW, *Journal of Bodywork and Movement Therapies*, 10.1016/j.jbmt.2020.06.035, (2020). [Crossref⁸⁸](#)
- Hans-Udo Richarz, Uwe Schütz, Werner Klingler, Das fasziale Bindegewebe – ein Medium für die Akupunktur? The fascial connective tissue—a medium for acupuncture?, *Deutsche Zeitschrift für Akupunktur*, 10.1007/s42212-019-00228-5, (2020). [Crossref⁸⁹](#)
- Shi Yonghong, Wu Ruizhi, Zhang Yue, Bai Xuebing, Imran Tarique, Liang Chunhua, Yang Ping, Chen Qiusheng, Telocytes in Different Organs of Vertebrates: Potential Essence Cells of the Meridian in Chinese Traditional Medicine, *Microscopy and Microanalysis*, 10.1017/S1431927620001518, (1-14), (2020). [Crossref⁹⁰](#)
- Jinglan Mu, Andrea D Furlan, Wai Yee Lam, Marcos Y Hsu, Zhipeng Ning, Lixing Lao, Acupuncture for chronic nonspecific low back pain, *Cochrane Database of Systematic Reviews*, 10.1002/14651858.CD013814, (2020). [Crossref⁹¹](#)
- Kimia Grace Ganjaei, Jeremiah W. Ray, Brandee Waite, Kevin J. Burnham, The Fascial System in Musculoskeletal Function and Myofascial Pain, *Current Physical Medicine and Rehabilitation Reports*, 10.1007/s40141-020-00302-3, (2020). [Crossref⁹²](#)
- Christina L. Ross, Energy Medicine: Current Status and Future Perspectives, *Global Advances in Health and Medicine*, 10.1177/2164956119831221, 8, (216495611983122), (2019). [Crossref⁹³](#)
- Phil Trabulsy, COMPLEMENTARY AND ALTERNATIVE MEDICINE, *Cancer*, 10.1002/9781119645214, (499-530), (2019). [Wiley Online Library⁹⁴](#)
- Younyoung Chae, Yeonhee Ryu, Won-Mo Jung, An Analysis of Indications of Meridians in DongUiBoGam Using Data Mining, *Korean Journal of Acupuncture*, 10.14406/acu.2019.034, 36, 4, (292-299), (2019). [Crossref⁹⁵](#)
- Wei-bo ZHANG, Xiao-jing SONG, Ze WANG, Guang-jun WANG, Shu-yong JIA, Yu-ying TIAN, Hong-yan LI, Longitudinal Directional Movement of Alcian Blue in Gephyrocharax Melanocheir Fish: Revealing Interstitial Flow and Related Structure ☆ 阿尔新蓝在黑裙鱼中的纵向定向运动:组织液流动与相关结构的揭示, *World Journal of Acupuncture - Moxibustion*, 10.1016/j.wjam.2019.05.008, (2019). [Crossref⁹⁶](#)
- Nicholas Alexander Wise, Action at a distance: laser acupuncture and the brain, *Photobiomodulation in the Brain*, 10.1016/B978-0-12-815305-5.00036-1, (489-501), (2019). [Crossref⁹⁷](#)
- Liangjun Xia, Qingyu Meng, Jin Xi, Qin Han, Jie Cheng, Jie Shen, Youbing Xia, Liyun Shi, The synergistic effect of electroacupuncture and bone mesenchymal stem cell transplantation on repairing thin endometrial injury in rats, *Stem Cell Research & Therapy*, 10.1186/s13287-019-1326-6, 10, 1, (2019). [Crossref⁹⁸](#)
- Dha-Hyun Choi, Younyoung Chae, Minimisation of variations in locating an acupuncture point using a laser-device, *Integrative Medicine Research*, 10.1016/j.imr.2019.11.005, (2019). [Crossref⁹⁹](#)
- Doohan Oh, Jong-hyun Kim, Youn-Sub Kim, Song-Yi Kim, Analysis of Tonification and Sedation Methods in the 『Yeongsochimgugyeong』, *Korean Journal of Acupuncture*, 10.14406/acu.2019.021, 36, 3, (171-180), (2019). [Crossref¹⁰⁰](#)
- Aleksandar Zivaljevic, Bin Shi, ElisaM S. Tam, Vahideh Toossi, Treatment of visceral pain associated with irritable bowel syndrome using acupuncture: Mechanism of action, *World Journal of Traditional Chinese Medicine*, 10.4103/wjtc.wjtc_24_19, 5, 4, (181), (2019). [Crossref¹⁰¹](#)
- Suchan Chang, O. Sang Kwon, Se Kyun Bang, Do-Hee Kim, Min Won Baek, Yeonhee Ryu, Jong Han Bae, Yu Fan, Soo Min Lee, Hyung Kyu Kim, Bong Hyo Lee, Chae Ha Yang, Hee Young Kim, Peripheral Sensory Nerve Tissue but Not Connective Tissue Is Involved in the Action of Acupuncture, *Frontiers in Neuroscience*, 10.3389/fnins.2019.00110, 13, (2019). [Crossref¹⁰²](#)
- Junaid Wazir, Rahat Ullah, Shihong Li, Md Amir Hossain, Maladho Tanta Diallo, Farhan Ullah Khan, Awais Ullah Ihsan, Xiaohui Zhou, Efficacy of acupuncture in the treatment of chronic prostatitis-chronic pelvic pain syndrome: a review of the literature, *International Urology and Nephrology*, 10.1007/s11255-019-02267-2, (2019). [Crossref¹⁰³](#)
- Noa Schwartz, Madhavi Latha S. Chalasanani, Thomas M. Li, Zhonghui Feng, William D. Shipman, Theresa T. Lu, Lymphatic Function in Autoimmune Diseases, *Frontiers in Immunology*, 10.3389/fimmu.2019.00519, 10, (2019). [Crossref¹⁰⁴](#)
- Sarah Ely, Panos Barlas, Transcutaneous electrical acupoint stimulation for people with chronic musculoskeletal pain: an exploratory review, *Physical Therapy Reviews*, 10.1080/10833196.2019.1648728, (1-12), (2019). [Crossref¹⁰⁵](#)
- Koh-Woon Kim, Sanhwa Hong, Hong Soo Kim, Taehun Kim, Jaeha Ahn, Hyun-Seo Song, Yu-Kang Kim, Ju-Young Oh, Tae-Yeon Hwang, Hyangsook Lee, Su-Il In, Hi-Joon Park, Physiological impact of nanoporous acupuncture needles: Laser Doppler perfusion imaging in healthy volunteers, *PLOS ONE*, 10.1371/journal.pone.0226304, 14, 12, (e0226304), (2019). [Crossref¹⁰⁶](#)
- Chang-zhen Gong, Wei Liu, Convergence of Medicines: West Meets East in Newly-Discovered Organs and Functions, *Chinese Journal of Integrative Medicine*, 10.1007/s11655-018-2570-9, 25, 5, (323-326), (2018). [Crossref¹⁰⁷](#)
- Jeanne Adiwinata Pawitan, Various stem cells in acupuncture meridians and points and their putative roles, *Journal of Traditional and Complementary Medicine*, 10.1016/j.jtcm.2017.08.004, (2018). [Crossref¹⁰⁸](#)
- Chungda Lee, How can mindfulness-led breathing of qigong/Tai Chi work on qi and the meridian network?, *Advances in Integrative Medicine*, 10.1016/j.aimed.2018.07.002, 5, 3, (122-127), (2018). [Crossref¹⁰⁹](#)
- Patrick Roynard, Lauren Frank, Huisheng Xie, Margaret Fowler, Acupuncture for Small Animal Neurologic Disorders, *Veterinary Clinics of North America: Small Animal Practice*, 10.1016/j.cvsm.2017.08.003, 48, 1, (201-219), (2018). [Crossref¹¹⁰](#)
- Meng Huang, Xuezhi Wang, Beibei Xing, Hongwei Yang, Zheyang Sa, Di Zhang, Wei Yao, Na Yin, Ying Xia, Guanghong Ding, Critical roles of TRPV2 channels, histamine H1 and adenosine A1 receptors in the initiation of acupoint signals for acupuncture analgesia, *Scientific Reports*, 10.1038/s41598-018-24654-y, 8, 1, (2018). [Crossref¹¹¹](#)
- Ruiling Liang, Peishuang Li, Xuemei Peng, Ling Xu, Pei Fan, Jiahua Peng, Xu Zhou, Chunlin Xiao, Miao Jiang, Efficacy of acupuncture on pelvic pain in patients with endometriosis: study protocol for a randomized, single-blind, multi-center, placebo-controlled trial, *Trials*, 10.1186/s13063-018-2684-6, 19, 1, (2018). [Crossref¹¹²](#)
- Wei-bo Zhang, De-xian Jia, Hong-yan Li, Yu-long Wei, Huang Yan, Peng-na Zhao, Fei-fei Gu, Guang-jun Wang, Yan-ping Wang, Understanding Qi Running in the Meridians as Interstitial Fluid Flowing via Interstitial Space of Low Hydraulic Resistance, *Chinese Journal of Integrative Medicine*, 10.1007/s11655-017-2791-3, 24, 4, (304-307), (2018). [Crossref¹¹³](#)
- Conner E. Liddle, Richard E. Harris, Cellular Reorganization Plays a Vital Role in Acupuncture Analgesia, *Medical Acupuncture*, 10.1089/acu.2017.1258, 30, 1, (15-20), (2018). [Crossref¹¹⁴](#)
- 戴云 冯, Relationship among the Meridians, Sinew Channels and Integrative Five Fluid Circulation System, *Traditional Chinese Medicine*, 10.12677/TCM.2018.71013, 07, 01, (74-92), (2018). [Crossref¹¹⁵](#)
- David Feinstein, Energy Psychology: Efficacy, Speed, Mechanisms, *EXPLORE*, 10.1016/j.explore.2018.11.003, (2018). [Crossref¹¹⁶](#)
- Hiroie MOTOYAMA, Hirohisa ISOGAI, Yoshito MUKAINO, Relaxing Effect Achieved by Acupuncture Stimulation in Different Postures for University Students Living a Sedentary Lifestyle, *Sedentary Lifestyle を送る大学生を対象とした異なる姿勢への鍼刺激によるリラックス効果*, *Kampo Medicine*, 10.3937/kampomed.69.225, 69, 3, (225-238), (2018). [Crossref¹¹⁷](#)
- Alexander Waits, You-Ren Tang, Hao-Min Cheng, Chen-Jei Tai, Li-Yin Chien, Acupressure effect on sleep quality: A systematic review and meta-analysis, *Sleep Medicine Reviews*, 10.1016/j.smrv.2016.12.004, 37, (24-34), (2018). [Crossref¹¹⁸](#)
- Chenglin Liu, Qinghua Liu, Dongming Zhang, Wei Liu, Xiaohui Yan, Xinyi Zhang, Hiroyuki Oyanagi, Zhiyun Pan, Fengchun Hu, Shiqiang Wei, Insight into the biological effects of acupuncture points by X-ray absorption fine structure, *Analytical and Bioanalytical Chemistry*, 10.1007/s00216-018-1146-z, 410, 20, (4959-4965), (2018). [Crossref¹¹⁹](#)
- Eric Leskowitz, How Tapping into “Energy” Can Trigger a Paradigm Shift in Biomedicine, *The Journal of Alternative and Complementary Medicine*, 10.1089/acm.2018.0073, 24, 6, (525-527), (2018). [Crossref¹²⁰](#)
- Johannes Fleckenstein, Robert Schleip, Cornelia Sachs, Mark Driscoll, Susan Shockett, Thomas Findley, Werner Klingler, Faszienforschung: Quo vadis? Fascia research: Quo vadis?, *Deutsche Zeitschrift für Akupunktur*, 10.1007/s42212-018-0037-8, 61, 2, (69-74), (2018). [Crossref¹²¹](#)
- FA Phan, A Sreilestari, H Mihardja, MBH Marbun, Effects of acupuncture on uremic pruritus in patients undergoing hemodialysis, *Journal of Physics: Conference Series*, 10.1088/1742-6596/1073/6/062049, 1073, (062049), (2018). [Crossref¹²²](#)
- Kwang-Sup Soh, Sistema circulatorio de Bonghan como una extensión de los meridianos de acupuntura, *Revista Internacional de Acupuntura*, 10.1016/j.acu.2018.02.001, 12, 1, (15-28), (2018). [Crossref¹²³](#)
87. <https://doi.org/10.1016/j.wjam.2020.05.003>
88. <https://doi.org/10.1016/j.jbmt.2020.06.035>
89. <https://doi.org/10.1007/s42212-019-00228-5>
90. <https://doi.org/10.1017/S1431927620001518>
91. <https://doi.org/10.1002/14651858.CD013814>
92. <https://doi.org/10.1007/s40141-020-00302-3>
93. <https://doi.org/10.1177/2164956119831221>
94. <https://onlinelibrary.wiley.com/doi/10.1002/9781119645214>
95. <https://doi.org/10.14406/acu.2019.034>
96. <https://doi.org/10.1016/j.wjam.2019.05.008>
97. <https://doi.org/10.1016/B978-0-12-815305-5.00036-1>
98. <https://doi.org/10.1186/s13287-019-1326-6>
99. <https://doi.org/10.1016/j.imr.2019.11.005>
100. <https://doi.org/10.14406/acu.2019.021>
101. https://doi.org/10.4103/wjtc.wjtc_24_19
102. <https://doi.org/10.3389/fnins.2019.00110>
103. <https://doi.org/10.1007/s11255-019-02267-2>
104. <https://doi.org/10.3389/fimmu.2019.00519>
105. <https://doi.org/10.1080/10833196.2019.1648728>
106. <https://doi.org/10.1371/journal.pone.0226304>
107. <https://doi.org/10.1007/s11655-018-2570-9>
108. <https://doi.org/10.1016/j.jtcm.2017.08.004>
109. <https://doi.org/10.1016/j.aimed.2018.07.002>
110. <https://doi.org/10.1016/j.cvsm.2017.08.003>
111. <https://doi.org/10.1038/s41598-018-24654-y>
112. <https://doi.org/10.1186/s13063-018-2684-6>
113. <https://doi.org/10.1007/s11655-017-2791-3>
114. <https://doi.org/10.1089/acu.2017.1258>
115. <https://doi.org/10.12677/TCM.2018.71013>
116. <https://doi.org/10.1016/j.explore.2018.11.003>
117. <https://doi.org/10.3937/kampomed.69.225>
118. <https://doi.org/10.1016/j.smrv.2016.12.004>
119. <https://doi.org/10.1007/s00216-018-1146-z>
120. <https://doi.org/10.1089/acm.2018.0073>
121. <https://doi.org/10.1007/s42212-018-0037-8>
122. <https://doi.org/10.1088/1742-6596/1073/6/062049>
123. <https://doi.org/10.1016/j.acu.2018.02.001>

Helene M. Langevin, Peter M. Wayne, What Is the Point? The Problem with Acupuncture Research That No One Wants to Talk About, *The Journal of Alternative and Complementary Medicine*, 10.1089/acm.2017.0366, 24, 3, (200-207), (2018). [Crossref¹²⁴](#)

Chun-Yi Lin, Tze-Taur Wei, Chen-Chen Wang, Wan-Chen Chen, Yu-Min Wang, Song-Yen Tsai, Acute Physiological and Psychological Effects of Qigong Exercise in Older Practitioners, Evidence-Based Complementary and Alternative Medicine, 10.1155/2018/4960978, 2018, (1-10), (2018). [Crossref¹²⁵](#)

Kanae Umemoto, Toshiyuki Saito, Munekazu Naito, Shogo Hayashi, Tomiko Yakura, Hanno Steinke, Takashi Nakano, Anatomical Relationship between B123 and the Posterior Ramus of the L2 Spinal Nerve, *Acupuncture in Medicine*, 10.1136/acupmed-2015-010847, 34, 2, (95-100), (2018). [Crossref¹²⁶](#)

Krista Lynne Paulson, Barbara L. Shay, Sympathetic Nervous System Responses to Acupuncture and Non-Penetrating Sham Acupuncture in Experimental Forearm Pain: A Single-Blind Randomised Descriptive Study, *Acupuncture in Medicine*, 10.1136/acupmed-2012-010223, 31, 2, (178-184), (2018). [Crossref¹²⁷](#)

Marc Amand, Florence Nguyen-Huu, Costantino Balestra, Acupuncture Effect on Thermal Tolerance and Electrical Pain Threshold: A Randomised Controlled Trial, *Acupuncture in Medicine*, 10.1136/aim.2010.002485, 29, 1, (47-50), (2018). [Crossref¹²⁸](#)

Michele Alem, Maria Salette Costa Gurgel, Acupuncture in the Rehabilitation of Women after Breast Cancer Surgery – a Case Series, *Acupuncture in Medicine*, 10.1136/aim.26.2.86, 26, 2, (86-93), (2018). [Crossref¹²⁹](#)

Avijgan Majid, Rouh/Qi before and after production; basic concept of life, *International Journal of Complementary & Alternative Medicine*, 10.15406/ijcam.2018.11.00363, 11, 2, (2018). [Crossref¹³⁰](#)

Tiaw-Kee Lim, Yan Ma, Frederic Berger, Gerhard Litscher, Acupuncture and Neural Mechanism in the Management of Low Back Pain—An Update, *Medicines*, 10.3390/medicines5030063, 5, 3, (63), (2018). [Crossref¹³¹](#)

Anna Esparham, Anne Herbert, Emily Pierzchalski, Catherine Tran, Jennifer Dilts, Madeline Boorigie, Tammie Wingert, Mark Connelly, Jennifer Bickel, Pediatric Headache Clinic Model: Implementation of Integrative Therapies in Practice, *Children*, 10.3390/children5060074, 5, 6, (74), (2018). [Crossref¹³²](#)

Elizabeth R. Magden, Chapter 13 Positive Reinforcement Training and Health Care, *Handbook of Primate Behavioral Management*, 10.1201/9781315120652, (201-216), (2017). [Crossref¹³³](#)

Faria Sanjana, Hans Chaudhry, Thomas Findley, Effect of MELT method on thoracolumbar connective tissue: The full study, *Journal of Bodywork and Movement Therapies*, 10.1016/j.jbmt.2016.05.010, 21, 1, (179-185), (2017). [Crossref¹³⁴](#)

Peter T. Dorsher, Neuroembryology of the Acupuncture Principal Meridians: Part 1. The Extremities, *Medical Acupuncture*, 10.1089/acu.2016.1210, 29, 1, (10-19), (2017). [Crossref¹³⁵](#)

Jordi Gascon-Garcia, Caridad Bagur-Calafat, Montserrat Girabent-Farrés, Ramon Balius, Validation of the range of dry needling with the fascial winding technique in the carpal tunnel using ultrasound, *Journal of Bodywork and Movement Therapies*, 10.1016/j.jbmt.2017.10.013, (2017). [Crossref¹³⁶](#)

Ana Paula A. Ferreira, Luciana C. Póvoa, José F.C. Zanier, Arthur S. Ferreira, Locating the Seventh Cervical Spinous Process: Accuracy of the Thorax-Rib Static Method and the Effects of Clinical Data on Its Performance, *Journal of Manipulative and Physiological Therapeutics*, 10.1016/j.jmpt.2016.10.011, 40, 2, (98-105), (2017). [Crossref¹³⁷](#)

Arya Nielsen, Acupuncture for the Prevention of Tension-Type Headache (2016), *EXPLORE: The Journal of Science and Healing*, 10.1016/j.explore.2017.03.007, 13, 3, (228-231), (2017). [Crossref¹³⁸](#)

Fan Wang, Guang-wei Cui, Le Kuai, Jian-min Xu, Ting-ting Zhang, Huai-jin Cheng, Hong-sheng Dong, Gui-rong Dong, Role of Acupoint Area Collagen Fibers in Anti-Inflammation of Acupuncture Lifting and Thrusting Manipulation, Evidence-Based Complementary and Alternative Medicine, 10.1155/2017/2813437, 2017, (1-8), (2017). [Crossref¹³⁹](#)

Wei-Chia Chen, Hsiang-Ying Chen, Yu-Sheng Chen, Yong Tian, Lin I, Self-excited multi-scale skin vibrations probed by optical tracking micro-motions of tracers on arms, *Journal of Applied Physics*, 10.1063/1.4991499, 122, 2, (024701), (2017). [Crossref¹⁴⁰](#)

Fletcher Kovich, A Curious Oversight in Acupuncture Research, *Journal of Acupuncture and Meridian Studies*, 10.1016/j.jams.2017.10.004, 10, 6, (411-415), (2017). [Crossref¹⁴¹](#)

David F. Drake, Anne M. Hudak, William Robbins, Integrative Medicine in Traumatic Brain Injury, *Physical Medicine and Rehabilitation Clinics of North America*, 10.1016/j.pmr.2016.12.011, 28, 2, (363-378), (2017). [Crossref¹⁴²](#)

Helene M. Langevin, Rosa N. Schnyer, Reconnecting the Body in Eastern and Western Medicine, *The Journal of Alternative and Complementary Medicine*, 10.1089/acm.2017.0028, 23, 4, (238-241), (2017). [Crossref¹⁴³](#)

Salvador Quiroz-González, Sergio Torres-Castillo, Rosa Estela López-Gómez, Ismael Jiménez Estrada, Acupuncture Points and Their Relationship with Multireceptive Fields of Neurons, *Journal of Acupuncture and Meridian Studies*, 10.1016/j.jams.2017.01.006, 10, 2, (81-89), (2017). [Crossref¹⁴⁴](#)

Sharon Jiyeon Jung, Haim Song, Yu Yeon Kim, Jungdae Kim, Sunghul Kim, Yoon-Kyu Song, Kwang-Sup Soh, Distribution of Mast Cells and Locations, Depths, and Sizes of the Putative Acupoints CV 8 and KI 16, Evidence-Based Complementary and Alternative Medicine, 10.1155/2017/2953278, 2017, (1-10), (2017). [Crossref¹⁴⁵](#)

Benjamin CW. Chant, Jeanne Madison, Paul Coop, Gudrun Dieberg, Contact Tools in Japanese Acupuncture: An Ethnography of Acupuncture Practitioners in Japan, *Journal of Acupuncture and Meridian Studies*, 10.1016/j.jams.2017.08.006, 10, 5, (331-339), (2017). [Crossref¹⁴⁶](#)

Hugh MacPherson, Andrew Vickers, Martin Bland, David Torgerson, Mark Corbett, Eldon Spackman, Pedro Saramago, Beth Woods, Helen Weatherly, Mark Sculpher, Andrea Manca, Stewart Richmond, Ann Hopton, Janet Eldred, Ian Watt, Acupuncture for chronic pain and depression in primary care: a programme of research, Programme Grants for Applied Research, 10.3310/pgfar05030, 5, 3, (1-316), (2017). [Crossref¹⁴⁷](#)

Benjamin Kligler, Arya Nielsen, Corinne Kohrher, Tracy Schmid, Eve Waltermaurer, Elidania Perez, Woodson Merrell, Acupuncture Therapy in a Group Setting for Chronic Pain, *Pain Medicine*, 10.1093/pm/pnx134, (2017). [Crossref¹⁴⁸](#)

Alexander Macdonald, Acupuncture Main Channels or Meridians: Visible Surfaces, *International Journal of Complementary & Alternative Medicine*, 10.15406/ijcam.2017.07.00233, 7, 4, (2017). [Crossref¹⁴⁹](#)

Roshanak Ghods, Nasrin Sayfour, Mohammad Hossein Ayati, Anatomical Features of the Interscapular Area Where Wet Cupping Therapy Is Done and Its Possible Relation to Acupuncture Meridians, *Journal of Acupuncture and Meridian Studies*, 10.1016/j.jams.2016.06.004, 9, 6, (290-296), (2016). [Crossref¹⁵⁰](#)

Laura Quiles, Electra Peluffo, Meridianos tendinomusculares (Jing Jin) y tejido fascial, comparativa anatómica y funcional, *Revista Internacional de Acupuntura*, 10.1016/j.iau.2016.01.002, 10, 1, (20-24), (2016). [Crossref¹⁵¹](#)

Tian Tian, Yanhong Sun, Huang Wu, Jian Pei, Jing Zhang, Yi Zhang, Lu Wang, Bin Li, Lihua Wang, Jiye Shi, Jun Hu, Chunhai Fan, Acupuncture promotes mTOR-independent autophagic clearance of aggregation-prone proteins in mouse brain, *Scientific Reports*, 10.1038/srep19714, 6, 1, (2016). [Crossref¹⁵²](#)

Eric Leskowitz, Integrative Medicine for PTSD and TBI: Two Innovative Approaches, *Medical Acupuncture*, 10.1089/acu.2016.1168, 28, 4, (181-183), (2016). [Crossref¹⁵³](#)

Sarah le Jeune, Kimberly Henneman, Kevin May, Acupuncture and Equine Rehabilitation, *Veterinary Clinics of North America: Equine Practice*, 10.1016/j.cveq.2015.12.004, 32, 1, (73-85), (2016). [Crossref¹⁵⁴](#)

Charlotte H. Y. Lau, Xinyin Wu, Vincent C. H. Chung, Xin Liu, Edwin P. Hui, Holger Cramer, Romy Lauche, Samuel Y. S. Wong, Alexander Y. L. Lau, Regina W. S. Sit, Eric T. C. Ziea, Bacon F. L. Ng, Justin C. Y. Wu, Acupuncture and Related Therapies for Symptom Management in Palliative Cancer Care, *Medicine*, 10.1097/MD.0000000000002901, 95, 9, (e2901), (2016). [Crossref¹⁵⁵](#)

Li Chen, Hai-Xiang Sun, You-Bing Xia, Liu-Cai Sui, Ji Zhou, Xuan Huang, Jing-Wei Zhou, Yi-Dan Shao, Tao Shen, Qin Sun, Yuan-Jiao Liang, Bing Yao, Electroacupuncture decreases the progression of ovarian hyperstimulation syndrome in a rat model, *Reproductive BioMedicine Online*, 10.1016/j.rbmo.2016.02.006, 32, 5, (538-544), (2016). [Crossref¹⁵⁶](#)

Suzanne B. Hanser, Suzanne B. Hanser, Holistic Healing, Integrative Health through Music Therapy, 10.1057/978-1-137-38477-5, (35-54), (2016). [Crossref¹⁵⁷](#)

Laurent Misery, Acupuncture, Pruritus, 10.1007/978-3-319-33142-3, (437-441), (2016). [Crossref¹⁵⁸](#)

Jing-Ke Guo, Ming-Ming Xu, Mei-Feng Zheng, Shu-Tao Liu, Jian-Wu Zhou, Li-Jing Ke, Tian-Bao Chen, Ping-Fan Rao, Topical Application of TAT-Superoxide Dismutase in Acupoints LI 20 on Allergic Rhinitis, Evidence-Based Complementary and Alternative Medicine, 10.1155/2016/3830273, 2016, (1-9), (2016). [Crossref¹⁵⁹](#)

James L. Oschman, Acupuncture, Acupressure, Shiatsu, and Related Therapies, *Energy Medicine*, 10.1016/B978-0-443-06729-7.00014-4, (221-239), (2016). [Crossref¹⁶⁰](#)

Motti Ratmansky, Adi Levy, Aviv Messinger, Alla Birg, Lilach Front, Iuly Treger, The Effects of Acupuncture on Cerebral Blood Flow in Post-Stroke Patients: A Randomized Controlled Trial, *The Journal of Alternative and Complementary Medicine*, 10.1089/143. [https://doi.org/10.1089/acm.2017.0028](#)

144. [https://doi.org/10.1016/j.jams.2017.01.006](#)

145. [https://doi.org/10.1155/2017/2953278](#)

146. [https://doi.org/10.1016/j.jams.2017.08.006](#)

147. [https://doi.org/10.3310/pgfar05030](#)

148. [https://doi.org/10.1093/pm/pnx134](#)

149. [https://doi.org/10.15406/ijcam.2017.07.00233](#)

150. [https://doi.org/10.1016/j.jams.2016.06.004](#)

151. [https://doi.org/10.1016/j.iau.2016.01.002](#)

152. [https://doi.org/10.1038/srep19714](#)

153. [https://doi.org/10.1089/acu.2016.1168](#)

154. [https://doi.org/10.1016/j.cveq.2015.12.004](#)

155. [https://doi.org/10.1097/MD.0000000000002901](#)

156. [https://doi.org/10.1016/j.rbmo.2016.02.006](#)

157. [https://doi.org/10.1057/978-1-137-38477-5](#)

158. [https://doi.org/10.1007/978-3-319-33142-3](#)

159. [https://doi.org/10.1155/2016/3830273](#)

160. [https://doi.org/10.1016/B978-0-443-06729-7.00014-4](#)

acm.2015.0066, 22, 1, (33-37), (2016). [Crossref⁶¹](#)

Marzio Vanzini, Michele Gallamini, Amblyopia: Can Laser Acupuncture be an Option?, *Journal of Acupuncture and Meridian Studies*, 10.1016/j.jams.2016.01.017, 9, 5, (267-274), (2016). [Crossref⁶²](#)

Bo M. Rowan†, J. Bryan Dixon, Complementary Medicine Practices for Muscular Injuries of the Posterior Leg, *Muscular Injuries in the Posterior Leg*, 10.1007/978-1-4899-7651-2, (153-168), (2016). [Crossref⁶³](#)

HyunSuk Jang, JooHwan Yoon, HyunJi Gil, Sharon Jiyoung Jung, Min-Suk Kim, Jin-Kyu Lee, Young-Jae Kim, Kwang-Sup Soh, Observation of a Flowing Duct in the Abdominal Wall by Using Nanoparticles, *PLOS ONE*, 10.1371/journal.pone.0150423, 11, 3, (e0150423), (2016). [Crossref⁶⁴](#)

Richard Cha, Detecting Intrinsic Movements through Needle Tips Pinned at Zusanli ST-36 Point - a New Method for Characterizing Structures for Acupuncture Treatments, *International Journal of Complementary & Alternative Medicine*, 10.15406/ijcam.2016.03.00100, 3, 6, (2016). [Crossref⁶⁵](#)

Raphael J. Hochstrasser, P. Christian Endler, Sabine D. Klein, Perception of Therapeutic Qi, a Nonmechanical, Nonpsychological Factor in Acupuncture That Originates from the Therapist, *Journal of Acupuncture and Meridian Studies*, 10.1016/j.jams.2014.11.009, 8, 4, (203-208), (2015). [Crossref⁶⁶](#)

Carla Stecco, Warren Hammer, Andry Vleeming, Raffaele De Caro, Fasciae of the Upper Limb, *Functional Atlas of the Human Fascial System*, 10.1016/B978-0-7020-4430-4.00007-5, (217-287), (2015). [Crossref⁶⁷](#)

Shu-Ming Wang, Acupuncture as a Treatment for Substance Abuse in Pediatric Patients, *Substance Abuse*, 10.1007/978-1-4939-1951-2, (349-357), (2015). [Crossref⁶⁸](#)

Mei-Ling Wu, Dong-Sheng Xu, Wan-Zhu Bai, Jing-Jing Cui, Hong-Ming Shu, Wei He, Xiaoyu Wang, Hong Shi, Yang-Shuai Su, Ling Hu, Bing Zhu, Xiang-Hong Jing, Local cutaneous nerve terminal and mast cell responses to manual acupuncture in acupoint LI4 area of the rats, *Journal of Chemical Neuroanatomy*, 10.1016/j.jchemneu.2015.06.002, 68, (14-21), (2015). [Crossref⁶⁹](#)

Mark J. McDonald, Will the Primo Vascular System Finally Solve the Mystery of Acupuncture?, *Medical Acupuncture*, 10.1089/acu.2014.1075, 27, 1, (33-37), (2015). [Crossref⁷⁰](#)

Wei-Bo Zhang, Guang-Jun Wang, Kjell Fuxe, Classic and Modern Meridian Studies: A Review of Low Hydraulic Resistance Channels along Meridians and Their Relevance for Therapeutic Effects in Traditional Chinese Medicine, Evidence-Based Complementary and Alternative Medicine, 10.1155/2015/410979, 2015, (1-14), (2015). [Crossref⁷¹](#)

Xiaqiu Wu, Jin Peng, Guoqin Li, Wei Zhang, Guangxia Liu, Baoyan Liu, Efficacy evaluation of summer acupoint application treatment on asthma patients: a two-year follow-up clinical study, *Journal of Traditional Chinese Medicine*, 10.1016/S0254-6272(15)30004-2, 35, 1, (21-27), (2015). [Crossref⁷²](#)

Won-Mo Jung, Taehyung Lee, In-Seon Lee, Sanghyun Kim, Hyunchul Jang, Song-Yi Kim, Hi-Joon Park, Younbyoung Chae, Spatial Patterns of the Indications of Acupoints Using Data Mining in Classic Medical Text: A Possible Visualization of the Meridian System, Evidence-Based Complementary and Alternative Medicine, 10.1155/2015/457071, 2015, (1-7), (2015). [Crossref⁷³](#)

Kwang-Sup Soh, Hypothesis on the Treatment of Gliomas with Acupuncture at the Primo Node Corresponding to Zusanli (ST 36), *Medical Acupuncture*, 10.1089/acu.2014.1089, 27, 3, (144-150), (2015). [Crossref⁷⁴](#)

Marco Gemma, Elisa Nicelli, Luigi Gioia, Elena Moizo, Luigi Beretta, Maria Rosa Calvi, Acupuncture accelerates recovery after general anesthesia: a prospective randomized controlled trial, *Journal of Integrative Medicine*, 10.1016/S2095-4964(15)60159-5, 13, 2, (99-104), (2015). [Crossref⁷⁵](#)

Michele Gallamini, Giovanni D'Angelo, Gabriele Belloni, Biolite: A Patented Ultra-Low-Level Laser-Therapy Device for Treating Musculoskeletal Pain and Associated Impairments, *Journal of Acupuncture and Meridian Studies*, 10.1016/j.jams.2015.02.001, 8, 4, (167-174), (2015). [Crossref⁷⁶](#)

Poney Chiang, What is the Point of Acupuncture?, *Medical Acupuncture*, 10.1089/acu.2015.1093, 27, 2, (67-80), (2015). [Crossref⁷⁷](#)

Richard F. Hobbs, Acupuncture—Biophysics or Metaphysics?, *Medical Acupuncture*, 10.1089/acu.2015.1097, 27, 2, (62-66), (2015). [Crossref⁷⁸](#)

Ali Khorsand, Jiang Zhu, Hamidreza Bahrami-Taghanaki, Sara Baghani, Liangxiao Ma, Shima Rezaei, Investigation of the electrical impedance of acupuncture points and non-acupuncture points before and after acupuncture, using a four-electrode device, *Acupuncture in Medicine*, 10.1136/acupmed-2014-010697, 33, 3, (230-236), (2015). [Crossref⁷⁹](#)

Fang Li, Tian He, Qian Xu, Li - Ting Lin, Hui Li, Yan Liu, Guang - Xia Shi, Cun - Zhi Liu, What is the Acupoint? A preliminary review of Acupoints, *Pain Medicine*, 10.1111/pme.12761, 16, 10, (1905-1915), (2015). [Wiley Online Library¹⁸⁰](#)

Song-Yi Kim, Sang-Woo Kim, Hi-Joon Park, Different Responses to Acupuncture in Electroencephalogram according to Stress Level: A Randomized, Placebo-Controlled, Cross-Over Trial, *Korean Journal of Acupuncture*, 10.14406/acu.2014.022, 31, 3, (136-145), (2014). [Crossref⁸¹](#)

Heming Zhu, Acupoints Initiate the Healing Process, *Medical Acupuncture*, 10.1089/acu.2014.1057, 26, 5, (264-270), (2014). [Crossref⁸²](#)

G. Ding, Z. Wu, D. Zhang, Z. Sa, K. Cheng, Biophysical Bases of Acupuncture, *Comprehensive Biomedical Physics*, 10.1016/B978-0-444-53632-7.01018-2, (299-316), (2014). [Crossref⁸³](#)

Yuan-yuan Lin, Yin-ping Wang, Hao-yang Lu, Xiu-cai Guo, Xia Liu, Chuan-bin Wu, Yue-hong Xu, Plasma pharmacokinetics and lung distribution of tetrahydropalmatine after topical application of cold asthma recipe extract: Feishu (BL 13) versus Non-Feishu acupoint, *Journal of Ethnopharmacology*, 10.1016/j.jep.2014.03.009, 153, 2, (454-460), (2014). [Crossref⁸⁴](#)

Yiu Ming Wong, Electrical Property of Acupoints, *The Journal of Alternative and Complementary Medicine*, 10.1089/acm.2013.0169, 20, 2, (145-146), (2014). [Crossref⁸⁵](#)

Nadia Elisabeth Haddad, Oxana Palesh, Acupuncture in the Treatment of Cancer-Related Psychological Symptoms, *Integrative Cancer Therapies*, 10.1177/1534735413520181, 13, 5, (371-385), (2014). [Crossref⁸⁶](#)

Soo-Byeong Kim, Kyung-Yul Chung, Mi-Seon Jeon, Tae-Min Shin, Yong-Heum Lee, Body Composition Factor Comparisons of the Intracellular Fluid (ICW), Extracellular Fluid (ECW) and Cell Membrane at Acupuncture Points and Non-acupuncture Points by Inducing Multiple Ionic Changes, *Korean Journal of Acupuncture*, 10.14406/acu.2014.005, 31, 2, (66-78), (2014). [Crossref⁸⁷](#)

Martha Lilianna Beltrán Molano, Laura Bibiana Pinilla Bonilla, Eduardo Humberto Beltrán Dussan, Carlos Alberto Vásquez Londoño, Anatomical-Functional Correlation between Head Zones and Acupuncture Channels and Points: A Comparative Analysis from the Perspective of Neural Therapy, Evidence-Based Complementary and Alternative Medicine, 10.1155/2014/836392, 2014, (1-12), (2014). [Crossref⁸⁸](#)

Evan H. Kwong, Thomas W. Findley, Fascia—Current knowledge and future directions in psychiatry: Narrative review, *Journal of Rehabilitation Research and Development*, 10.1682/JRRD.2013.10.0220, 51, 6, (875-884), (2014). [Crossref⁸⁹](#)

Kwokming James Cheng, Neurobiological Mechanisms of Acupuncture for Some Common Illnesses: A Clinician's Perspective, *Journal of Acupuncture and Meridian Studies*, 10.1016/j.jams.2013.07.008, 7, 3, (105-114), (2014). [Crossref⁹⁰](#)

Jing-Wen Yang, Qian-Qian Li, Fang Li, Qing-Nan Fu, Xiang-Hong Zeng, Cun-Zhi Liu, The Holistic Effects of Acupuncture Treatment, Evidence-Based Complementary and Alternative Medicine, 10.1155/2014/739708, 2014, (1-10), (2014). [Crossref⁹¹](#)

Shu-Yih Wu, Wei-Hsin Chen, Ching-Liang Hsieh, Yi-Wen Lin, Abundant expression and functional participation of TRPV1 at Zusanli acupoint (ST36) in mice: mechanosensitive TRPV1 as an “acupuncture-responding channel”, *BMC Complementary and Alternative Medicine*, 10.1186/1472-6882-14-96, 14, 1, (2014). [Crossref⁹²](#)

Morry Silberstein, Is acupuncture “stimulation” a misnomer? A case for using the term “blockade”, *BMC Complementary and Alternative Medicine*, 10.1186/1472-6882-13-68, 13, 1, (2013). [Crossref⁹³](#)

In-Seon Lee, Soon-Ho Lee, Song-Yi Kim, Hyejung Lee, Hi-Joon Park, Younbyoung Chae, Visualization of the Meridian System Based on Biomedical Information about Acupuncture Treatment, Evidence-Based Complementary and Alternative Medicine, 10.1155/2013/872142, 2013, (1-5), (2013). [Crossref⁹⁴](#)

Helene M. Langevin, Part 1, Trigger Point Dry Needling, 10.1016/B978-0-7020-4601-8.10008-8, (29-33), (2013). [Crossref⁹⁵](#)

Byung-Cheon Lee, Walter J. Akers, Xianghong Jing, M. Isabel Miguel Perez, Yeonhee Ryu, Primo Vascular System: Past, Present, and Future, Evidence-Based Complementary and Alternative Medicine, 10.1155/2013/240168, 2013, (1-2), (2013). [Crossref⁹⁶](#)

Andrew Bannan, Acupuncture in physiotherapy, *Tidy's Physiotherapy*, 10.1016/B978-0-7020-4344-4.00018-3, (403-415), (2013). [Crossref⁹⁷](#)

Im Quah-Smith, Caroline Smith, John D. Crawford, Janice Russell, Laser acupuncture for depression: A randomised double blind controlled trial using low intensity laser intervention, *Journal of Affective Disorders*, 10.1016/j.jad.2012.11.058, 148, 2-3, (179-187), (2013). [Crossref⁹⁸](#)

161. <https://doi.org/10.1089/acm.2015.0066>

162. <https://doi.org/10.1016/j.jams.2016.01.017>

163. <https://doi.org/10.1007/978-1-4899-7651-2>

164. <https://doi.org/10.1371/journal.pone.0150423>

165. <https://doi.org/10.15406/ijcam.2016.03.00100>

166. <https://doi.org/10.1016/j.jams.2014.11.009>

167. <https://doi.org/10.1016/B978-0-7020-4430-4.00007-5>

168. <https://doi.org/10.1007/978-1-4939-1951-2>

169. <https://doi.org/10.1016/j.jchemneu.2015.06.002>

170. <https://doi.org/10.1089/acu.2014.1075>

171. <https://doi.org/10.1155/2015/410979>

172. [https://doi.org/10.1016/S0254-6272\(15\)30004-2](https://doi.org/10.1016/S0254-6272(15)30004-2)

173. <https://doi.org/10.1155/2015/457071>

174. <https://doi.org/10.1089/acu.2014.1089>

175. [https://doi.org/10.1016/S2095-4964\(15\)60159-5](https://doi.org/10.1016/S2095-4964(15)60159-5)

176. <https://doi.org/10.1016/j.jams.2015.02.001>

177. <https://doi.org/10.1089/acu.2015.1093>

178. <https://doi.org/10.1089/acu.2015.1097>

179. <https://doi.org/10.1136/acupmed-2014-010697>

180. <https://onlinelibrary.wiley.com/doi/10.1111/pme.12761>

181. <https://doi.org/10.14406/acu.2014.022>

182. <https://doi.org/10.1089/acu.2014.1057>

183. <https://doi.org/10.1016/B978-0-444-53632-7.01018-2>

184. <https://doi.org/10.1016/j.jep.2014.03.009>

185. <https://doi.org/10.1089/acm.2013.0169>

186. <https://doi.org/10.1177/1534735413520181>

187. <https://doi.org/10.14406/acu.2014.005>

188. <https://doi.org/10.1155/2014/836392>

189. <https://doi.org/10.1682/JRRD.2013.10.0220>

190. <https://doi.org/10.1016/j.jams.2013.07.008>

191. <https://doi.org/10.1155/2014/739708>

192. <https://doi.org/10.1186/1472-6882-14-96>

193. <https://doi.org/10.1186/1472-6882-13-68>

194. <https://doi.org/10.1155/2013/872142>

195. <https://doi.org/10.1016/B978-0-7020-4601-8.10008-8>

196. <https://doi.org/10.1155/2013/240168>

197. <https://doi.org/10.1016/B978-0-7020-4344-4.00018-3>

198. <https://doi.org/10.1016/j.jad.2012.11.058>

- C. Will Chen, Chen-Jei Tai, Cheuk-Sing Choy, Chau-Yun Hsu, Shoei-Loong Lin, Wing P. Chan, Han-Sun Chiang, Chang-An Chen, Ting-Kai Leung, Wave-Induced Flow in Meridians Demonstrated Using Photoluminescent Bioceramic Material on Acupuncture Points, Evidence-Based Complementary and Alternative Medicine, 10.1155/2013/739293, 2013, (1-11), (2013). [Crossref¹⁹⁹](#)
- Raphael J. Hochstrasser, P. Christian Endler, Sabine D. Klein, Introduction of two novel devices for investigating the influence of non-mechanical components such as therapeutic qi in acupuncture, Journal of Integrative Medicine, 10.3736/jintegrmed2013030, 11, 3, (168-174), (2013). [Crossref²⁰⁰](#)
- W. Evan Rivers, Felise Zollman, Reliability of Surface Acupuncture Point Location, Medical Acupuncture, 10.1089/acu.2012.0929, 25, 2, (134-140), (2013). [Crossref²⁰¹](#)
- Stefano Marcelli, Gross Anatomy and Acupuncture: A Comparative Approach to Reappraise the Meridian System, Medical Acupuncture, 10.1089/acu.2012.0875, 25, 1, (5-22), (2013). [Crossref²⁰²](#)
- Jaung-Geng Lin, Pei-Chi Chou, Heng-Yi Chu, An Exploration of the Needling Depth in Acupuncture: The Safe Needling Depth and the Needling Depth of Clinical Efficacy, Evidence-Based Complementary and Alternative Medicine, 10.1155/2013/740508, 2013, (1-21), (2013). [Crossref²⁰³](#)
- DARCY A. UMPHRED, CAROL M. DAVIS, MARY LOU GALANTINO, Complementary and alternative therapies: beyond traditional approaches to intervention in neurological diseases and movement disorders, Neurological Rehabilitation, 10.1016/B978-0-323-07586-2.00048-0, (1173-1214), (2013). [Crossref²⁰⁴](#)
- Alessandra de Almeida Fagundes, Mariana César Ribeiro Reis, Maira Salles, Maria Graças Bastos Licuerci, Immediate Effects of Acupuncture for Managing Myofascial Trigger-Point Pain: A Pilot Study, Medical Acupuncture, 10.1089/acu.2012.0902, 25, 1, (55-60), (2013). [Crossref²⁰⁵](#)
- Yi Zhuang, Jing-jing Xing, Juan Li, Bai-Yun Zeng, Fan-rong Liang, History of Acupuncture Research, Neurobiology of Acupuncture, 10.1016/B978-0-12-411545-3.00001-8, (1-23), (2013). [Crossref²⁰⁶](#)
- Arya Nielsen, Ted J. Kaptchuk, Sha syndrome and Gua sha, cao gio, coining, scraping, Gua Sha, 10.1016/B978-0-7020-3108-3.00005-4, (39-44), (2013). [Crossref²⁰⁷](#)
- Arya Nielsen, Ted J. Kaptchuk, Physiology of Gua sha, Gua Sha, 10.1016/B978-0-7020-3108-3.00003-0, (21-30), (2013). [Crossref²⁰⁸](#)
- Shirley P.C. Ngai, Alice Y.M. Jones, Changes in Skin Impedance and Heart Rate Variability with Application of Acu-TENS to BL 13 (Feishu) , The Journal of Alternative and Complementary Medicine, 10.1089/acm.2012.0097, 19, 6, (558-563), (2013). [Crossref²⁰⁹](#)
- Isabelle Nègre, Méthodes non médicamenteuses : compréhension actuelle des mécanismes d'action, Douleurs : Evaluation - Diagnostic - Traitement, 10.1016/j.douleur.2013.01.007, 14, 3, (111-118), (2013). [Crossref²¹⁰](#)
- Guanghong Ding, Di Zhang, Meng Huang, Lina Wang, Wei Yao, Function of Collagen and Mast Cells in Acupuncture Points, Current Research in Acupuncture, 10.1007/978-1-4614-3357-6, (53-87), (2013). [Crossref²¹¹](#)
- Sung - Ho Lee, Geon - Ho Jahng, Il - Hwan Choe, Chi - Bong Choi, Dae - Hyun Kim, Hwi - Yool Kim, Neural Pathway Interference by Retained Acupuncture: A Functional MRI Study of a Dog Model of Parkinson's Disease, CNS Neuroscience & Therapeutics, 10.1111/cns.12108, 19, 8, (585-595), (2013). [Wiley Online Library²¹²](#)
- Hee Young Kim, Sung Tae Koo, Jae Hyo Kim, Kyungeh An, Kyungsoon Chung, Jin Mo Chung, Electroacupuncture analgesia in rat ankle sprain pain model: neural mechanisms, Neurological Research, 10.1179/016164109X12537002793689, 32, suppl, (10-17), (2013). [Crossref²¹³](#)
- ChangShik Yin, ByungKwan Seo, Hi-Joon Park, Miran Cho, WooSang Jung, Ryowon Choue, ChangHwan Kim, Hun-Kuk Park, Hyejung Lee, HyeongGyun Koh, Acupuncture, a promising adjunctive therapy for essential hypertension: a double-blind, randomized, controlled trial, Neurological Research, 10.1179/016164107X172220, 29, suppl, (98-103), (2013). [Crossref²¹⁴](#)
- Gary Deng, Barrie Cassileth, Complementary or alternative medicine in cancer care—myths and realities, Nature Reviews Clinical Oncology, 10.1038/nrclinonc.2013.125, 10, 11, (656-664), (2013). [Crossref²¹⁵](#)
- James L. Oschman, Fascia as a body-wide communication system, Fascia: The Tensional Network of the Human Body, 10.1016/B978-0-7020-3425-1.00049-0, (103-110), (2012). [Crossref²¹⁶](#)
- David Feinstein, Acupoint Stimulation in Treating Psychological Disorders: Evidence of Efficacy, Review of General Psychology, 10.1037/a0028602, 16, 4, (364-380), (2012). [Crossref²¹⁷](#)
- Jun J. Mao, Malini M. Khanna, Integrating Acupuncture with Western Medicine in Cancer Treatment, Acupuncture and Moxibustion as an Evidence-based Therapy for Cancer, 10.1007/978-94-007-4833-0_14, (313-328), (2012). [Crossref²¹⁸](#)
- Alex Benham, Mark I. Johnson, Characterization of Painful and Non-painful Acupuncture Needle Sensations During Bidirectional Rotation of a Single Needle Inserted 15–25 mm at Large Intestine 10, Medical Acupuncture, 10.1089/acu.2011.0861, 24, 3, (172-180), (2012). [Crossref²¹⁹](#)
- Li-Ling Lin, Ya-Hui Wang, Chi-Yu Lai, Chan-Lao Chau, Guan-Chin Su, Chun-Yi Yang, Shu-Ying Lou, Szu-Kai Chen, Kuan-Hao Hsu, Yen-Ling Lai, Wei-Ming Wu, Jian-Long Huang, Chih-Hsin Liao, Hsueh-Fen Juan, Systems Biology of Meridians, Acupoints, and Chinese Herbs in Disease, Evidence-Based Complementary and Alternative Medicine, 10.1155/2012/372670, 2012, (1-13), (2012). [Crossref²²⁰](#)
- Arya Nielsen, Gua sha, Fascia: The Tensional Network of the Human Body, 10.1016/B978-0-7020-3425-1.00009-X, (359-365), (2012). [Crossref²²¹](#)
- Hugh MacPherson, Richard Hammerschlag, Acupuncture and the Emerging Evidence Base: Contrived Controversy and Rational Debate, Journal of Acupuncture and Meridian Studies, 10.1016/j.jams.2012.05.001, 5, 4, (141-147), (2012). [Crossref²²²](#)
- Yejin Ha, Misun Kim, Jiseon Nah, Minah Suh, Youngmi Lee, Measurements of Location-Dependent Nitric Oxide Levels on Skin Surface in relation to Acupuncture Point, Evidence-Based Complementary and Alternative Medicine, 10.1155/2012/781460, 2012, (1-7), (2012). [Crossref²²³](#)
- Elisabeth Hsu, “Feeling lighter”: Why the patient's treatment evaluation matters to the health scientist, Integrative Medicine Research, 10.1016/j.imr.2012.10.003, 1, 1, (5-12), (2012). [Crossref²²⁴](#)
- Petra I. Bäumlner, Michael Simang, Sybille Kramer, Dominik Irnich, Acupuncture Point Localization Varies Among Acupuncturists, Forschende Komplementärmedizin / Research in Complementary Medicine, 10.1159/000335825, 19, 1, (31-37), (2012). [Crossref²²⁵](#)
- Belinda Anderson, Arya Nielsen, Diane McKee, Anne Jeffers, Ben Kligler, Acupuncture and Heart Rate Variability: A Systems Level Approach to Understanding Mechanism, EXPLORE: The Journal of Science and Healing, 10.1016/j.explore.2011.12.002, 8, 2, (99-106), (2012). [Crossref²²⁶](#)
- Xiaoyu Wang, Hong Shi, Hongyan Shang, Yangshuai Su, Juanjuan Xin, Wei He, Xianghong Jing, Bing Zhu, Are Primo Vessels (PVs) on the Surface of Gastrointestine Involved in Regulation of Gastric Motility Induced by Stimulating Acupoints ST36 or CV12?, Evidence-Based Complementary and Alternative Medicine, 10.1155/2012/787683, 2012, (1-8), (2012). [Crossref²²⁷](#)
- Dominik Irnich, Johannes Fleckenstein, Acupuncture as a fascia-oriented therapy, Fascia: The Tensional Network of the Human Body, 10.1016/B978-0-7020-3425-1.00010-6, (349-357), (2012). [Crossref²²⁸](#)
- Byung-Cheon Lee, Zhendong Su, Baeckkyoung Sung, Ki Woo Kim, Jin-Myung Cha, Jin-Kyu Lee, Byung-Joon Chang, Kwang-Sup Soh, Network of the Primo Vascular System in the Rat Hypodermis, The Primo Vascular System, 10.1007/978-1-4614-0601-3, (139-146), (2012). [Crossref²²⁹](#)
- Kyoungee Bae, Zhendong Su, Kwang-Sup Soh, Hee Min Kwon, Histological Comparison of Primo Nodes in Abdominal Membrane and Lymph Nodes of Rat, The Primo Vascular System, 10.1007/978-1-4614-0601-3, (127-131), (2012). [Crossref²³⁰](#)
- Yu Bai, Lin Yuan, Yong Huang, Chun-lei Wang, Jun Wang, Jin-peng Wu, Jing-xing Dai, Dong-fei Li, Chun Yang, Mei-chun Yu, Hui-ying Yang, Hui Tao, Ou Sha, David Tai Wai Yew, From the Anatomical Discovery of Meridians and Collaterals to Fasciology Theory, The Primo Vascular System, 10.1007/978-1-4614-0601-3, (305-318), (2012). [Crossref²³¹](#)
- Wei Yao, Yabei Li, Guanghong Ding, Interstitial Fluid Flow: The Mechanical Environment of Cells and Foundation of Meridians, Evidence-Based Complementary and Alternative Medicine, 10.1155/2012/853516, 2012, (1-9), (2012). [Crossref²³²](#)
- Jungdae Kim, Dae-In Kang, Kwang-Sup Soh, Sungchul Kim, Analysis on Postmortem Tissues at Acupuncture Points in the Image Datasets of Visible Human Project, The Journal of Alternative and Complementary Medicine, 10.1089/acm.2010.0850, 18, 2, (120-129), (2012). [Crossref²³³](#)
- Marcelo L Silva, Josie RT Silva, Wiliam A Prado, The antinociceptive effect of electroacupuncture at different depths of acupoints and under the needling surface, Chinese Medicine, 10.1186/1749-8546-7-3, 7, 1, (2012). [Crossref²³⁴](#)
- Hong-Qin Yang, Shu-Sen Xie, Song-Hao Liu, Hui Li, Zhou-Yi Guo, Differences in Optical Transport Properties between Human Meridian and Non-meridian, The American Journal of Chinese Medicine, 10.1142/S0192415X07005235, 35, 05, (743-752), (2012). [Crossref²³⁵](#)

- Kaung-Ti Yung, A Birdcage Model for the Chinese Meridian System Part VI: Meridians as the Primary Regulatory System, *The American Journal of Chinese Medicine*, 10.1142/S0192415X05003302, 33, 05, (759-766), (2012). [Crossref²³⁶](#)
- Letter to the Editor, *The American Journal of Chinese Medicine*, 10.1142/S0192415X05003119, 33, 03, (513-515), (2012). [Crossref²³⁷](#)
- A. Paraskeva, A. Melemini, G. Petropoulos, I. Sifaka, A. Fassoulaki, Needling of the Extra 1 Point Decreases BIS Values and Preoperative Anxiety, *The American Journal of Chinese Medicine*, 10.1142/S0192415X04002363, 32, 05, (789-794), (2012). [Crossref²³⁸](#)
- Francisco Abad-Alegria, Carlos Pomarón, About the Neurobiological Foundations of the De-Qi — Stimulus-Response Relation, *The American Journal of Chinese Medicine*, 10.1142/S0192415X04002375, 32, 05, (807-814), (2012). [Crossref²³⁹](#)
- Jesse Li-Ling, Human Phenome Based on Traditional Chinese Medicine — A Solution to Congenital Syndromology, *The American Journal of Chinese Medicine*, 10.1142/S0192415X03001594, 31, 06, (991-1000), (2012). [Crossref²⁴⁰](#)
- Lisa S. Lancaster, Robert M. Bowker, Acupuncture Points of the Horse's Distal Thoracic Limb: A Neuroanatomic Approach to the Transposition of Traditional Points, *Animals*, 10.3390/ani2030455, 2, 4, (455-471), (2012). [Crossref²⁴¹](#)
- Houju Fu, Yuanqiao He, Ying Gao, Yicun Man, Wukun Liu, Hua Hao, Acupuncture on the Endometrial Morphology, the Serum Estradiol and Progesterone Levels, and the Expression of Endometrial Leukaemia-inhibitor Factor and Osteopontin in Rats, Evidence-Based Complementary and Alternative Medicine, 10.1155/2011/606514, 2011, (1-9), (2011). [Crossref²⁴²](#)
- Steven Finando, Donna Finando, Fascia and the mechanism of acupuncture, *Journal of Bodywork and Movement Therapies*, 10.1016/j.jbmt.2010.03.001, 15, 2, (168-176), (2011). [Crossref²⁴³](#)
- Hyung-Joo Moon, Yong-Keun Lee, The Relationship Between Dental Occlusion/Temporomandibular Joint Status and General Body Health: Part 2. Fascial Connection of TMJ with Other Parts of the Body, *The Journal of Alternative and Complementary Medicine*, 10.1089/acm.2010.0740, 17, 12, (1119-1124), (2011). [Crossref²⁴⁴](#)
- Yu Bai, Jun Wang, Jin-peng Wu, Jing-xing Dai, Ou Sha, David Tai Wai Yew, Lin Yuan, Quni Liang, Review of Evidence Suggesting That the Fascia Network Could Be the Anatomical Basis for Acupoints and Meridians in the Human Body, Evidence-Based Complementary and Alternative Medicine, 10.1155/2011/260510, 2011, (1-6), (2011). [Crossref²⁴⁵](#)
- James L. Oschman, Foreword and Special Contribution: The Living Matrix, *Energy Medicine East and West*, 10.1016/B978-0-7020-3571-5.00032-9, (x-xix), (2011). [Crossref²⁴⁶](#)
- Therapie myofaszialer Schmerzsyndrome, Myofasziale Schmerzen und Triggerpunkte, 10.1016/B978-3-437-23095-0.10004-5, (51-91), (2011). [Crossref²⁴⁷](#)
- Xiangeng Zhang, Hui Zhang, Xiaoli Liang, Qin Liu, Miqu Wang, Gynecology and Gynecological Nursing Theories and Practices in Traditional Chinese Medicine: Review on the Ancient Literatures, *Chinese Medicine*, 10.4236/cm.2011.23014, 02, 03, (77-83), (2011). [Crossref²⁴⁸](#)
- Pei-Chi Chou, Heng-Yi Chu, Jaung-Geng Lin, Safe Needling Depth of Acupuncture Points, *The Journal of Alternative and Complementary Medicine*, 10.1089/acm.2010.0192, 17, 3, (199-206), (2011). [Crossref²⁴⁹](#)
- References and further reading, *Energy Medicine East and West*, 10.1016/B978-0-7020-3571-5.00037-8, (339-382), (2011). [Crossref²⁵⁰](#)
- Dongming Zhang, Xiaohui Yan, Xinyi Zhang, Chenglin Liu, Ruishan Dang, Tiqiao Xiao, Peiping Zhu, Synchrotron radiation phase-contrast X-ray CT imaging of acupuncture points, Analytical and Bioanalytical Chemistry, 10.1007/s00216-011-4913-7, 401, 3, (803-808), (2011). [Crossref²⁵¹](#)
- Stéphane J - P. Egot - Lemaire, Marvin C. Ziskin, Dielectric properties of human skin at an acupuncture point in the 50–75 GHz frequency range: A pilot study, *Bioelectromagnetics*, 10.1002/bem.20650, 32, 5, (360-366), (2011). [Wiley Online Library²⁵²](#)
- Chi Eung Danform Lim, Felix Wu Shun Wong, Warren Smith, Factors influencing the bioimpedance data in tissue segments along the three arm meridians: a pilot study, *TANG [HUMANITAS MEDICINE]*, 10.5667/tang.2011.0004, 1, 1, (7.1-7.9), (2011). [Crossref²⁵³](#)
- Luigi Baratto, Laura Calzà, Roberto Capra, Michele Gallamini, Luciana Giardino, Alessandro Giuliani, Luca Lorenzini, Silvano Traverso, Ultra-low-level laser therapy, *Lasers in Medical Science*, 10.1007/s10103-010-0837-2, 26, 1, (103-112), (2010). [Crossref²⁵⁴](#)
- Yavuz Beyazit, Murat Kekilli, Fatma Beyazit, Sticking the pieces together: A unifying hypothesis for the acupuncture meridian pathways and extracellular signalling, *Medical Hypotheses*, 10.1016/j.mehy.2010.01.022, 74, 6, (1088), (2010). [Crossref²⁵⁵](#)
236. <https://doi.org/10.1142/S0192415X05003302>
237. <https://doi.org/10.1142/S0192415X05003119>
238. <https://doi.org/10.1142/S0192415X04002363>
239. <https://doi.org/10.1142/S0192415X04002375>
240. <https://doi.org/10.1142/S0192415X03001594>
241. <https://doi.org/10.3390/ani2030455>
242. <https://doi.org/10.1155/2011/606514>
243. <https://doi.org/10.1016/j.jbmt.2010.03.001>
244. <https://doi.org/10.1089/acm.2010.0740>
245. <https://doi.org/10.1155/2011/260510>
246. <https://doi.org/10.1016/B978-0-7020-3571-5.00032-9>
247. <https://doi.org/10.1016/B978-3-437-23095-0.10004-5>
248. <https://doi.org/10.4236/cm.2011.23014>
249. <https://doi.org/10.1089/acm.2010.0192>
250. <https://doi.org/10.1016/B978-0-7020-3571-5.00037-8>
251. <https://doi.org/10.1007/s00216-011-4913-7>
252. <https://onlinelibrary.wiley.com/doi/10.1002/bem.20650>
253. <https://doi.org/10.5667/tang.2011.0004>
254. <https://doi.org/10.1007/s10103-010-0837-2>
255. <https://doi.org/10.1016/j.mehy.2010.01.022>
- Hugh Gemmill, Peter Miller, Relative effectiveness and adverse effects of cervical manipulation, mobilisation and the activator instrument in patients with sub-acute non-specific neck pain: results from a stopped randomised trial, *Chiropractic & Osteopathy*, 10.1186/1746-1340-18-20, 18, 1, (2010). [Crossref²⁵⁶](#)
- Peter T. Dorsher, Clinical Equivalence of Laser Needle to Metal Acupuncture Needle in Treating Musculoskeletal Pain: A Pilot Study, *Medical Acupuncture*, 10.1089/acu.2009.0724, 22, 1, (11-17), (2010). [Crossref²⁵⁷](#)
- Marco Antonio Helio da Silva, A Neurosegmental Perspective of the Classical Back Shu Points, *Medical Acupuncture*, 10.1089/acu.2010.0762, 22, 4, (257-264), (2010). [Crossref²⁵⁸](#)
- Laurent Misery, Laurence Potin-Richard, Itch and Acupuncture, *Pruritus*, 10.1007/978-1-84882-322-8, (335-338), (2010). [Crossref²⁵⁹](#)
- Guang Ying Huang, Cui Hong Zheng, Yun Xia Wu, Wei Wang, Involvement of connexin 43 in the acupuncture effect of improving rat blastocyst implantation, Fertility and Sterility, 10.1016/j.fertnstert.2009.09.036, 93, 5, (1715-1717), (2010). [Crossref²⁶⁰](#)
- Felix Wu Shun Wong, Chi Eung Danform Lim, Warren Smith, A New Bioimpedance Research Device (BIRD) for Measuring the Electrical Impedance of Acupuncture Meridians, *The Journal of Alternative and Complementary Medicine*, 10.1089/acm.2009.0218, 16, 3, (257-264), (2010). [Crossref²⁶¹](#)
- Jennifer A. M. Stone, Peter A. S. Johnstone, Mechanisms of Action for Acupuncture in the Oncology Setting, Current Treatment Options in Oncology, 10.1007/s11864-010-0128-y, 11, 3-4, (118-127), (2010). [Crossref²⁶²](#)
- Yu Bai, Lin Yuan, Kwang-Sup Soh, Byung-Cheon Lee, Yong Huang, Chun-lei Wang, Jun Wang, Jin-peng Wu, Jing-xing Dai, Janos Palhalmi, Ou Sha, David Tai Wai Yew, Possible Applications for Fascial Anatomy and Fasciology in Traditional Chinese Medicine, *Journal of Acupuncture and Meridian Studies*, 10.1016/S2005-2901(10)60023-4, 3, 2, (125-132), (2010). [Crossref²⁶³](#)
- Peter T. Dorsher, The Languages of Healing: Linked by a Common Thread, *The Journal of Alternative and Complementary Medicine*, 10.1089/acm.2009.0527, 16, 8, (907-913), (2010). [Crossref²⁶⁴](#)
- Fei Zhou, Dengkai Huang YingXia, Neuroanatomic Basis of Acupuncture Points, Acupuncture Therapy for Neurological Diseases, 10.1007/978-3-642-10857-0, (32-80), (2010). [Crossref²⁶⁵](#)
- Roeland van Wijk, Jan van der Greef, Eduard van Wijk, Human Ultraweak Photon Emission and the Yin Yang Concept of Chinese Medicine, *Journal of Acupuncture and Meridian Studies*, 10.1016/S2005-2901(10)60041-6, 3, 4, (221-231), (2010). [Crossref²⁶⁶](#)
- Pierre Boutouyrie, Robert Corvisier, Kim-Than Ong, Claire Vulser, Catherine Lassalle, Michel Azizi, Brigitte Laloux, Stéphane Laurent, Acute and chronic effects of acupuncture on radial artery: A randomized double blind study in migraine, *Artery Research*, 10.1016/j.artres.2009.12.003, 4, 1, (7-14), (2010). [Crossref²⁶⁷](#)
- Jun J. Mao, Rahul Kapur, Acupuncture in Primary Care, *Primary Care: Clinics in Office Practice*, 10.1016/j.pop.2009.09.010, 37, 1, (105-117), (2010). [Crossref²⁶⁸](#)
- Andrew C. Ahn, Min Park, Jessica R. Shaw, Claire A. McManus, Ted J. Kaptchuk, Helene M. Langevin, Electrical Impedance of Acupuncture Meridians: The Relevance of Subcutaneous Collagenous Bands, *PLoS ONE*, 10.1371/journal.pone.0011907, 5, 7, (e11907), (2010). [Crossref²⁶⁹](#)
- Kang Cheng, Chang Hua Zou, Information Models of Acupuncture Analgesia and Meridian Channels, *Information*, 10.3390/info1020153, 1, 2, (153-168), (2010). [Crossref²⁷⁰](#)
- Peter T. Dorsher, Myofascial Meridians as Anatomical Evidence of Acupuncture Channels, *Medical Acupuncture*, 10.1089/acu.2009.0631, 21, 2, (91-97), (2009). [Crossref²⁷¹](#)
- Kwang-Sup Soh, Bonghan Circulatory System as an Extension of Acupuncture Meridians, *Journal of Acupuncture and Meridian Studies*, 10.1016/S2005-2901(09)60041-8, 2, 2, (93-106), (2009). [Crossref²⁷²](#)
- Peter T. Dorsher, Myofascial Referred-Pain Data Provide Physiologic Evidence of Acupuncture Meridians, *The Journal of Pain*, 10.1016/j.jpain.2008.12.010, 10, 7, (723-731), (2009). [Crossref²⁷³](#)
- Charles Shang, Prospective Tests on Biological Models of Acupuncture, Evidence-Based Complementary and Alternative Medicine, 10.1093/ecam/nem122, 6, 1, (31-39), (2009). [Crossref²⁷⁴](#)
- Antonio Stecco, Veronica Macchi, Carla Stecco, Andrea Porzionato, Julie Ann Day, Vincent Delmas, Raffaele De Caro, Anatomical study of myofascial continuity in the anterior region of the upper limb, *Journal of Bodywork and Movement Therapies*, 10.1016/j.jbmt.2007.04.009, 13, 1, (53-62), (2009). [Crossref²⁷⁵](#)
256. <https://doi.org/10.1186/1746-1340-18-20>
257. <https://doi.org/10.1089/acu.2009.0724>
258. <https://doi.org/10.1089/acu.2010.0762>
259. <https://doi.org/10.1007/978-1-84882-322-8>
260. <https://doi.org/10.1016/j.fertnstert.2009.09.036>
261. <https://doi.org/10.1089/acm.2009.0218>
262. <https://doi.org/10.1007/s11864-010-0128-y>
263. [https://doi.org/10.1016/S2005-2901\(10\)60023-4](https://doi.org/10.1016/S2005-2901(10)60023-4)
264. <https://doi.org/10.1089/acm.2009.0527>
265. <https://doi.org/10.1007/978-3-642-10857-0>
266. [https://doi.org/10.1016/S2005-2901\(10\)60041-6](https://doi.org/10.1016/S2005-2901(10)60041-6)
267. <https://doi.org/10.1016/j.artres.2009.12.003>
268. <https://doi.org/10.1016/j.pop.2009.09.010>
269. <https://doi.org/10.1371/journal.pone.0011907>
270. <https://doi.org/10.3390/info1020153>
271. <https://doi.org/10.1089/acu.2009.0631>
272. [https://doi.org/10.1016/S2005-2901\(09\)60041-8](https://doi.org/10.1016/S2005-2901(09)60041-8)
273. <https://doi.org/10.1016/j.jpain.2008.12.010>
274. <https://doi.org/10.1093/ecam/nem122>

- Sang-Hyun Park, Jungdae Kim, Tae-Hoi Koo, Magneto-Acupuncture Stimuli Effects on Ultraweak Photon Emission from Hands of Healthy Persons, *Journal of Acupuncture and Meridian Studies*, 10.1016/S2005-2901(09)60014-5, 2, 1, (40-48), (2009). [Crossref²⁷⁶](#)
- James L. Oschman, Charge transfer in the living matrix, *Journal of Bodywork and Movement Therapies*, 10.1016/j.jbmt.2008.06.005, 13, 3, (215-228), (2009). [Crossref²⁷⁷](#)
- Hsiao-Neng Chen, Jaung-Geng Lin, Li-Chih Ying, Chen-Chai Huang, Chuan-Hsiung Lin, The Therapeutic Depth of Abdominal Acupuncture Points Approaches the Safe Depth in Overweight and in Older Children, *The Journal of Alternative and Complementary Medicine*, 10.1089/acm.2008.0582, 15, 9, (1033-1037), (2009). [Crossref²⁷⁸](#)
- Sallie Stoltz Denner, The Science of Energy Therapies and Contemplative Practice, *Holistic Nursing Practice*, 10.1097/HNP.0b013e3181bf3784, 23, 6, (315-334), (2009). [Crossref²⁷⁹](#)
- N. Ospina-Díaz, Introducción a la acupuntura. Fundamentos e interés para el médico de Atención Primaria, *SEMERGEN - Medicina de Familia*, 10.1016/S1138-3593(09)72675-9, 35, 8, (380-384), (2009). [Crossref²⁸⁰](#)
- Suzanne McDonough, Jongbae Park, Jing Yuan, Purepong Nithima, Daniel P. Kerr, Letters, *Spine*, 10.1097/BRS.0b013e31819d071c, 34, 7, (753), (2009). [Crossref²⁸¹](#)
- Charles Shang, Has Basic Acupuncture Research Met the Gold Standard of Science?, *Medical Acupuncture*, 10.1089/acu.2009.715, 21, 3, (191-200), (2009). [Crossref²⁸²](#)
- Xiaohui Yan, Xinyi Zhang, Chenglin Liu, Ruishan Dang, Yuying Huang, Wei He, Guanghong Ding, Do acupuncture points exist?, *Physics in Medicine and Biology*, 10.1088/0031-9155/54/9/N01, 54, 9, (N143-N150), (2009). [Crossref²⁸³](#)
- Xiaojia Yu, Guanghong Ding, Hong Huang, Jun Lin, Wei Yao, Rui Zhan, Role of Collagen Fibers in Acupuncture Analgesia Therapy on Rats, *Connective Tissue Research*, 10.1080/03008200802471856, 50, 2, (110-120), (2009). [Crossref²⁸⁴](#)
- James J. Mao, Deborah W. Bruner, Carrie Stricker, John T. Farrar, Sharon X. Xie, Marjorie A. Bowman, Donna Pucci Xiaoyan Han, Angela DeMichele, Feasibility Trial of Electroacupuncture for Aromatase Inhibitor—Related Arthralgia in Breast Cancer Survivors, *Integrative Cancer Therapies*, 10.1177/1534735409332903, 8, 2, (123-129), (2009). [Crossref²⁸⁵](#)
- HongQin Yang, ShuSen Xie, Hui Li, YuHua Wang, On optics of human meridians, *Science in China Series G: Physics, Mechanics and Astronomy*, 10.1007/s11433-009-0080-7, 52, 4, (502-507), (2009). [Crossref²⁸⁶](#)
- Dietrich H.W. Groenemeyer, Lei Zhang, Sven Schirp, Jürgen Baier, Localization of Acupuncture Points BL25 and BL26 Using Computed Tomography, *The Journal of Alternative and Complementary Medicine*, 10.1089/acm.2007.7118-O, 15, 12, (1285-1291), (2009). [Crossref²⁸⁷](#)
- Mike Benjamin, The fascia of the limbs and back – a review, *Journal of Anatomy*, 10.1111/j.1469-7580.2008.01011.x, 214, 1, (1-18), (2008). [Wiley Online Library²⁸⁸](#)
- Jesse Li-Ling, Yiyang Wu, Congenital Syndromes Involving the Lungs: Pathogenetic Models Based on Chinese Medicine Theories, *The Journal of Alternative and Complementary Medicine*, 10.1089/acm.2008.0115, 14, 8, (1017-1025), (2008). [Crossref²⁸⁹](#)
- Byung-Cheon Lee, Tae-Jeong Nam, Hyeon-Min Johng, Eun-Sung Park, Ku-Youn Baik, Baek-Kyoung Sung, Kyung-Soon Soh, Yeo-Sung Yoon, Kwang-Sup Soh, Argrophilic Fibers of Intravascular Threadlike Structures in Rat, *Journal of Korean Institute of Herbal Acupuncture*, 10.3831/KPI.2008.11.3.005, 11, 3, (5-16), (2008). [Crossref²⁹⁰](#)
- Di Zhang, Guanghong Ding, Xueyong Shen, Wei Yao, Zhiying Zhang, Yuqing Zhang, Jun Lin, Quanbao Gu, Role of Mast Cells in Acupuncture Effect: A Pilot Study, *EXPLORE*, 10.1016/j.explore.2008.02.002, 4, 3, (170-177), (2008). [Crossref²⁹¹](#)
- Stephen M. Sagar, Acupuncture as an Evidence-Based Option for Symptom Control in Cancer Patients, *Current Treatment Options in Oncology*, 10.1007/s11864-008-0063-3, 9, 2-3, (117-126), (2008). [Crossref²⁹²](#)
- M. Miguel-Pérez, J.C. Ortiz-Sagrístá, A. Pérez-Bellmunt, R. Ramos-Izquierdo, A. García-Fernández, Descripción anatómica de puntos de acupuntura en la extremidad inferior, *Revista Internacional de Acupuntura*, 10.1016/S1887-8369(08)70031-0, 2, 2, (126-131), (2008). [Crossref²⁹³](#)
- Marcus Bäcker, Paul Grossman, Jens Schneider, Andreas Michalsen, Nicola Knoblauch, Linda Tan, Corinna Niggemeyer, Klaus Linde, Dieter Melchart, Gustav J. Dobos, Acupuncture in Migraine, *The Clinical Journal of Pain*, 10.1097/AJP.0b013e318159f95e, 24, 2, (106-115), (2008). [Crossref²⁹⁴](#)
- Peter T. Dorsher, Optimal Localization of Acupuncture Points: Implications for Acupuncture Practice, Education, and Research, *Medical Acupuncture*, 10.1089/acu.2008.0621, 20, 3, (147-150), (2008). [Crossref²⁹⁵](#)
- Byung-Cheon Lee, Vyacheslav Ogay, Ki Woo Kim, Yuwon Lee, Jin-Kyu Lee, Kwang-Sup Soh, Acupuncture Muscle Channel in the Subcutaneous Layer of Rat Skin, *Journal of Acupuncture and Meridian Studies*, 10.1016/S2005-2901(09)60002-9, 1, 1, (13-19), (2008). [Crossref²⁹⁶](#)
- Agatha P. Colbert, Jinkook Yun, Adrian Larsen, Tracy Edinger, William L. Gregory, Tran Thong, Skin Impedance Measurements for Acupuncture Research: Development of a Continuous Recording System, *Evidence-Based Complementary and Alternative Medicine*, 10.1093/ecam/nem060, 5, 4, (443-450), (2008). [Crossref²⁹⁷](#)
- Hugh MacPherson, Richard Nahin, Charlotte Paterson, Claire M. Cassidy, George T. Lewith, Richard Hammerschlag, Developments in Acupuncture Research: Big-Picture Perspectives from the Leading Edge, *The Journal of Alternative and Complementary Medicine*, 10.1089/acm.2008.SAR-5, 14, 7, (883-887), (2008). [Crossref²⁹⁸](#)
- Vyacheslav Ogay, Min Su Kim, Hyo Jun Seok, Cheon Joo Choi, Kwang-Sup Soh, Catecholamine-storing Cells at Acupuncture Points of Rabbits, *Journal of Acupuncture and Meridian Studies*, 10.1016/S2005-2901(09)60027-3, 1, 2, (83-90), (2008). [Crossref²⁹⁹](#)
- J. Giebel, Mecanotransducción y transducción de señales a través del tejido conjuntivo, *Revista Internacional de Acupuntura*, 10.1016/S1887-8369(08)70003-6, 2, 1, (9-14), (2008). [Crossref³⁰⁰](#)
- Sheng-Hsiung Hsiao, Li-Jen Tsai, A Neurovascular Transmission Model for Acupuncture-induced Nitric Oxide, *Journal of Acupuncture and Meridian Studies*, 10.1016/S2005-2901(09)60006-6, 1, 1, (42-50), (2008). [Crossref³⁰¹](#)
- Vitaly Napadow, Andrew Ahn, John Longhurst, Lixing Lao, Elisabet Stener-Victorin, Richard Harris, Helene M. Langevin, The Status and Future of Acupuncture Mechanism Research, *The Journal of Alternative and Complementary Medicine*, 10.1089/acm.2008.SAR-3, 14, 7, (861-869), (2008). [Crossref³⁰²](#)
- Hong-Yi Li, Jie-Fu Yang, Min Chen, Liang Xu, Wen-Chao Wang, Fang Wang, Jia-Bin Tong, Chuan-Yu Wang, Visualized Regional Hypodermic Migration Channels of Interstitial Fluid in Human Beings: Are These Ancient Meridians?, *The Journal of Alternative and Complementary Medicine*, 10.1089/acm.2007.0606, 14, 6, (621-628), (2008). [Crossref³⁰³](#)
- Rosa N. Schnyer, Stephen Birch, Hugh MacPherson, Acupuncture practice as the foundation for clinical evaluation, *Acupuncture Research*, 10.1016/B978-044310029-1.50013-9, (153-179), (2008). [Crossref³⁰⁴](#)
- Richard Hammerschlag, Hélène M. Langevin, Lixing Lao, George Lewith, Physiological dynamics of acupuncture: correlations and mechanisms, *Acupuncture Research*, 10.1016/B978-044310029-1.50014-0, (181-197), (2008). [Crossref³⁰⁵](#)
- Paul Orrock, Eric Blake, Leon Chaitow, Roger Newman Turner, Naturopathic Physical Medicine, *Naturopathic Physical Medicine*, 10.1016/B978-044310390-2.50009-2, (75-100), (2008). [Crossref³⁰⁶](#)
- Andrew C. Ahn, Agatha P. Colbert, Belinda J. Anderson, Ørjan G. Martinsen, Richard Hammerschlag, Steve Cina, Peter M. Wayne, Helene M. Langevin, Electrical properties of acupuncture points and meridians: A systematic review, *Bioelectromagnetics*, 10.1002/bem.20403, 29, 4, (245-256), (2008). [Wiley Online Library³⁰⁷](#)
- Margaret Julias, Lowell T Edgar, Helen M Buettner, David I Shreiber, An in vitro assay of collagen fiber alignment by acupuncture needle rotation, *BioMedical Engineering OnLine*, 10.1186/1475-925X-7-19, 7, 1, (2008). [Crossref³⁰⁸](#)
- Kell N. Julliard, Claudia Citkovitz, Douglas McDaniel, Towards a Model for Planning Clinical Research in Oriental Medicine, *EXPLORE*, 10.1016/j.explore.2006.12.002, 3, 2, (118-128), (2007). [Crossref³⁰⁹](#)
- Arya Nielsen, Nicola T.M. Knoblauch, Gustav J. Dobos, Andreas Michalsen, Ted J. Kaptechuk, The Effect of Gua Sha Treatment on the Microcirculation of Surface Tissue: A Pilot Study in Healthy Subjects, *EXPLORE*, 10.1016/j.explore.2007.06.001, 3, 5, (456-466), (2007). [Crossref³¹⁰](#)
- Roy Moncayo, Ansgar Rudisch, Markus Diemling, Christian Kremser, In-vivo visualisation of the anatomical structures related to the acupuncture points Dai mai and Shen mai by MRI: A single-case pilot study, *BMC Medical Imaging*, 10.1186/1471-2342-7-4, 7, 1, (2007). [Crossref³¹¹](#)
- J. Giebel, Mechanotransduktion und Signaltransduktion über das Bindegewebe – Mechanismen zur Erklärung des therapeutischen Effekts der Akupunktur?, *Deutsche Zeitschrift für Akupunktur*, 10.1078/0415-6412-00281, 50, 3, (6-10), (2007). [Crossref³¹²](#)
- Roy Moncayo, Ansgar Rudisch, Christian Kremser, Helga Moncayo, 3D-MRI rendering of the anatomical structures related to acupuncture points of the Dai mai, Yin qiao mai and Yang qiao mai meridians within the context of the WOMED concept of lateral tension: implications for musculoskeletal disease, *BMC Musculoskeletal Disorders*, 10.1186/1471-2474-8-33, 8, 1, (2007). [Crossref³¹³](#)

275. <https://doi.org/10.1016/j.jbmt.2007.04.009>
 276. [https://doi.org/10.1016/S2005-2901\(09\)60014-5](https://doi.org/10.1016/S2005-2901(09)60014-5)
 277. <https://doi.org/10.1016/j.jbmt.2008.06.005>
 278. <https://doi.org/10.1089/acm.2008.0582>
 279. <https://doi.org/10.1097/HNP.0b013e3181bf3784>
 280. [https://doi.org/10.1016/S1138-3593\(09\)72675-9](https://doi.org/10.1016/S1138-3593(09)72675-9)
 281. <https://doi.org/10.1097/BRS.0b013e31819d071c>
 282. <https://doi.org/10.1089/acu.2009.715>
 283. <https://doi.org/10.1088/0031-9155/54/9/N01>
 284. <https://doi.org/10.1080/03008200802471856>
 285. <https://doi.org/10.1177/1534735409332903>
 286. <https://doi.org/10.1007/s11433-009-0080-7>
 287. <https://doi.org/10.1089/acm.2007.7118-O>
 288. <https://onlinelibrary.wiley.com/doi/10.1111/j.1469-7580.2008.01011.x>
 289. <https://doi.org/10.1089/acm.2008.0115>
 290. <https://doi.org/10.3831/KPI.2008.11.3.005>
 291. <https://doi.org/10.1016/j.explore.2008.02.002>
 292. <https://doi.org/10.1007/s11864-008-0063-3>
 293. [https://doi.org/10.1016/S1887-8369\(08\)70031-0](https://doi.org/10.1016/S1887-8369(08)70031-0)
 294. <https://doi.org/10.1097/AJP.0b013e318159f95e>

295. <https://doi.org/10.1089/acu.2008.0621>
 296. [https://doi.org/10.1016/S2005-2901\(09\)60002-9](https://doi.org/10.1016/S2005-2901(09)60002-9)
 297. <https://doi.org/10.1093/ecam/nem060>
 298. <https://doi.org/10.1089/acm.2008.SAR-5>
 299. [https://doi.org/10.1016/S2005-2901\(09\)60027-3](https://doi.org/10.1016/S2005-2901(09)60027-3)
 300. [https://doi.org/10.1016/S1887-8369\(08\)70003-6](https://doi.org/10.1016/S1887-8369(08)70003-6)
 301. [https://doi.org/10.1016/S2005-2901\(09\)60006-6](https://doi.org/10.1016/S2005-2901(09)60006-6)
 302. <https://doi.org/10.1089/acm.2008.SAR-3>
 303. <https://doi.org/10.1089/acm.2007.0606>
 304. <https://doi.org/10.1016/B978-044310029-1.50013-9>
 305. <https://doi.org/10.1016/B978-044310029-1.50014-0>
 306. <https://doi.org/10.1016/B978-044310390-2.50009-2>
 307. <https://onlinelibrary.wiley.com/doi/10.1002/bem.20403>
 308. <https://doi.org/10.1186/1475-925X-7-19>
 309. <https://doi.org/10.1016/j.explore.2006.12.002>
 310. <https://doi.org/10.1016/j.explore.2007.06.001>
 311. <https://doi.org/10.1186/1471-2342-7-4>
 312. <https://doi.org/10.1078/0415-6412-00281>

Helene M. Langevin, Nicole A. Bouffard, David L. Churchill, Gary J. Badger, Connective Tissue Fibroblast Response to Acupuncture: Dose-Dependent Effect of Bidirectional Needle Rotation, *The Journal of Alternative and Complementary Medicine*, 10.1089/acm.2007.6351, 13, 3, (355-360), (2007). [Crossref³¹⁴](#)

Yong-Hui Han, Joon-Mo Yang, Min-Su Kim, Kwang-Sup Soh, Detection of the acupuncture points in Skin by differential path-length spectroscopy, *World Congress on Medical Physics and Biomedical Engineering* 2006, 10.1007/978-3-540-36841-0, (3572-3575), (2007). [Crossref³¹⁵](#)

Min-Su Kim, Vyacheslav Ogay, Yong-Hui Han, Hak-Soo Shin, Byung-Cheon Lee, Kwang-Sup Soh, Alcian Blue Staining Technique for Tracing the Governing Vessel (GV) Meridian in Rat, *World Congress on Medical Physics and Biomedical Engineering* 2006, 10.1007/978-3-540-36841-0, (3576-3579), (2007). [Crossref³¹⁶](#)

Miguel-Pérez Maribel, Ortiz-Sagrístá Joan Carles, Pérez-Bellmunt Albert, Buxeda Mónica, Cuni Laura, García-Fernández Alicia, Descripción anatómica de puntos de acupuntura en la extremidad superior, *Revista Internacional de Acupuntura*, 10.1016/S1887-8369(07)70217-X, 1, 2, (53-57), (2007). [Crossref³¹⁷](#)

Yury P. Limansky, Serge A. Gulyar, Ivan Z. Samosyuk, Scientific basis of acupuncture, *Kontakt*, 10.32725/kont.2007.060, 9, 2, (391-402), (2007). [Crossref³¹⁸](#)

Leon Chaitow, Fascia 2007 Congress, *Journal of Bodywork and Movement Therapies*, 10.1016/j.jbmt.2006.07.004, 10, 4, (249-250), (2006). [Crossref³¹⁹](#)

Helene M. Langevin, Connective tissue: A body-wide signaling network?, *Medical Hypotheses*, 10.1016/j.mehy.2005.12.032, 66, 6, (1074-1077), (2006). [Crossref³²⁰](#)

Albert Y. Leung, Jun Park, Gery Schulteis, Jeng-Ren Duann, Tony Yaksh, The Electrophysiology of De Qi Sensations, *The Journal of Alternative and Complementary Medicine*, 10.1089/acm.2006.12.743, 12, 8, (743-750), (2006). [Crossref³²¹](#)

Acupuncture, Obstetrics & Gynecology, 10.1097/01.AOG.0000239498.38595.41, 108, 4, (1024-1026), (2006). [Crossref³²²](#)

Jeanne L. Shea, Applying Evidence-Based Medicine to Traditional Chinese Medicine: Debate and Strategy, *The Journal of Alternative and Complementary Medicine*, 10.1089/acm.2006.12.255, 12, 3, (255-263), (2006). [Crossref³²³](#)

Grigory V. Chernyak, Daniel I. Sessler, Perioperative Acupuncture and Related Techniques, *Anesthesiology*, 10.1097/0000542-200505000-00024, 102, 5, (1031-1049), (2005). [Crossref³²⁴](#)

Grigory Chernyak, Papiya Sengupta, Rainer Lenhardt, Edwin Liem, Anthony G. Doufas, Daniel I. Sessler, Ozan Ak?aa, The Timing of Acupuncture Stimulation Does Not Influence Anesthetic Requirement, *Anesthesia & Analgesia*, 10.1213/01.ANE.0000142114.72117.E0, 100, 2, (387-392), (2005). [Crossref³²⁵](#)

Gabriela E. Garcia, Sheng-Xing Ma, Lili Feng, Acupuncture and Kidney Disease, *Advances in Chronic Kidney Disease*, 10.1016/j.ackd.2005.04.002, 12, 3, (282-291), (2005). [Crossref³²⁶](#)

Andrew C Ahn, Junru Wu, Gary J Badger, Richard Hammerschlag, Helene M Langevin, Electrical impedance along connective tissue planes associated with acupuncture meridians, *BMC Complementary and Alternative Medicine*, 10.1186/1472-6882-5-10, 5, 1, (2005). [Crossref³²⁷](#)

E.E. Konofagou, H.M. Langevin, Using ultrasound to understand acupuncture, *IEEE Engineering in Medicine and Biology Magazine*, 10.1109/MEMB.2005.1411347, 24, 2, (41-46), (2005). [Crossref³²⁸](#)

R. Schleip, W. Klingler, F. Lehmann-Horn, Active fascial contractility: Fascia may be able to contract in a smooth muscle-like manner and thereby influence musculoskeletal dynamics, *Medical Hypotheses*, 10.1016/j.mehy.2005.03.005, 65, 2, (273-277), (2005). [Crossref³²⁹](#)

Paulo H. Hashimoto, The perineurial vessel: A possible candidate for the structural basis of the meridian (Jing - Luo) in Chinese medicine*, *Anatomical Science International*, 10.1111/j.1447-073X.2005.00118.x, 80, 4, (177-180), (2005). [Wiley Online Library³³⁰](#)

Dina Rait, Intercellular communication, NO and the biology of Chinese medicine, *Cell Communication and Signaling*, 10.1186/1478-811X-3-8, 3, 1, (2005). [Crossref³³¹](#)

Ai-Hui Li, Jun-Ming Zhang, Yi-Kuan Xie, Human acupuncture points mapped in rats are associated with excitable muscle/skin-nerve complexes with enriched nerve endings, *Brain Research*, 10.1016/j.brainres.2004.04.009, 1012, 1-2, (154-159), (2004). [Crossref³³²](#)

Kaung-Ti Yung, A Birdcage Model for the Chinese Meridian System Part II: The Meridian System as a Birdcage Resonator, *The American Journal of Chinese Medicine*, 10.1142/S0192415X04002582, 32, 06, (985-997), (2004). [Crossref³³³](#)

J. P. Jones, Y. K. Bae, L. Wilson, C. S. So, D. D. Kidney, Ultrasonic Imaging and Characterization of Acupuncture Points in Classical Oriental Medicine, *Acoustical Imaging*, 10.1007/978-1-4020-2402-3_66, (527-533), (2004). [Crossref³³⁴](#)

Helene M. Langevin, Elisa E. Konofagou, Gary J. Badger, David L. Churchill, James R. Fox, Jonathan Ophir, Brian S. Garra, Tissue displacements during acupuncture using ultrasound elastography techniques, *Ultrasound in Medicine & Biology*, 10.1016/j.ultrasmedbio.2004.07.010, 30, 9, (1173-1183), (2004). [Crossref³³⁵](#)

M. Bäcker, I.K. Gareus, N.T.M. Knoblauch, A. Michalsen, G.J. Dobos, Akupunktur in der Schmerztherapie – Hypothese zu adaptiven Prozessen, *Complementary Medicine Research*, 10.1159/000082815, 11, 6, (335-345), (2004). [Crossref³³⁶](#)

Opher Caspi, Cari Stelhorn, Melinda Connor, Sham in CAM, *Evidence-Based Integrative Medicine*, 10.2165/01197065-200401040-00002, 1, 4, (233-240), (2004). [Crossref³³⁷](#)

Bruce D. Curtis, J.J. Hurtak, Consciousness and Quantum Information Processing: Uncovering the Foundation for a Medicine of Light, *The Journal of Alternative and Complementary Medicine*, 10.1089/107555304322848931, 10, 1, (27-39), (2004). [Crossref³³⁸](#)

E.E. Konofagou, G.J. Badger, B.S. Garra, H.M. Langevin, *IEEE Symposium on Ultrasonics*, 2003, 10.1109/ULTSYM.2003.1293138, (1288-1291), (2003). [Crossref³³⁹](#)

Leon Chaitow, Judith DeLany, Neuromuscular Techniques in Orthopedics, *Techniques in Orthopaedics*, 10.1097/00013611-200303000-00013, 18, 1, (74-86), (2003). [Crossref³⁴⁰](#)

LiteratureWatch, *Alternative and Complementary Therapies*, 10.1089/10762800360520811, 9, 1, (49-50), (2003). [Crossref³⁴¹](#)

Michael McCarthy, Palpatory literacy, Chinese therapeutic bodywork (Tui Na) and the remediation of head, neck and shoulder pain, *Journal of Bodywork and Movement Therapies*, 10.1016/S1360-8592(03)00044-5, 7, 4, (262-277), (2003). [Crossref³⁴²](#)

Leon Chaitow, What binds us together?, *Journal of Bodywork and Movement Therapies*, 10.1016/S1360-8592(03)00020-2, 7, 2, (69-70), (2003). [Crossref³⁴³](#)

Joshi, Narahari & Mbbs, Msc & Pa'ez, Ximena & Araque, MBBS. (2012). Electroacupuncture Effects on the Disintegration of Beta Amyloid Sheets: Its Application to Alzheimer's Disease. *Medical Acupuncture*. 24. 145. 10.1089/acu.2012.0873. [ResearchGate³⁴⁴](#)

HRV, Ayurveda

Ram Manohar, P., Sorokin, O., Chacko, J., & Nampoothiri, V. (2018). An exploratory clinical study to determine the utility of heart rate variability analysis in the assessment of dosha imbalance. *Journal of Ayurveda and integrative medicine*, 9(2), 126–130. [Crossref³⁴⁵](#)

Travis F.T., Wallace R.K. Doşa brain-types: a neural model of individual differences. *J Ayurveda Integr Med*. 2015;6(4):280–285. [PMC³⁴⁶](#) - [PubMed³⁴⁷](#)

Tyagi A., Cohen M. Yoga and heart rate variability: a comprehensive review of the literature. *Int J Yoga*. 2016;9(2):97–113. [PMC³⁴⁸](#) - [PubMed³⁴⁹](#)

Masel E., Huber P., Engler T., Herbert Watzke H.H. Heart rate variability during treatment of breakthrough pain in patients with advanced cancer: a pilot study. *J Pain Res*. 2016 Dec;9:1215–1220. [PMC³⁵⁰](#) - [PubMed³⁵¹](#)

Kim E.-H., Park J.-H., Lee S.M., Gwak M.-S., Kim G.-S., Kim M.-H. Preoperative depressed mood and perioperative heart rate variability in patients with hepatic cancer. *J Clin Anesth*. 2016 Dec;35:332–338. [PubMed³⁵²](#)

Koszewicz M., Michalak S., Bilinska M., Budrewicz S., Zaborowski M., Slotwinski K. Profile of autonomic dysfunctions in patients with primary brain tumor and possible autoimmunity. *Clin Neurol Neurosurg*. 2016 Dec;151:51–54. [PubMed³⁵³](#)

Rastogi, S., & Singh, R. H. (2021). Principle of Hot (Ushna) and Cold (Sheeta) and Its Clinical Application in Ayurvedic Medicine. *Advances in experimental medicine and biology*, 1343, 39–55. [Crossref³⁵⁴](#)

334. https://doi.org/10.1007/978-1-4020-2402-3_66

335. <https://doi.org/10.1016/j.ultrasmedbio.2004.07.010>

336. <https://doi.org/10.1159/000082815>

337. <https://doi.org/10.2165/01197065-200401040-00002>

338. <https://doi.org/10.1089/107555304322848931>

339. <https://doi.org/10.1109/ULTSYM.2003.1293138>

340. <https://doi.org/10.1097/00013611-200303000-00013>

341. <https://doi.org/10.1089/10762800360520811>

342. [https://doi.org/10.1016/S1360-8592\(03\)00044-5](https://doi.org/10.1016/S1360-8592(03)00044-5)

343. [https://doi.org/10.1016/S1360-8592\(03\)00020-2](https://doi.org/10.1016/S1360-8592(03)00020-2)

344. https://www.researchgate.net/publication/236897521_Electroacupuncture_Effects_on_the_Disintegration_of_Beta_Amyloid_Sheets_Its_Application_to_Alzheimer's_Disease

345. <https://doi.org/10.1016/j.jaim.2017.06.008>

346. <http://www.ncbi.nlm.nih.gov/pmc/articles/pmc4719489/>

347. <https://pubmed.ncbi.nlm.nih.gov/26834428/>

348. <http://www.ncbi.nlm.nih.gov/pmc/articles/pmc4959333/>

349. <https://pubmed.ncbi.nlm.nih.gov/27512317/>

350. <http://www.ncbi.nlm.nih.gov/pmc/articles/pmc5161332/>

351. <https://pubmed.ncbi.nlm.nih.gov/28003771/>

352. <https://pubmed.ncbi.nlm.nih.gov/27871552/>

353. <https://pubmed.ncbi.nlm.nih.gov/27788421/>

313. <https://doi.org/10.1186/1471-2474-8-33>

314. <https://doi.org/10.1089/acm.2007.6351>

315. <https://doi.org/10.1007/978-3-540-36841-0>

316. <https://doi.org/10.1007/978-3-540-36841-0>

317. [https://doi.org/10.1016/S1887-8369\(07\)70217-X](https://doi.org/10.1016/S1887-8369(07)70217-X)

318. <https://doi.org/10.32725/kont.2007.060>

319. <https://doi.org/10.1016/j.jbmt.2006.07.004>

320. <https://doi.org/10.1016/j.mehy.2005.12.032>

321. <https://doi.org/10.1089/acm.2006.12.743>

322. <https://doi.org/10.1097/01.AOG.0000239498.38595.41>

323. <https://doi.org/10.1089/acm.2006.12.255>

324. <https://doi.org/10.1097/0000542-200505000-00024>

325. <https://doi.org/10.1213/01.ANE.0000142114.72117.E0>

326. <https://doi.org/10.1016/j.ackd.2005.04.002>

327. <https://doi.org/10.1186/1472-6882-5-10>

328. <https://doi.org/10.1109/MEMB.2005.1411347>

329. <https://doi.org/10.1016/j.mehy.2005.03.005>

330. <https://onlinelibrary.wiley.com/doi/10.1111/j.1447-073X.2005.00118.x>

331. <https://doi.org/10.1186/1478-811X-3-8>

332. <https://doi.org/10.1016/j.brainres.2004.04.009>

333. <https://doi.org/10.1142/S0192415X04002582>

Crossref³⁵⁴

Mills, P. J., Peterson, C. T., Wilson, K. L., Pung, M. A., Patel, S., Weiss, L., Kshirsagar, S. G., Tanzi, R. E., & Chopra, D. (2019). Relationships among classifications of ayurvedic medicine diagnostics for imbalances and western measures of psychological states: An exploratory study. *Journal of Ayurveda and integrative medicine*, 10 (3), 198–202. Crossref³⁵⁵

Pandey M.M., Rastogi S., Rawat A.K. Indian traditional ayurvedic system of medicine and nutritional supplementation. *Evid Based Complement Alternat Med*. 2013;2013:376327. - PMC³⁵⁶ - PubMed³⁵⁷

Chopra A., Doiphode V.V. Ayurvedic medicine. Core concept, therapeutic principles, and current relevance. *Med Clin North Am*. 2002;86(1):75–89. vii. - PubMed³⁵⁸

Zhou X., Ma Z., Zhang L., Zhou S., Wang J., Wang B. Heart rate variability in the prediction of survival in patients with cancer: a systematic review and meta-analysis. *J Psychosom Res*. 2016 Oct;89:20–25. - PubMed³⁵⁹

Taffe L., Stancil K., Bond V., Pemminati S., Goranta V.R., Kadur K. Differentiation of overweight from normal weight young adults by postprandial heart rate variability and systolic blood pressure. *J Clin Diagnostic Res*. 2016 Aug;10(8):CC01–CC06. - PMC³⁶⁰ - PubMed³⁶¹

Gupta J., Dube A., Singh V., Gupta R.C. Spectral analysis of heart rate variability in bronchial asthma patients. *Indian J Physiol Pharmacol*. 2012;56(4):330–336. - PubMed³⁶²

Sorokin O.V., Subotyalov M.A. Material of the all-Russian scientific and practical conference with international presence, October 26–27, 2011 Kemerovo, Russia. 2011. Comparative medical research of VedaPulse hardware and software kit // Health maintaining activities in educational system: theory and practice; pp. 225–230.

Kelkar P., Karamchandani S., Jinda S. Proceedings of conference on advance applications in physiological variability, BARC. 2010. Identifying tridasha for disease characterisation in morphology of an IPG pulse waveform.

Singh Harupjit. Thapar University; Patiala: 2016. Relationship between three ayurvedic doshas and heart rate variability frequency bands: a pilot study.

Deshpande H., Shivakumar, Kavita M.B., Mishra P., Chaturvedi A. Healthcare and disease management in Ayurveda. *Altern Ther Health Med*. 2001;7(2):44–50. - PubMed³⁶³

Anthony J.V., Joanne M.G. Understanding interobserver agreement: the kappa statistic. *Fam Med*. 2005 May;37(5):360–363. - PubMed³⁶⁴

Telles S., Pathak S., Kumar A., Mishra P., Balkrishna A. Ayurvedic doshas as predictors of sleep quality. *Med Sci Monit*. 2015;21:1421–1427. - PMC³⁶⁵ - PubMed³⁶⁶

Bell C., Heidel R.E., Sunega J., Drisko J. Ancient wisdom. Can ayurvedic prakriti provide invaluable insights into integrative medicine? *Ayurveda J Health*. 2017;27:27–34.

Cohen S., Kamarck T., Mermelstein R. A global measure of perceived stress. *J Health Soc Behav*. 1983;24(4):385–396. - PubMed³⁶⁷

Travis F.T., Wallace R.K. Dosha brain-types: a neural model of individual differences. *J Ayurveda Integr Med*. 2015;6(4):280–285. - PMC³⁶⁸ - PubMed³⁶⁹

Day S., Pahwa P. Prakriti and its associations with metabolism, chronic diseases, and genotypes: possibilities of new born screening and a lifetime of personalized prevention. *J Ayurveda Integr Med*. 2014;5(1):15–24. - PMC³⁷⁰ - PubMed³⁷¹

Purvyva M.C., Meena M.S. A review on role of prakriti in aging. *Ayu*. 2011;32(1):20–24. - PMC³⁷² - PubMed³⁷³

Pham, T., Lau, Z. J., Chen, S. H. A., & Makowski, D. (2021). Heart Rate Variability in Psychology: A Review of HRV Indices and an Analysis Tutorial. *Sensors (Basel, Switzerland)*, 21 (12), 3998. Crossref³⁷⁴

Lombardi F., Malliani A., Pagani M., Cerutti S. Heart Rate Variability and Its Sympatho-Vagal Modulation. *Cardiovasc. Res*. 1996;32:208–216. doi: 10.1016/0008-6363(96)00116-2. - DOI³⁷⁵ - PubMed³⁷⁶

Mccraty R., Shaffer F. Heart Rate Variability: New Perspectives on Physiological Mechanisms, Assessment of Self-regulatory Capacity, and Health Risk. *Glob. Adv. Heal. Med*. 2015;4:46–61. doi: 10.7453/gahmj.2014.073. - DOI³⁷⁷ - PMC³⁷⁸ - PubMed³⁷⁹

Thayer J.F., Yamamoto S.S., Brosschot J.F. The relationship of autonomic imbalance, heart rate variability and cardiovascular disease risk factors. *Int. J. Cardiol*. 2010;141:122–131. doi: 10.1016/j.ijcard.2009.09.543. - DOI³⁸⁰ - PubMed³⁸¹

Tiwari, R., Kumar, R., Malik, S., Raj, T., & Kumar, P. (2021). Analysis of Heart Rate Variability and Implication of Different Factors on Heart Rate Variability. *Current cardiolog*

reviews, 17 (5), e160721189770. Crossref³⁸²

Roy, S., Goswami, D. P., & Sengupta, A. (2020). Geometry of the Poincaré plot can segregate the two arms of autonomic nervous system - A hypothesis. *Medical Hypotheses*, 138, 109574. Crossref³⁸³

Gullett, N., Zajkowska, Z., Walsh, A., Harper, R., & Mondelli, V. (2023). Heart rate variability (HRV) as a way to understand associations between the autonomic nervous system (ANS) and affective states: A critical review of the literature. *International journal of psychophysiology : official journal of the International Organization of Psychophysiology*, 192, 35–42. Crossref³⁸⁴

Zou L., Sasaki J.E., Wei G.X., Huang T., Yeung A.S., Neto O.B., Chen K.W., Hui S.S. Effects of Mind-Body Exercises (Tai Chi/Yoga) on Heart Rate Variability Parameters and Perceived Stress: A Systematic Review with Meta-Analysis of Randomized Controlled Trials. *J. Clin. Med*. 2018;7:404. doi: 10.3390/jcm7110404. - DOI³⁸⁵ - PMC³⁸⁶ - PubMed³⁸⁷

Danylova T.V., Shmarhuv V.M., Vertel A.V., Matyushko B.K., Bondarenko A.F., Kychkyruk T., Petersen J. Effects of the eastern mind-body practices on mental health during the COVID-19 pandemic: When east meets west. *Wiad. Lek*. 2021;74:2850–2855. doi: 10.36740/WLek202111130. - DOI³⁸⁸ - PubMed³⁸⁹

Feneberg A.C., Nater U.M. An Ecological Momentary Music Intervention for the Reduction of Acute Stress in Daily Life: A Mixed Methods Feasibility Study. *Front. Psychol*. 2022;13:927705. doi: 10.3389/fpsyg.2022.927705. - DOI³⁹⁰ - PMC³⁹¹ - PubMed³⁹²

Breit S., Kupferberg A., Rogler G., Hasler G. Vagus Nerve as Modulator of the Brain-Gut Axis in Psychiatric and Inflammatory Disorders. *Front. Psychiatry*. 2018;9:44. doi: 10.3389/fpsyg.2018.00044. - DOI³⁹³ - PMC³⁹⁴ - PubMed³⁹⁵

Laborde S., Mosley E., Thayer J.F. Heart rate variability and cardiac vagal tone in psychophysiological research—recommendations for experiment planning, data analysis, and data reporting. *Front. Psychol*. 2017;8:213. doi: 10.3389/fpsyg.2017.00213. - DOI³⁹⁶ - PMC³⁹⁷ - PubMed³⁹⁸

Chesky K.S., Michel D.E. The Music Vibration Table (MVT): Developing a Technology and Conceptual Model for Pain Relief. *Music Ther. Perspect*. 1991;9:32–38. doi: 10.1093/mtp/9.1.32. - DOI³⁹⁹

Campbell E., Burger B., Ala-Ruona E. A Single-Case, Mixed Methods Study Exploring the Role of Music Listening in Vibroacoustic Treatment. *Voices World Forum Music Ther*. 2019;19:27. doi: 10.15845/voices.v19i2.2556. - DOI⁴⁰⁰

Braun Janzen T., Al Shirawi M.I., Rotzinger S., Kennedy S.H., Bartel L. A Pilot Study Investigating the Effect of Music-Based Intervention on Depression and Anhedonia. *Front. Psychol*. 2019;10:1038. doi: 10.3389/fpsyg.2019.01038. - DOI⁴⁰¹ - PMC⁴⁰² - PubMed⁴⁰³

Karkkainen M., Mitsui J. The Effects of Sound Based Vibration Treatment on the Human Mind and Body the Physioacoustic Method. *J. Int. Soc. Life Inf. Sci*. 2006;24:155–164. doi: 10.18936/islis.24.1_155. - DOI⁴⁰⁴

Jirakittayakorn N., Wongsawat Y. Brain Responses to 40-Hz Binaural Beat and Effects on Emotion and Memory. *Int. J. Psychophysiol*. 2017;120:96–107. doi: 10.1016/j.ijpsycho.2017.07.010. - DOI⁴⁰⁵ - PubMed⁴⁰⁶

Fooks C., Niebuhr O. Assessing Vibroacoustic Sound Massage Through The Biosignal of Human Speech: Evidence of Improved Wellbeing; Proceedings of the IEEE International Conference on Acoustics, Speech and Signal Processing (ICASSP); Seoul, Republic of Korea. 14–19 April 2024; pp. 11401–11405.

Gitler, A., Vanacker, L., De Couck, M., De Leeuw, I., & Gidron, Y. (2022). Neuromodulation Applied to Diseases: The Case of HRV Biofeedback. *Journal of clinical medicine*, 11 (19), 5927. Crossref⁴⁰⁷

Zhu, J., Ji, L., & Liu, C. (2019). Heart rate variability monitoring for emotion and disorders of emotion. *Physiological measurement*, 40 (6), 064004. Crossref⁴⁰⁸

Nunan, D., Sandercock, G. R., & Brodie, D. A. (2010). A quantitative systematic review of normal values for short-term heart rate variability in healthy adults. *Pacing and clinical electrophysiology : PACE*, 33 (11), 1407–1417. Crossref⁴⁰⁹

Qu, X., Wu, Y., Liu, J., & Cui, L. (2020). HRV-Spark: Computing Heart Rate Variability Measures Using Apache Spark. *Proceedings. IEEE International Conference on Bioinformatics and Biomedicine*, 2020, 10.1109/bibm49941.2020.9313361. Crossref⁴¹⁰

354. https://doi.org/10.1007/978-3-030-80983-6_4

355. <https://doi.org/10.1016/j.jaim.2018.02.001>

356. <http://www.ncbi.nlm.nih.gov/pmc/articles/PMC3705899/>

357. <https://pubmed.ncbi.nlm.nih.gov/23864888/>

358. <https://pubmed.ncbi.nlm.nih.gov/11795092/>

359. <https://pubmed.ncbi.nlm.nih.gov/27663106/>

360. <http://www.ncbi.nlm.nih.gov/pmc/articles/PMC5028518/>

361. <https://pubmed.ncbi.nlm.nih.gov/27656434/>

362. <https://pubmed.ncbi.nlm.nih.gov/23781652/>

363. <https://pubmed.ncbi.nlm.nih.gov/11253416/>

364. <https://pubmed.ncbi.nlm.nih.gov/15883903/>

365. <http://www.ncbi.nlm.nih.gov/pmc/articles/PMC4448595/>

366. <https://pubmed.ncbi.nlm.nih.gov/25982247/>

367. <https://pubmed.ncbi.nlm.nih.gov/6668417/>

368. <http://www.ncbi.nlm.nih.gov/pmc/articles/PMC4719489/>

369. <https://pubmed.ncbi.nlm.nih.gov/26834428/>

370. <http://www.ncbi.nlm.nih.gov/pmc/articles/PMC4012357/>

371. <https://pubmed.ncbi.nlm.nih.gov/24812471/>

372. <http://www.ncbi.nlm.nih.gov/pmc/articles/PMC3215411/>

373. <https://pubmed.ncbi.nlm.nih.gov/22131753/>

374. <https://doi.org/10.3390/s21123998>

375. [https://doi.org/10.1016/0008-6363\(96\)00116-2](https://doi.org/10.1016/0008-6363(96)00116-2)

376. <https://pubmed.ncbi.nlm.nih.gov/8796106/>

377. <https://doi.org/10.7453/gahmj.2014.073>

378. <http://www.ncbi.nlm.nih.gov/pmc/articles/PMC4311559/>

379. <https://pubmed.ncbi.nlm.nih.gov/25694852/>

380. <https://doi.org/10.1016/j.ijcard.2009.09.543>

381. <https://pubmed.ncbi.nlm.nih.gov/19910061/>

382. <https://doi.org/10.2174/1573403X16999201231203854>

383. <https://doi.org/10.1016/j.mehy.2020.109574>

384. <https://doi.org/10.1016/j.ijpsycho.2023.08.001>

385. <https://doi.org/10.3390/jcm7110404>

386. <https://www.ncbi.nlm.nih.gov/pmc/articles/PMC6262541/>

387. <https://pubmed.ncbi.nlm.nih.gov/30384420/>

388. <https://doi.org/10.36740/wlck202111130>

389. <https://pubmed.ncbi.nlm.nih.gov/35023505/>

390. <https://doi.org/10.3389/fpsyg.2022.927705>

391. <https://www.ncbi.nlm.nih.gov/pmc/articles/PMC9558284/>

392. <https://pubmed.ncbi.nlm.nih.gov/36248548/>

393. <https://doi.org/10.3389/fpsyg.2018.00044>

394. <http://www.ncbi.nlm.nih.gov/pmc/articles/PMC5859128/>

395. <https://pubmed.ncbi.nlm.nih.gov/29593576/>

396. <https://doi.org/10.3389/fpsyg.2017.00213>

397. <http://www.ncbi.nlm.nih.gov/pmc/articles/PMC5316555/>

398. <https://pubmed.ncbi.nlm.nih.gov/28265249/>

399. <https://doi.org/10.1093/mtp/9.1.32>

400. <https://doi.org/10.15845/voices.v19i2.2556>

401. <https://doi.org/10.3389/fpsyg.2019.01038>

402. <https://www.ncbi.nlm.nih.gov/pmc/articles/PMC6517496/>

403. <https://pubmed.ncbi.nlm.nih.gov/31133945/>

404. https://doi.org/10.18936/islis.24.1_155

405. <https://doi.org/10.1016/j.ijpsycho.2017.07.010>

406. <https://pubmed.ncbi.nlm.nih.gov/28739482/>

407. <https://doi.org/10.3390/jcm11195927>

408. <https://doi.org/10.1088/1361-6579/ab1887>

409. <https://doi.org/10.1111/j.1540-8159.2010.02841.x>

410. <https://doi.org/10.1109/bibm49941.2020.9313361>

Rahul, L. R., Sarkar, R., Sengupta, A., Chandra, B. S., & Jana, S. (2023). Novel AI-based HRV analysis (NAIHA) in healthcare automation and related applications. *Journal of electrocardiology*, 79, 112–121. [Crossref⁴¹¹](#)

Taoum, A., Bisiaux, A., Tilquin, F., Le Guillou, Y., & Carrault, G. (2022). Validity of Ultra-Short-Term HRV Analysis Using PPG-A Preliminary Study. *Sensors (Basel, Switzerland)*, 22 (20), 7995. [Crossref⁴¹²](#)

Ortega, E., Bryan, C. Y. X., & Christine, N. S. C. (2024). The Pulse of Singapore: Short-Term HRV Norms. *Applied psychophysiology and biofeedback*, 49 (1), 55–61. [Crossref⁴¹³](#)

Vondrasek, J. D., Riemann, B. L., Grosicki, G. J., & Flatt, A. A. (2023). Validity and Efficacy of the Elite HRV Smartphone Application during Slow-Paced Breathing. *Sensors (Basel, Switzerland)*, 23 (23), 9496. [Crossref⁴¹⁴](#)

Malik M., Bigger J.T., Camm A.J., Kleiger R.E., Malliani A., Moss A.J., Schwartz P.J. Heart rate variability: Standards of measurement, physiological interpretation, and clinical use. *Eur. Heart J.* 1996;17:354–381. doi: 10.1093/oxfordjournals.eurheartj.a014868. - [DOI⁴¹⁵](#) - [PubMed⁴¹⁶](#)

Shaffer F., McCraty R., Zerr C.L. A healthy heart is not a metronome: An integrative review of the heart's anatomy and heart rate variability. *Front. Psychol.* 2014;5:1040. doi: 10.3389/fpsyg.2014.01040. - [DOI⁴¹⁷](#) - [PMC⁴¹⁸](#) - [PubMed⁴¹⁹](#)

Grosicki G.J., Culver M.N., McMillan N.K., Cross B.L., Montoye A.H.K., Riemann B.L., Flatt A.A. Self-recorded heart rate variability profiles are associated with health and lifestyle markers in young adults. *Clin. Auton. Res.* 2022;32:507–518. doi: 10.1007/s10286-022-00884-z. - [DOI⁴²⁰](#) - [PubMed⁴²¹](#)

Natarajan A., Pantelopoulou A., Emir-Farinas H., Natarajan P. Heart rate variability with photoplethysmography in 8 million individuals: A cross-sectional study. *Lancet Digit. Health.* 2020;2:e650–e657. doi: 10.1016/S2589-7500(20)30246-6. - [DOI⁴²²](#) - [PubMed⁴²³](#)

Talbert, L. D., Kaelberer, Z., Gleave, E., Driggs, A., Driggs, A. S., Steffen, P. R., Baldwin, S. A., & Larson, M. J. (2023). A systematic review of heart rate variability (HRV) biofeedback treatment following traumatic brain injury (TBI). *Brain injury*, 37 (7), 635–642. [Crossref⁴²⁴](#)

Jeyhani, V., Mahdiani, S., Peltokangas, M., & Vehkaoja, A. (2015). Comparison of HRV parameters derived from photoplethysmography and electrocardiography signals. *Annual International Conference of the IEEE Engineering in Medicine and Biology Society. IEEE Engineering in Medicine and Biology Society. Annual International Conference, 2015*, 5952–5955. [Crossref⁴²⁵](#)

Brennan, M., Palaniswami, M., & Kamen, P. (2002). Poincaré plot interpretation using a physiological model of HRV based on a network of oscillators. *American journal of physiology. Heart and circulatory physiology*, 283 (5), H1873–H1886. [Crossref⁴²⁶](#)

Ken Umetani MD A B C, Donald H Singer MD, FACC A B, Rollin McCraty MS C, Mike Atkinson C, Twenty-Four Hour Time Domain Heart Rate Variability and Heart Rate: Relations to Age and Gender Over Nine Decades. [DOI⁴²⁷](#), [ScienceDirect⁴²⁸](#)

Mente/cuerpo

Borghesi, F., Cremascoli, R., Chirico, A., Bianchi, L., Di Moia, A., Priano, L., Piedimonte, A., Mauro, A., & Cipresso, P. (2024). Mind and body connection in expert meditators: a computational study based on central and peripheral nervous system. *BMC complementary medicine and therapies*, 24 (1), 117. [Crossref⁴²⁹](#)

Brandmeyer T, Delorme A, Wahbeh H. The neuroscience of meditation: classification, phenomenology, correlates, and mechanisms. *Prog Brain Res.* 2019;1(244):1–29. - [PubMed⁴³⁰](#)

Travis F, Shear J. Focused attention, open monitoring and automatic self-transcending: categories to organize meditations from Vedic, Buddhist Chinese Traditions. *Conscious Cogn.* 2010;19(4):1110–1118. doi: 10.1016/j.concog.2010.01.007. - [DOI⁴³¹](#) - [PubMed⁴³²](#)

Liberman N, Trope Y. The psychology of transcending the here and now. *Science* 2008;322(5905):1201–5. doi: 10.1126/science.1161958. - [DOI⁴³³](#) - [PMC⁴³⁴](#) - [PubMed⁴³⁵](#)

Ahani A, Wahbeh H, Nezamfar H, Miller M, Erdogmus D, Oken B. Quantitative change of EEG and respiration signals during mindfulness meditation. *J Neuroeng Rehabil* 2014;11(1):1. doi: 10.1186/1743-0003-11-87. - [DOI⁴³⁶](#) - [PMC⁴³⁷](#) - [PubMed⁴³⁸](#)

411. <https://doi.org/10.1016/j.jelectrocard.2023.03.013>

412. <https://doi.org/10.3390/s22207995>

413. <https://doi.org/10.1007/s10484-023-09603-4>

414. <https://doi.org/10.3390/s23239496>

415. <https://doi.org/10.1093/oxfordjournals.eurheartj.a014868>

416. <https://pubmed.ncbi.nlm.nih.gov/8737210/>

417. <https://doi.org/10.3389/fpsyg.2014.01040>

418. <http://www.ncbi.nlm.nih.gov/pmc/articles/pmc4179748/>

419. <https://pubmed.ncbi.nlm.nih.gov/25324790/>

420. <https://doi.org/10.1007/s10286-022-00884-z>

421. <https://pubmed.ncbi.nlm.nih.gov/35999422/>

422. [https://doi.org/10.1016/s2589-7500\(20\)30246-6](https://doi.org/10.1016/s2589-7500(20)30246-6)

423. <https://pubmed.ncbi.nlm.nih.gov/33328029/>

424. <https://doi.org/10.1080/02699052.2023.2208880>

425. <https://doi.org/10.1109/EMBC.2015.7319747>

426. <https://doi.org/10.1152/ajpheart.00405.2000>

427. [https://doi.org/10.1016/S0735-1097\(97\)00554-8](https://doi.org/10.1016/S0735-1097(97)00554-8)

428. <https://www.sciencedirect.com/science/article/pii/S0735109797005548>

429. <https://doi.org/10.1186/s12906-024-04413-5>

430. <https://pubmed.ncbi.nlm.nih.gov/30732832/>

431. <https://doi.org/10.1016/j.concog.2010.01.007>

432. <https://pubmed.ncbi.nlm.nih.gov/20167507/>

433. <https://doi.org/10.1126/science.1161958>

434. <http://www.ncbi.nlm.nih.gov/pmc/articles/pmc2643344/>

435. <https://pubmed.ncbi.nlm.nih.gov/19023074/>

436. <https://doi.org/10.1186/1743-0003-11-87>

Ahani A, Wahbeh H, Miller M, Nezamfar H, Erdogmus D, Oken B. Change in physiological signals during mindfulness meditation. *Int IEEE EMBS Conf Neural Eng.* 2013;1378–81. - [PMC⁴³⁹](#) - [PubMed⁴⁴⁰](#)

Stapleton P, Dispenza J, McGill S, Sabot D, Peach M, Raynor D. Large effects of brief meditation intervention on EEG spectra in meditation novices. *IBRO Rep.* 2020;1(9):290–301. doi: 10.1016/j.ibror.2020.10.006. - [DOI⁴⁴¹](#) - [PMC⁴⁴²](#) - [PubMed⁴⁴³](#)

Travis F, Haaga DAF, Hagelin J, Tanner M, Nidich S, Gaylord-King C, et al. Effects of Transcendental Meditation practice on brain functioning and stress reactivity in college students. *Int J Psychophysiol.* 2009;71(2):170–176. doi: 10.1016/j.ijpsycho.2008.09.007. - [DOI⁴⁴⁴](#) - [PubMed⁴⁴⁵](#)

Phongsuphap S, Pongsupap Y, Chandanamatha P, Lursinsap C. Changes in heart rate variability during concentration meditation. *Int J Cardiol.* 2008;130(3):481–484. doi: 10.1016/j.ijcard.2007.06.103. - [DOI⁴⁴⁶](#) - [PubMed⁴⁴⁷](#)

Nesvold A, Fagerland MW, Davanger S, Ellingsen Ø, Solberg EE, Hølen A, et al. Increased heart rate variability during nondirective meditation. *Eur J Prev Cardiol.* 2012;19(4):773–80. doi: 10.1177/1741826711414625. - [DOI⁴⁴⁸](#) - [PubMed⁴⁴⁹](#)

Léonard A, Clément S, Kuo CD, Manto M. Changes in heart rate variability during heartfulness meditation: a power spectral analysis including the residual spectrum. *Front Cardiovasc Med.* 2019;14(6):62. doi: 10.3389/fcvm.2019.00062. - [DOI⁴⁵⁰](#) - [PMC⁴⁵¹](#) - [PubMed⁴⁵²](#)

Pasquini HA, Tanaka GK, Basile LFH, Velasques B, Lozano MD, Ribeiro P. Electrophysiological correlates of long-term Soto Zen meditation. *Biomed Res Int.* 2015;2015:598496. doi: 10.1155/2015/598496. - [DOI⁴⁵³](#) - [PMC⁴⁵⁴](#) - [PubMed⁴⁵⁵](#)

Cipresso P, Serino S, Borghesi F, Tartarisco G, Riva G, Pioggia G, et al. Continuous measurement of stress levels in naturalistic settings using heart rate variability: an experience-sampling study driving a machine learning approach. *Acta IMEKO.* 2021;10(4):239. doi: 10.2014/acta_imeko.v10i4.1183. - [DOI⁴⁵⁶](#)

Berntson GG, Thomas Bigger J, Eckberg DL, Grossman P, Kaufmann PG, Malik M, et al. Heart rate variability: origins, methods, and interpretive caveats. *Psychophysiology.* 1997;34(6):623–648. doi: 10.1111/j.1469-8986.1997.tb02140.x. - [DOI⁴⁵⁷](#) - [PubMed⁴⁵⁸](#)

Acharya UR, Joseph KP, Kannathal N, Lim CM, Suri JS. Heart rate variability: a review. *Med Biol Eng Comput.* 2006;44(12):1031–1051. doi: 10.1007/s11517-006-0119-0. - [DOI⁴⁵⁹](#) - [PubMed⁴⁶⁰](#)

Fell J, Axmacher N, Haupt S. From alpha to gamma: Electrophysiological correlates of meditation-related states of consciousness. *Med Hypotheses.* 2010;75(2):218–224. doi: 10.1016/j.mehy.2010.02.025. - [DOI⁴⁶¹](#) - [PubMed⁴⁶²](#)

Rodriguez-Larios J, Faber P, Achermann P, Tei S, Alaerts K. From thoughtless awareness to effortful cognition: alpha - theta cross-frequency dynamics in experienced meditators during meditation, rest and arithmetic. *Sci Rep.* 2020;10(1):1–11. doi: 10.1038/s41598-020-62392-2. - [DOI⁴⁶³](#) - [PMC⁴⁶⁴](#) - [PubMed⁴⁶⁵](#)

Cahn BR, Delorme A, Polich J. Occipital gamma activation during Vipassana meditation. *Cogn Process.* 2010;11(1):39–56. doi: 10.1007/s10339-009-0352-1. - [DOI⁴⁶⁶](#) - [PMC⁴⁶⁷](#) - [PubMed⁴⁶⁸](#)

Borghesi F, Chirico A, Pedroli E, Cipriani GE, Canessa N, Amanzio M, et al. Exploring Biomarkers of mental flexibility in healthy aging: a computational psychometric study. *Sensors (Basel)* 2023;23(15):6983. doi: 10.3390/s23156983. - [DOI⁴⁶⁹](#) - [PMC⁴⁷⁰](#) - [PubMed⁴⁷¹](#)

Fang, S., & Zhang, W. (2024). Heart-Brain Axis: A Narrative Review of the Interaction between Depression and Arrhythmia. *Biomedicines*, 12 (8), 1719. [Crossref⁴⁷²](#)

Gullett N., Zajkowska Z., Walsh A., Harper R., Mondelli V. Heart rate variability (HRV) as a way to understand associations between the autonomic nervous system (ANS) and affective states: A critical review of the literature. *Int. J. Psychophysiol.* 2023;192:35–42. doi: 10.1016/j.ijpsycho.2023.08.001. - [DOI⁴⁷³](#) - [PubMed⁴⁷⁴](#)

Bassett D. A literature review of heart rate variability in depressive and bipolar disorders. *Aust. New Zealand J. Psychiatry.* 2015;50:511–519. doi: 10.1177/0004867415622689. - [DOI⁴⁷⁵](#)

437. <http://www.ncbi.nlm.nih.gov/pmc/articles/pmc4060143/>

438. <https://pubmed.ncbi.nlm.nih.gov/24939519/>

439. <http://www.ncbi.nlm.nih.gov/pmc/articles/pmc3988787/>

440. <https://pubmed.ncbi.nlm.nih.gov/24748422/>

441. <https://doi.org/10.1016/j.ibror.2020.10.006>

442. <http://www.ncbi.nlm.nih.gov/pmc/articles/pmc7649620/>

443. <https://pubmed.ncbi.nlm.nih.gov/33204893/>

444. <https://doi.org/10.1016/j.ijpsycho.2008.09.007>

445. <https://pubmed.ncbi.nlm.nih.gov/18854202/>

446. <https://doi.org/10.1016/j.ijcard.2007.06.103>

447. <https://pubmed.ncbi.nlm.nih.gov/17764770/>

448. <https://doi.org/10.1177/1741826711414625>

449. <https://pubmed.ncbi.nlm.nih.gov/21693507/>

450. <https://doi.org/10.3389/fcvm.2019.00062>

451. <http://www.ncbi.nlm.nih.gov/pmc/articles/pmc6527777/>

452. <https://pubmed.ncbi.nlm.nih.gov/31139634/>

453. <https://doi.org/10.1155/2015/598496>

454. <http://www.ncbi.nlm.nih.gov/pmc/articles/pmc4302970/>

455. <https://pubmed.ncbi.nlm.nih.gov/25632397/>

456. https://doi.org/10.21014/acta_imeko.v10i4.1183

457. <https://doi.org/10.1111/j.1469-8986.1997.tb02140.x>

458. <https://pubmed.ncbi.nlm.nih.gov/9401419/>

459. <https://doi.org/10.1007/s11517-006-0119-0>

460. <https://pubmed.ncbi.nlm.nih.gov/17111118/>

461. <https://doi.org/10.1016/j.mehy.2010.02.025>

462. <https://pubmed.ncbi.nlm.nih.gov/20227193/>

463. <https://doi.org/10.1038/s41598-020-62392-2>

464. <http://www.ncbi.nlm.nih.gov/pmc/articles/pmc7096392/>

465. <https://pubmed.ncbi.nlm.nih.gov/32214173/>

466. <https://doi.org/10.1007/s10339-009-0352-1>

467. <http://www.ncbi.nlm.nih.gov/pmc/articles/pmc2812711/>

468. <https://pubmed.ncbi.nlm.nih.gov/20013298/>

469. <https://doi.org/10.3390/s23156983>

470. <http://www.ncbi.nlm.nih.gov/pmc/articles/pmc10422551/>

471. <https://pubmed.ncbi.nlm.nih.gov/37571766/>

472. <https://doi.org/10.3390/biomedicines12081719>

473. <https://doi.org/10.1016/j.ijpsycho.2023.08.001>

474. <https://pubmed.ncbi.nlm.nih.gov/37543289/>

⁴⁷⁵ - PubMed⁴⁷⁶

Zhu J., Ji L., Liu C. Heart rate variability monitoring for emotion and disorders of emotion. *Physiol. Meas.* 2019;40:064004. doi: 10.1088/1361-6579/ab1887. - DOI⁴⁷⁷ - PubMed⁴⁷⁸

Chalmers J.A., Quintana D.S., Abbott M.J., Kemp A.H. Anxiety Disorders are Associated with Reduced Heart Rate Variability: A Meta-Analysis. *Front. Psychiatry.* 2014;5:80. doi: 10.3389/fpsy.2014.00080. - DOI⁴⁷⁹ - PMC⁴⁸⁰ - PubMed⁴⁸¹

Chang H.A., Chang C.C., Chen C.L., Kuo T.B., Lu R.B., Huang S.Y. Major depression is associated with cardiac autonomic dysregulation. *Acta Neuropsychiatr.* 2012;24:318–327. doi: 10.1111/j.1601-5215.2011.00647.x. - DOI⁴⁸² - PubMed⁴⁸³

Burke J.H., Goldberger J.J., Ehler F.A., Kruse J.T., Parker M.A., Kadish A.H. Gender differences in heart rate before and after autonomic blockade: Evidence against an intrinsic gender effect. *Am. J. Med.* 1996;100:537–543. doi: 10.1016/S0002-9343(96)00018-6. - DOI⁴⁸⁴ - PubMed⁴⁸⁵

Kittnar O. Sex Related Differences in Electrocardiography. *Physiol. Res.* 2023;72:S127–S135. doi: 10.33549/physiolres.934952. - DOI⁴⁸⁶ - PMC⁴⁸⁷ - PubMed⁴⁸⁸

Kotov R., Gamez W., Schmidt F., Watson D. Linking “big” personality traits to anxiety, depressive, and substance use disorders: A meta-analysis. *Psychol. Bull.* 2010;136:768–821. doi: 10.1037/a0020327. - DOI⁴⁸⁹ - PubMed⁴⁹⁰

Godin P.J., Buchman T.G. Uncoupling of biological oscillators: A complementary hypothesis concerning the pathogenesis of multiple organ dysfunction syndrome. *Crit. Care Med.* 1996;24:1107–1116. doi: 10.1097/00003246-199607000-00008. - DOI⁴⁹¹ - PubMed⁴⁹²

Wang, L., Hao, J., & Zhou, T. H. (2023). ECG Multi-Emotion Recognition Based on Heart Rate Variability Signal Features Mining. *Sensors (Basel, Switzerland)*, 23 (20), 8636. [Crossref⁴⁹³](#)

Cai Y., Li X., Li J. Emotion Recognition Using Different Sensors, Emotion Models, Methods and Datasets: A Comprehensive Review. *Sensors.* 2023;23:2455. doi: 10.3390/s23052455. - DOI⁴⁹⁴ - PMC⁴⁹⁵ - PubMed⁴⁹⁶

Xiefeng, C., Wang, Y., Dai, S., Zhao, P., & Liu, Q. (2019). Heart sound signals can be used for emotion recognition. *Scientific reports*, 9 (1), 6486. [Crossref⁴⁹⁷](#)

Hasnul, M. A., Ab Aziz, N. A., & Abd Aziz, A. (2023). Augmenting ECG Data with Multiple Filters for a Better Emotion Recognition System. *Arabian journal for science and engineering*, 1–22. Advance online publication. [Crossref⁴⁹⁸](#)

Hasnul, M. A., Aziz, N. A. A., Alelyani, S., Mohana, M., & Aziz, A. A. (2021). Electrocardiogram-Based Emotion Recognition Systems and Their Applications in Healthcare-A Review. *Sensors (Basel, Switzerland)*, 21 (15), 5015. [Crossref⁴⁹⁹](#)

Li, Y., Tan, R., Lin, T., Liu, Q., Wang, C. D., & Chen, M. (2024). ER-GET: Emotion Recognition Based on Global ECG Trajectory. *IEEE journal of biomedical and health informatics*, 28 (9), 5201–5213. [Crossref⁵⁰⁰](#)

Woods, R. A., & Hill, P. B. (2022). Myers Briggs. In *StatPearls*. StatPearls Publishing. [PubMed⁵⁰¹](#)

Wallick, M. M., & Cambre, K. M. (1999). Personality types in academic medicine. *The Journal of the Louisiana State Medical Society : official organ of the Louisiana State Medical Society*, 151 (7), 378–383. [PubMed⁵⁰²](#)

Tobacyk, J. J., Livingston, M. M., & Robbins, J. E. (2008). Relationships between Myers-Briggs type indicator measure of psychological type and neo measure of big five personality factors in Polish University students: a preliminary cross-cultural comparison. *Psychological reports*, 103 (2), 588–590. [Crossref⁵⁰³](#)

Eicke, F. J., Blake, G., & Replegle, W. (1993). A comparative view of the Myers-Briggs type indicator. *Family medicine*, 25 (3), 186–190. [PubMed⁵⁰⁴](#)

Electromagnetism

Blank, Martin; Goodman, Reba . (2011). DNA is a fractal antenna in electromagnetic fields. *International Journal of Radiation Biology*, 87(4), 409–415. [Crossref⁵⁰⁵](#)

Cantero, M.d.R., Villa Etchegoyen, C., Perez, P.L. et al. Bundles of Brain Microtubules Generate Electrical Oscillations. *Sci Rep* 8, 11899 (2018). [Crossref⁵⁰⁶](#)

Gutierrez, B.C., Cantiello, H.F. & Cantero, M. The electrical properties of isolated microtubules. *Sci Rep* 13, 10165 (2023). [Crossref⁵⁰⁷](#)

Meijer, Dirk. (2018). Processes of Science and Art Modeled as a Holoflux of Information Using Toroidal Geometry. *Open Journal of Philosophy.* 8. 365-400. [10.4236/ojpp.2018.84026⁵⁰⁸](#)

Kuman, Maria. (2018). Our Weak Nonlinear Electromagnetic Field (Nemf) that Rules Everything in the Body is Emotionally Sensitive. *Journal of Complementary Medicine & Alternative Healthcare.* 8. [10.19080/JCMAH.2018.08.555731⁵⁰⁹](#)

475. <https://doi.org/10.1177/0004867415622689>

476. <https://pubmed.ncbi.nlm.nih.gov/26698824/>

477. <https://doi.org/10.1088/1361-6579/ab1887>

478. <https://pubmed.ncbi.nlm.nih.gov/30974428/>

479. <https://doi.org/10.3389/fpsy.2014.00080>

480. <http://www.ncbi.nlm.nih.gov/pmc/articles/pmc4092363/>

481. <https://pubmed.ncbi.nlm.nih.gov/25071612/>

482. <https://doi.org/10.1111/j.1601-5215.2011.00647.x>

483. <https://pubmed.ncbi.nlm.nih.gov/23287173/>

484. [https://doi.org/10.1016/s0002-9343\(96\)00018-6](https://doi.org/10.1016/s0002-9343(96)00018-6)

485. <https://pubmed.ncbi.nlm.nih.gov/8644766/>

486. <https://doi.org/10.33549/physiolres.934952>

487. <http://www.ncbi.nlm.nih.gov/pmc/articles/pmc10660582/>

488. <https://pubmed.ncbi.nlm.nih.gov/37565417/>

489. <https://doi.org/10.1037/a0020327>

490. <https://pubmed.ncbi.nlm.nih.gov/20804236/>

491. <https://doi.org/10.1097/00003246-199607000-00008>

492. <https://pubmed.ncbi.nlm.nih.gov/8674321/>

493. <https://doi.org/10.3390/s23052455>

494. <https://doi.org/10.3390/s23052455>

495. <http://www.ncbi.nlm.nih.gov/pmc/articles/pmc10007272/>

496. <https://pubmed.ncbi.nlm.nih.gov/36904659/>

497. <https://doi.org/10.1038/s41598-019-42826-2>

498. <https://doi.org/10.1007/s13369-022-07585-9>

499. <https://doi.org/10.3390/s21155015>

500. <https://doi.org/10.1109/JBHI.2024.3403188>

501. <https://pubmed.ncbi.nlm.nih.gov/32119483/>

502. <https://pubmed.ncbi.nlm.nih.gov/10474985/>

503. <https://doi.org/10.2466/pr0.103.2.588-590>

504. <https://pubmed.ncbi.nlm.nih.gov/8458560/>

505. <https://doi.org/10.3109/09553002.2011.538130>

506. <https://doi.org/10.1038/s41598-018-30453-2>

507. <https://doi.org/10.1038/s41598-023-36801-1>

508. https://www.researchgate.net/publication/326972894_Processes_of_Science_and_Art_Modeled_as_a_Holoflux_of_Information_Using_Toroidal_Geometry

509. https://www.researchgate.net/publication/330217977_Our_Weak_Nonlinear_Electromagnetic_Field_Nemf_that_Rules_Everything_in_the_Body_is_Emotionally_Sensitive

Anexo 3.

Bibliografía

1. **"Prología: realice su proyecto vital - Libro 1: enfermedad, curación, transmutación: el camino de los recursos"** de Christine Degoy
Una guía innovadora que reexamina la salud y el bienestar a través de un enfoque sistémico, permitiéndole redefinir su existencia y acceder a una comprensión más profunda de su proyecto vital. Este libro le proporciona las herramientas que necesita para cultivar la comunicación interior, transformar su percepción de la realidad y encarnar plenamente su razón de ser.
2. **"Prología: redescubrir el sentido de la vida - Libro 2: El proyecto vital en el cuerpo: comprender, desbloquear, transmutar"** de Christine Degoy
Sumérjase en la descodificación prología de órganos para descubrir cómo cada parte de su cuerpo refleja dimensiones más profundas de su existencia. Este libro explora los vínculos entre sus experiencias vitales y su salud física, ofreciendo claves para comprender, desbloquear y transmutar los bloqueos energéticos. Al centrarse en los recursos internos y los potenciales ocultos, este libro le invita a abrazar su proyecto vital a través de una visión holística, permitiéndole armonizar su cuerpo y su mente para una vida plenamente realizada.
3. **"El cuerpo eléctrico: El electromagnetismo y los cimientos de la vida"** de Robert Becker y Gary Selden
Este libro pionero explora el campo electromagnético del cuerpo humano y sus profundas implicaciones para la curación, el flujo de energía y la salud. Las investigaciones de Becker sobre la bioelectricidad aportan ideas esenciales para comprender la ciencia que se esconde tras los sistemas energéticos del cuerpo.
4. **"La chispa en la máquina: Cómo la ciencia de la acupuntura explica los misterios de la medicina occidental"** del Dr. Daniel Keown
La obra del Dr. Keown tiende un puente entre la ciencia médica occidental y la antigua práctica de la acupuntura, ofreciendo una explicación exhaustiva de cómo fluye la energía por el cuerpo y cómo puede aprovecharse para la curación.
5. **"Medicina energética: La base científica"** de James L. Oschman
Este libro ofrece una exploración exhaustiva de la ciencia que subyace a la medicina energética, presentando pruebas de cómo los campos electromagnéticos, los meridianos y otros sistemas energéticos influyen en la salud. Oschman se basa en la física y la biología para explicar los sistemas energéticos del cuerpo de un modo que complementa tanto las prácticas curativas convencionales como las alternativas.
6. **"Medicina vibracional: El manual número 1 de las terapias de energía sutil"** de Richard Gerber
El texto clásico de Gerber es un recurso esencial para comprender el campo de la medicina de las energías sutiles. Proporciona una visión detallada de los campos de energía, los chakras y cómo funcionan las terapias vibracionales para sanar el cuerpo y la mente.
7. **"Corrientes cruzadas: Los peligros de la electropolución, la promesa de la electromedicina"** de Robert O. Becker
Continuación de Becker de *El cuerpo eléctrico*, este libro investiga las implicaciones para la salud de la tecnología eléctrica moderna, al tiempo que explora cómo la terapia electromagnética puede ayudar a la curación.
8. **"Biología de la creencia: Desatando el poder de la conciencia, la materia y los milagros"** de Bruce H. Lipton
Este libro profundiza en la intersección de la biología y la creencia, mostrando cómo la mente influye en el cuerpo a nivel celular. Lipton explica cómo los campos de energía y la conciencia influyen en los procesos biológicos.
9. **"El campo: La búsqueda de la fuerza secreta del universo"** de Lynne McTaggart
McTaggart explora la ciencia de vanguardia sobre el campo de punto cero, un campo de energía universal que conecta toda la materia. Este libro ofrece una visión de la naturaleza energética de la vida y de cómo podemos aprovechar esta energía para la curación.
10. **"La curación es tensión: El manual"** de Jerry Tennant
El Dr. Tennant explica cómo el voltaje en el organismo, sobre todo a nivel celular, es crucial para la salud. Ofrece una visión completa de cómo mantener un potencial eléctrico adecuado es fundamental para la curación y el bienestar.
11. **"Mi gran TOE (Teoría del Todo)"** de Thomas Campbell
Una trilogía exhaustiva que explora la naturaleza de la realidad, la conciencia y la conexión entre lo físico y lo metafísico. Campbell, físico e investigador de la conciencia, mezcla ciencia y espiritualidad para presentar un modelo de existencia que apoya la meditación, los estados alterados de conciencia y la comprensión de la energía en el universo.
12. **"La mente iluminada: Una guía completa de meditación que integra la sabiduría budista y la ciencia del cerebro para una mayor atención plena"** de John Yates (Culadasa)
La guía de Culadasa es una explicación exhaustiva, paso a paso, de la práctica de la meditación enraizada tanto en las antiguas enseñanzas budistas como en la neurociencia contemporánea. Tiende un puente entre las técnicas tradicionales de meditación y la comprensión científica moderna del cerebro.
13. **"Rasgos alterados: La ciencia revela cómo la meditación cambia su mente, su cerebro y su cuerpo"** de Daniel Goleman y Richard J. Davidson
Este libro se sumerge en la investigación científica en torno a la meditación, explorando sus profundos efectos en el cerebro y el cuerpo. Goleman y Davidson se basan en décadas de investigación para explicar cómo la meditación produce cambios psicológicos y fisiológicos duraderos.
14. **"Despertar: Una guía para la espiritualidad sin religión"** de Sam Harris
Sam Harris, neurocientífico y filósofo, presenta un enfoque racional de la espiritualidad y la meditación, basado tanto en la ciencia como en la experiencia personal. Su libro se centra especialmente en cómo la meditación puede conducir a cambios profundos en la percepción y la comprensión de la conciencia, sin necesidad de marcos religiosos.
15. **"El poder del ahora: Una guía hacia la iluminación espiritual"** de Eckhart Tolle
El libro de Tolle, muy leído, hace hincapié en la importancia de la atención plena y de permanecer presente en el momento. Sus enseñanzas ofrecen ideas prácticas sobre cómo vivir de forma más plena y atenta, lo que se alinea con los aspectos energéticos y mentales del bienestar tratados en *"Sing the Body Electric"*.
16. **"Magia real: sabiduría antigua, ciencia moderna y una guía del poder secreto del universo"** de Dean Radin
Radin, destacado investigador en el campo de la parapsicología, explora las pruebas científicas de fenómenos como la telepatía, la precognición y la psicoquinesis, estableciendo conexiones entre la conciencia, la energía y la estructura más amplia de la realidad. Este libro proporciona una base para comprender otras realidades más allá de la física.
17. **"La física de la conciencia: La mente cuántica y el sentido de la vida"** de Evan Harris Walker
Este libro profundiza en la física cuántica y su relación con la conciencia. Walker explora el papel del observador en la mecánica cuántica y presenta una teoría según la cual la conciencia es fundamental para el universo, contribuyendo a una comprensión más amplia de la energía y la existencia.
18. **"La doctrina secreta"** de H.P. Blavatsky
Este texto fundacional de la teosofía explora la naturaleza del universo, la conciencia y la evolución espiritual.
19. **"La filosofía perenne"** de Aldous Huxley
Huxley examina los hilos comunes de la espiritualidad en diversas religiones, haciendo hincapié en las verdades universales.

Espiritualidad moderna

Energía y medicina eléctrica

20. **"El destino humano"** de Pierre Lecomte du Noüy
este libro explora la intersección entre ciencia, filosofía y religión, defendiendo la idea de que la evolución humana está guiada por un propósito divino. Analiza el potencial espiritual de la humanidad y las responsabilidades morales que conlleva la conciencia humana.
21. **"El camino de la razón"** de Pierre Lecomte du Noüy
en esta obra filosófica, Lecomte du Noüy aborda la importancia de la razón y el pensamiento científico para comprender el universo. También profundiza en cómo el progreso científico debe integrarse con el desarrollo moral y espiritual.
22. **"Comprender el procesamiento digital de señales"** de Richard G. Lyons
Este libro ofrece una introducción clara y accesible al procesamiento digital de señales (DSP), haciendo que los conceptos complejos sean comprensibles incluso para los principiantes. Abarca temas como el filtrado, el análisis de Fourier y la teoría del muestreo de una forma práctica y fácil de seguir, ideal para los interesados en los fundamentos del procesamiento de señales para el análisis de audio.
23. **"The Scientist and Engineer's Guide to Digital Signal Processing"** de Steven W. Smith
Un libro popular y fácil de leer que introduce los conceptos del DSP con ejemplos prácticos y aplicaciones. Es un recurso gratuito en línea que explica cómo funciona el procesamiento de señales con guías paso a paso y ejemplos del mundo real, lo que lo hace muy accesible para los principiantes, especialmente los interesados en el análisis de señales de audio y musicales.
24. **"Procesado digital de señales de audio"** de Udo Zölzer
Este libro presenta los principios y aplicaciones del procesamiento digital de señales de audio, centrándose en áreas como los filtros digitales, los efectos de audio y el análisis de tiempo-frecuencia. Aunque técnico, el material se presenta de una forma accesible para lectores con conocimientos básicos de DSP.
25. **"Una introducción al análisis del contenido de audio: Aplicaciones en procesamiento de señales e informática musical"** de Alexander Lerch
Este texto es especialmente útil para los interesados en el procesamiento de señales de audio y música. Introduce técnicas para analizar el contenido de audio, como la estructura de la música, el ritmo y la armonía, utilizando algoritmos de procesamiento de señales. El libro es práctico y accesible tanto para estudiantes como para profesionales.
26. **"Designing Audio Effect Plug-Ins in C : With Digital Audio Signal Processing Theory"** de Will Pirkle
Para quienes deseen sumergirse en el lado de las aplicaciones del procesamiento de señales de audio, este libro es una introducción fácil de usar a la codificación y el diseño de efectos de audio mediante programación en C. Es ideal para principiantes que quieran entender cómo se puede aplicar el DSP para crear efectos de audio en tiempo real.

Procesamiento digital de señales

27. **"Recuerdos, sueños, reflexiones"** de Carl G. Jung
Obra semiautobiográfica, este libro abarca la vida de Jung y sus ideas clave, incluido su desarrollo de conceptos como el inconsciente colectivo, los arquetipos y la sombra. Proporciona una visión personal de sus teorías psicológicas.
28. **"Los arquetipos y el inconsciente colectivo"** de Carl G. Jung
Este libro es un texto central de la psicología junguiana, donde esboza sus teorías sobre la mente inconsciente, en particular el inconsciente colectivo y sus imágenes arquetípicas. Es una lectura fundamental para comprender las ideas de Jung sobre la personalidad y la psique.
29. **"Tipos psicológicos"** de Carl G. Jung
En esta obra, Jung presenta su teoría de los tipos psicológicos, que más tarde influyó en el desarrollo del Indicador de Tipos Myers-Briggs (MBTI). Analiza la dicotomía de la introversión y la extraversión, así como otras funciones psicológicas que conforman la personalidad.
30. **"El hombre y sus símbolos"** de Carl G. Jung
Escrito como una introducción accesible al pensamiento junguiano, este libro profundiza en el uso de símbolos en los sueños y el arte como representaciones de procesos inconscientes. Está pensado para un público más amplio y ofrece una visión de la psique humana.
31. **"El yo por descubrir"** de Carl G. Jung
Jung explora el conflicto entre la necesidad de desarrollo personal del individuo y las presiones de la sociedad moderna. Destaca la importancia de la autoconciencia para navegar por los aspectos inconscientes y sombríos de la personalidad.
32. **"Ser dueño de su propia sombra: comprender el lado oscuro de la psique"** de Robert A. Johnson
Este libro, una guía práctica para comprender el concepto de sombra de Jung, explica cómo reconocer e integrar el yo sombrío para lograr el equilibrio psicológico y el crecimiento personal.
33. **"El mapa del alma de Jung: una introducción"**, de Murray Stein
Este libro ofrece una introducción a las teorías de Jung sobre la personalidad, incluidas sus ideas sobre la sombra, el inconsciente y la individuación. Es un buen recurso para los que se inician en la psicología junguiana.

Jung y el inconsciente

34. **"Dones Diferentes: Comprender el tipo de personalidad"** de Isabel Briggs Myers con Peter B. Myers
Este libro explica el sistema MBTI de tipos de personalidad, que se basa en los tipos psicológicos de Jung. Ofrece una visión de cómo interactúan los distintos tipos de personalidad y cómo influyen en la vida personal y profesional.
35. **"El poder curativo del sonido: La recuperación de enfermedades potencialmente mortales mediante el sonido, la voz y la música"** de Mitchell L. Gaynor
Este libro profundiza en el uso de la terapia del sonido para la curación, centrándose en cómo pueden utilizarse las vibraciones y las frecuencias para apoyar la recuperación de la enfermedad. Gaynor, oncólogo, combina conocimientos médicos con prácticas de curación por el sonido.
36. **"Sintonizando el biocampo humano: Sanación con terapia de sonido vibracional"** de Eileen Day McKusick
McKusick explora la anatomía del biocampo y analiza cómo el sonido, la frecuencia y la vibración afectan al campo energético humano. El libro incluye información sobre cómo los diapasones y otras herramientas sonoras pueden favorecer la curación.
37. **"Sonidos curativos: El poder de los armónicos"** de Jonathan Goldman
Este libro explica el concepto de utilizar el sonido y los armónicos para sanar el cuerpo y la mente. Incluye técnicas prácticas para la curación por el sonido, como la tonificación vocal y el trabajo con sobretonos.
38. **"Medicina del sonido: Cómo utilizar la antigua ciencia del sonido para sanar el cuerpo y la mente"** de Kulreet Chaudhary
Este libro combina la antigua medicina ayurvédica con las prácticas modernas de la terapia del sonido. Chaudhary explica cómo pueden utilizarse las frecuencias sonoras y las vibraciones para la curación y el bienestar, desde los mantras hasta las modernas tecnologías del sonido.
39. **"Implosión: La ciencia secreta del éxtasis y la inmortalidad"** de Dan Winter
Dan Winter explora la naturaleza fractal de la realidad, especialmente en relación con la conciencia, la actividad eléctrica del corazón y la bioenergética. Su obra vincula conceptos de la geometría sagrada, la implosión y la física del éxtasis.
40. **"Espacio-tiempo fractal y geometría sagrada"** de Dan Winter
Este libro profundiza en la geometría de la conciencia y el campo energético humano, haciendo hincapié en las implicaciones de las estructuras fractales en la biología, la coherencia del corazón y la comprensión más profunda del universo.
41. **"Descodificando el campo corporal humano: La nueva ciencia de la información como medicina"** de Peter H. Fraser
Peter H. Fraser, pionero en bioenergética, examina los sistemas de información del cuerpo, o el "ampo corporal humano," explicando cómo influye en la salud y la curación. Su obra integra la biología cuántica y la medicina moderna con prácticas de curación energética.
42. **(sin libro) Joel Sternheimer**
La obra de Sternheimer presenta una teoría de cómo las notas musicales se corresponden con los procesos biológicos. Explora el concepto de "música proteínica," sugiriendo que frecuencias específicas pueden influir en las interacciones moleculares de los organismos vivos.

Sanar con sonidos

43. **"La cuarta fase del agua: Más allá del sólido, el líquido y el vapor"** de Gerald Pollack
Pollack presenta una investigación pionera sobre las propiedades del agua y sus implicaciones para la biología y la medicina energética.
44. **"El LSD y la mente del universo"** de Christopher Bache
Bache explora la intersección de los psicodélicos, la conciencia y la naturaleza de la realidad a través de experiencias personales y conocimientos científicos.
45. **"La conciencia más allá de la vida: La ciencia de la experiencia cercana a la muerte"** de Pim van Lommel
Van Lommel ofrece un examen exhaustivo de las experiencias cercanas a la muerte, sus implicaciones para la conciencia y la continuidad del yo más allá de la existencia física.
46. **"El hombre que no creía en los milagros"** de Didier Van Cauwelaert
Esta novela entrelaza temas de la conciencia y la física cuántica, explorando la naturaleza de la realidad y la creencia a través de una narrativa convincente.
47. **"Salud a propósito: impulsos para la autosanación"** de Folker Meissner
Meissner investiga los principios científicos que subyacen a la medicina energética, ofreciendo una visión de su potencial terapéutico y sus mecanismos.
48. **"Conectados: El surgimiento de la conciencia global"** de Roger Nelson
Nelson examina la interconexión de la conciencia humana y las implicaciones para comprender las experiencias colectivas y la conciencia global.

Pioneros

49. **"Tipos psicológicos"** de Carl G. Jung
En esta obra, Jung presenta su teoría de los tipos psicológicos, que más tarde influyó en el desarrollo del Indicador de Tipos Myers-Briggs (MBTI). Analiza la dicotomía de la introversión y la extraversión, así como otras funciones psicológicas que conforman la personalidad.
50. **"El hombre y sus símbolos"** de Carl G. Jung
Escrito como una introducción accesible al pensamiento junguiano, este libro profundiza en el uso de símbolos en los sueños y el arte como representaciones de procesos inconscientes. Está pensado para un público más amplio y ofrece una visión de la psique humana.
51. **"El yo por descubrir"** de Carl G. Jung
Jung explora el conflicto entre la necesidad de desarrollo personal del individuo y las presiones de la sociedad moderna. Destaca la importancia de la autoconciencia para navegar por los aspectos inconscientes y sombríos de la personalidad.
52. **"Ser dueño de su propia sombra: comprender el lado oscuro de la psique"** de Robert A. Johnson
Este libro, una guía práctica para comprender el concepto de sombra de Jung, explica cómo reconocer e integrar el yo sombrío para lograr el equilibrio psicológico y el crecimiento personal.
53. **"El mapa del alma de Jung: una introducción"**, de Murray Stein
Este libro ofrece una introducción a las teorías de Jung sobre la personalidad, incluidas sus ideas sobre la sombra, el inconsciente y la individuación. Es un buen recurso para los que se inician en la psicología junguiana.

Conciencia, energía y realidad

43. **"La cuarta fase del agua: Más allá del sólido, el líquido y el vapor"** de Gerald Pollack
Pollack presenta una investigación pionera sobre las propiedades del agua y sus implicaciones para la biología y la medicina energética.
44. **"El LSD y la mente del universo"** de Christopher Bache
Bache explora la intersección de los psicodélicos, la conciencia y la naturaleza de la realidad a través de experiencias personales y conocimientos científicos.
45. **"La conciencia más allá de la vida: La ciencia de la experiencia cercana a la muerte"** de Pim van Lommel
Van Lommel ofrece un examen exhaustivo de las experiencias cercanas a la muerte, sus implicaciones para la conciencia y la continuidad del yo más allá de la existencia física.
46. **"El hombre que no creía en los milagros"** de Didier Van Cauwelaert
Esta novela entrelaza temas de la conciencia y la física cuántica, explorando la naturaleza de la realidad y la creencia a través de una narrativa convincente.
47. **"Salud a propósito: impulsos para la autosanación"** de Folker Meissner
Meissner investiga los principios científicos que subyacen a la medicina energética, ofreciendo una visión de su potencial terapéutico y sus mecanismos.
48. **"Conectados: El surgimiento de la conciencia global"** de Roger Nelson
Nelson examina la interconexión de la conciencia humana y las implicaciones para comprender las experiencias colectivas y la conciencia global.

49. **"Agua morfogénica - Salud - Información y campos de conciencia"** de Marc Henry
Henry analiza la importancia del agua en los sistemas biológicos y su papel como medio para la transferencia de energía y la conciencia.
50. **"La vida después de la vida"** de Raymond Moody
La innovadora obra de Moody introduce el concepto de las experiencias cercanas a la muerte y presenta numerosos estudios de casos que ponen de relieve los elementos comunes relatados por quienes han tenido tales experiencias.
51. **"Abrazados por la luz"** de Betty J. Eadie
Estas memorias relatan la experiencia cercana a la muerte de Eadie, compartiendo sus percepciones y las profundas revelaciones espirituales que encontró durante su viaje.
52. **"La prueba del cielo: El viaje de un neurocirujano al más allá"** de Eben Alexander
Alexander, neurocirujano, comparte su propia experiencia cercana a la muerte y ofrece un relato convincente que desafía los puntos de vista científicos convencionales sobre la conciencia y la vida después de la muerte.
53. **"Morir para ser yo: mi viaje del cáncer, a estar cerca de la muerte, a la verdadera curación"** de Anita Moorjani
Moorjani comparte su transformadora experiencia cercana a la muerte durante su batalla contra el cáncer y las poderosas lecciones sobre autoaceptación y curación que aprendió.
54. **"Viajes fuera del cuerpo"** de Robert A. Monroe
Este libro clásico documenta las experiencias personales de Monroe con los viajes extracorporales y explora las posibilidades de la conciencia humana más allá del cuerpo físico. Está ampliamente considerado como uno de los textos fundacionales de los estudios sobre la conciencia.
55. **"Viajes lejanos"** de Robert A. Monroe
Esta secuela de "Viajes fuera del cuerpo" profundiza en los viajes de Monroe más allá del plano físico, donde explora diferentes dimensiones de la existencia y amplía su comprensión de la conciencia.
56. **"Viaje definitivo"** de Robert A. Monroe
En este último libro de la trilogía, Monroe comparte percepciones de sus experiencias en estados alterados de conciencia, centrándose en temas como la vida después de la muerte, la naturaleza de la existencia y el propósito humano.
57. **"Conciencia cósmica"** de Richard M. Bucke
Bucke describe su propia experiencia de la conciencia cósmica y explora sus implicaciones para la evolución espiritual.
58. **"Una vía yaqui de conocimiento"** de Carlos Castaneda
Este libro profundiza en las prácticas chamánicas y en la naturaleza de la realidad a través del aprendizaje de Castaneda con un chamán yaqui.

Bioética y medicina

59. **"Bioética: Principios, cuestiones y casos"** de Lewis Vaughn
Vaughn presenta principios y cuestiones éticas clave en la práctica médica, proporcionando estudios de casos para su aplicación en el mundo real.

Estudios sobre la conciencia

60. **"La conciencia y el universo: Física cuántica, evolución, cerebro y mente"** de Sir Roger Penrose y Stuart Hameroff
Esta colección de ensayos explora los orígenes cuánticos de la conciencia, combinando ideas de la física, la neurociencia y la filosofía para investigar cómo los procesos cuánticos en el cerebro pueden explicar la experiencia consciente.
61. **"La conciencia explicada"** de Daniel Dennett
Dennett presenta una teoría exhaustiva de la conciencia, argumentando en contra de los puntos de vista tradicionales y ofreciendo ideas sobre el funcionamiento de la mente.
62. **"Despertar: Una guía para la espiritualidad sin religión"** de Sam Harris
Harris analiza la conciencia, la meditación y la naturaleza de la espiritualidad, abogando por un enfoque laico para comprender la mente.
63. **"El quantum y el loto: Un viaje a las fronteras donde se encuentran la ciencia y el budismo"** de Matthieu Ricard y Trinh Xuan Thuan
Este libro explora los paralelismos entre la física cuántica y la filosofía budista, analizando las percepciones de ambos campos.
64. **"El universo holográfico"** de Michael Talbot
Talbot presenta la idea de que el universo funciona como un holograma, fusionando percepciones de la física cuántica con implicaciones metafísicas.

Psicología y psicoterapia

65. **"El hombre en busca de sentido"** de Viktor E. Frankl
Frankl explora el viaje psicológico de encontrar un propósito incluso en las peores circunstancias, integrando la filosofía existencial y la psicología.
66. **"El cuerpo lleva la cuenta: cerebro, mente y cuerpo en la curación del trauma"** de Bessel van der Kolk
Este libro analiza el impacto del trauma en el cuerpo y la mente, destacando enfoques innovadores para la curación.
67. **"Core Energetics"** de John C. Pierrakos
Este libro esboza el enfoque de Pierrakos sobre la Core Energetics, una modalidad terapéutica centrada en el cuerpo. Profundiza en cómo el desbloqueo de la energía en el cuerpo puede conducir a la curación emocional y psicológica, integrando la espiritualidad con la psicoterapia.
68. **"El camino de la autotransformación"** de Eva Pierrakos
Escrito por la esposa de John Pierrakos, Eva Pierrakos, este libro es esencial para comprender los fundamentos espirituales y energéticos de la Core Energetics. Presenta una recopilación de enseñanzas de la Guía Pathwork, que influyó enormemente en el propio trabajo terapéutico de Pierrakos.
69. **"Mi voz te acompañará: Los cuentos de enseñanza de Milton H. Erickson"** de Milton H. Erickson, editado por Sidney Rosen
Este libro es una recopilación de las historias terapéuticas y los cuentos de enseñanza de Erickson. Destaca sus técnicas indirectas y el uso de la metáfora para facilitar un cambio psicológico profundo, ofreciendo una visión del modo en que Erickson guiaba sutilmente a sus pacientes hacia la curación.
70. **"Terapia poco común: Las técnicas psiquiátricas del Dr. Milton H. Erickson"** de Jay Haley
Haley ofrece una visión detallada de las innovadoras técnicas de terapia breve de Erickson. Este libro destaca los métodos no tradicionales y a menudo sorprendentes de Erickson, incluida su capacidad para guiar a los pacientes hacia rápidos avances terapéuticos en unas pocas sesiones.

Teoría de sistemas y pensamiento sistémico

71. **"Teoría general de sistemas: Fundamentos, desarrollo, aplicaciones"** de Ludwig von Bertalanffy
Un clásico del pensamiento sistémico, la obra de Bertalanffy introduce los fundamentos de la Teoría General de Sistemas, que se convirtió en un pilar fundamental para el estudio interdisciplinar en todas las ciencias. Sus ideas han sido influyentes en todos los campos, desde la biología hasta las ciencias sociales.
72. **"Pasos hacia una ecología de la mente"** de Gregory Bateson
Figura clave del Grupo de Palo Alto, la colección de ensayos de Bateson abarca temas como la comunicación, la psicología y la ecología. Su obra sentó las bases del pensamiento sistémico en la comunicación y las interacciones humanas.
73. **"Mente y naturaleza: Una unidad necesaria"** de Gregory Bateson
Otro texto esencial de Bateson, que explora cómo la mente y el medio ambiente están interconectados. Sus ideas son fundamentales para comprender la teoría de sistemas en términos de interacción humana, aprendizaje y ecología.
74. **"La construcción social de la realidad: Un tratado de sociología del conocimiento"** de Peter L. Berger y Thomas Luckmann
Este libro enlaza con el pensamiento sistémico a través de su exploración de cómo se construyen y mantienen los sistemas y realidades sociales.
75. **"La visión sistémica de la vida: Una visión unificadora"** de Fritjof Capra y Pier Luigi Luisi
Capra, figura clave del pensamiento sistémico, presenta una comprensión contemporánea e integrada de los sistemas vivos. Este libro vincula la teoría de sistemas con la biología, la ecología y la conciencia.
76. **"El cambio: Principios de formación y resolución de problemas"** de Paul Watzlawick, John Weakland y Richard Fisch
Otra obra esencial del Grupo de Palo Alto, explora cómo se produce el cambio en los sistemas humanos, en particular las familias y las organizaciones, a través de una lente sistémica.
77. **"El árbol del conocimiento: Las raíces biológicas del entendimiento humano"** de Humberto R. Maturana y Francisco J. Varela
Este libro vincula la biología, la cognición y el pensamiento sistémico, centrándose en la autopoiesis (sistemas que se autocrean), un concepto central en la comprensión de los sistemas vivos.
78. **"Cibernética, o control y comunicación en el animal y la máquina"** de Norbert Wiener
Este texto fundacional de la cibernética explora cómo funcionan los procesos de comunicación y control tanto en las máquinas como en los seres vivos.
79. **"La Quinta Disciplina: El arte y la práctica de la organización que aprende"** de Peter M. Senge
La obra de Senge aplica el pensamiento sistémico al desarrollo organizativo. Está ampliamente considerado como un texto clave tanto en los negocios como en la educación, ya que se centra en cómo las organizaciones complejas pueden estructurarse para el aprendizaje y la adaptabilidad.